

LE JOURNAL DE PHYSIQUE

ET

LE RADIUM

PROPAGATION DES NEUTRONS DANS UN CRISTAL PARFAIT DE DIMENSIONS FINIES

Par André HERPIN,
Centre d'Études Nucléaires de Saclay.

1. Introduction. — L'étude théorique de la propagation des rayons X dans les cristaux a été menée à bien par Darwin [1], Ewald [2] et Ch. Mauguin [3]. On en trouve un exposé détaillé dans le traité de Zachariasen [4], ainsi que son application à l'extinction primaire. Dans le cas des neutrons, aucune étude de la question n'a été faite, si l'on excepte l'article assez succinct de Seitz et Goldberger [7]. Le présent article tente de combler cette lacune. Les résultats obtenus sont semblables à ceux de la théorie des rayons X, mais la méthode utilisée, plus directe, nous a paru justifier cet exposé. Dans le cas des rayons X, on partait des équations de Maxwell dans lesquelles on introduisait une constante diélectrique triplement périodique (Ewald-Darwin). Le mérite de Ch. Mauguin est d'avoir montré qu'on obtenait des résultats analogues en considérant la diffraction des ondes électromagnétiques par des plans chargés d'électrons, hypothèse plus directe et d'interprétation physique plus aisée. Dans le cas des neutrons, nous partons d'une répartition triplement périodique de noyaux, dont l'interaction avec les neutrons est traitée rigoureusement. C'est dire que la base de ce calcul est assez proche de celle de Ch. Mauguin. Une difficulté supplémentaire est due au fait que l'interaction neutron-noyau dépend des spins, ce qui introduit une incohérence qui se traduit par une absorption des faisceaux cohérents, une partie des neutrons se trouvant diffusés d'une façon incohérente. Notre but est d'établir des équations de propagation rigoureuses pour les faisceaux cohérents de neutrons, équations qui servent de base à l'étude de l'extinction. Nous ne traiterons pas ici l'extinction dont on peut trouver ailleurs un exposé très complet. Nous avons ajouté à cette étude un appendice dans lequel nous étudions l'influence de l'agitation thermique sur la propagation des neutrons.

2. L'onde optique. — Avant de faire l'étude de la diffraction des neutrons par un cristal, il est indispensable de préciser quelques notions fondamentales introduites par le fait qu'un solide est un système thermodynamique complexe possédant un grand nombre de degrés de liberté. Nous tenons à signaler que l'essentiel des résultats de ce paragraphe sont dus à J. Yvon [6].

Nous désignerons par \mathcal{H}_0 l'hamiltonien du diffuseur dont l'ensemble des coordonnées sera désigné par ξ . Ses états propres forment une suite discrète

$$\dots \Phi_n(\xi) \dots \Phi_p(\xi) \dots$$

d'énergie $\dots E_n \dots E_p \dots$

Le potentiel d'interaction entre le diffuseur et le neutron est :

$$U(\mathbf{r}, \xi) = \frac{\hbar^2}{2M} W(\mathbf{r}, \xi)$$

où \mathbf{r} repère la position du neutron de masse M . L'hamiltonien total du système s'écrit :

$$\mathcal{H} = \mathcal{H}_0 - \frac{\hbar^2}{2M} \nabla^2 + \frac{\hbar^2}{2M} W. \quad (1)$$

Supposons qu'avant diffusion, le diffuseur soit dans un état bien déterminé $\Phi_n(\xi)$ et que le neutron possède une énergie $\frac{\hbar^2}{2M} k^2$.

Nous désignerons la fonction d'onde totale par $\Psi_n(\mathbf{r}, \xi)$. l'indice n rappelant l'état initial du diffuseur, et nous la développerons suivant les états propres du diffuseur :

$$\Psi_n(\mathbf{r}, \xi) = \sum_p \varphi_{np}(\mathbf{r}) \Phi_p(\xi). \quad (2)$$

Dans toutes les expériences qui ne portent que sur les neutrons, les fonctions $\varphi_{np}(\mathbf{r})$ suffisent à la prévision des mesures. $\varphi_{nn}(\mathbf{r})$ représente la *diffusion*

cohérente qui, par définition, a lieu sans changement d'état du diffuseur. Les autres fonctions $\varphi_{np}(\mathbf{r})$ correspondent à la *diffusion incohérente*. Elles sont déterminées par l'équation :

$$\left[\nabla^2 + k^2 + \frac{2M}{\hbar^2} (E_p - E_n) \right] \varphi_{np}(\mathbf{r}) = \sum_q \langle p | W(\mathbf{r}) | q \rangle \varphi_{nq}(\mathbf{r}) \quad (3)$$

dans laquelle

$$\langle n | W(\mathbf{r}) | p \rangle = \int \Phi_n^*(\xi) W(\mathbf{r}, \xi) \Phi_p(\xi) d\xi. \quad (4)$$

Mais le diffuseur n'est pas, en général, dans un état bien déterminé, et il faut faire intervenir la statistique, comme chaque fois que l'on est en présence d'un système thermodynamique comportant un grand nombre de degrés de liberté. Nous désignerons par P_n la probabilité pour que le diffuseur se trouve dans l'état n . La valeur moyenne de l'onde diffusée cohérente est :

$$\varphi(\mathbf{r}) = \sum_n P_n \varphi_{nn}(\mathbf{r}). \quad (5)$$

C'est ce que J. Yvon a appelé *l'onde optique*.

Lorsqu'on parle de la propagation des neutrons dans un solide, il ne s'agit pas de la propagation de l'onde cohérente $\varphi_{nn}(\mathbf{r})$ correspondant à un état bien déterminé Φ_n du solide, mais bien à celle de l'onde moyenne $\varphi(\mathbf{r})$. Les écarts entre les ondes cohérentes et l'onde optique traduisent les effets de diffusion.

L'onde $\varphi_{nn}(\mathbf{r})$ satisfait à l'équation :

$$(\nabla^2 + k^2) \varphi_{nn}(\mathbf{r}) = \sum_q \langle n | W(\mathbf{r}) | q \rangle \varphi_{nq}(\mathbf{r}).$$

En multipliant par P_n et en sommant, on obtient

$$(\nabla^2 + k^2) \varphi(\mathbf{r}) = \sum_{n,p} P_n \langle n | W(\mathbf{r}) | p \rangle \varphi_{np}(\mathbf{r})$$

soit, en isolant au second membre les termes cohérents :

$$\begin{aligned} (\nabla^2 + k^2) \varphi(\mathbf{r}) = & \sum_n P_n \langle n | W(\mathbf{r}) | n \rangle \varphi_{nn}(\mathbf{r}) \\ & + \sum_{n,p \neq n} P_n \langle n | W(\mathbf{r}) | p \rangle \varphi_{np}(\mathbf{r}). \end{aligned}$$

Faisons apparaître l'onde optique dans le premier terme du second membre

$$\begin{aligned} (\nabla^2 + k^2) \varphi(\mathbf{r}) = & \left\{ \sum_p P_p \langle p | W(\mathbf{r}) | p \rangle \right\} \varphi(\mathbf{r}) \\ & + \sum_n P_n \left\{ \langle n | W(\mathbf{r}) | n \rangle \right. \\ & \quad \left. - \sum_p P_p \langle p | W(\mathbf{r}) | p \rangle \right\} \varphi_{nn}(\mathbf{r}) \quad (6) \\ & + \sum_{nq \neq n} P_n \langle n | W(\mathbf{r}) | q \rangle \varphi_{nq}(\mathbf{r}). \end{aligned}$$

Chaque terme du second membre correspond à un type de diffusion différent. Le premier traduit la propagation de l'onde optique dans le potentiel moyen :

$$\overline{W}(\mathbf{r}) = \sum_p P_p \langle p | W(\mathbf{r}) | p \rangle. \quad (7)$$

Ce potentiel est d'ailleurs analogue à un indice de réfraction microscopique du cristal (on retrouve directement ici un indice triplement périodique, pour un cristal parfait, comme l'avaient supposé Ewald et Darwin).

Le second terme correspond à la diffusion cohérente proprement dite, c'est-à-dire à la diffusion cohérente en dehors de l'onde optique. C'est ce qu'un opticien appellerait la diffusion sans changement de longueur d'onde (diffusion Rayleigh), et on trouve bien qu'elle provient des fluctuations du diffuseur. Dans le cas des neutrons, ces fluctuations sont de deux natures : fluctuations de position des noyaux et fluctuations de l'orientation des spins des noyaux.

La diffusion incohérente se trouve dans le troisième terme.

3. Le potentiel d'interaction. — Nous utiliserons le potentiel phénoménologique introduit par Blatt et Weisskopf qui permet de se libérer de l'approximation de Born. On sait qu'au voisinage d'un noyau, la fonction doit avoir pour comportement asymptotique

$$(1 - a/r) f(r).$$

Le fait que $\nabla^2(1/r) = 4\pi\delta(r)$ avait conduit Fermi à utiliser un pseudo-potentiel égal à $4\pi a\delta(r)$. Mais $(1/r)\delta(r)$ n'étant pas une quantité finie, un tel potentiel ne permet pas l'utilisation d'une méthode d'approximations successives car il ne peut pas être appliqué à l'onde diffusée en première approximation, qui est en $1/r$. Pour éviter cette difficulté, Blatt et Weisskopf ont introduit le pseudo-potentiel :

$$V(\mathbf{r}) = 4\pi a \delta(\mathbf{r}) S(\mathbf{r}).$$

$S(\mathbf{r})$ étant un opérateur qui a pour effet de faire sauter toute singularité en $1/r$ ou en \mathbf{r}/r . L'opérateur $S(\mathbf{r}) = (\partial/\partial r) r$ fait bien sauter ces premières mais non les secondes. Pour y arriver, il est nécessaire d'introduire comme l'a fait J. Yvon un opérateur O qui moyenne en direction. On obtient ainsi le pseudo-potentiel

$$V(\mathbf{r}) = 4\pi a \delta(\mathbf{r}) \lim_{r \rightarrow 0} \left(\frac{\partial}{\partial r} \right) r O. \quad (8)$$

O étant un opérateur intégral tel que :

$$O = (1/4\pi) \int d\Omega$$

$d\Omega$ étant l'élément d'angle solide. On peut montrer que le pseudo-potentiel ainsi défini conduit aux mêmes résultats que la méthode rigoureuse des phases. La longueur de diffusion peut être complexe, la partie imaginaire correspondant à la section efficace d'absorption du noyau (réaction et inélastique).

En fait, la longueur de diffusion a est un opérateur de spin :

$$a = a_c + a_I \boldsymbol{\sigma} \cdot \mathbf{S}$$

σ étant le spin du neutron et \mathbf{S} celui du noyau. Nous pouvons donc séparer l'interaction en 2 parties dont l'une ne dépend pas du spin.

$$V(\mathbf{r}) = V_c(\mathbf{r}) + \sigma \cdot \mathbf{S} \cdot V_I(\mathbf{r}) \quad (9)$$

avec

$$\begin{aligned} V_c(\mathbf{r}) &= 4\pi a_c \delta(\mathbf{r}) (\partial/\partial r) r \cdot \mathbf{O} \\ V_I(\mathbf{r}) &= 4\pi a_I \delta(\mathbf{r}) (\partial/\partial r) r \cdot \mathbf{O}. \end{aligned} \quad (10)$$

Considérons un cristal parfait dont les translations principales sont $\mathbf{l}_1, \mathbf{l}_2, \mathbf{l}_3$ chaque maille élémentaire contient g atomes repérés à partir de l'origine de la maille élémentaire par les vecteurs \mathbf{j} . Un atome quelconque est donc défini par le vecteur :

$$\mathbf{R}_{m,j} = \mathbf{m} + \mathbf{j} = m_1 \mathbf{l}_1 + m_2 \mathbf{l}_2 + m_3 \mathbf{l}_3 + \mathbf{j}$$

m_1, m_2, m_3 étant trois entiers quelconques. Dans ces conditions, le potentiel d'interaction sera

$$\begin{aligned} W(\mathbf{r}, \xi) &= W_c(\mathbf{r}) + W_I(\mathbf{r}, \xi) \\ &= \sum_{\mathbf{m}} \sum_{\mathbf{j}} \{ V_c(\mathbf{r} - \mathbf{R}_{m,j}) + \sigma \mathbf{S}_{m,j} V_I(\mathbf{r} - \mathbf{R}_{m,j}) \}. \end{aligned} \quad (11)$$

4. Équation de propagation de l'onde optique.

— Puisque nous avons supposé le réseau rigide, les seuls degrés de liberté du diffuseur sont les spins des noyaux que nous supposons répartis au hasard, de sorte que :

$$\sum_{\mathbf{n}} P_n < n | \mathbf{S}_{m,j} | n > = 0. \quad (12)$$

En utilisant l'expression (11) de $W(\mathbf{r}, \xi)$, on trouve

$$\begin{aligned} < n | W(\mathbf{r}) | p > = \sum_{\mathbf{m}} \sum_{\mathbf{j}} V_c(\mathbf{r} - \mathbf{R}_{m,j}) \delta_{np} \\ + \sum_{\mathbf{m}} \sum_{\mathbf{j}} < n | \mathbf{S}_{m,j} \sigma | p > V_I(\mathbf{r} - \mathbf{R}_{m,j}). \end{aligned} \quad (13)$$

Le potentiel moyen $\overline{W}(\mathbf{r})$ ne comporte que le premier terme, car la répartition statistique des spins entraîne l'annulation du second terme quel que soit le spin du neutron. L'équation (6) peut alors s'écrire, en regroupant les deux dernières lignes :

$$\begin{aligned} (\nabla^2 + k^2) \varphi(\mathbf{r}) &= \sum_{\mathbf{m}} \sum_{\mathbf{j}} V_c(\mathbf{r} - \mathbf{R}_{m,j}) \varphi(\mathbf{r}) \\ + \sum_{n,p} P_n \sum_{\mathbf{m}} \sum_{\mathbf{j}} < n | \mathbf{S}_{m,j} \sigma | p > V_I(\mathbf{r} - \mathbf{R}_{m,j}) \varphi_{np}(\mathbf{r}). \end{aligned} \quad (14)$$

Nous allons maintenant donner du second terme une expression approchée qui nous permettra de voir l'influence de la répartition incohérente des spins sur la propagation de l'onde optique. La fonction $\varphi_{np}(\mathbf{r})$ satisfait à l'équation (3) que l'on peut résoudre symboliquement sous la forme :

$$\varphi_{np}(\mathbf{r}) = \sum_{\mathbf{q}} T < p | W(\mathbf{r}) | q > \varphi_{nq}(\mathbf{r})$$

T étant l'opérateur $(\nabla^2 + k^2)^{-1}$. En portant cette

expression dans (14), nous obtenons :

$$\begin{aligned} (\nabla^2 + k^2) \varphi(\mathbf{r}) &= \overline{W}(\mathbf{r}) \varphi(\mathbf{r}) \\ + \sum_{\mathbf{n}} \sum P_n < n | W_I(\mathbf{r}) T W(\mathbf{r}) | q > \varphi_{nq}(\mathbf{r}). \end{aligned}$$

Soit, en faisant à nouveau apparaître l'onde optique dans le second terme :

$$\begin{aligned} (\nabla^2 + k^2) \varphi(\mathbf{r}) &= \{ \overline{W}(\mathbf{r}) + \sum_{\mathbf{n}} P_n < n | W_I(\mathbf{r}) T W(\mathbf{r}) | n > \} \varphi(\mathbf{r}) \\ + \sum_{\mathbf{n}} P_n < n | W_I(\mathbf{r}) T W(\mathbf{r}) | n > \\ - \sum_{\mathbf{p}} P_p < p | W_I(\mathbf{r}) T W(\mathbf{r}) | p > \} \varphi_{nn}(\mathbf{r}) \\ + \sum_{\mathbf{n}} \sum_{\mathbf{q} \neq \mathbf{n}} P_n < n | W_I(\mathbf{r}) T W(\mathbf{r}) | q > \varphi_{nq}(\mathbf{r}). \end{aligned} \quad (15)$$

L'opération pourrait se poursuivre, et à chaque étape, nous aurions un opérateur supplémentaire agissant sur $\varphi(\mathbf{r})$, mais dans lequel l'interaction figurerait à une puissance de plus en plus élevée. Nous arrêterons le développement au second ordre, et nous écrirons l'équation de propagation sous la forme :

$$(\nabla^2 + k^2) \varphi(\mathbf{r}) = \overline{W}(\mathbf{r}) \varphi(\mathbf{r}) + \overline{\overline{W}}(\mathbf{r}) \varphi(\mathbf{r}) \quad (16)$$

avec

$$\overline{\overline{W}}(\mathbf{r}) = \sum_{\mathbf{n}} P_n < n | W_I(\mathbf{r}) T W(\mathbf{r}) | n >. \quad (17)$$

Il nous reste maintenant à faire disparaître les opérateurs de spin de $\overline{\overline{W}}(\mathbf{r})$ par les opérations de moyenne. Remarquons tout d'abord que T et $W_c(\mathbf{r})$ ne dépendant pas des spins, $\overline{\overline{W}}(\mathbf{r})$ ne peut dépendre que de $W_I(\mathbf{r})$:

$$\overline{\overline{W}}(\mathbf{r}) = \sum_{\mathbf{n}} P_n < n | W_I(\mathbf{r}) | n >$$

soit :

$$\begin{aligned} \overline{\overline{W}}(\mathbf{r}) &= \sum_{\mathbf{m}} \sum_{\mathbf{j}} V_I(\mathbf{r} - \mathbf{R}_{m,j}) T V_I(\mathbf{r} - \mathbf{R}_{m,j}) \\ &\quad \sum_{\mathbf{p}} P_n < n | (\mathbf{S}_{m,j} \sigma)^r | n > \\ + \sum_{\mathbf{m}} \sum_{\mathbf{j}} \sum_{\mathbf{m}'} \sum_{\mathbf{j}'} V_I(\mathbf{r}, \mathbf{R}_{m,j}) T V_I(\mathbf{r} - \mathbf{R}_{m',j'}) \\ &\quad \sum_{\mathbf{n}} P_n < n | (\mathbf{S}_{m,j} \sigma) (\mathbf{S}_{m',j'} \sigma) | p >. \end{aligned} \quad (18)$$

Les spins étant répartis au hasard, la seconde ligne s'annule. Calculons la moyenne figurant dans la première ligne. On a :

$$\mathbf{S} \cdot \sigma = S^+ \sigma^- + S^- \sigma^+ + S^z \sigma^z.$$

L'élément diagonal de $(\mathbf{S} \cdot \sigma)^2$ a donc pour expres-

$$< n | S^+ S^- \sigma^- \sigma^+ + S^- S^+ \sigma^+ \sigma^- + S^z S^z \sigma^z \sigma^z | n >$$

soit, en utilisant les relations classiques de commutation :

$$< n | \frac{S^2}{4} + \sigma^z S^z | n > = \frac{S(S+1)}{4} + < n | \sigma^z S^z | n > ,$$

La moyenne fait partir le second terme, de sorte qu'il reste :

$$\bar{W}(\mathbf{r}) = \sum_{mj} V_I(\mathbf{r} - \mathbf{R}_{mj}) TV_I(\mathbf{r} - \mathbf{R}_{mj}) \frac{S_m(S_m + 1)}{4}. \quad (19)$$

On constate encore que $\bar{W}(\mathbf{r})$ est indépendant de la polarisation des neutrons, résultats d'ailleurs évidente du fait de la répartition au hasard des spins nucléaires. Il nous reste maintenant à exprimer l'opérateur figurant dans $\bar{W}(\mathbf{r})$ sous une forme plus simple. L'opérateur $V_I(\mathbf{r})$ appliqué à une fonction $f(\mathbf{r})$ dont la singularité à l'origine n'est pas plus forte que $1/2$ donne :

$$4\pi a_I \delta(\mathbf{r}) f(0).$$

Soit, en développant $\delta(\mathbf{r})$ en intégrale de Fourier.

$$\frac{a_I f(0)}{2\pi^2} \int e^{ik'r} dk'$$

d'où :

$$\begin{aligned} TV_I(\mathbf{r}) f(\mathbf{r}) &= \frac{a_I f(0)}{2\pi^2} \int \frac{1}{\nabla^2 + k^2} e^{ik'r} dk' \\ &= \frac{a_I f(0)}{2\pi^2} \int \frac{e^{ik'r}}{k^2 - k'^2} dk'. \end{aligned}$$

Soit, après intégration :

$$\begin{aligned} TV_I(\mathbf{r}) f(\mathbf{r}) &= -2a_I f(0) e^{ikr} / r \\ S(\mathbf{r}) e^{ikr} / r &= (\partial / \partial r) e^{ikr} = ik e^{ikr} \end{aligned}$$

d'où finalement :

$$\begin{aligned} V_I(\mathbf{r}) TV_I(\mathbf{r}) f(\mathbf{r}) &= -4\pi ik a_I^2 f(0) \delta(\mathbf{r}) \\ &= ik a_I V_I(\mathbf{r}) f(\mathbf{r}). \end{aligned} \quad (20)$$

L'équation de propagation de l'onde optique va donc pouvoir se mettre sous la forme très simple :

$$(\nabla^2 + k^2) \varphi(\mathbf{r}) = \sum_{mj} 2\pi a_j V'(\mathbf{r} - \mathbf{R}_{mj}) \varphi(\mathbf{r}). \quad (21)$$

avec

$$V'(\mathbf{r}) = \delta(\mathbf{r}) \lim_{r \rightarrow 0} (\partial / \partial r) r. \quad (22)$$

et

$$a = a_0 - i(S(S+1)/4) a_I^2. k. \quad (23)$$

On voit donc que le terme supplémentaire joue le rôle d'une absorption correspondant à l'appauvrissement de l'onde optique par la diffusion incohérente qui provient de l'orientation statistique des spins.

5. Résolution de l'équation de propagation.

On cherche à résoudre l'équation de propagation (21) par une fonction du type des fonctions de Bloch décrivant le mouvement des électrons dans un solide :

$$\varphi(\mathbf{r}) = e^{ik'r} \chi(\mathbf{r}) \quad (24)$$

où $\chi(\mathbf{r})$ est une fonction ayant la périodicité du réseau :

$$\chi(\mathbf{r}) = \chi(\mathbf{r} + \mathbf{m}). \quad (25)$$

Cette triple périodicité entraîne :

$$V'(\mathbf{r} - \mathbf{R}_{mj}) \varphi(\mathbf{r}) = \delta(\mathbf{r} - \mathbf{R}_{mj}) \chi_{oj} e^{ik'R_{mj}} \quad (26)$$

χ_{oj} sont des constantes que l'on déterminera ultérieurement en écrivant que la solution $\varphi(\mathbf{r})$ ainsi construite conduit bien aux relations précédentes. La condition de compatibilité de ces g équations à g inconnues déterminera k' en fonction de k . Construisons tout d'abord la fonction

En portant la fonction de Bloch (24) dans l'équation de propagation (21) on obtient :

$$(\nabla^2 + k^2) \chi(\mathbf{r}) e^{ik'r} = 4\pi \sum_{mj} a_j \delta(\mathbf{r} - \mathbf{m} - \mathbf{j}) \chi_{oj} e^{ik'(\mathbf{m} + \mathbf{j})}.$$

Soit, en utilisant le développement de Fourier de la fonction de Dirac :

$$\begin{aligned} (\nabla^2 + k^2) \chi(\mathbf{r}) e^{ik'r} &= \frac{1}{2\pi^2} \sum_j a_j \chi_{oj} \sum_{\mathbf{m}} \int e^{ik''(\mathbf{r} - \mathbf{m} - \mathbf{j})} e^{ik'(\mathbf{m} + \mathbf{j})} d\mathbf{k}'' \\ &= \frac{1}{2\pi^2} \sum_j a_j \chi_{oj} \int \sum_{\mathbf{m}} e^{i(\mathbf{k}' - \mathbf{k}'')\mathbf{m}} e^{i(\mathbf{k}' - \mathbf{k}'')\mathbf{j}} d\mathbf{k}''. \end{aligned}$$

Or :

$$\sum_{\mathbf{m}} e^{i(\mathbf{k}' - \mathbf{k}'')\mathbf{m}} = \frac{8\pi^3}{V_0} \sum_{\mathbf{M}} \delta(\mathbf{k}' - \mathbf{k}'' - \mathbf{M}) e^{ik'r} d\mathbf{k}''.$$

dans laquelle V_0 est le volume de la maille élémentaire. La sommation sur \mathbf{M} doit être étendue à tous les nœuds du réseau réciproque ⁽¹⁾ d'où

$$(\nabla^2 + k^2) \chi(\mathbf{r}) e^{ik'r} = \frac{4\pi}{V_0} \sum_{\mathbf{m}} \sum_j a_j \chi_{oj} e^{i(\mathbf{M} + \mathbf{j})} e^{i(\mathbf{k}' - \mathbf{k}'')\mathbf{r}}. \quad (27)$$

La fonction $\chi(\mathbf{r})$ qui est périodique peut être développée en série de Fourier :

$$\chi(\mathbf{r}) = \sum_{\mathbf{M}} C(\mathbf{M}) e^{i\mathbf{M} \cdot \mathbf{r}}. \quad (28)$$

Les coefficients $C(\mathbf{M})$ se déterminent en portant cette série dans l'équation (27).

On obtient ainsi pour l'onde optique :

$$\varphi(\mathbf{r}) = \frac{4\pi}{V_0} \sum_{\mathbf{M}} \left\{ \sum_j a_j \chi_{oj} e^{i\mathbf{M} \cdot \mathbf{j}} \right\} \frac{e^{i(\mathbf{M} + \mathbf{k}') \cdot \mathbf{r}}}{k^2 - (\mathbf{M} + \mathbf{k}')^2}. \quad (29)$$

Les seuls termes importants de cette série sont ceux pour lesquels le dénominateur est petit. Deux cas peuvent se présenter, correspondant à deux types différents de propagation.

a) Il n'y a aucun vecteur \mathbf{M} tel que $(\mathbf{M} + \mathbf{k}')^2$ soit voisin de k^2 , k' restant lui-même voisin de k . Le seul grand terme correspond à $\mathbf{M} = 0$. C'est la *propagation normale* dans laquelle la structure triplement périodique du cristal n'intervient pas. On a alors :

$$\varphi(\mathbf{r}) = \frac{4\pi}{V_0} \sum_j a_j \chi_{oj} e^{ik' \cdot \mathbf{r}} (k^2 - k'^2)^{-1}. \quad (30)$$

⁽¹⁾ $\mathbf{M} = M_1 \mathbf{L}_1 + M_2 \mathbf{L}_2 + M_3 \mathbf{L}_3$; M_1, M_2, M_3 sont trois entiers et $\mathbf{L}_1 = 2\pi \frac{\mathbf{l}_2 \wedge \mathbf{l}_3}{\mathbf{l}_1(\mathbf{l}_2 \wedge \mathbf{l}_3)}$.

Si nous portons cette expression dans (26) :

$$4\pi a_{j'} \chi_{0j'} = 4\pi a_{j'} \sum_j \frac{4\pi}{V_0} a_j \chi_{0j} \frac{1}{k^2 - k'^2}.$$

En éliminant χ_{0j} on obtient :

$$k'^2 - k^2 = \sum_j \frac{4\pi}{V_0} a_j$$

d'où l'indice de réfraction :

$$n = \frac{k'}{k} = 1 - \frac{1}{k^2} \sum_j \frac{4\pi}{V_0} a_j. \quad (31)$$

Cet indice est, en général complexe, la partie imaginaire provenant soit de l'absorption vraie, soit de la diffusion incohérente. Dans le cas de noyaux dénués de spin, seule l'absorption vraie produit un affaiblissement de l'onde optique.

b) Il existe un vecteur \mathbf{M} différent de zéro tel que $(\mathbf{k}' + \mathbf{M})$ soit voisin de k'^2 , donc de k^2 . Il y a alors *réflexion de Bragg* sur le plan réticulaire \mathbf{M} . Deux ondes peuvent se propager simultanément dans le cristal :

$$\varphi(\mathbf{r}) = \frac{4\pi}{V_0} \left\{ \sum_j \frac{a_j \chi_{0j}}{k^2 - k'^2} + \sum_j \frac{a_j \chi_{0j} e^{-i\mathbf{M} \cdot \mathbf{r}}}{k^2 - (\mathbf{k}' + \mathbf{M})^2} \right\} e^{i\mathbf{k} \cdot \mathbf{r}} + f(\mathbf{r}). \quad (32)$$

Les termes groupés dans $f(\mathbf{r})$ sont petits partout, sauf au voisinage des noyaux où ils présentent une singularité en $1/2$. Nous les négligerons dans la suite du calcul puisque les opérateurs d'interaction ont été construits de façon à faire sauter de telles singularités. L'opérateur $V(\mathbf{r} - \mathbf{R}_{mj})$ appliqué à la fonction $\varphi(\mathbf{r})$ nous donne :

$$\chi_{0j} = 4\pi n_0 = \left\{ \sum_j' \frac{a_j \chi_{0j'}}{k^2 + k'^2} + \sum_j' \frac{a_j \chi_{0j'} e^{-i\mathbf{M} \cdot \mathbf{r}}}{k^2 - (\mathbf{k}' + \mathbf{M})^2} e^{i\mathbf{M} \cdot \mathbf{r}} \right\}. \quad (33)$$

On pose :

$$C_1 = 4\pi n_0 \sum_j \frac{a_j \chi_{0j}}{k^2 - k'^2} \quad (34)$$

$$C_2 = 4\pi n_0 \sum_j \frac{a_j \chi_{0j} e^{-i\mathbf{M} \cdot \mathbf{r}}}{k^2 - (\mathbf{k}' + \mathbf{M})^2}$$

d'où

$$\chi_{0j} = C_1 + C_2 e^{i\mathbf{M} \cdot \mathbf{r}}. \quad (35)$$

Les deux constantes C_1 et C_2 sont donc déterminées par le système homogène

$$C_1 = 4\pi n_0 \sum_j a_j \frac{1}{k^2 - k'^2} \{ C_1 + C_2 e^{i\mathbf{M} \cdot \mathbf{r}} \} \quad (36)$$

$$C_2 = 4\pi n_0 \sum_j a_j \frac{1}{k^2 - (\mathbf{k}' + \mathbf{M})^2} (C_1 + C_2 e^{i\mathbf{M} \cdot \mathbf{r}}).$$

Soit

$$(k^2 - k'^2 - \alpha) C_1 - \beta + C_2 = 0$$

$$-\beta - C_1 + (k^2 - (\mathbf{k}' + \mathbf{M})^2 - \alpha) C_2 = 0 \quad (37)$$

avec

$$\alpha = \sum_j \frac{4\pi}{V_0} a_j$$

$$\beta_{\pm} = \frac{4\pi}{V_0} \sum_j a_j e^{\pm i\mathbf{M} \cdot \mathbf{r}}. \quad (38)$$

La condition de compatibilité des équations (37) permet de déterminer k' en fonction de k , c'est-à-dire l'indice du cristal ; elle s'écrit :

$$(k^2 - k'^2 - \alpha)(k^2 - (\mathbf{k}' + \mathbf{M})^2 - \alpha) = \beta^+ \beta^-. \quad (39)$$

Cette équation à deux solutions k'_1 et k'_2 . La solution générale de l'équation de propagation de l'onde optique $\varphi(\mathbf{r})$ dans le cristal s'écrit donc, avec deux constantes arbitraires :

$$\varphi(\mathbf{r}) = A_1 [e^{i\mathbf{k}'_1 \cdot \mathbf{r}} + \xi_1 e^{i(\mathbf{k}'_1 + \mathbf{M}) \cdot \mathbf{r}}] + A_2 [e^{i\mathbf{k}'_2 \cdot \mathbf{r}} + \xi_2 e^{i(\mathbf{k}'_2 + \mathbf{M}) \cdot \mathbf{r}}] \quad (40)$$

dans lequel

$$\xi_{1,2} = \frac{k^2 - k_{1,2} - \alpha}{\beta^+}. \quad (41)$$

Cette fonction correspond à quatre ondes se propageant deux par deux en sens inverse. Deux correspondent aux ondes normales transmises ou réfléchies avec des lois analogues à celles de l'optique habituelle, les deux autres correspondent à des ondes ayant subies des réflexions de Bragg.

6. Propagation dans un cristal de dimensions finies. — Les deux constantes A_1 et A_2 , ainsi que la direction de propagation peuvent être déterminées si on se donne un cristal de forme donnée irradié par une onde plane de neutrons. Pour simplifier le problème, nous supposons que le cristal est limité par deux plans parallèles P et P' distants de 1. Le faisceau de neutrons tombe sur le cristal en faisant un angle θ_0 avec la normale aux faces de la lame. La fonction d'onde incidente, à l'extérieur du cristal est :

$$\varphi_0(\mathbf{r}) = e^{i\mathbf{k} \cdot \mathbf{r}}.$$

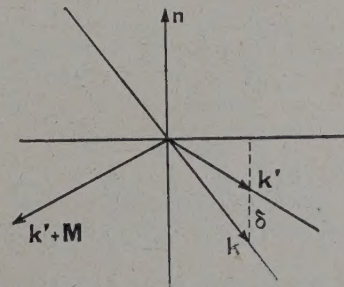


FIG. 1.

A l'intérieur l'onde optique se compose d'une onde « normale »

$$\varphi_n(\mathbf{r}) = A_1 e^{i\mathbf{k}'_1 \cdot \mathbf{r}} + A_2 e^{i\mathbf{k}'_2 \cdot \mathbf{r}}$$

et d'une onde réfléchie suivant les lois de Bragg :

$$\varphi_B(\mathbf{r}) = A_1 \xi_1 e^{i(\mathbf{k}'_1 + \mathbf{M}) \cdot \mathbf{r}} + A_2 \xi_2 e^{i(\mathbf{k}'_2 + \mathbf{M}) \cdot \mathbf{r}}.$$

La continuité de $\varphi_n(\mathbf{r})$ et de $\varphi_B(\mathbf{r})$ sur le plan entraîne :

$$\mathbf{k}'_1 = \mathbf{k} + \delta_1 \mathbf{n} \quad \mathbf{k}'_2 = \mathbf{k} + \delta_2 \mathbf{n}$$

étant le vecteur unitaire normal au plan P δ_1 et δ_2 sont les racines de l'équation obtenue en exprimant, dans l'équation (39) $\mathbf{k}_{1,2}$ en fonction de $\delta_{1,2}$. Les indices de réfraction des neutrons étant très peu différents de l'unité, δ_1 et δ_2 sont petits et on peut écrire :

$$k_{1,2}'^2 = k^2 + 2\delta_{1,2} \mathbf{k} \cdot \mathbf{n}$$

$$(\mathbf{k}'^2 + \mathbf{M}) = (\mathbf{k} + \mathbf{M})^2 + 2\delta_{1,2}(\mathbf{k} + \mathbf{M}) \cdot \mathbf{n}.$$

Utilisons le fait que nous sommes au voisinage d'une réflexion de Bragg, c'est-à-dire que \mathbf{k}' est voisin d'un vecteur \mathbf{k}_B tel que

$$(\mathbf{k}_B + \mathbf{M}_0)^2 = k^2.$$

Nous supposons que $k = k_B + \varepsilon$ et que l'angle de \mathbf{k} avec \mathbf{k}_B est $\theta - \theta_0$. Un calcul élémentaire montre que l'équation à laquelle doit satisfaire δ est :

$$\delta^2 - \left(\frac{\alpha}{2k} \left(\frac{1}{\gamma_0} + \frac{1}{\gamma_B} \right) - \frac{\Delta}{\gamma_B} \right) \delta + \frac{\alpha^2 - \beta^2 - 2\alpha k \Delta}{4\gamma_0 \gamma_B k^2} = 0 \quad (42)$$

avec

$$\Delta = \varepsilon k \cos 2\theta_B + 2(\theta - \theta_B) M k \cos \theta_B \quad (42')$$

γ_0 et γ_B désignant les cosinus des angles de la normale au plan P avec les vecteurs \mathbf{k} et $\mathbf{k} + \mathbf{M}$. Cette équation a pour racines :

$$\delta = \delta_0 \pm \Psi' \quad (43)$$

avec

$$\delta_0 = \frac{\alpha}{4k} \left(\frac{1}{\gamma_0} + \frac{1}{\gamma_B} \right) - \frac{\Delta}{2k \gamma_B} \quad (43')$$

$$\Psi' = \frac{1}{2} \left[\frac{\beta^2 - \alpha^2}{k^2 \gamma_0 \gamma_B} + \left(\frac{\alpha}{2k} \left(\frac{1}{\gamma_B} - \frac{1}{\gamma_0} \right) - \frac{\Delta}{2k \gamma_B} \right)^2 \right]^{1/2}.$$

D'une façon générale, l'onde à l'intérieur du cristal peut être mise sous la forme :

$$\begin{aligned} \varphi(\mathbf{r}) &\equiv \varphi_1(\mathbf{r}) \varphi_B(\mathbf{r}) \\ &= [A_1 e^{i\Psi x} + A_2 e^{i\Psi' x}] e^{i\delta_0 x} e^{i\mathbf{k} \cdot \mathbf{r}} \\ &\quad + [\xi_1 A_1 e^{i\Psi x} + \xi_2 A_2 e^{-i\Psi' x}] e^{i\delta_0 x} e^{i(\mathbf{k} + \mathbf{M}) \cdot \mathbf{r}} \end{aligned} \quad (44)$$

x étant la distance du point \mathbf{r} considéré à la face d'entrée P . Les deux constantes A_1 et A_2 doivent être déterminées par les conditions aux limites. Celles-ci sont très différentes suivant que le vecteur de propagation de l'onde diffractée $\varphi_B, \mathbf{k}' + \mathbf{M}$, est dirigé par rapport à la normale \mathbf{n} dans le même sens que \mathbf{k}' ou en sens inverse. Le premier cas correspond à des neutrons diffractés « transmis » (cas Laue), le second à des neutrons diffractés « réfléchis » (cas Bragg).

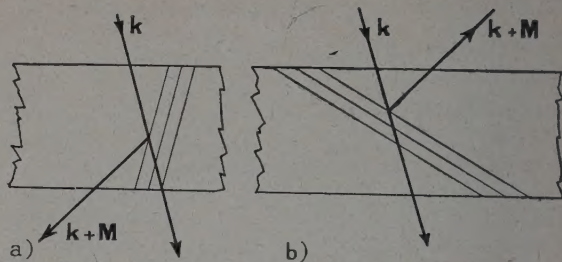


FIG. 2. — a) Cas Laue ; b) Cas Bragg.

Lorsqu'il y a transmission, l'onde $\varphi_B(\mathbf{r})$ est nulle sur le plan d'entrée P :

$$\xi_1 A_1 + \xi_2 A_2 = 0. \quad (45)$$

Lorsqu'au contraire il y a réflexion, l'onde $\varphi_B(\mathbf{r})$ est nulle sur le plan de sortie P' :

$$\xi_1 A_1 e^{i\Psi l} + \xi_2 A_2 e^{-i\Psi' l}. \quad (46)$$

Les formules que nous venons d'établir permettent de discuter tous les cas possibles. Elles conduisent malheureusement à des expressions algébriquement très lourdes dans lesquelles nous n'entrerons pas. On en trouve un exposé très complet dans le livre de Zachariasen [4] auquel nous renvoyons le lecteur.

APPENDICE A

Influence de l'agitation thermique sur la diffusion cohérente. — Dans cet article, nous avons considéré des noyaux disposés aux nœuds d'un réseau rigide, alors qu'en réalité les atomes sont en mouvement incessant, même au zéro absolu. Nous allons développer un formalisme qui mettra en évidence l'influence des mouvements atomiques sur la propagation de l'onde optique. Créant du désordre, l'agitation thermique a pour effet d'augmenter la diffusion incohérente, donc de produire un affaiblissement supplémentaire de l'onde optique. Les interférences sont également rendues plus floues, les ondes diffusées par les différents noyaux n'étant plus rigoureusement en phase. Il en résulte une diminution apparente de la longueur de diffusion, que l'on traduit par le facteur de Debye-Waller. Nous ne traiterons que ce second effet, le plus important.

1. Nous désignerons par $\mathbf{u}(\mathbf{m}, j)$ le déplacement de l'atome \mathbf{m}, j , et par

$$\mathbf{R}_{\mathbf{m}j} = \mathbf{m} + \mathbf{j} + \mathbf{u}(\mathbf{m}, j)$$

sa position instantanée. L'opérateur d'interaction neutron-cristal peut alors s'écrire

$$W(\mathbf{r}) = 4\pi \sum_{\mathbf{m}, j} a_j \delta(\mathbf{r} - \mathbf{M}_{\mathbf{m}j}) \lim_{\mathbf{r} \rightarrow \mathbf{M}_{\mathbf{m}j}} \frac{\partial}{\partial r} (rC).$$

Nous allons introduire l'opérateur

$$\langle p | \mathcal{V}_{mj}(\mathbf{r}) | q \rangle$$

qui agit sur les coordonnées du neutron. Cet opérateur a pour expression :

$$\langle p | \mathcal{V}_{mj}(\mathbf{r}) | q \rangle = 4\pi a_j \langle p | S(\mathbf{r} - \mathbf{R}_{mj}) \lim_{\mathbf{r} \rightarrow \mathbf{R}_{mj}} \frac{\partial}{\partial r} r \mathcal{O} | q \rangle.$$

Pour donner une forme plus maniable à cet opérateur, nous allons le faire agir sur une fonction $f(\mathbf{r})$ que nous supposons développable en série de Fourier, et ne présentant pas, au voisinage de $\mathbf{r} = \mathbf{R}_{mj}$ de singularités plus forte que

$$\frac{r'_{mj}}{1} [\mathbf{r}'_{mj} = \mathbf{r} - \mathbf{R}_{mj}].$$

L'opérateur $\frac{\partial}{\partial r'_{mj}} r'_{mj} \mathcal{O}$ aurait pour effet de supprimer toute singularité en $1/r'_{mj}$, de sorte qu'on peut supposer la fonction $f(\mathbf{r})$ régulière. Posons :

$$f(\mathbf{r}) = \int e^{i\mathbf{k} \cdot \mathbf{r}} F(\mathbf{k}) d\mathbf{k}.$$

Nous allons tout d'abord montrer que l'on peut écrire

$$g_{pq}(\mathbf{r}) = \langle p | \mathcal{V}_{mj}(\mathbf{r}) | q \rangle f(\mathbf{r}) = \int e^{i\mathbf{k} \cdot \mathbf{r}} G_{pq}(\mathbf{k}) d\mathbf{k}$$

où $G_{pq}(\mathbf{k})$ s'obtient à partir de $F(\mathbf{k})$ au moyen d'un opérateur intégral

$$\begin{aligned} \mathcal{V}_{mj}(\mathbf{r}) f(\mathbf{r}) &= 4\pi a_j \delta(\mathbf{r} - \mathbf{m} - \mathbf{j} - \mathbf{u}(\mathbf{m}, j)) \\ &\int F(\mathbf{k}) e^{i\mathbf{k} \cdot (\mathbf{m} + \mathbf{j} + \mathbf{u}_{mj})} d\mathbf{k} \\ &= \frac{a_j}{2\pi^2} \iint e^{i\mathbf{k}' \cdot \mathbf{r}} F(\mathbf{k}) e^{i(\mathbf{k} - \mathbf{k}') \cdot (\mathbf{m} + \mathbf{j} + \mathbf{u}(\mathbf{m}, j))} d\mathbf{k} d\mathbf{k}' \end{aligned}$$

d'où

$$G_{pq}(\mathbf{k}') = \frac{a_j}{2\pi^2} \int F(\mathbf{k}) H_{pq}(\mathbf{k} - \mathbf{k}') d\mathbf{k}.$$

avec

$$H_{pq}(\mathbf{K}) = \langle p | e^{i(\mathbf{K} \cdot \mathbf{u}(\mathbf{m}))} | q \rangle e^{i(\mathbf{K} \cdot (\mathbf{m} + \mathbf{j}))}.$$

On aurait peine à reconnaître la théorie de Debye-Waller sous cette forme un peu abstraite où elle est pourtant contenue toute entière.

La transformée de Fourier de $H_{pq}(\mathbf{K})$ est

$$k_{pq}(\mathbf{r}) = \int e^{i\mathbf{k} \cdot (\mathbf{m} + \mathbf{j} - \mathbf{r})} \langle p | e^{i(\mathbf{k} - \mathbf{k}') \cdot \mathbf{u}(\mathbf{m}, j)} | q \rangle d\mathbf{k}.$$

En appliquant le théorème de convolution à $G_{pq}(\mathbf{k})$, on trouve

$$G_{pq}(\mathbf{k}') = \frac{a_j}{2\pi^2} \int f(\mathbf{r}) h_{pq}(\mathbf{r}) e^{-i\mathbf{k}' \cdot \mathbf{r}} d\mathbf{r}.$$

Donc $g_{pq}(\mathbf{r})$ est égale au produit de $k_{pq}(\mathbf{r}, \mathbf{m}_j)$ par la fonction

$$\langle p | \mathcal{V}_{mj}(\mathbf{r}) | q \rangle f(\mathbf{r}) = g_{pq}(\mathbf{r}) = h_{pq}(\mathbf{r}, \mathbf{m}_j) f(\mathbf{r}).$$

S'il n'y a pas de déplacement des atomes, $hZ(\mathbf{r}, \mathbf{m}_j)$ se réduit à

$$h_{pq}(\mathbf{r}, \mathbf{m}_j) = \delta(\mathbf{r} - \mathbf{m} - \mathbf{j}) \delta_{pq}.$$

Dans le cas général, $h_{pq}(\mathbf{r}, \mathbf{m}_j)$ produit le fait qu'un noyau en mouvement ne peut plus être traduit par un potentiel en fonction de Dirac, car il se trouve réparti dans un élément de volume autour de sa position moyenne.

2. Considérons le potentiel moyen $\bar{W}(\mathbf{r})$. Nous n'avons alors à envisager que les termes diagonaux dont il faut prendre la moyenne. La donnée expérimentalement importante est l'intensité cohérente diffusée suivant une certaine direction. Plutôt que l'opérateur lui-même, c'est donc plutôt l'opérateur agissant dans l'espace réciproque que nous devons calculer.

$$\bar{H} = \sum_p P_p \langle p | e^{i(\mathbf{k} - \mathbf{k}') \cdot \mathbf{u}(\mathbf{m}, j)} | p \rangle = e^{i(\mathbf{k}' - \mathbf{k}) \cdot (\mathbf{m} + \mathbf{j})}.$$

Un calcul classique montre que

$$\sum_p P_p \langle p | e^{i(\mathbf{k} - \mathbf{k}') \cdot \mathbf{u}(\mathbf{m}, j)} | p \rangle = e^{-Q_D(T)}$$

où

$$Q_D(T) = (\mathbf{k}' - \mathbf{k})^2 \cdot D(T)$$

est le facteur de Debye-Waller. De la forme du noyau $H(\mathbf{K})$, on déduit. a) La propagation de l'onde optique « normale » n'est pas affectée par l'agitation thermique, non plus que l'indice du cristal, résultat bien connu. b) Les ondes cohérentes diffusées suivant une certaine direction de réflexion de Bragg correspondant à un point \mathbf{M} du réseau réciproque seront affectées par le facteur de Debye-Waller.

Pour préciser encore le sens du facteur de Debye, nous allons chercher l'inverse de Fourier de $H(\mathbf{K})$ qui est facilement déterminable. On trouve sans difficultés :

$$\tilde{h}(\mathbf{r}) = \frac{\pi \sqrt{\pi}}{D^{3/2}} e^{-(\mathbf{m} + \mathbf{j} - \mathbf{r})^2}.$$

Il apparaît sur cette formule que D correspond au carré moyen du déplacement du noyau autour de sa position d'équilibre.

Manuscrit reçu le 31 juillet 1957.

BIBLIOGRAPHIE

- [1] DARWIN (C. G.), *Phil. Mag.*, 1914, **27**, 325, 675.
- [2] EWALD (P. P.), *Ann. Physik*, 1917, **54**, 519, 577.
- [3] MAUGUIN (C.), *J. Physique Rad.*,

- [4] ZACHARIASEN, *Theory of X Ray diffraction in crystals*, 1945.
- [5] SEITZ et GOLDBERGER, *Phys. Rev.*, 1947, **71**, 294.
- [6] YVON (J.), Communication privée.

INTERACTIONS DES PROTONS DE 1 GeV AVEC LES NOYAUX LOURDS ET LÉGERS.

1. — EMPLOI D'ÉMULSIONS PHOTOGRAPHIQUES DILUÉES.
SECTIONS EFFICACES D'INTERACTION. MODES DE RÉACTION.

Par GEORGES PHILBERT,

Laboratoire de Physique et Chimie Nucléaires, Collège de France, Paris.

1. **Introduction.** — Les propriétés essentielles des interactions des protons de 1 GeV avec les noyaux légers (C, N, O) et lourds (Br, Ag) de l'émulsion photographique ont été rapportées dans des publications récentes [1], [2], [3], [4], [5]. Nous nous proposons de préciser des résultats préliminaires et de les analyser plus complètement. Dans un premier article nous donnerons quelques indications sur la technique des émulsions diluées mise en œuvre au cours de nos recherches et traiterons des sections efficaces d'interaction et des modes de réaction. Dans le deuxième article nous étudierons les propriétés de l'émission des particules chargées.

2. **Technique des émulsions diluées.** — Une des difficultés d'interprétation des expériences de physique nucléaire telles que les noyaux cibles sont ceux contenus dans l'émulsion photographique est la variété des atomes constituant cette émulsion. Aux énergies élevées, la structure détaillée du noyau cible joue un rôle secondaire et il est possible de classer les noyaux en trois groupes : *a.* les protons libres : noyaux H ; *b.* les noyaux légers (C, N, O) dont le nombre de masse moyen est $A = 14$; *c.* les noyaux lourds (Ag, Br) dont le nombre de masse moyen est $A = 93$.

Considérons le cas des noyaux complexes. La distinction entre les interactions d'une particule primaire avec les noyaux lourds et légers est assez difficile ; un critère systématique dont l'utilisation a été tentée [6] est celui qui fait appel aux propriétés de la barrière de potentiel. Il est admis que les réactions nucléaires aux grandes énergies se font en deux étapes : *a)* processus de cascade aboutissant à un noyau intermédiaire ; *b)* désintégration de ce noyau intermédiaire au cours du processus d'évaporation. Dans le cas d'un noyau intermédiaire lourd, la barrière de potentiel rend improbable l'émission de particules ayant une énergie inférieure à une certaine énergie limite (9 MeV pour les particules de charge 2 ; 4,5 MeV pour les particules de charge 1 dans les cas d'un noyau de nombre de masse $A \approx 95$).

Au contraire les niveaux excités des noyaux légers ont une forte probabilité de désexcitation par

émission de particules chargées, et notamment de particules α . Dans ces conditions la distinction entre les étoiles dues à l'interaction d'une particule primaire avec un noyau léger ou avec un noyau lourd repose sur l'émission ou la non-émission d'une particule α de moins de 9 MeV ou d'un proton (deuteron ou triton) de moins de 4,5 MeV. Ce critère prête à diverses objections :

a. Il existe des chocs de type nucléon-nucléon lié sans excitation ou avec excitation très faible du noyau résiduel (Duke et al. [9]).

b. Dans les cas des noyaux intermédiaires lourds hautement excités, la déformation de la surface nucléaire entraîne un abaissement de la barrière de potentiel. D'autre part il peut y avoir émission de fragments qui se désintègrent eux-mêmes selon les modes habituels pour les noyaux légers, c'est-à-dire avec émission de particules α de faible énergie.

c. Pour les noyaux légers, il n'est pas impossible *a priori* d'envisager des processus d'interaction ne faisant pas intervenir un noyau intermédiaire. D'autre part, pour les énergies d'excitation élevées, il est difficile d'affirmer que la désintégration conduit toujours à l'émission de particules de faible énergie. En effet de tels noyaux pourraient être totalement dissociés avant que les niveaux correspondants aient été atteints. Cette éventualité paraît *a priori* d'autant plus probable que l'énergie des particules incidentes est plus élevée.

Pour ces diverses raisons, le critère de la barrière de potentiel doit être examiné de très près avant d'être pris en considération d'une manière systématique. En fait son degré de validité paraît dépendre de l'énergie des particules incidentes. D'après Muirhead et Rosser [8] il est confirmé par l'expérience dans le cas de protons de 125 MeV. Au contraire dans celui de protons de 1 GeV il se trouve violé dans la proportion de 15 % pour les noyaux lourds, de 60 % pour les noyaux légers [5]. Par une méthode différente McKeague aboutit à un résultat analogue au nôtre.

Dans ces conditions l'application des méthodes statistiques différentielles basées sur les résultats expérimentaux obtenus dans des émulsions de compositions différentes apparaît comme une méthode

intéressante. L'emploi systématique d'émulsions enrichies en gélatine (dites diluées) a jusqu'ici été seulement l'objet d'un travail de Lees, Morrison et al. [11] relatif aux interactions de protons de 125 MeV. Il semble que la possibilité d'utiliser cette technique à des énergies plus élevées ait été mise en doute. Nos recherches ne justifient pas cette attitude. Un intérêt supplémentaire des émulsions diluées provient de la réalisation dans les

laboratoires de champs magnétiques très intenses, susceptibles de dévier notablement les particules chargées sur de courtes distances. L'utilisation de cette méthode conduira à rechercher des émulsions dont la diffusion multiple sera faible, donc des émulsions à teneur en halogénure d'argent réduite. Les expériences ont été faites avec des émulsions diluées G_5 4 \times et G_5 2 \times dont la composition est rappelée (tableau I).

TABLEAU I

| ÉLÉMENTS NOMBRE ATOMES/CM ² ($\times 10^{-27}$) | I | Br | Ag | S | O | N | C |
|--|-------|-------|-------|------|------|------|------|
| G_5 nor | 0,011 | 1,03 | 1,04 | 0,02 | 1,02 | 0,29 | 1,36 |
| G_5 2 \times | 0,013 | 0,729 | 0,736 | 0,02 | 1,17 | 0,46 | 1,82 |
| G_5 4 \times | 0,008 | 0,462 | 0,455 | 0,01 | 1,40 | 0,63 | 2,32 |

Ces émulsions ont été exposées au faisceau de protons de 0,95 GeV du synchrotron de Birmingham et développées dans un révélateur à l'amidol (¹). Le temps de développement a été de 2 heures à 18°C. Dans certains cas un voile d'argent colloïdal a nécessité un traitement dans une solution d'acide chlorhydrique à 1/10 000.

Les densités de grains des traces de particules au minimum d'ionisation sont en moyenne de 22 grains/100 μ et 14 grains/100 μ dans les émulsions G_5 2 \times et G_5 4 \times respectivement.

Après traitement dans une solution de glycérine à 6 % les facteurs d'affaïssement sont de 1,50 (G_5 2 \times) et de 1,15 (G_5 4 \times).

Les traces du faisceau de protons (parallèle au plan de la surface de l'émulsion) sont suivies facilement, mais la durée de l'exploration d'une longueur de traces déterminée est sensiblement plus élevée que dans l'émulsion G_5 normale.

L'exploration en volume a un rendement sensiblement moins bon dans les émulsions G_5 4 \times que dans les émulsions normales ; non seulement les événements 1p et 2p mais aussi les événements 3p sont pour la plupart omis.

La valeur de la densité de grains d'une trace de particule en fonction du rapport E/μ de son énergie cinétique à sa masse au repos μ a été déterminée expérimentalement pour $E/\mu < 0,07$ dans l'émulsion G_5 4 \times . Des trajectoires de mésons μ ont été utilisées. Par extrapolation des résultats de Vigneron et Philbert [12] et de Muirhead et Rosser [13], nous avons admis que les parcours dans l'émulsion G_5 4 \times étaient égaux à 1,25 fois les parcours dans l'émulsion G_5 nor. Nous donnons les points de Bosley et Muirhead, — qui ne sont pas

en très bon accord avec les nôtres (fig. 1). Pour $E/\mu > 0,15$, il n'existe aucune détermination expérimentale, et il est donc impossible de tirer des renseignements valables relatifs à l'énergie des parti-

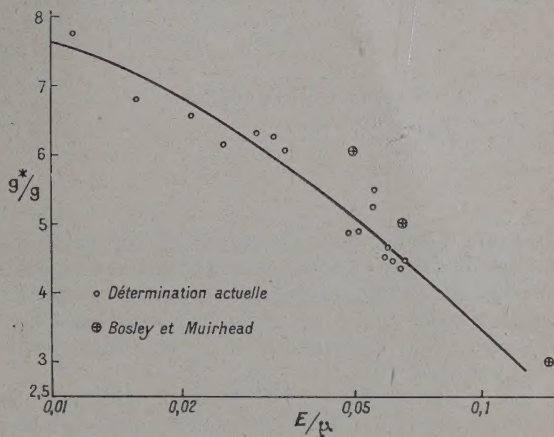


FIG. 1.

cules à partir des densités de grains des traces. Nous reviendrons sur ce point à propos de la distinction entre traces de gerbe et traces grises (cf. deuxième article).

3. Modes d'interaction. Libres parcours moyens d'absorption des protons de 1 GeV dans les émulsions diluées. Sections efficaces d'absorption avec les noyaux complexes. — La comparaison des résultats obtenus dans 2 émulsions de concentrations en halogénure d'argent différentes permet d'atteindre certaines des propriétés des interactions avec les noyaux légers de l'émulsion d'une part, avec les noyaux lourds d'autre part.

Une autre méthode (Lock [6], McKeague [10]) consiste à utiliser le critère de la barrière sous sa

(¹) Formule : Sulfite de sodium anhydre... 90 g
Acide borique 175 g
Bromure de potassium 4 g
Amidol 22 g
Eau 5 l

forme simplifiée, (émission de particules α) : sont classées comme interactions avec les noyaux légers celles où il y a émission d'une particule α d'énergie inférieure à 9 MeV et telles que le nombre total de charges émises soit inférieur à 10. Les résultats obtenus sont valables sous réserve :

a. que les contaminations mutuelles ne soient pas trop gênantes ; c'est précisément un des résultats de notre étude ; les propriétés des interactions des protons de 1 GeV avec les noyaux légers ou lourds ne sont pas fondamentalement différentes

b. que les interactions avec les noyaux légers n'aient pas des propriétés sensiblement différentes suivant qu'il y a émission d'une particule α (50 % de cas) ou non. Ce point demande à être prouvé par l'expérience. D'après nos résultats, il n'y a certainement pas contradiction absolue ; mais leur précision statistique ne permet pas une vérification rigoureuse.

Dans le cas où cela paraîtra utile nous comparerons les résultats obtenus par la méthode de statistique différentielle avec ceux obtenus par application du critère de la barrière de potentiel.

Une interaction avec émission de n particules chargées est appelée événement np . Les événements $1p$ sont, soit des diffusions (interactions élastiques) proton-noyau complexe, soit des réactions (interactions inélastiques) proton-noyau complexe. Les événements $2p$ sont des réactions inélastiques proton-noyau complexe, ou bien des interactions élastiques ou inélastiques p-p (proton-proton) libre. Ces événements ont été étudiés par différents auteurs [5] et nous ne nous y intéressons pas. Les événements np ($n \geq 3$) sont tous des réactions avec un noyau complexe.

Sont considérés comme phénomènes ayant l'apparence d'une diffusion élastique proton-noyau complexe tous les événements tels que les particules incidente et émergente ont même ionisation apparente, dans la limite des erreurs statistiques. Pratiquement la perte d'énergie des protons de 1 GeV doit être au moins de 200 MeV pour être décelable.

Les traces de protons de 0,95 GeV ont été explorées sur une longueur de 91,28 mètre dans l'émulsion $G_5 4\times$, de 44,77 mètre dans l'émulsion $G_5 2\times$. Dans le tableau II sont rapportés les

TABLEAU II

| ÉMULSION | LONGUEUR | ARRÊTS | DIFFUSIONS | | 1p | ÉTOILES | |
|---------------|----------|--------|------------------------------|--------------------|----|---------|-------------------|
| | | | $1^\circ < \theta < 5^\circ$ | $\theta > 5^\circ$ | | 2p | np ($n \geq 3$) |
| $G_5 4\times$ | 91,28 m | 3 | 74 | 14 | 12 | 37 | 140 |
| $G_5 2\times$ | 44,77 m | 2 | 46 | 14 | 4 | 16 | 71 |

nombres d'événements observés. Les phénomènes à aspect de diffusion sont classés en deux catégories suivant quel angle des trajectoires parcourues par les particules incidente et émergente est $\theta < 5^\circ$ ou $\theta > 5^\circ$. (Pour les angles $\theta < 1^\circ$ les diffusions ne sont pas repérables.)

La détermination des sections efficaces de réaction avec les noyaux complexes exige qu'il soit tenu compte de la présence des interactions proton-proton libre et des diffusions élastiques proton-noyau complexe. La section efficace d'interaction (élastique et inélastique) proton-proton à 1 GeV est de 49 mb. D'autre part tous les phénomènes à aspect de diffusion pour $\theta < 5^\circ$ sont considérés comme des diffusions vraies ; les sections efficaces de diffusion élastique d'angle $\theta > 5^\circ$ (système laboratoire) sont supposées égales à

$$\int_{\theta=5^\circ}^{\theta=180^\circ} \frac{d\sigma_d}{d\theta} d\theta = 78 \text{ mb pour } A = 93$$

$$\int_{\theta=5^\circ}^{\theta=180^\circ} \frac{d\sigma_d}{d\theta} d\theta = 31 \text{ mb pour } A = 14$$

($d\sigma_d/d\theta$ est la section efficace différentielle de diffusion élastique).

Les libres parcours moyens pour les interactions inélastiques proton-noyau complexe dans l'émul-

sion $G_5 2\times$ et $G_5 4\times$ se déduisent des résultats expérimentaux corrigés d'après les données précédentes :

$$L_{G_5 2\times} = (47,6^{+5,7}_{-4,6}) \text{ cm}$$

$$L_{G_5 4\times} = (53,7^{+4,4}_{-3,7}) \text{ cm}$$

Le libre parcours moyen $L_{G_5 \text{ nor}}$ dans les émulsions G_5 nor se déduit des résultats de Lock [7] et de McKeague [10] :

$$L_{G_5 \times 2 \text{ nor}} = 37,4^{+1,0}_{-1,0} \text{ cm}$$

La considération de la composition des émulsions permet, à partir des valeurs de $L_{G_5 \text{ nor}}$ et de $L_{G_5 4\times}$ de calculer celle de $L_{G_5 2\times}$, soit $L_{G_5 2\times} = 44,6$ cm. La différence avec la valeur expérimentale ne dépasse pas l'erreur statistique.

Des libres parcours moyens se déduisent les sections efficaces de réaction. Il est possible d'utiliser, soit les valeurs de $L_{G_5 4\times}$ et $L_{G_5 \text{ nor}}$, soit celle de $L_{G_5 \text{ nor}}$ et la moyenne pondérée de $L_{G_5 2\times}$ et $L_{G_5 4\times}$. La précision statistique est la même dans les deux cas. Nous obtenons ainsi

$$\sigma_r^{A=14} = (219^{+45}_{-45}) \text{ mb} \quad \sigma_r^{A=94} = (1\ 010 \pm 60) \text{ mb}$$

à partir de $L_{G_5 \text{ nor}}$ et de $L_{G_5 4\times}$

et

$$\sigma_r^{A=14} = (202^{+45}_{-45}) \text{ mb} \quad \sigma_r^{A=94} = (1\,035 \pm 60) \text{ mb}$$

à partir de $L_{G_5 \text{ nor}}$, d'une part, de $L_{G_5 2 \times}$ et $L_{G_5 4 \times}$ d'autre part.

Il convient d'observer que les deux statistiques ne sont pas indépendantes.

Nos résultats peuvent être comparés à ceux obtenus à partir de déterminations de transmission. L'interpolation des données de Chen, Leavitt et Shapiro (protons de 0,87 GeV [14]), de Booth et Ledley (protons de 0,9 GeV [21]) fournit :

$$\sigma_r^{A=94} = (970 \pm 30) \text{ mb}$$

$$\sigma_r^{A=14} = (230 \pm 25) \text{ mb} \text{ (Chen)}$$

$$\sigma_r^{A=14} = (255 \pm 20) \text{ mb} \text{ (Booth)}.$$

Les différences entre ces résultats et les nôtres sont de l'ordre des erreurs expérimentales ou statistiques. L'accord général entre les valeurs obtenues

par la méthode de l'émulsion et celles obtenues par des mesures de transmission indique que les hypothèses sur les sections efficaces de diffusion élastique et sur les probabilités d'émission de particules secondaires chargées sont correctes. La signification des résultats expérimentaux sera discutée dans une autre publication [22].

4. Diffusions élastiques. — L'observation des phénomènes de diffusion dans l'intervalle angulaire $\theta > 5^\circ$ est délicate. Tous les phénomènes ne sont pas repérés ; l'efficacité de l'observation dépend de l'azimut (angle entre le plan parallèle à la surface de l'émulsion et le plan défini par les traces incidente et émergente). Cette dépendance est plus ou moins grande suivant l'observateur. Dans ces conditions il est très difficile de tirer les conclusions sûres de résultats expérimentaux.

Nous rapportons les résultats obtenus par l'un des observateurs pour lequel l'influence de l'azimut ne paraît pas trop élevée (Tableau III). Les angles

TABLEAU III

| ANGLE DE DIFFUSION | NOMBRE D'ÉVÉNEMENTS OBSERVÉS | | |
|---------------------|----------------------------------|---------------------------------|--------------|
| | $G_5 2 \times (20,66 \text{ m})$ | $G_5 4 \times (45,3 \text{ m})$ | TOTAL (66 m) |
| $0^\circ - 1^\circ$ | — | — | (20) |
| $1^\circ - 2^\circ$ | 14 | 16 | 30 |
| $2^\circ - 3^\circ$ | 13 | 9 | 22 |
| $3^\circ - 4^\circ$ | 6 | 5 | 11 |
| $4^\circ - 5^\circ$ | 9 | 1 | 10 |

sont donnés dans le système du laboratoire, qui se confond pratiquement pour des noyaux de nombre de masse $A \geq 12$ avec le système du centre de masses.

Le nombre de diffusions indiqué pour les angles compris entre 0° et 1° a été extrapolé de celui observé dans l'intervalle angulaire $1^\circ - 2^\circ$ par application de la théorie de la diffraction sous la forme simple (répartition angulaire de la forme $d\sigma_d(\theta)/d\theta = 2\sigma_d J^2(k_0 R \sin \theta)/\sin \theta$ où R est le rayon nucléaire au sens de Fernbach, Serber et Taylor et k_0 le nombre d'ondes de la particule incidente). Le libre parcours moyen pour la diffusion d'angle θ quelconque dans une émulsion dont la composition serait $1,12 \cdot 10^{22}$ atomes lourds/cm³, et $3,94 \cdot 10^{22}$ atomes légers/cm³ est donc de 70 ± 7 cm. Dans une telle émulsion le libre parcours pour les réactions est de 51 cm environ.

Le rapport des sections efficaces de diffraction et d'absorption, supposé indépendant du noyau est donc :

$$\sigma_d/\sigma_a \approx 0,70$$

et le rapport de la section efficace totale

$$\sigma_t = \sigma_a + \sigma_d$$

à la section efficace d'absorption

$$\sigma_t/\sigma_a \approx 1,70.$$

Cette valeur est en bon accord avec celle de Coor et al. [15] pour des neutrons de 1,4 GeV. Elle est compatible avec les résultats de la théorie approximative de Fernbach, Serber et Taylor [16]. La répartition angulaire des diffusions (fig. 2), corres-

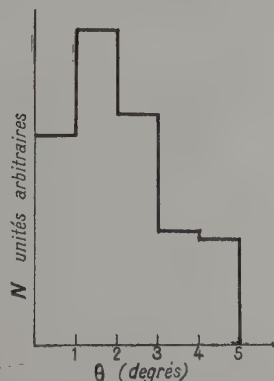


FIG. 2. — Répartition angulaire des diffusions pour $\theta < 5^\circ$. Composition de l'émulsion $G_5 2 \times + G_5 4 \times$.

pond à la distribution prévue pour la théorie. Une comparaison précise est sans intérêt en raison de la faible précision des résultats.

5. Probabilité des différents modes de réaction, classés suivant le nombre de particules chargées émises. — Les phénomènes observés ont été classés suivant le nombre de particules chargées émises. Nous ne considérons que les interactions

avec un noyau complexe. Nous avons donc retranché du nombre total d'événements 2p le nombre d'événements correspondant à des interactions proton-proton libre, déduit de la section efficace d'interaction proton-proton libre. Dans le

TABLEAU IV

| $G_5 4 \times$ | | | | $G_5 4 \times$ | | | | $G_5 \text{ NOR}$ (McKEAGUE) |
|--------------------|--------------------|--------|---------------|--------------------|--------|---------------|---------------|---------------------------------|
| NOMBRE DE BRANCHES | LE LONG DES TRACES | VOLUME | TOTAL (440 m) | LE LONG DES TRACES | VOLUME | TOTAL (151 m) | TOTAL (320 m) | |
| 0 | 2 | (6) | 8 | — | — | — | — | 2 |
| 1 | 19 | (66) | 85 | 10 | (25) | 35 | 90 | |
| 2 | 22 | (73) | 95 | 8 | (20) | 28 | 161 | |
| 3 | 24 | (81) | 105 | 6 | 27 | 33 | 112 | |
| 4 | 27 | 85 | 114 | 17 | 23 | 40 | 105 | |
| 5 | 41 | 82 | 123 | 13 | 42 | 55 | 108 | |
| 6 | 19 | 67 | 86 | 7 | 32 | 39 | 89 | |
| 7 | 20 | 54 | 74 | 9 | 25 | 34 | 61 | |
| 8 | 6 | 45 | 51 | 6 | 16 | 22 | 46 | |
| 9 | 5 | 23 | 28 | 4 | 4 | 8 | 30 | |
| 10 | 1 | 11 | 12 | 5 | 5 | 10 | 24 | |
| 11 | 1 | 10 | 11 | 2 | 3 | 5 | 16 | |
| 12 | — | 3 | 3 | 1 | 1 | 2 | 7 | |
| 13 | 1 | 7 | 8 | 1 | — | 1 | 7 | |
| 14 | 1 | 1 | 2 | — | 1 | 1 | 2 | |
| 15 | — | 1 | 1 | — | 1 | 1 | 2 | |
| 16 | 1 | — | 1 | — | — | — | — | |
| 18 | — | — | — | — | 1 | 1 | — | |

tableau IV sont reportés les nombres d'événements des différents types np observés dans les émulsions $G_5 2 \times$ et $G_5 4 \times$. Les événements 1p et 2p notés comme observés dans les émulsions $G_5 2 \times$ lors de l'exploration en volume résultent d'une normalisation à partir des données provenant de l'exploration le long des traces. Il en est de même pour les événements 1p, 2p et 3p observés dans les émulsions $G_5 4 \times$. Les résultats relatifs à l'émulsion G_5 normale sont dus à Lock et McKeague [7], [10].

Les valeurs, calculées par la méthode statistique différentielle, des sections efficaces pour les réactions des divers types np avec les noyaux légers d'une part et les noyaux lourds d'autre part sont reportées tableau V. Il n'a pas été tenu compte des résultats

obtenus avec l'émulsion $G_5 2 \times$ dont l'utilisation ne conduirait à aucune amélioration de la précision statistique. Les événements de type np tels que $n > 9$ ont été placés dans un seul groupe. Les probabilités individuelles de réaction des types 10p, 11p, 12p, etc., avec les noyaux lourds sont obtenues directement à partir de la proportion relative des nombres d'événements correspondants observés dans les émulsions de diverses compositions et la section efficace globale de réaction de type np ($n > 9$). Les valeurs sont données dans le tableau VI.

TABLEAU VI

RÉACTION AVEC LES NOYAUX LOURDS
SECTIONS EFFICACES POUR LES RÉACTIONS
DE TYPE np' ($n > 9$).

| NOMBRE DE BRANCHES | $\sigma_r^{A=14} (10^{-27}) \text{ cm}^2$ | | $\sigma_r^{A=94} (10^{-27}) \text{ cm}^2$ | | n | | | | | | | |
|--------------------|---|--|---|--|----------------------|----------------------------------|----------------------------------|---------------------------------|----------------------------------|---------------------------------|---------------------------------|---------|
| | | | | | 10 | 11 | 12 | 13 | 14 | 15 | 16 | 18 |
| 1 | 20,5 ⁺¹⁴ ₋₁₉ | | 108,6 ⁺²³ ₋₁₈ | | $\sigma_r^{A=14(r)}$ | 30,8 ⁺⁶ ₋₉ | 25,2 ⁺⁵ ₋₅ | 8,6 ⁺³ ₋₃ | 12,0 ⁺³ ₋₃ | 3,4 ⁺² ₋₂ | 2,6 ⁺² ₋₂ | 0,8 0,8 |
| 2 | — 0,2 ⁺¹⁵ ₋₁₉ | | 241,0 ⁺³⁶ ₋₃₆ | | | | | | | | | |
| 3 | 26,8 ⁺¹⁵ ₋₁₄ | | 133,5 ⁺³¹ ₋₃₁ | | | | | | | | | |
| 4 | 40,9 ⁺¹¹ ₋₁₀ | | 106,7 ⁺²³ ₋₂₅ | | | | | | | | | |
| 5 | 46,8 ⁺¹⁰ ₋₉ | | 102,4 ⁺²⁵ ₋₂₅ | | | | | | | | | |
| 6 | 26,5 ⁺⁸ ₋₇ | | 100,0 ⁺¹³ ₋₁₃ | | | | | | | | | |
| 7 | 30,1 ⁺⁸ ₋₈ | | 54,2 ⁺¹³ ₋₁₃ | | | | | | | | | |
| 8 | 18,9 ⁺⁶ ₋₆ | | 45,3 ⁺¹⁶ ₋₁₆ | | | | | | | | | |
| 9 | 6,6 ⁺⁴ ₋₄ | | 36,5 ⁺¹¹ ₋₁₂ | | | | | | | | | |
| > 9 | 3,0 ⁺⁴ ₋₆ | | 82,1 ⁺¹⁸ ₋₁₇ | | | | | | | | | |

Nous obtenons pour nombre moyen de particules chargées émises dans les réactions avec les noyaux légers et avec les noyaux lourds les valeurs suivantes :

$$\langle n \rangle = 5,04 \quad \text{pour les noyaux légers}$$

$$\langle n \rangle = 4,49 \quad \text{pour les noyaux lourds.}$$

Par application du critère de la barrière de potentiel, McKeague obtient :

$$\langle n \rangle = 4,95 \quad \text{pour les noyaux légers}$$

$$\langle n \rangle = 4,94 \quad \text{pour les noyaux lourds.}$$

Les résultats sont donc semblables. Une comparaison plus précise est celle des deux distributions des étoiles de réactions obtenues l'une par la méthode du critère de la barrière de potentiel (McKeague), l'autre par notre méthode différentielle statistique. Cette comparaison est faite pour les noyaux légers (fig. 3). Les distributions

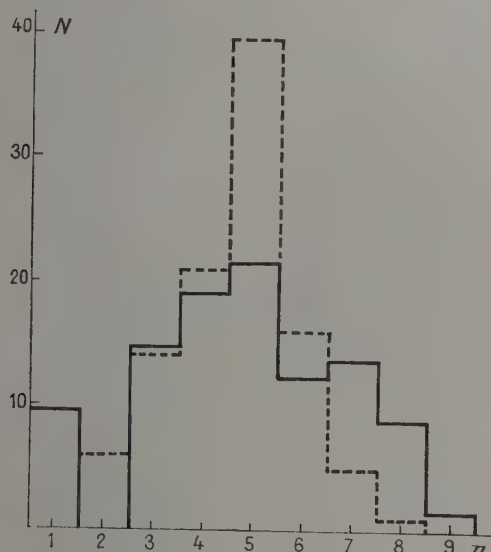


FIG. 3. — Noyaux légers.

Nombre d'événements N observés en fonction du nombre de branche n .

(Normalisation telle que $\sum N = 100$).

— D'après McKeague.

--- Statistiques différentielles.

ne sont pas sensiblement différentes. Notre méthode donne une proportion un peu plus faible des réactions de type $1p$ avec les noyaux lourds que celle de Lock et McKeague. La différence provient de ce que cette dernière conduit à attribuer à des interactions avec les noyaux lourds les événements de type $(p; pn)$ et $(p; pn \pi^0)$ provenant de réactions avec les noyaux légers.

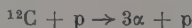
Pour les noyaux légers, la similitude des distributions signifie que la probabilité d'émission d'une particule α d'énergie inférieure à 9 MeV ne dépend pas sensiblement du nombre total de particules émises. Les résultats expérimentaux tendraient tout au plus à indiquer une probabilité d'émission plus faible dans les réactions de type $7p$ et $8p$, mais l'erreur statistique ne permet pas de conclure avec certitude. Du moins est-il possible d'éliminer

l'hypothèse avancée à propos des réactions de protons de faible énergie ($E = 125$ MeV), et d'ailleurs peut-être valable en ce cas, selon laquelle les réactions de type $3p$ et $4p$ auraient une probabilité moins forte de donner lieu à l'émission d'une particule α de faible énergie. Quant aux réactions de type $(p; pn)$ ou $(p; pn \pi^0)$ dont l'existence a été mise en évidence par Burcham, Symonds et Young [17], elles échappent tout naturellement aux études faites au moyen du critère de la barrière de potentiel.

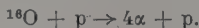
Dans l'exploration le long des traces, nous avons observé, pour une longueur de 102 mètres, 19 événements pouvant être considérés comme des interactions proton-proton libre ou proton-proton lié à un noyau (collisions élastiques ou inélastiques). Le libre parcours moyen pour les interactions proton-proton libre étant 5 mètre, 4 événements au plus devraient pouvoir être interprétés comme des collisions proton-proton lié. Notre étude, bien que ne permettant pas une conclusion certaine, ne paraît pas appuyer l'hypothèse avancée par McEwen et England [19] selon laquelle les collisions quasi-élastiques proton-proton se feraient avec un proton lié à un noyau léger (en ce cas en effet le nombre d'événements quasi-élastiques relevé devrait être de 7 ± 5). De toute façon des recherches de Hughes, March, Muirhead et Lock [2] et des nôtres se déduisent de façon certaine l'inexistence de collisions inélastiques simples de type proton-proton lié.

Nous nous proposons aussi de donner une évaluation approximative du nombre de cas dans lesquels l'interaction d'un proton de 1 GeV avec un noyau léger aboutit à la rupture complète de celui-ci en protons, deutons, tritons et particules α . D'après McKeague les particules chargées émises dans les réactions avec les noyaux légers se divisent en deux groupes d'importance à peu près égale : particules α d'une part ; protons, deutons et tritons d'autre part. Une réaction conduisant à un noyau ${}^6\text{Li}$ ou ${}^7\text{Li}$ serait donc de type $3p$ si elle se produit avec un noyau ${}^{12}\text{C}$, de type $4p$ si elle se produit avec un noyau ${}^{16}\text{O}$. Nous pouvons admettre que les sections efficaces des réactions de type $3p$ pour ${}^{12}\text{C}$ et de type $4p$ pour ${}^{16}\text{O}$ sont à peu près égales. Dans ces conditions les sections efficaces moyennes de réaction aboutissant à un noyau tel que ${}^6\text{Li}$ ou ${}^7\text{Li}$ seraient de l'ordre de 40 mb. En fait il y aurait lieu de tenir compte également des réactions telles que le noyau résiduel ait un recul suffisant pour être compté comme trace. Le nombre de telles réactions est faible. Compte tenu de la section efficace de réaction $(p; pn)$ et $(p; pn \pi^0)$ la probabilité pour qu'un noyau ne se désintègre pas totalement en particules de charge inférieure à 3 est de 0,3. Dans le cas des réactions provoquées par des protons de 125 MeV, Muirhead et Rosser donnent une probabilité de 0,4.

6. **Modes de réaction particuliers.** — Sur un total de 175 événements de désintégration de noyaux légers, nous avons relevé 2 événements correspondant à une réaction



et 1 événement correspondant à une réaction



Dans les trois cas, la réaction s'explique par une collision p-particule α . La probabilité de ce processus est donc de l'ordre de 0,015, beaucoup plus faible qu'aux énergies de 200-300 MeV [18].

7. **Conclusions.** — Les conclusions essentielles qui se dégagent de cette première partie de notre étude sont les suivantes :

1° Les émulsions diluées telles que les émulsions Ilford G₅ 4× peuvent être employées avec succès dans l'étude des phénomènes de haute énergie.

2° Les sections efficaces d'absorption des protons de 1 GeV pour les noyaux sont environ de 220 mb pour les noyaux de nombre de masse $A = 14$ et de 1 000 mb pour les noyaux de nombre de masse $A = 93$. Les sections efficaces de diffusion ne sont pas en désaccord avec celles que prévoit la théorie de Fernbach, Serber et Taylor. L'ensemble des résultats est en concordance générale avec ceux obtenus au moyen de méthodes autres que celle de l'émulsion photographique.

3° Les nombres moyens de particules chargées émises par réaction sont à peu près les mêmes pour les désintégrations de noyaux lourds et pour les désintégrations de noyaux légers. Mais les répartitions des nombres d'événements suivant les divers modes de réaction sont très différents. La probabilité de réaction à 1 ou 2 particules chargées émises est de l'ordre de 0,3₅ pour les noyaux lourds, de l'ordre de 0,1 pour les noyaux légers.

4° La probabilité d'une désintégration totale d'un noyau léger en protons, deutons, tritons et particules α est de 0,7 environ.

5° Les modes de désintégration de type $^{16}\text{O}(p; p, 4\alpha)$ $^{12}\text{C}(p; p, 3\alpha)$ sont peu fréquents (proportion 1 ou 2 %).

Ce travail résulte d'une collaboration entre le laboratoire de Physique et Chimie Nucléaires du Collège de France (Paris) et le Physics Department de l'Université de Birmingham. J'exprime ma reconnaissance aux P^{rs} Moon et Joliot qui ont rendu possible cette collaboration. Je remercie également les D^{rs} Lock, Symonds et Goldsack qui ont bien voulu assurer les expositions et participer à la discussion des résultats.

La difficile exploration le long des traces est due en partie à M^{me} Meschonnic et à M. Blaive qui y ont apporté la plus grande attention.

Manuscrit reçu le 8 octobre 1957.

BIBLIOGRAPHIE

- [1] PHILBERT (G.), *C. R. Acad. Sc.*, 1955, **241**, 875.
- [2] PHILBERT (G.), *C. R. Acad. Sc.*, 1955, **241**, 944.
- [3] PHILBERT (G.), *C. R. Acad. Sc.*, 1956, **242**, 2547.
- [4] PHILBERT (G.), *C. R. Acad. Sc.*, 1956, **243**, 141.
- [5] PHILBERT (G.), *J. Physique Rad.*, 1957, **18**, 75.
- [6] LOCK (W. O.), MARCH (P. V.), MUIRHEAD (H.) et ROSSER (W. G.), *Proc. Roy. Soc.*, 1955, A **230**, 222.
- [7] LOCK (W. O.), MARCH (P. V.) et McKEAGUE (R.), *Proc. Roy. Soc.*, 1955, A **231**, 368.
- [8] MUIRHEAD (H.) et ROSSER (W. G.), *Phil. Mag.*, 1955, **46**, 1952.
- [9] DUKE (P. J.), LOCK (W. O.), MARCH (P. V.), GIBSON (W. M.), McKEAGUE (R.), HUGHES (I. S.) et MUIRHEAD (H.), *Phil. Mag.*, 1955, **46**, 877.
- [10] McKEAGUE (R.), *Proc. Roy. Soc.*, 1956, A **236**, 104.
- [11] LEES, MORRISON, MUIRHEAD et ROSSER, *Phil. Mag.*, 1953, **44**, 304.
- [12] VIGNERON (L.) et PHILBERT (G.), *C. R. Acad. Sc.*, 1953, **237**, 1675.
- [13] BOSLEY (W.) et MUIRHEAD (H.), *Phil. Mag.*, 1952, **43**, 63.
- [14] CHEN (F.), LEAVITTS (C. P.) et SHAPIRO (F. F.), *Phys. Rev.*, 1955, **99**, 1857.
- [15] COOR (T.), HILL (D. A.), HORNYAH (W. F.), SMITH (L. W.) et SMITH (G.), *Phys. Rev.*, 1955, **98**, 1369.
- [16] FERNBACH (S.), SERBER (R.) et TAYLOR (T. B.), *Phys. Rev.*, 1949, **15**, 1352.
- [17] BURCHAM (W. E.), SYMONDS (J. L.) et YOUNG (J. D.), *Proc. Phys. Soc.*, 1955, **68**, 1001.
- [18] CUER (P.), COMBE (J.) et SAMMAN (A.), *C. R. Acad. Sc.*, 1955, **240**, 75.
- [19] McEWEN (J. G.) et ENGLAND (J. B. A.), *Phil. Mag.*, 1957, **2**, 241.
- [20] HUGHES (I. S.), MARCH (P. V.), MUIRHEAD (H.) et LOCK (W. O.), *Phil. Mag.*, 1957, **2**, 215.
- [21] BOOTH et LEDLEY, *Proc. Roy. Soc.*,
- [22] PHILBERT (G.), (à paraître).

PRÉVISIONS DE LA TEMPÉRATURE DE CURIE POUR DIFFÉRENTS TYPES DE RÉSEAUX

Par G. FOURNET,

École Supérieure de Physique et Chimie.

1. Introduction. — Il existe un très grand nombre de travaux consacrés à la théorie des phénomènes coopératifs, ces phénomènes régissant aussi bien les propriétés ferromagnétiques des corps que les modifications ordre-désordre des alliages. Nous avons déjà signalé [3] que la théorie d'Yvon [22] fournit, sous forme d'un développement illimité, une solution complète et exacte de ces phénomènes pour le modèle communément admis (modèle d'Ising). Nous rappelons selon Yvon les principales définitions de ce modèle : 1° La structure électronique du milieu n'est pas envisagée d'une manière explicite. 2° Le réseau est considéré comme rigide, indépendant de la température ; les vibrations thermiques sont négligées. 3° Le seul phénomène d'agitation thermique dont il est tenu compte est la possibilité pour les ions d'échanger leur position ou leur état (spin parallèle ou antiparallèle). 4° Les différentes probabilités que l'on peut avoir à calculer pour estimer l'état du réseau sont régies par la *thermodynamique statistique classique*. 5° Une seule donnée importe alors : c'est l'énergie potentielle qui est associée à une distribution microscopique quelconque. 6° On admet que l'énergie potentielle totale est la somme des énergies éventuelles des ions pris deux à deux.

Nous avons déjà obtenu à partir de la théorie d'Yvon des prévisions théoriques en bon accord avec les observations expérimentales relatives aux modifications ordre-désordre des alliages Cu-Zn [3] AuCu₃ [5, 6] et CuPt [9] aussi bien pour l'ordre à grande distance en fonction de la température que pour les anomalies de chaleur spécifique ou la diffusion des rayons X en dehors des directions de diffraction sélective. Nous nous sommes également servis de la théorie d'Yvon au cours d'études sur la loi de Vegard [7] et sur l'ordre à petite distance dans les solutions solides de substitution [4, 8].

Nous voulons dans le présent article procéder à un autre test de la théorie d'Yvon : le calcul de la température de Curie T_c relative à chaque type de réseau cristallin. De très nombreux travaux ont été consacrés à cette question ; ils concernent le modèle déjà décrit et supposent en outre que seule intervient l'énergie potentielle mutuelle W_I des premiers voisins ; tous les résultats obtenus (exprimés à partir de la valeur du rapport W_I/kT_c) sont des résultats approchés sauf pour les réseaux plans

à bases carré [13, 16] triangulaire [15, 18] et hexagonale [15, 18] ; on pourra consulter à ce sujet l'exposé d'ensemble de Rushbrooke [17]. *L'intérêt de notre travail sera donc de pouvoir connaître la valeur logique et la précision des résultats de la théorie d'Yvon sans faire intervenir la véracité du modèle d'Ising.*

2. Rappel de la théorie d'Yvon. — Pour simplifier nous désignons par l'indice A les ions qui sont aimantés parallèlement au champ et par l'indice B ceux qui sont aimantés antiparallèlement. Il suffit de déterminer les nœuds du réseau occupés par les ions A pour connaître, par différence, les sites occupés par les ions B. C'est cette idée que Yvon a exploitée théoriquement ; le problème posé se ramène au calcul de la répartition d'une seule espèce d'ions à condition de choisir [22] pour énergie potentielle mutuelle W_{ij} d'un couple d'ions situés l'un sur le nœud i l'autre sur le nœud j

$$W_{ij} = W_{AA} + W_{BB} - 2W_{AB}$$

(où W_{AB} par exemple désigne l'énergie potentielle mutuelle de deux ions : un ion A sur le nœud i et un ion B sur le nœud j) et pour énergie provenant du champ de forces extérieures

$$U_i = U_A - U_B$$

U_A étant le potentiel des forces extérieures agissant sur l'ion A situé au nœud i. L'interprétation physique des énergies W_{ij} réside dans les interactions d'échange ; nous savons que dans le cas des phénomènes ferromagnétiques les quantités W_{ij} sont négatives, les interactions facilitant les états « parallèles ».

Pour pouvoir comparer nos déterminations avec celles déjà obtenues (cf. paragraphe I) nous supposons que les énergies W_{ij} sont toutes nulles sauf quand i et j sont en position de premiers voisins ; nous désignons la valeur correspondante par W_I et nous posons pour simplifier des expressions ultérieures

$$x = e^{\frac{W_I}{2kT}}$$

Dans ces conditions Yvon a montré que l'ordre

à grande distance dans un réseau cristallin était défini par une équation du type suivant

$$\frac{U_1}{kT} + \log A_1 + \sum_{i \neq 1} \log A_{1i} + \sum_{i \neq 1} \sum_{j \neq 1} \log A_{ijk} + \dots \equiv f_1 = \text{Constante} \quad (1)$$

où les A_1 , A_{1i} , A_{ijk} , etc... sont des paramètres que l'on peut calculer par ailleurs. Les indices i, j, k ... servent à repérer les différents nœuds du réseau ; nous mettons un indice i à la quantité f puisque la sommation du membre de gauche de (1) est effectuée autour du nœud i .

Les résultats déjà obtenus par Yvon ou par nous-mêmes [3] ainsi que la méthode de calcul des A_{ij} ... développée dans le paragraphe (4) du présent article vont nous permettre de faire quelques remarques sur le calcul de l'expression (1).

Le terme $\log A_{ij}$ concerne deux nœuds : le nœud i considéré et un nœud j quelconque différent du nœud i ; la valeur de $\log A_{ij}$ est nulle [22] quand l'énergie d'interaction W_{ij} entre les ions placés en i et j est nulle. Avec nos hypothèses nous ne devons donc prendre en compte que les premiers voisins de l'atome i pour effectuer la somme par rapport à l'indice j . Le début de l'expression (1) est donc :

$$f_1 = \frac{U_1}{kT} + \log A_1 + z_1 \log A_{1i} + \dots \quad (2)$$

où z_1 est le nombre de premiers voisins du nœud i . De même $\log A_{ijk}$ (où les nœuds i, j, k doivent être tous différents) ne présente de valeurs différentes de zéro que lorsque les énergies W_{ij} , W_{jk} et W_{ki} sont toutes différentes de zéro ; les nœuds j et k qu'il faut considérer dans le troisième terme de (1) doivent donc être à la fois premiers voisins entre eux et premiers voisins du nœud i . Les différents calculs que nous avons effectués dans ce domaine nous ont montré que les nœuds i, j, k, l ..., etc... d'un terme $\log A_{ijkl}$... non nul doivent être reliés entre eux par une chaîne continue de nœuds premiers voisins, cette chaîne partant et aboutissant au nœud i autour duquel on effectue la statistique. Nous voyons ainsi comment est limité le nombre de termes qu'il convient de prendre en compte dans l'expression (1) ; nous appliquerons ces considérations dans le paragraphe 4.

3. Détermination de la température de Curie. —

Yvon obtient l'équation de l'aimantation spontanée en remarquant qu'en absence de champ extérieur la probabilité pour observer une aimantation dans un sens (état I) est la même que celle correspondant à l'aimantation de sens contraire (état II).

Si nous désignons par n_1 la probabilité de trouver sur un nœud quelconque du réseau un ion dont le moment magnétique est parallèle à la direction générale d'aimantation, nous pouvons poser pour

l'état I, en définissant ainsi un paramètre s ,

$$n_1 = (1/2) + (s/2) ; \quad (\text{état I})$$

nous devons alors pour l'état II écrire

$$n_1 = 1 - \left(\frac{1}{2} + \frac{s}{2}\right) = \frac{1}{2} - \frac{s}{2}. \quad (\text{état II})$$

Les valeurs des différents $\log A_{ij}$ dépendent de n_1 et donc de s ; l'équation de l'aimantation spontanée

$$(f_1)_{\text{état I}} = (f_1)_{\text{état II}}$$

peut donc se noter par

$$f_1(s) - f_1(-s) = 0. \quad (4)$$

Dans ces conditions la température de Curie est définie par

$$\left\{ \frac{\partial}{\partial s} [f_1(s) - f_1(-s)] \right\}_{\text{pour } n_1 = \frac{1}{2}} = 0. \quad (5)$$

En remarquant que $s = 0$ correspond à $n_1 = 1/2$ l'équation (5) devient

$$2 \left\{ \frac{\partial}{\partial s} [f_1(s)] \right\}_{\text{pour } s=0} = 0 ; \quad (6)$$

en tenant compte de la définition de f_1 nous pouvons mettre (6) sous la forme

$$\left[\frac{\frac{\partial}{\partial s} A_1(s)}{A_1(s)} + \sum_i \frac{\frac{\partial}{\partial s} A_{1i}(s)}{A_{1i}(s)} + \sum_j \sum_k \frac{\frac{\partial}{\partial s} A_{1jk}(s)}{A_{1jk}(s)} + \dots \right]_{\text{pour } s=0} = 0. \quad (7)$$

Pour simplifier notre exposé nous conviendrons de noter plus simplement

$$A_{1i} = \left[\frac{\partial}{\partial s} A_{1i} \dots (s) \right]_{s=0}$$

$$A_{1j} = A_{1j} \dots (s)$$

le point remplaçant l'indication de la dérivée par rapport à s et la considération des valeurs pour s égal à zéro étant sous-entendue.

De même nous poserons également

$$a_{ij} = \frac{A_{ij}}{A_{1i}}$$

ce qui permet d'écrire (7) sous la forme

$$a_i + \sum_j a_{ij} + \sum_j \sum_k a_{ijk} + \dots = 0. \quad (8)$$

Nous venons de voir ainsi comment la structure de l'expression (1) est liée au calcul des températures de Curie ; nous allons donc dans le prochain paragraphe examiner la forme de f_1 pour différents types de réseau.

4. Équation de la température de Curie pour différents types de réseau. — Ces équations concernent uniquement des termes $A_{ijk} \dots$; pour simplifier nos notations nous notons A_4 par exemple tous les termes A_{ijkl} concernant 4 nœuds ; s'il existe plusieurs types de termes à 4 nœuds nous écrivons pour les différencier $A_{4,1}$ $A_{4,2}$, etc...

Une représentation commode d'un terme A_n consiste dans une figure à n nœuds dans laquelle chaque couple de nœuds premiers voisins entre eux est lié par un segment de droite. Au moyen d'un tel graphique nous pouvons représenter la situation de 4 nœuds, situés au sommet d'un tétraèdre régulier et tous premiers voisins entre eux par la

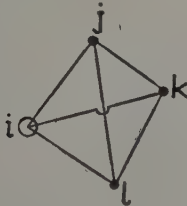


FIG. 1.

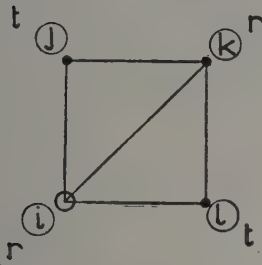


FIG. 2.

figure 1. La figure 2 signifie que i, j, k sont tous premiers voisins entre eux, mais que l , premier voisin de j et k , n'est pas premier voisin de i .

Dans toutes ces figures les nœuds ordinaires sont notés par un point tandis que le nœud autour duquel on effectue la statistique est noté par une circonférence.

RÉSEAU PLAN A BASE CARRÉE. — Nous allons chercher l'expression de f_1 dans un tel réseau. Nous savons déjà qu'au terme A_1 nous devons ajouter quatre termes A_2 . Il n'existe pas de terme en A_3 . Les termes $A_{4,1}$ (cf. fig. 4) sont au nombre de 4 puisque nous pouvons border un nœud i quelconque du réseau par quatre carrés a, b, c, d (cf. fig. 3). Les termes à 5 nœuds n'existent pas. Les termes $A_{6,1}$ sont au nombre de 8 puisque chaque carré tel que a peut être bordé par des carrés tel que a' et a'' . Les 4 termes $A_{6,2}$ correspondant au groupement ab, bc, cd et da des carrés élémentaires.

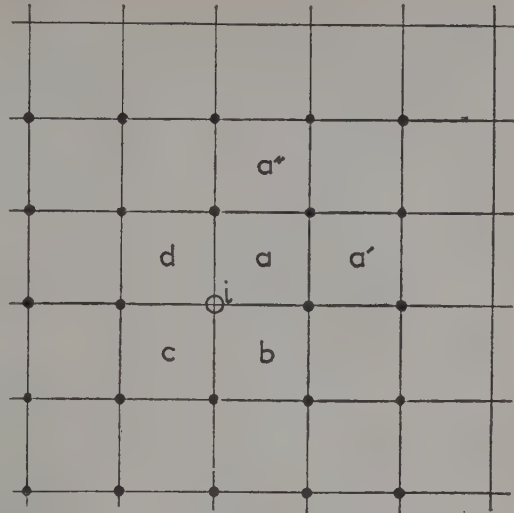


FIG. 3.

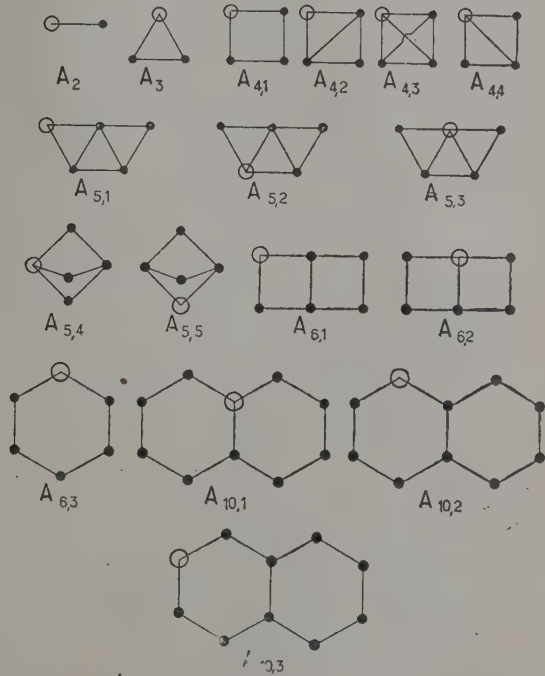


FIG. 4.

L'équation de la température de Curie dans un réseau plan à base carrée s'écrit donc (cf. (7))

$$\begin{aligned} & \dot{A}_1/A_1 + 4\dot{A}_2/A_2 + 4\dot{A}_{4,1}/A_{4,1} \\ & + 8\dot{A}_{6,1}/A_{6,1} + 4\dot{A}_{6,2}/A_{6,2} + \dots = 0. \quad (9) \end{aligned}$$

soit encore

$$a_1 + 4a_2 + 4a_{4,1} + 8a_{6,1} + 4a_{6,2} + \dots = 0. \quad (9 \text{ bis})$$

RÉSEAU TRIANGULAIRE PLAN. — Nous donnons maintenant pour chaque réseau l'expression de l'équation fournissant la température de Curie sans détailler, comme pour le réseau précédent, le mode d'établissement. Nous avons ainsi obtenu pour le réseau triangulaire.

$$a_1 + 6a_2 + 6a_3 + 6a_{4,2} + 6a_{4,4} + 12a_{5,1} + 12a_{5,2} + 6a_{5,3} + \dots = 0 \quad (10)$$

RÉSEAU HEXAGONAL PLAN. —

$$a_1 + 3a_2 + 3a_{6,3} + 3a_{10,1} + 6a_{10,2} + 6a_{10,3} + \dots = 0. \quad (11)$$

RÉSEAU CUBIQUE SIMPLE. —

$$a_1 + 6a_2 + 12a_{4,1} + 72a_{6,1} + 36a_{6,2} + \dots = 0 \quad (12)$$

RÉSEAU CUBIQUE CENTRÉ. —

$$a_1 + 8a_2 + 48a_{4,1} + 24a_{5,1} + 36a_{5,5} + \dots = 0. \quad (13)$$

RÉSEAU CUBIQUE A FACES CENTRÉES. —

$$a_1 + 12a_2 + 24a_3 + 12a_{4,1} + 48a_{4,2} + 24a_{4,3} + 48a_{4,4} + \dots = 0. \quad (14)$$

5. Calcul des a_n . — Un premier procédé de calcul consiste à remplacer n_1 par $(1/2)(1+s)$ dans l'expression des $A_n(s)$; après dérivation on obtient \dot{A}_n/A_n soit a_n . Par exemple Yvon a montré que

$$A_1(s) = n_1(s)/(1 - n_1(s)),$$

soit encore avec nos notations

$$A_1(s) = (1+s)/(1-s).$$

Après dérivation nous trouvons

$$\frac{\partial}{\partial s} A_1(s)/A_1(s) = \frac{2}{(1-s)^2} \frac{1+s}{1-s} = 2/(1-s^2);$$

pour $s = 0$ nous obtenons donc

$$a_1 = \dot{A}_1/A_1 = 2. \quad (15)$$

Nous pourrions, au moyen des expressions de A_2 , A_3 et $A_{4,1}$ que Yvon a établies, effectuer des calculs analogues mais nous préférons indiquer tout de suite une méthode de calcul plus directe.

TABLEAU I

| | | |
|------|-------------------|-------|
| 0 | 0 | 1 |
| 1 i | U_i | r |
| 1 j | U_j | t |
| 2 ij | $U_i + U_j + W_j$ | rtw |

Considérons un réseau réduit à deux nœuds i et j. Le tableau I permet de résumer les propriétés des différents états possibles de ce réseau; dans la première colonne se trouve le nombre et la position des nœuds occupés, dans la deuxième colonne les énergies correspondantes et dans la troisième

colonne les probabilités à un facteur de normalisation pris égal à $(1+r+t+rtw)^{-1}$ des différents états considérés.

Les paramètres r, t, w , sont définis par :

$$r = e^{-\frac{U_i}{kT}} \quad t = e^{-\frac{U_j}{kT}} \quad w = e^{-\frac{W_j}{kT}} \equiv 1/x^2. \quad (16)$$

Yvon a montré que ce réseau à deux nœuds était régi par des lois de même structure et faisant intervenir les mêmes coefficients qu'un réseau plus étendu à condition d'identifier les propriétés de ces deux réseaux; nous devons par conséquent écrire que, d'une part, la probabilité d'occupation par un ion A d'un nœud quelconque du réseau réel soit

$$n_1 = (1/2)(1+s)$$

et que, d'autre part, cette même probabilité pour chacun des nœuds du réseau réduit — soit pour le nœud i

$$n_1(i) = (r + rtw)/(1 + r + t + rtw) —$$

soit pour le nœud j

$$n_1(j) = (t + rtw)/(1 + r + t + rtw) —$$

sont égales. L'équation de l'ordre à grande distance appliquée au réseau à deux nœuds

$$\log A_1 + \log A_{11} = C - (U_1/kT) = C + \log r \quad (17)$$

(où C désigne une constante) fait ainsi intervenir les paramètres A_1 et A_2 de (1) si on impose

$$n_1(i) = (1/2)(1+s) \quad (18)$$

et

$$n_1(j) = (1/2)(1+s). \quad (19)$$

L'équation (17) fournit alors par simple dérivation

$$a_1 + a_2 = \left[\frac{dr}{ds} \right]_{\text{pour } s=0} \quad (20)$$

relation qui nous permettra de déterminer a_2 .

Nous devons maintenant calculer la valeur du deuxième membre de cette relation (20). Les relations (18) et (19) montrent que $r = t$ (soit $U_i = U_j$); la valeur commune, désignée par r , étant donc définie par

$$\frac{r + r^2 w}{1 + 2r + r^2 w} = \frac{1}{2}(1+s) \quad (21)$$

et par conséquent

$$\left[\frac{d}{dr} \left(\frac{r + r^2 w}{1 + 2r + r^2 w} \right) \right]_{r=r_0} \cdot \left[\frac{dr}{ds} \right]_{s=0} = \frac{1}{2}$$

quand r_0 , correspondant à la valeur $s = 0$, est déterminé par

$$\frac{r_0 + r_0^2 w}{1 + 2r_0 + r_0^2 w} = \frac{1}{2}.$$

Nous trouvons ainsi

$$r_0 = \frac{1}{\sqrt{\omega}} = x$$

$$\dot{r}_0 = \left(\frac{dr}{ds} \right)_{s=0} = x(1+x)$$

d'où (cf. 20)

$$2 + a_2 = 1 + x$$

et

$$a_2 = x - 1. \quad (22)$$

Le calcul du terme en A_3 s'effectue de la même façon. Le tableau II résume les informations sur les différents états du réseau réduit à trois nœuds.

TABLEAU II

| (1) | (2) | (1) | (2) |
|-----|-----|---------|----------------|
| 0 | 1 | 2 i j | $r^2 \omega$ |
| 1 i | r | 2 j k | $r^2 \omega$ |
| 1 j | r | 2 k i | $r^2 \omega$ |
| 1 k | r | 3 i j k | $r^3 \omega^3$ |

La première colonne (1) contient le nombre et la position des ions dans chaque état considéré et la deuxième colonne (2), les probabilités correspondantes à un facteur de normalisation près. Dans le tableau I nous avons noté par r et t les probabilités d'occupation des sites i et j ; les expressions (18) et (19) nous avaient ensuite montré qu'il convenait d'écrire $r = t$; profitant de cette remarque nous avons immédiatement, dans la constitution du tableau II, attribué le même facteur de probabilité r aux nœuds i, j et k qui jouent le même rôle.

L'équation de l'ordre à grar de distance appliquée au réseau réduit à trois nœuds fournit

$$\log A_1 + 2 \log A_2 + \log A_3 = C + \log r; \quad (23)$$

la dérivée de (23) par rapport à s , considérée pour la valeur zéro de la variable s , donne

$$a_1 + 2a_2 + a_3 = \dot{r}_0/r_0. \quad (24)$$

La valeur de r en fonction de s est obtenue en identifiant d'une part l'expression de la probabilité d'occupation n_i du nœud i dans le réseau à 3 nœuds et d'autre part l'expression de n_i définissant la variable s

$$n_i = \frac{r + 2r^2 \omega + r^3 \omega^3}{1 + 3r + 3r^2 \omega + r^3 \omega^3} = \frac{1}{2} (1 + s) \quad (25)$$

d'où

$$\frac{\dot{r}_0}{r_0} = \frac{1}{x^2} \frac{2x^2(3x^2 + 1)}{x^2 + 3} = \frac{2(3x^2 + 1)}{x^2 + 3}$$

(nous rappelons que $\omega x^2 = 1$).

L'équation (24) permet alors de calculer

$$a_3 = -\frac{2}{x^2 + 3} (x - 1)^3. \quad (26)$$

Nous allons maintenant indiquer très rapidement les principales étapes du calcul concernant $A_{4,1}$. Le tableau III résume les informations sur les différents états du réseau à quatre nœuds correspondant.

TABLEAU III

| (1) | (2) | (1) | (2) |
|-------|--------------|-----------|----------------|
| 0 | 1 | 2 j k | $r^2 \omega$ |
| 1 i | r | 2 j l | $r^2 \omega$ |
| 1 j | r | 2 K l | $r^2 \omega$ |
| 1 k | r | 3 j k l | $r^3 \omega^2$ |
| 1 l | r | 3 i k l | $r^3 \omega^2$ |
| 2 i j | $r^2 \omega$ | 3 i j l | $r^3 \omega^2$ |
| 2 i k | $r^2 \omega$ | 3 i j k | $r^3 \omega^2$ |
| 2 i l | $r^2 \omega$ | 4 i j k l | $r^4 \omega^4$ |

Après dérivation de l'équation de l'ordre à grande distance appliquée à ce réseau, nous obtenons :

$$a_1 + 2a_2 + a_{4,1} = \dot{r}_0/r_0. \quad (27)$$

Le calcul de r permet d'écrire d'autre part

$$\frac{\dot{r}_0}{r_0} = \frac{1}{x^2} \frac{x^6 + 6x^4 + x^2}{2(x^2 + 1)} = \frac{x^4 + 6x^2 + 1}{2(x^2 + 1)}$$

d'où en définitive :

$$a_{4,1} = (x - 1)^4 / 2(x^2 + 1). \quad (28)$$

Le calcul de $a_{4,3}$ s'effectue suivant un schéma analogue. Nous avons en effet

$$a_1 + 3a_2 + 3a_3 + a_{4,3} = \dot{r}_0/r_0 \quad (29)$$

avec

$$\frac{\dot{r}_0}{r_0} = \frac{1}{x^3} \frac{x^3(3x^4 + 4x^3 + 1)}{2(x^2 + 1)} = \frac{3x^4 + 4x^3 + 1}{2(x^2 + 1)}$$

d'où

$$a_{4,3} = (x - 1)^4 \frac{3(3x - 1)}{2(x^2 - x + 1)(x^2 + 3)}. \quad (30)$$

Les principales étapes du calcul de $a_{6,3}$ sont les suivantes

$$a_1 + 2a_2 + a_{6,3} = \dot{r}_0/r_0$$

avec

$$\dot{r}_0/r_0 = (x^6 + 15x^4 + 15x^2 + 1)/(x^2 + 3)(3x^2 + 1)$$

d'où

$$a_{6,3} = (x - 1)^6 / (x^2 + 3)(3x^2 + 1).$$

Le calcul de $a_{4,2}$ et $a_{4,4}$ est plus délicat ; il s'effectue en considérant le réseau de la figure 2. Les nœuds i et k d'une part et j et l d'autre part jouent des rôles différents aussi avons-nous noté les probabilités élémentaires les concernant r et t . Nous savons que pour le nœud i

$$a_1 + 3a_2 + 2a_3 + a_{4,4} = \dot{r}_0/r_0 \quad (31)$$

et, pour le nœud j ,

$$a_1 + 2a_2 + a_3 + a_{4,2} = \dot{t}_0/t_0. \quad (32)$$

En identifiant les propriétés du réseau de la figure 2 et les propriétés du réseau réel on peut calculer séparément les seconds membres de (31) et (32) pour obtenir

$$a_{4,2} = (x-1)^4 (x+1) / (x^2+1) (x^2+3) \quad (33)$$

$$a_{4,4} = (x-1)^4 (2x^3 + x^2 + 2x - 1) / (x^2+1)^2 (x^2+3). \quad (34)$$

Le calcul des termes correspondant à $A_{5,4}$ et $A_{5,5}$ s'effectue de la même manière grâce au réseau

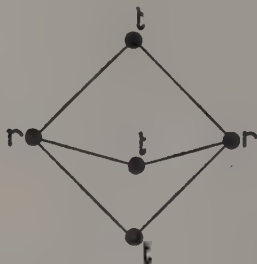


FIG. 5.

réduit correspondant de la figure 5. L'examen de cette figure montre que

$$a_1 + 3a_2 + 2a_{4,1} + a_{5,4} = \dot{r}_0 / r_0$$

$$a_1 + 2a_2 + 2a_{4,1} + a_{5,5} = \dot{t}_0 / t_0.$$

L'identification des propriétés du réseau réduit à 5 nœuds de la figure 5 et celles du réseau réel permet ainsi de déterminer

$$a_{5,4} = (x-1)^4 \frac{x^4 + 4x - 1}{2(x^2+1)^2}; \quad a_{5,5} = 0.$$

Le calcul des termes correspondant à $a_{6,1}$ et $a_{6,2}$ s'effectue toujours de la même manière grâce au

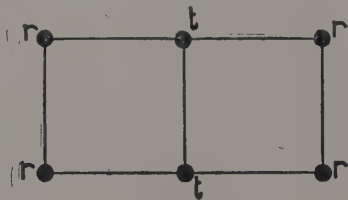


FIG. 6.

réseau réduit à 6 nœuds de la figure 6. L'examen de cette figure montre d'une part que

$$a_1 + 2a_2 + a_{4,1} + a_{6,1} = \dot{r}_0 / r_0 \quad (35)$$

et d'autre part que

$$a_1 + 3a_2 + 2a_{4,1} + a_{6,2} = \dot{t}_0 / t_0. \quad (36)$$

L'identification des propriétés du réseau de la

figure 6 et du réseau réel permet d'obtenir en définitive

$$a_{6,1} = (x-1)^6 (x+1)^2 / 2(x^2+1) (3x^2+1) (x^2+3) \quad (37)$$

$$a_{6,2} = (x-1)^6 (x^5 + x^4 + 6x^3 + x - 1) / (3x^2+1)^2 (x^2+3) (x^2+1). \quad (38)$$

6. Étude détaillée des différents réseaux. —

Nous avons établi dans le paragraphe 3 les équations de la température de Curie pour les différents types de réseau. Ces équations se présentent toujours sous la forme : une somme d'un nombre infini de termes a_n doit être égal à zéro ; en ne considérant qu'un nombre fini de termes nous n'obtiendrons qu'un résultat approché, l'approximation ayant d'autant plus de valeur que le nombre de termes pris en compte est élevé.

Dans le paragraphe 5 nous avons établi les valeurs d'un certain nombre de a_n aussi allons-nous maintenant pouvoir atteindre pour chaque réseau des valeurs approchées de la valeur critique x_c défini par

$$x_c = e^{\frac{W_1}{2kT_c}}$$

où T_c est la température de Curie.

Avant de considérer les différents cas particuliers nous allons envisager le cas où l'on ne prend en compte que deux espèces de termes dans l'équation critique qui s'écrit alors :

$$a_1 + za_2 = 0 \quad (39)$$

où z est le nombre de nœuds premiers voisins d'un nœud quelconque. L'équation (39) devient

$$2 + z(x-1) = 0$$

ce qui fournit

$$x = (z-2)/z; \quad (40)$$

on reconnaît alors la solution correspondante à la théorie classique de Bethe [1] des phénomènes ordre-désordre.

RÉSEAU PLAN A BASE CARRÉ (cf. l'équation 9). — La première approximation, correspondante à une équation à deux espèces de terme, fournit (cf. l'expression (40) avec $z = 4$)

$$x_{c,1} = 0,500.$$

La seconde approximation est définie par

$$2 + 4(x-1) + 4(x-1)^4 / 2(x^2+1) = 0;$$

la valeur correspondante est

$$x_{c,2} = 0,467.$$

La troisième approximation, obtenue en incorporant les deux termes à 6 nœuds $a_{6,1}$ et $a_{6,2}$ permet d'obtenir

$$x_{c,3} = 0,453$$

racine de

$$2 + 4(x-1) + \frac{4}{2}(x-1)^4 \\ + 8 \frac{(x-1)^6 (x+1)^2}{2(x^2+1)(3x^2+1)(x^2+3)} \\ + 4 \frac{(x-1)^6 (x^5 + x^4 + 6x^3 + x-1)}{(3x^2+1)^2 (x^2+3)(x^2+1)} = 0.$$

En effectuant ce dernier calcul nous avons remarqué que l'influence de $a_{6,1}$ est beaucoup plus grande que l'influence de $a_{6,2}$.

La solution de

$$a_1 + 4a_2 + 4a_{4,1} + 8a_{6,1} = 0$$

est $x_0 = 0,454$; l'introduction des 4 termes en $a_{6,2}$ fait simplement varier la valeur de x_0 de 0,454 à 0,453. Nous pouvons expliquer ce phénomène en remarquant qu'un terme $A_{6,2}$ fait intervenir deux « carrés » dont nous avons individuellement tenu compte dans les termes en $A_{4,1}$ tandis qu'un seul des carrés du terme en $A_{6,1}$ a été pris en compte dans les termes en $A_{4,1}$.

Nous pouvons maintenant chercher comment obtenir la valeur de x_0 correspondant à la température de Curie d'un réseau carré plan à partir des 3 valeurs approchées que nous avons obtenues

$$x_{0,1} = 0,500$$

$$x_{0,2} = 0,467$$

$$x_{0,3} = 0,453.$$

Nous savons que la valeur exacte $x_0 = 0,414$ [13, 16] serait obtenue en considérant un nombre infini de termes dans l'équation (9) : nous pouvons donc constituer un diagramme en portant nos différentes approximations $x_{0,p}$ en fonction de p ; la limite, pour p tendant vers l'infini, de la courbe $x_{0,p} = f_1(p)$ sera la valeur exacte x_0 . Le diagramme (non reproduit) montre qu'il est difficile d'atteindre cette valeur limite. Remarquons qu'il serait physiquement plus justiciable de porter $x_{0,p}$, non pas en fonction de p — rang de l'approximation considérée — mais en fonction du nombre q de nœuds contenus dans le dernier terme a_q considéré. C'est ainsi que la première approximation ($p = 1$) qui fait intervenir les termes a_1 et a_2 peut être caractérisé par $q = 2$; la seconde approximation ($p = 2$) par $q = 4$ (termes $a_1, a_2, a_{4,1}$) et la troisième approximation par $q = 6$ (termes en $a_1, a_2, a_{4,1}, a_{6,1}$ et $a_{6,2}$).

La courbe $x_{0,p} = f_2(q)$ n'est pas plus intéressante que la courbe initiale $x_{0,p} = f_1(p)$ par contre nous avons trouvé *très commode* de considérer la courbe

$$x_{0,p} = f(1/q)$$

la valeur exacte x_0 correspond toujours à des valeurs q tendant vers l'infini, soit encore à $f(0)$. Les trois points connus de la courbe f (fig. 7) permettent au moyen d'une interpolation parabolique

de trouver $f(0) = 0,421$ ce qui constitue une très bonne valeur extrapolée, la valeur exacte étant 0,414. Nous reproduisons ci-dessous (cf. [17])

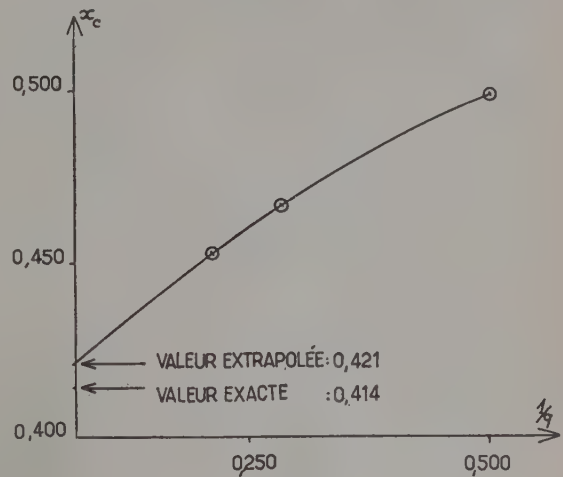


FIG. 7.

les déterminations de x_0 effectuées par différents auteurs pour montrer comment se placent nos résultats.

| | | |
|-----------------------|-------|---------------|
| Bragg et Williams [2] | | $x_0 = 0,657$ |
| Bethe [1] | | $x_0 = 0,500$ |
| Yang [21] | | $x_0 = 0,486$ |
| Kikuchi [14] | | $x_0 = 0,439$ |

Notre valeur d'extrapolation : $x_0 = 0,421$

Exact [13, 16] $x_0 = 0,414$.

RÉSEAU TRIANGULAIRE PLAN (cf. équation (10)).
— La première valeur ($q = 2$) correspondant à l'utilisation de l'approximation de Bethe est

$$x_{0,1} = (6-2)/6 = 0,6667.$$

La seconde approximation est défini par

$$2 + 6(x-1) + 6(-2)(x-1)^3/(x^2+3) = 0;$$

nous avons ainsi obtenu

$$x_{0,2} = 0,6391.$$

La troisième approximation ($q = 4$) concerne l'équation

$$2 + 6(x-1) + 6(-2)(x-1)^3 \\ + 6(x-1)^4 \frac{x+1}{(x^2+1)^2(x^2+3)} \\ + 6(x-1)^4 \frac{2x^3+x^2+2x-1}{(x^2+1)^2(x^2+3)} = 0$$

dans laquelle figure les deux espèces de termes à 4 nœuds $a_{4,2}$ et $a_{4,4}$; la valeur de la racine est

$$x_{0,3} = 0,6255.$$

Nous avons tracé sur la figure 8 la courbe représentative de

$$x_{c,p} = f(1/q).$$

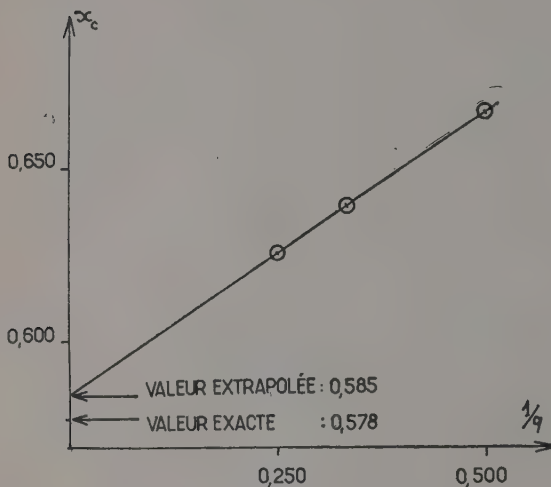


FIG. 8.

Une interpolation parabolique effectuée au moyen des trois points connus de cette courbe permet d'obtenir

$$x_c = f(0) = 0,585$$

très bonne valeur extrapolée, la valeur exacte étant 0,578. Le tableau ci-dessous résume (cf. [17]) les différentes valeurs publiées

| | |
|------------------------------------|---------------|
| Bragg et Williams [2] | $x_c = 0,717$ |
| Bethe [1] | $x_c = 0,667$ |
| Kikuchi [14] | $x_c = 0,600$ |
| Hijmans et De Boer [12] | $x_c = 0,597$ |
| Notre valeur d'extrapolation | $x_c = 0,585$ |
| Exact [15, 18] | $x_c = 0,578$ |

RÉSEAUX HEXAGONAL PLAN (cf. équation 11). — La première approximation ($q = 2$) est

$$x_{c,1} = (3 - 2)/3 = 0,3333.$$

La seconde approximation ($q = 6$), racine de

$$2 + 3(x - 1) + 3(x - 1)^6 / (x^2 + 3) (3x^2 + 1) = 0$$

est $x_{c,2} = 0,3054$.

Nous n'avons pas calculé les termes en a_{10} , aussi n'avons-nous pas pu effectuer d'extrapolation « parabolique ». La valeur exacte est 0,268 [15, 18].

RÉSEAU CUBIQUE SIMPLE (cf. équation 12). — La première approximation ($q = 2$) correspond à

$$x_{c,1} = (6 - 2)/6 = 0,66667.$$

La deuxième approximation ($q = 4$), racine de

$$2 + 6(x - 1) + 12(x - 1)^4 / 2(x^2 + 1)^2 = 0,$$

est

$$x_{c,2} = 0,65703.$$

La troisième approximation ($q = 6$), obtenue en considérant les termes en $a_{6,1}$ et $a_{6,2}$ est

$$x_{c,3} = 0,65332.$$

Sur la figure 9 nous avons tracé la courbe corres-

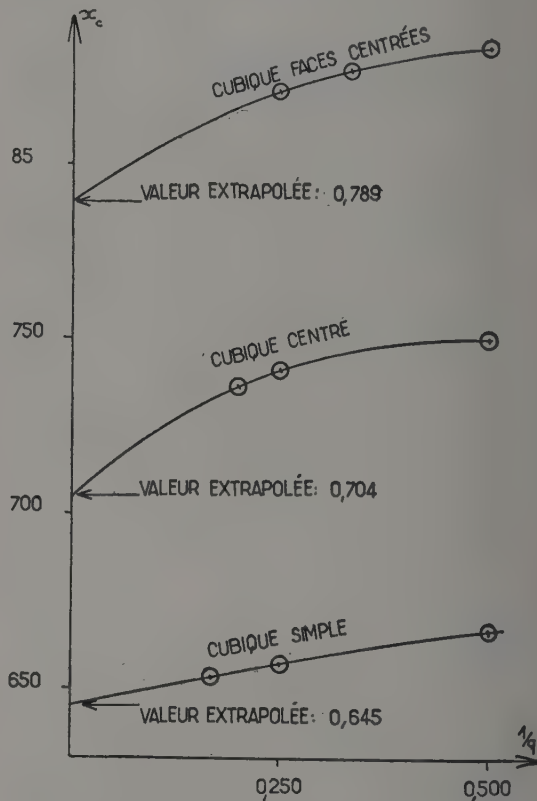


FIG. 9.

pondant à l'interpolation parabolique des trois points connus de la courbe

$$x_{c,p} = f(1/q);$$

la valeur extrapolée $f(0)$ est 0,645.

Nous reproduisons ci-dessous les différentes déterminations effectuées (cf. [17])

| | |
|-------------------------------|----------------|
| Bragg et Williams | 0,717 |
| Bethe [1] | 0,667 et 0,656 |
| Kikuchi [14] | 0,646 |
| Notre valeur extrapolée | 0,645 |
| Wakefiel [20] | 0,641 |
| Treffitz [19] | 0,607. |

RÉSEAU CUBIQUE CENTRÉ (cf. équation 13). — La première approximation ($q = 2$) correspond à

$$x_{c,3} = (8 - 2)/8 = 0,75000.$$

La deuxième approximation ($q = 3$), racine de

$$2 + 8(x-1) + 48(x-1)^4/2(x^2+1) = 0$$

est

$$x_{c,2} = 0,74133.$$

La troisième approximation ($q = 5$), obtenue en prenant en compte les termes $a_{5,4}$ est

$$x_{c,3} = 0,73617.$$

Sur la figure 9 nous avons tracé la courbe correspondante à l'interpolation parabolique des trois points connus de la courbe $x_{c,p} = f(1/q)$ la valeur extrapolée $f(0)$ est 0,704.

Les déterminations effectuées sont les suivantes (cf. [17])

| | |
|----------------------------------|-------|
| Bragg et Williams [2] | 0,779 |
| Bethe [1] | 0,750 |
| Fuchs [10] | 0,741 |
| Notre valeur d'extrapolation.... | 0,704 |
| Treffitz [19] | 0,702 |

RÉSEAU CUBIQUE A FACES CENTRÉES (cf. équation 14). — La première approximation ($q = 2$) correspond à

$$x_{c,1} = (12 - 2)/12 = 0,833\ 33.$$

La deuxième approximation ($q = 2$) racine de

$$2 + 12(x-1) + 24 \cdot (-2) (x-1)^3/(x^2+3) = 0$$

est

$$x_{c,2} = 0,827\ 79.$$

La troisième approximation ($q = 4$) en incorporant les différents termes a_4 , est

$$x_{c,3} = 0,820\ 28.$$

Sur la figure 9 nous avons tracé la courbe correspondant à l'interpolation parabolique des trois points connus de la courbe

$$x_{c,p} = f(1/q);$$

la valeur extrapolée $f(0)$ est 0,789.

Les résultats connus (cf. [17]) sont les suivants :

| | |
|-----------------------------------|----------------|
| Bragg et Williams [2] | 0,846 |
| Bethe [1] | 0,833 et 0,828 |
| Guggenheim et MacGlashan [11]... | 0,832 et 0,836 |
| Kikuchi [14] | 0,819 et 0,805 |
| Treffitz [19] | 0,793 |
| Notre valeur d'extrapolation..... | 0,789 |

Conclusion. — Nous avons montré comment il était possible de déterminer à partir de la théorie d'Yvon des valeurs de la température critique qui semblent se classer parmi les meilleures valeurs approchées qui aient été obtenues. Les principaux avantages de la méthode que nous préconisons sont :

1° Les paramètres a_n peuvent être calculés sans référence à aucun type de réseau ; le même paramètre $a_{4,1}$ par exemple intervient aussi bien dans le réseau plan à base carrée que dans les réseaux cubiques simples, cubiques centrés et cubiques à faces centrées.

2° L'évaluation peut être aussi précise qu'il est nécessaire : il suffit de considérer un nombre suffisant de termes a_n ; nous devons toutefois signaler que le calcul d'un terme a_n est d'autant plus long long que n est plus élevé. Le nombre q de nœuds contenus dans le dernier terme a_q pris en compte permet de classer les différentes valeurs approchées obtenues ; nous avons montré comment un certain type d'extrapolation ($x_c = f(1/q)$) permettait de déterminer de très bonnes valeurs approchées.

3° La même méthode permettrait de tenir compte des interactions entre seconds voisins, troisièmes voisins, etc...

Nous remercions le Pr Yvon pour nous avoir encouragé à entreprendre ce travail.

Manuscrit reçu le 30 octobre 1957.

BIBLIOGRAPHIE

- [1] BETHE (H. A.), *Proc. Roy. Soc.*, A 1935, **150**, 532.
- [2] BRAGG (W. L.) et WILLIAMS (E. J.), *Proc. Roy. Soc.*, 1934, **145**, 699 ; 1935, **151**, 540 ; 1935, **152**, 231.
- [3] FOURNET (G.), *J. Physique Rad* (Phys. Appl.), 1952, **13**, 14.
- [4] FOURNET (G.), *Phys. Rev.*, 1952, **85**, 692.
- [5] FOURNET (G.), Colloque International sur les changements de phases, p. 199 (Paris, 1952).
- [6] FOURNET (G.), *J. Physique Rad.*, 1953, **14**, 226.
- [7] FOURNET (G.), *J. Physique Rad.*, 1953, **14**, 374.
- [8] FOURNET (G.), *Acta Metallurgica*, 1953, **1**, 383.
- [9] FOURNET (G.), *Bull. Soc. Franç. Min. Crist.*, 1954, **77**, 711.
- [10] FUCHS (K.), *Proc. Roy. Soc.*, A, 1942, **179**, 340.
- [11] GUGGENHEIM (E. A.) et MACGLASHAN (M. L.), *Proc. Roy. Soc.*, A, 1951, **206**, 335.
- [12] HIJMAN (J.) et DE BOER (J.), *Physica*, 1955, **21**, 471-485 et 499.
- [13] KAUFMANN (B.), *Phys. Rev.*, 1951, **81**, 988.
- [14] KIKUCHI (R.), *Phys. Rev.*, 1951, **81**, 988.
- [15] NEWELL (G. F.), *Phys. Rev.*, 1950, **79**, 876.
- [16] ONSAGER (L.), *Phys. Rev.*, 1944, **65**, 117.
- [17] RUSHBROOKE (G. S.), Colloque International sur les changements de phases, p. 177 (Paris, 1952).
- [18] TEMPERLEY (H. N. V.), *Proc. Roy. Soc. A*, 1950, **202**, 202.
- [19] TREFFITZ (E.), *Z. Physik*, 1950, **127**, 371.
- [20] WAKEFIELD (A. J.), *Proc. Camb. Phil. Soc.*, 1951, **47**, 799.
- [21] YANG (C. N.), *J. Chem. Phys.*, 1945, **13**, 66.
- [22] YVON (J.), *Cahiers de Physique*, 1945, **28**, 1 et 1948, **31-32**, 1.

INTERPRÉTATION DES IMAGES DITES « EN LAMES DE PARQUET » OBSERVÉES SUR LES IMAGES ÉLECTRONIQUES DE CRISTAUX D'OXYDE MOLYBDIQUE

Par ÉMILE PERNOUX,

Institut de Physique Générale. Laboratoire d'Optique Électronique et de Physique du Métal, Université de Lyon.

Images électroniques. — Les images dites « franges en lames de parquet » désignent des domaines étroits, allongés en forme de navettes et alignés suivant deux directions symétriques, qui apparaissent dans les images électroniques des cristaux tabulaires d'oxyde molybdique. Ces domaines, tantôt plus sombres et tantôt plus clairs que le reste du cristal (*fig. 1 et 2*), peuvent aussi

observation. Dans leur aspect le plus pur, ils rappellent par leur assemblage la disposition des lames d'un parquet (*fig. 3*). Ils n'apparaissent que sur certains cristaux pris au hasard dans une préparation et ne sont visibles que pendant un temps très limité qui suit l'introduction du cristal dans le faisceau d'électrons. Ils naissent en un point du cristal, très souvent une région de courbure, puis

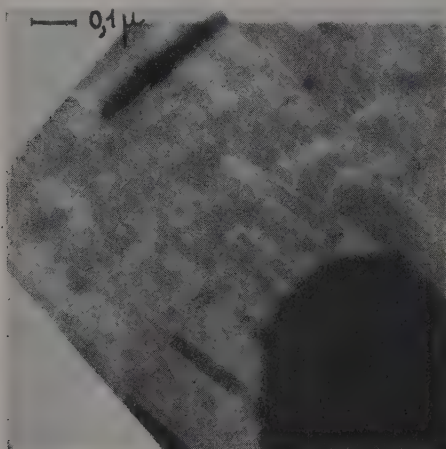


FIG. 1.

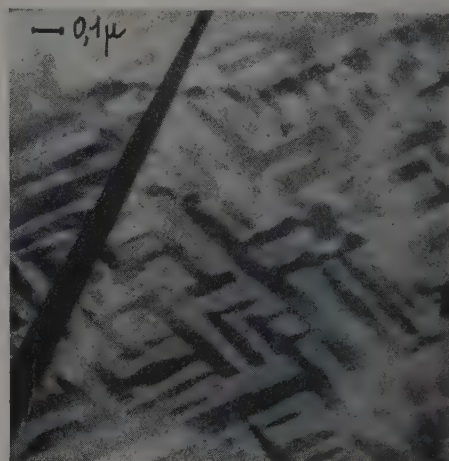


FIG. 3.

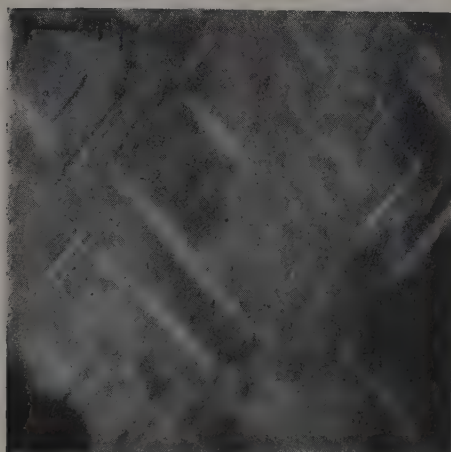


FIG. 2.

présenter des parties claires et sombres alternées et même changer rapidement d'éclat au cours d'une

se multiplient rapidement jusqu'à recouvrir quelquefois toute sa surface. D'abord étroits, ils s'élargissent sur place puis se fondent entre eux et disparaissent. Toute cette évolution dure quelques dizaines de secondes et le cristal reprend ensuite sa « transparence » habituelle. Il est remarquable que cette évolution soit unique pour un cristal donné et seulement au cours de son premier contact avec les électrons. Un même cristal ne présente en effet jamais plus d'une fois le cycle décrit plus haut, même si entre des observations successives on retire la préparation du microscope. Par contre il est possible de fractionner l'évolution des franges par des examens entrecoupés d'arrêts du microscope ; on constate ainsi qu'à chaque reprise de l'observation, on retrouve le phénomène au point d'évolution où l'avait laissé l'observation antérieure, même si plusieurs heures séparent les deux examens. Il convient en outre d'insister sur les caractères descriptifs suivants :

a) Quand ces franges en lames de parquet existent en même temps que les lignes d'égale inclinaison liées à une courbure générale du cristal [2], il se produit entre elles des interactions caractéristiques schématisées par la figure 4 et visibles

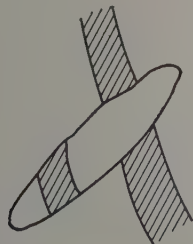


FIG. 4.

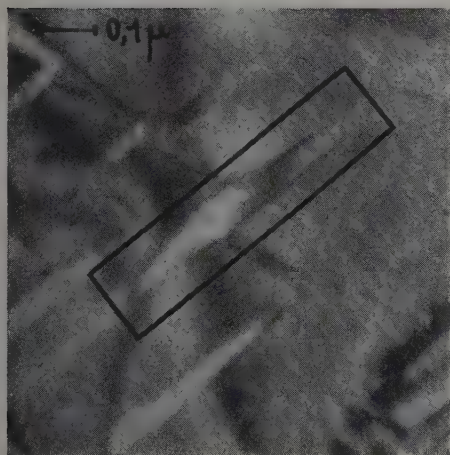


FIG. 5.

sur la figure 5. La ligne sinueuse d'égale inclinaison est généralement déplacée à l'intérieur d'un domaine.

b) Au premier stade de leur formation, les domaines sont limités par une ligne très étroite (100 à 200 Å) plus claire ou plus sombre que le domaine lui-même (fig. 1 et 2).

Diagrammes de diffraction. — Pour étudier le phénomène du point de vue cristallographique, nous avons fait à chaque stade de l'évolution d'un cristal présentant des franges un diagramme de diffraction obtenu avec notre instrument de la façon suivante: la tension étant coupée sur l'objectif et la lentille de projection étant escamotée, seul fonctionne le condenseur placé sur le faisceau avant l'objet. Il permet de focaliser le pinceau sur la préparation ou sur l'écran. Avec de petits cristaux (quelques microns) il est nécessaire de focaliser sur l'objet pour obtenir un diagramme de monocristal et les spots obtenus sur l'écran sont larges. Avec de gros cristaux (plusieurs dizaines de microns) on peut focaliser sur l'écran et obtenir

des spots fins et de grande densité électronique.

Cette deuxième méthode nous a permis de montrer que la présence momentanée des lames de parquet se traduit par un dédoublement simultané des spots du diagramme, dédoublement qui nous avait échappé avec la première méthode à cause de la trop faible intensité des spots étalés [3]. Schématisé sur la figure 6 et décrit dans une note

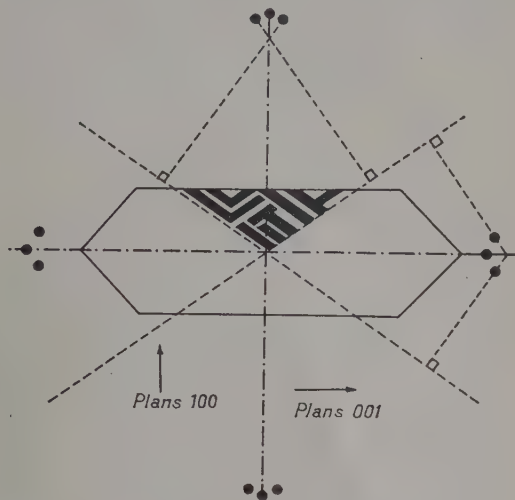


FIG. 6.

précédente [6], il tend à prouver que les lames correspondent à des régions où le réseau cristallin est légèrement déformé. Rappelons que les cristaux tabulaires de MoO_3 ont la structure orthorhombique ($a = 3,66 \text{ \AA}$; $b = 13,94 \text{ \AA}$; $c = 3,92 \text{ \AA}$) et qu'ils se présentent sous forme de lamelles parallèles au plan 010, les atomes de molybdène étant à l'intérieur d'octaèdres distordus dont les sommets sont les atomes d'oxygène [8], [9].

Considérons un tel cristal et ses plans réticulaires 001 dont nous représentons la trace sur le plan (a, c) pris comme plan de figure; et supposons que dans un domaine ABCD les plans en question subissent une rotation ε faible autour d'axes passant par a, b, c, d, de sorte que leurs traces se situent ensuite en aa' , bb' , cc' , dd' (fig. 7).

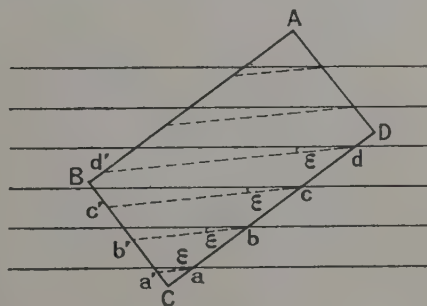


FIG. 7.

Le diagramme de points correspondant au domaine ABCD se déduit alors de celui du cristal de base par une rotation ε autour du faisceau direct et un éloignement accru au spot central car les plans se sont légèrement rapprochés. Schématiquement, en partant du spot normal, il faut envisager d'une part son déplacement x dû à la rotation et d'autre part son déplacement y dû à la variation de maille (fig. 8).

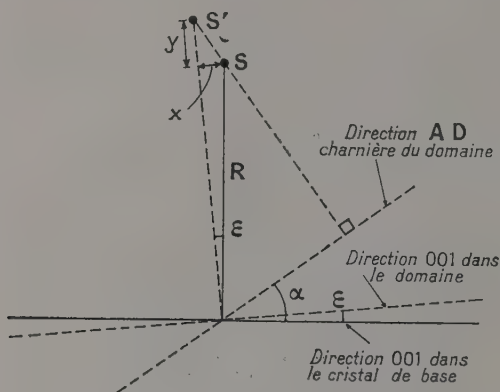


FIG. 8.

CALCUL DE x ET DE y . — ε étant petit $x = R\varepsilon$ la loi de Bragg $2d\theta = \lambda$ donne $\Delta d/d = -\Delta\theta/\theta$ mais $\Delta\theta/\theta = \Delta R/R$ et comme $y = \Delta R$, $y = -R\Delta d/d$.

CALCUL DE $\Delta d/d$ (fig. 9). — $d = ab \sin \alpha$

$$\Delta d/d = (\cos \alpha / \sin \alpha) d\alpha = \varepsilon / \tan \alpha.$$

Prenant Δd négatif (d diminue) on a donc :

$$y = R\varepsilon / \tan \alpha \quad \text{d'où} \quad x/y = \tan \alpha.$$

Le déplacement SS' ainsi calculé est perpendiculaire à la charnière du domaine envisagé et c'est bien ce que l'on constate sur les diagrammes. Comme d'autre part les domaines sont groupés en deux familles faisant les angles $+\alpha$ et $-\alpha$ avec les plans 001, les spots sont bien dédoublés comme sur la figure 6. En ce qui concerne maintenant les plans 100, le même raisonnement conduit à envisager la même torsion, une variation relative d'équidistance du même ordre mais de signe opposé, de

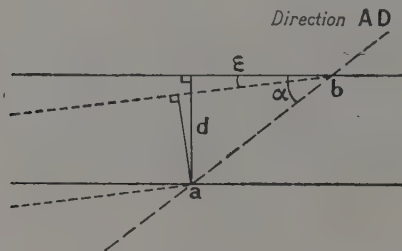


FIG. 9.

sorte que le diagramme est bien au total celui de la figure 6. Pour l'ensemble des exemples étudiés, la valeur moyenne de ε maximum (car ε varie pour un même cristal de zéro à un maximum puis à zéro, parallèlement au développement des franges) est de $0,5 \cdot 10^{-2}$ radian.

Conclusions. — En conclusion, un cristal présentant des franges en lames de parquet se comporte comme une sorte de structure mosaïque, les domaines d'un même groupe (203 ou $2\bar{0}3$) présentant au même instant des orientations cristallines très voisines. L'intensité des spots supplémentaires dépend du nombre de lames de parquet couvert par le faisceau électronique, ce qui explique qu'ils ne soient visibles qu'avec des cristaux de grande dimension. Comme les micrographies montrent qu'en fin d'évolution les domaines se fondent entre eux tandis que les spots supplémentaires des diagrammes semblent rentrer dans le spot normal, il est naturel de lier l'évolution du phénomène au déplacement des déformations. Ainsi (fig. 10) si

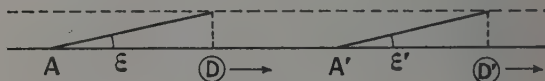


FIG. 10.

les déformations D et D' se déplacent tandis que A et A' sont fixes, on voit que ε diminue progressivement et s'annule quand D est en A' .

La seule étude détaillée des images [3] nous avait conduit à des conclusions de cette nature, les domaines étant envisagés comme des régions soulevées ou enfoncées du cristal. Notons qu'un tel mouvement (décrochage suivant l'axe b) entraîne des torsions pour les plans 001 et 100 qui expliquent complètement les diagrammes. Mais, étant donné qu'un décrochage parallèle au plan du cristal produit le même effet sur les diagrammes et sur les images, il n'est pas possible actuellement de choisir entre les deux hypothèses. Néanmoins on peut affirmer que les franges en lames de parquet sont produites par des distorsions locales et momentanées du réseau cristallin.

Il n'est pas possible actuellement d'en préciser exactement la cause ; le bombardement électronique qui est à l'origine du phénomène ne semble pas seul responsable car s'il déclenche le phénomène chez certains cristaux, il ne produit rien chez d'autres apparemment identiques ; des particularités (défauts, dislocations préexistantes) semblent requises. Comme il n'est pas douteux que le cristal perde de son oxygène par chauffage sous vide, on peut supposer que le départ de cet élément crée localement des tensions qui se traduisent de proche en proche par des dislocations capables de s'anni-

hiler mutuellement. Mais il faut envisager en plus certains défauts originels du cristal pour expliquer que les franges n'apparaissent que sur certains cristaux pris au hasard et qu'une fois seulement.

En résumé, et bien que l'orientation particulière

des domaines ne soit pas expliquée, nous voyons que la diffraction des électrons permet de préciser le phénomène et de confirmer nos premières conclusions déduites de l'observation directe.

Manuscrit reçu le 14 novembre 1957.

BIBLIOGRAPHIE

- [1] BERNARD (R.) et PERNOUX (E.), Congrès de Microscopie électronique, Paris, 1950 ; *Optik*, 1952, 9, 1-2 ; *J. Physique Rad.*, 1952, 13, 368.
- [2] KONIG (H.), *Z. Physik*, 1951, 130, 483.
- [3] PERNOUX (E.), Thèse, Paris, 17 avril 1953.
- [4] BERNARD (R.) et PERNOUX (E.), *Optik*, 1953, 10, 64-71.
- [5] RANG (O.) et SCHLEICH (F.), *Z. Physik*, 1954, 136, 547-553.
- [6] PERNOUX (E.), *C. R. Acad. Sc.*, 1956, 25, 2030-2031.
- [7] HASHIMOTO (H.), *J. Phys. Soc.*, Japan, 1954, 9, 150-161.
- [8] WOOSTER (Nora), *Z. Kristall.*, 1931, 80, 504.
- [9] BRAKKEN (H.), *Z. Kristall.*, 1931, 78, 485.

REVUE DES LIVRES

BRILLOUIN (L.), *Science et théorie de l'information. (Science and Information Theory)* (en anglais). 1 vol. 15 × 23 cm, 320 pages. Acad. Press, New-York, 1956.

Le point qui, dans ce livre fort intéressant, est d'un intérêt vital pour le physicien, est la relation existant entre les deux concepts d'entropie et d'information, signalée initialement par Shannon, et que les très fines analyses de L. Brillouin ont remarquablement élucidée. Un aspect tout à fait insoupçonné auparavant du processus de la mesure en Physique est ainsi mis en évidence.

En bref, il est impossible de tirer d'une expérience plus d'information (au sens cybernétique) qu'il n'a été perdu de négentropie dans le processus ; c'est ce que montre L. Brillouin par la discussion d'une série d'exemples hautement instructifs. Inversement, la production d'une négentropie requiert toujours la dépense d'une information au moins égale : ceci se montre au moyen d'expériences de pensée qui, si elles ne violent pas les principes de la thermodynamique, restent cependant hautement fictives (cloisons infiniment minces, rigides, impénétrables et sans frottement, etc...). Il est permis de penser que c'est notamment sous l'aspect microphysique de la reconversion de l'information en négentropie qu'il faut espérer des progrès expérimentaux et théoriques de l'avenir.

En liaison avec ce problème fondamental, mention spéciale doit être faite de la discussion du « démon de Maxwell », ainsi que des incidences de la théorie des quanta sur certaines mesures physiques de haute précision.

A côté de tout ce groupe de questions, qui ouvre au physicien une mine de problème hier encore inexplicités mais évidemment de la toute première importance, l'on trouve dans ce livre une série de chapitres consacrés plus proprement à la Cybernétique, et dont un analyste physicien est peu habilité à rendre compte : problèmes de sémantique, de codage, de transmission des signaux, d'altération thermodynamique des signaux, de calcul mécanique. Il est à présumer que tout ou partie de ce savoir devra faire partie du bagage du physicien de demain, où il représentera en somme la théorie générale des appareils de mesure.

En bref, un ouvrage de la toute première importance touchant le problème de la mesure en Physique, et qui constitue en même temps une introduction claire et attrayante aux problèmes plus proprement cybernétiques.

Un ouvrage, aussi, qui est écrit dans le style de pensée si caractéristique de M. L. Brillouin, c'est-à-dire à la fois captivant et excitant à la réflexion.

O. COSTA DE BEAUREGARD.

CURRY (C.), *Optique physique : interférences et diffraction (Wave Optics : Interference and Diffraction)* (en anglais). 1 vol. 13 × 22 cm, 155 p., E. Arnold (Publishers) Ltd., Londres, 1957, 21 s.

Ce petit volume, dont le niveau correspond en somme aux cours français d'Optique physique de la Licence ès Sciences, nous a paru un chef-d'œuvre de lucidité, de concision et de clarté.

L'auteur postule une bonne connaissance (d'un niveau analogue) de l'optique géométrique, et renvoie notamment sur ce point à son ouvrage antérieur. L'optique géométrique ne sera jamais oubliée au cours de ces pages, et, chaque fois qu'elle pourra valablement parler, l'on tiendra compte de son discours.

Le trait dominant de l'ouvrage nous a semblé être à la fois la simplicité des mathématiques invoquées et la pénétration physicienne dans la compréhension des phénomènes. Ainsi sont introduites la théorie élémentaire des ondes, des groupes d'onde, du principe de Huygens, et des aberrations instrumentales.

Les chapitres suivants développent les conséquences siques de ces notions : diffraction, interférences, pouvoir résolutif des instruments d'optique.

Le chapitre 7 est consacré à des questions de grand intérêt, mais plus spéciales, et qui ne figuraient pas au programme de Physique Générale au temps où nous l'étudiâmes : théorie d'Abbe de la vision au microscope et effets de la cohérence de phase entre les points de l'objet, microscopie en contraste de phase, microscopie interférentielle.

Dans les deux ultimes chapitres on passe en revue plusieurs types d'interféromètres classiques et modernes, et quelques-unes de leurs applications.

En bref, ce très remarquable petit volume nous a semblé inspiré d'un esprit tout à fait semblable à celui qui anime la collection Armand Colin, et où, précisément, l'apprenti physicien ainsi que le physicien confirmé peuvent trouver de petits chefs-d'œuvre introductifs à plusieurs branches de la Physique.

O. COSTA DE BEAUREGARD.

DIFFUSION DES GAZ AU VOISINAGE D'UNE BULLE DE CAVITATION

Par P. SUQUET,

Laboratoire de Physique de la Faculté de Médecine.

I. Bulle isolée dans un solvant indéfini à la concentration zéro. — Soit ρ le rayon initial de la bulle. Appliquons l'équation de Fick à une sphère de rayon $r > \rho$ concentrique à la bulle. Δc dési-

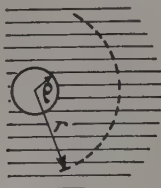


FIG. 1.

gnant le Laplacien $\Delta c = \frac{1}{k} \frac{\partial c}{\partial t}$ s'écrit en coordonnées polaires

$$\frac{\partial^2 c}{\partial (r - \rho)^2} + \frac{2}{r - \rho} \frac{\partial c}{\partial (r - \rho)} - \frac{1}{k} \frac{\partial c}{\partial t} = 0.$$

La concentration est solution de cette équation pour $r > \rho$ et est égale à 1 pour $r < \rho$

Il est évident que

$$\begin{aligned} \frac{\partial^2 c}{\partial (r - \rho)^2} + \frac{2}{r - \rho} \frac{\partial c}{\partial (r - \rho)} \\ = \frac{1}{r \cdot \rho} \frac{\partial^2}{\partial (r - \rho)^2} [C \times (r - \rho)]. \end{aligned}$$

Si donc nous posons

$$\psi = C \times (r - \rho)$$

l'équation devient

$$\frac{\partial^2 \psi}{\partial (r - \rho)^2} - \frac{1}{k} \frac{\partial \psi}{\partial t} = 0.$$

Équation parabolique classique que nous intégrerons par les méthodes symboliques.

La transformée de Laplace de la fonction $\psi = \psi(r - \rho, t)$ est par définition

$$\mathcal{C}(p) = \int_0^\infty e^{-pt} \psi \, dt$$

ψ étant considérée comme fonction de t .

On sait que

$$\frac{\partial \psi}{\partial t} \supset p \mathcal{C}(p) - \psi(0)$$

$\psi(0)$ est la concentration initiale en tout point du liquide pour $r > \rho$, donc $\psi(0) = 0$.

Il en résulte

$$\frac{\partial \psi}{\partial t} \supset p \mathcal{C}(p).$$

L'équation transformée est donc

$$\frac{\partial^2 \mathcal{C}}{\partial (r - \rho)^2} - \frac{p}{k} \mathcal{C} = 0.$$

Très classique équation linéaire du second ordre dont l'intégrale générale est

$$\mathcal{C} = K_1 e^{-(r-\rho)\sqrt{\frac{p}{k}}} + K_2 e^{+(r-\rho)\sqrt{\frac{p}{k}}}$$

K_1 et K_2 étant des fonctions de p seul que nous allons déterminer.

Tout d'abord $e^{+(r-\rho)\sqrt{\frac{p}{k}}}$ ne peut être transformée de Laplace que si $r - \rho < 0$.

Donc, dans le cadre de nos hypothèses

$$\mathcal{C} = K_1 e^{-(r-\rho)\sqrt{\frac{p}{k}}}.$$

Introduisons les conditions aux limites.

Pour $r = \rho$ il est clair que $\mathcal{C} = K_1(p)$.

$K_1(p)$ est donc la transformée de Laplace de la concentration à la surface de la bulle.

Supposons un instant cette concentration spatialement uniforme à la surface de la bulle mais variable au cours du temps. Un artifice évident de calcul permet d'écrire

$$\mathcal{C} = [pK_1(p) - \psi(0)] \frac{1}{p} e^{-(r-\rho)\sqrt{\frac{p}{k}}} + \psi(0) \frac{1}{p} e^{-(r-\rho)\sqrt{\frac{p}{k}}}.$$

Or

$$pK_1(p) - \psi(0) \supset \left[\frac{\partial \psi(0, t)}{\partial t} \right]_{t=0}$$

et

$$\frac{1}{p} e^{-(r-\rho)\sqrt{\frac{p}{k}}} \supset \Theta[(r - \rho); t]$$

en désignant par $\Theta[(r - \rho); t]$ la fonction

$$\Theta[(r - \rho); t] = 1 - \frac{2}{\sqrt{\pi}} \int_0^{\frac{r-\rho}{\sqrt{kT}}} e^{-u^2} du.$$

D'où

$$\Psi[(r-\rho); t] = \frac{\partial \psi(0, t)}{\partial t} * \Theta[(r-\rho); t] + \psi(0, 0) \Theta\left(\frac{r-\rho}{2\sqrt{kt}}\right)$$

* désignant le produit de composition

$$\psi(0, t) = \lim_{r \rightarrow \rho} (r-\rho) C_{\text{sat}} \equiv 0;$$

C_{sat} désignant la concentration de saturation donc

$$\frac{\partial \psi(0, t)}{\partial t} = 0$$

$$\Psi(r-\rho; t)_{r=\rho} = \lim_{r \rightarrow \rho} C_{\text{sat}} \cdot (r-\rho) \cdot \Theta\left(\frac{r-\rho}{2\sqrt{kt}}\right)$$

$$C(r-\rho; t) = C_{\text{sat}} \cdot \Theta\left(\frac{r-\rho}{2\sqrt{kt}}\right)$$

$$C(r-\rho; t) = C_{\text{sat}} \left[1 - \frac{2}{\sqrt{\pi}} \int_0^{\frac{r-\rho}{2\sqrt{kt}}} e^{-u^2} du \right].$$

Nous pouvons maintenant calculer le gradient

$$-\frac{\partial c}{\partial (r-\rho)}.$$

On sait en effet que $\frac{\partial}{\partial x} \Theta(y) = -\frac{2}{\sqrt{\pi}} e^{-y^2} \frac{dy}{dx}$

$$\frac{\partial c}{\partial (r-\rho)} = C_{\text{sat}} \cdot \left(\frac{-2}{\sqrt{\pi}} \right) e^{-\frac{(r-\rho)^2}{4kt}} \cdot \frac{1}{2\sqrt{kt}}$$

$$\boxed{-\frac{\partial c}{\partial (r-\rho)} = C_{\text{sat}} \cdot \frac{1}{\sqrt{k \pi t}} \cdot e^{-\frac{(r-\rho)^2}{4kt}}.}$$

En particulier le gradient à la surface de la bulle est

$$\boxed{\left[-\frac{\partial c}{\partial (r-\rho)} \right]_{r=\rho} = C_{\text{sat}} \cdot \frac{1}{\sqrt{k \pi t}}.}$$

II. Étude de la diffusion à l'intérieur d'une sphère de rayon R_0 de solvant dégazé baignant dans un milieu indéfini à la concentration C_0 . — Soit R_0 le rayon de la sphère. Appliquons l'équation de Fick à une sphère quelconque de rayon r

$$\frac{\partial^2 c}{\partial (R_0 - r)^2} + \frac{2}{R_0 - r} \frac{\partial c}{\partial (R_0 - r)} - \frac{1}{k} \frac{\partial c}{\partial t} = 0.$$

Nous prendrons une nouvelle variable d'espace R définie par $R = (R_0 - r)/R_0$.

L'équation devient

$$\frac{1}{R^2} \left(\frac{\partial^2 c}{\partial R^2} + \frac{2}{R} \frac{\partial c}{\partial R} \right) - \frac{1}{k} \frac{\partial c}{\partial t} = 0.$$

Le terme entre parenthèse est égal à

$$(1/R) \partial^2 (R \cdot c) / \partial R^2.$$

Soit en posant $R \cdot c = \Psi$

$$\frac{\partial^2 \Psi}{\partial R^2} - \frac{R_0^2}{k} \frac{\partial \Psi}{\partial t} = 0.$$

Classique équation dont la transformée de Laplace est

$$\frac{\partial^2 \mathcal{C}}{\partial R^2} - p \frac{R_0^2}{k} \mathcal{C} = 0.$$

Nous simplifierons l'écriture en posant

$$R_0^2/k = 1/a.$$

La solution générale est, on le sait

$$\mathcal{C} = K_1 e^{\sqrt{\frac{p}{a}}} + K_2 e^{-\sqrt{\frac{p}{a}}}.$$

Introduisons les conditions aux limites

Pour $R = 0$ on a $\mathcal{C} = F(p)$ puisque K_1 et K_2 sont fonctions de p seul

$$F(p) = K_1 + K_2.$$

Pour $R = 1$

$$K_1 e^{\sqrt{\frac{p}{a}}} + K_2 e^{-\sqrt{\frac{p}{a}}} = 0.$$

On obtient donc

$$\mathcal{C} = F(p) \frac{\text{sh} \sqrt{\frac{p}{a}} (1-R)}{\text{sh} \sqrt{\frac{p}{a}}}.$$

Or \mathcal{C} peut s'écrire

$$\mathcal{C} = \{ pF(p) - [\psi(R, t)]_{t=0} \}$$

$$\frac{1}{p} \frac{\text{sh} \sqrt{\frac{p}{a}} (1-R)}{\text{sh} \sqrt{\frac{p}{a}}} + \frac{1}{p} [\Psi(R, t)]_{t=0} \frac{\text{sh} \sqrt{\frac{p}{a}} (1-R)}{\text{sh} \sqrt{\frac{p}{a}}}.$$

Or $pF(p) - [\psi(R, t)]_{t=0}$ est l'image de la dérivée de la concentration par rapport au temps sur la surface de la sphère multipliée par R . Ce produit est donc nul.

Donc

$$\mathcal{C} = [\psi(R, t)]_{t=0} \frac{\text{sh} \sqrt{\frac{p}{a}} (1-R)}{\text{sh} \sqrt{\frac{p}{a}}} \cdot \frac{1}{p}$$

or

$$\frac{1}{p} \frac{\text{sh} \sqrt{\frac{p}{a}} (1-R)}{\text{sh} \sqrt{\frac{p}{a}}} \subset \Theta\left(\frac{R}{2\sqrt{kt}}\right)$$

$$+ \sum_{n=1}^{\infty} \left[\Theta\left(\frac{2n+R}{2\sqrt{kt}}\right) - \Theta\left(\frac{2n-R}{2\sqrt{kt}}\right) \right]$$

$$\Psi R, t = \left\{ \Theta \left(\frac{RR_0}{2\sqrt{kt}} \right) + \sum_{n=1}^{\infty} \left[\Theta \left(\frac{(2n+R)R_0}{2\sqrt{kt}} \right) - \Theta \left(\frac{(2n-R)R_0}{2\sqrt{kt}} \right) \right] \right\} [\Psi(R, t)]_{R=0}^{R+0}$$

$$[\Psi(R, t)]_{R=0}^{R+0} = \lim_{r \rightarrow R_0} C_0 \cdot \frac{R_0 - r}{R_0}.$$

Nous aurons donc

$$C(R, t) = \frac{C_0}{R_0} \left[\Theta \left(\frac{RR_0}{2\sqrt{kt}} \right) + \sum_{n=1}^{\infty} \left\{ \Theta \left(\frac{(2n+R)R_0}{2\sqrt{kt}} \right) - \Theta \left(\frac{(2n-R)R_0}{2\sqrt{kt}} \right) \right\} \right].$$

Le gradient a donc pour expression

$$-\frac{\partial C}{\partial R} = -\frac{C_0}{R_0} \left[\frac{\partial \Theta}{\partial R} \left(\frac{RR_0}{2\sqrt{kt}} \right) + \sum_{n=1}^{\infty} \left\{ \frac{\partial \Theta}{\partial R} \left(\frac{(2n+R)R_0}{2\sqrt{kt}} \right) - \frac{\partial \Theta}{\partial R} \left(\frac{(2n-R)R_0}{2\sqrt{kt}} \right) \right\} \right]$$

or

$$\frac{\partial \Theta}{\partial R} \left(\frac{RR_0}{2\sqrt{kt}} \right) = -\frac{2}{\sqrt{\pi}} e^{-\frac{R^2 R_0^2}{4kt}} \cdot \frac{R_0}{2\sqrt{kt}}.$$

Done

$$\frac{\partial \Theta}{\partial R} \left(\frac{RR_0}{2\sqrt{kt}} \right) = -\frac{R_0}{\sqrt{k\pi t}} e^{-\frac{R^2 R_0^2}{4kt}}.$$

De même

$$\frac{\partial \Theta}{\partial R} \left[\frac{(2n+R)R_0}{2\sqrt{kt}} \right] = -\frac{R_0}{\sqrt{k\pi t}} e^{-\frac{(2n+R)^2 R_0^2}{4kt}}$$

et

$$\frac{\partial \Theta}{\partial R} \left[\frac{(2n-R)R_0}{2\sqrt{kt}} \right] = +\frac{R_0}{\sqrt{k\pi t}} e^{-\frac{(2n-R)^2 R_0^2}{4kt}}.$$

On en déduit

$$-\frac{\partial C}{\partial R} = -\frac{C_0}{\sqrt{k\pi t}} \left[e^{-\frac{R_0^2 - r^2}{4kt}} + \sum_{n=1}^{\infty} \left\{ e^{-\frac{(2n+R_0-r)^2}{4kt}} + e^{-\frac{(2n-R_0+r)^2}{4kt}} \right\} \right].$$

A la surface de la sphère en particulier on a

$$\left(-\frac{\partial C}{\partial r} \right)_{r=R_0} = -\frac{C_0}{\sqrt{k\pi t}} \left[1 + 2 \sum_{n=1}^{\infty} e^{-\frac{n^2}{kt}} \right].$$

$$\text{Or } \sum_{n=1}^{\infty} e^{-\frac{n^2}{kt}} < \int_1^{\infty} e^{-\frac{x^2}{kt}} dx \leq \sqrt{kt} \int_1^{\infty} e^{-y^2} \frac{1}{\sqrt{kt}} dy$$

et $k = 1,5 \cdot 10^{-5}$ c. g. s.

On peut donc négliger le terme Σ et, en définitive

$$\left(-\frac{\partial C}{\partial r} \right)_{r=R_0} = -\frac{C_0}{\sqrt{k\pi t}}.$$

III. Phénomènes de diffusion pour une bulle de gaz formée de façon instantanée aux dépens et à l'intérieur d'un solvant de concentration uniforme C_0 . — Ce cas réalise à quelques variantes près la synthèse des deux cas précédents.

Le dégazage local *instantané* fournit un système initial constitué : d'une bulle de rayon ρ_0 ; d'une couronne sphérique de solvant dégazé de rayon R_0 concentrique à la bulle et dont le volume $V_0 = v/C_0$ en désignant par v le volume de la bulle.

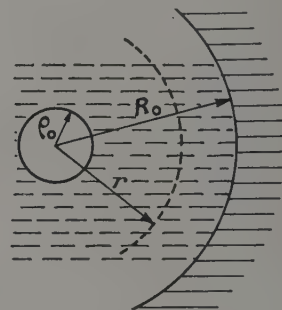


FIG. 2.

L'équation de transfert de la concentration étant linéaire, la solution de ce problème est la somme des solutions établies aux chapitres I et II.

Nous allons, cependant, modifier un peu les notations.

Nous allons prendre pour variable spatiale la variable $R = (r - \rho_0)/(R_0 - \rho_0)$ pour la diffusion à partir de la bulle et la variable

$(1 - R) = (R_0 - r)/(R_0 - \rho_0) = R'$ pour la diffusion à partir de la sphère de rayon R_0 ce qui présente l'avantage de traiter la couronne comme un « mur » d'épaisseur 1.

a) DIFFUSION DANS LA COURONNE A PARTIR DE LA BULLE. — L'équation

$$\frac{\partial^2 C_1}{\partial (r - \rho_0)^2} + \frac{2}{r - \rho_0} \frac{\partial C_1}{\partial (r - \rho_0)} - \frac{1}{k} \frac{\partial C_1}{\partial t} = 0$$

devient

$$\frac{1}{(R_0 - \rho_0)^2} \left[\frac{\partial^2 C_1}{\partial R^2} + \frac{2}{R} \frac{\partial C_1}{\partial R} \right] - \frac{1}{k} \frac{\partial C_1}{\partial t} = 0$$

ou encore

$$\frac{\partial^2 \Phi}{\partial r^2} - \frac{(R_0 - \rho_0)^2}{k} \frac{\partial \Phi}{\partial t} = 0$$

en posant

$$\Phi = (r - \rho_0) C_1 / (R_0 - \rho_0).$$

Il viendra

$$-\frac{\partial C}{\partial R} = -\frac{C_{\text{sat}}}{R_0 - \rho_0} \frac{\partial \Theta}{\partial R} \left[\frac{R(R_0 - \rho_0)}{2\sqrt{kt}} \right]$$

$$\frac{\partial \Theta}{\partial R} \left[\frac{R(R_0 - \rho_0)}{2\sqrt{kt}} \right] = -\frac{2}{\sqrt{\pi}} e^{-\frac{R^2(R_0 - \rho_0)^2}{4kt}} \cdot \frac{R_0 - \rho_0}{2\sqrt{kt}}$$

$$= -\frac{R_0 - \rho_0}{\sqrt{k\pi t}} e^{-\frac{R^2(R_0 - \rho_0)^2}{4kt}}$$

d'où

$$-\frac{\partial C_1}{\partial R} = +\frac{C_{\text{sat}}}{\sqrt{k\pi t}} e^{-\frac{R^2(R_0 - \rho_0)^2}{4kt}} \cdot \frac{1}{R_0 - \rho_0}$$

$$= +\frac{C_{\text{sat}}}{\sqrt{k\pi t}} e^{-\frac{(R - \rho_0)^2}{4kt}} \cdot \frac{1}{R_0 - \rho_0}$$

et comme

$$\frac{\partial C_1}{\partial r} = \frac{1}{R_0 - \rho_0} \frac{\partial C_1}{\partial R}$$

$$-\frac{\partial C_1}{\partial r} = \frac{C_{\text{sat}}}{\sqrt{k\pi t}} e^{-\frac{(R - \rho_0)^2}{4kt}}$$

b) DIFFUSION DANS LA COURONNE A PARTIR DE LA PÉRIPHÉRIE. — L'équation

$$\frac{\partial^2 C_2}{\partial (R_0 - r)^2} + \frac{2}{R_0 - r} \frac{\partial C_2}{\partial (R_0 - r)} - \frac{1}{k} \frac{\partial C_2}{\partial t} = 0$$

devient

$$\frac{1}{(R_0 - \rho_0)^2} \left[\frac{\partial^2 C_2}{\partial R'^2} + \frac{2}{R'} \frac{\partial C_2}{\partial R'} \right] - \frac{1}{k} \frac{\partial C_2}{\partial t} = 0$$

ou encore

$$\frac{\partial^2 \chi}{\partial R'^2} - \frac{(R_0 - \rho_0)^2}{k} \frac{\partial \chi}{\partial t} = 0$$

en posant

$$\chi = C_2 \cdot (R_0 - r) / (R_0 - \rho_0)$$

Il viendra

$$\begin{aligned} \sqrt{k\pi t} \left(-\frac{\partial C_2}{\partial R'} \right) &= \frac{C_0}{R_0 - \rho_0} \left[\frac{\partial \Theta}{\partial R'} \left(\frac{(R_0 - \rho_0) R'}{2\sqrt{kt}} \right) \right. \\ &+ \sum_{n=1}^{\infty} \left\{ \frac{\partial \Theta}{\partial R'} \left(\frac{(2n + R') (R_0 - \rho_0)}{2\sqrt{kt}} \right) \right. \\ &\left. \left. - \frac{\partial \Theta}{\partial R'} \left(\frac{(2n - R') (R_0 - \rho_0)}{2\sqrt{kt}} \right) \right\} \right]. \end{aligned}$$

Soit

$$-\frac{\partial C_2}{\partial r} = -\frac{C_0}{\sqrt{k\pi t}}$$

$$\left[e^{-\frac{(R_0 - r)^2}{4kt}} + \sum_{n=1}^{\infty} \left\{ e^{-\frac{(2n + R_0 - r)^2}{4kt}} + e^{-\frac{(2n - R_0 + r)^2}{4kt}} \right\} \right].$$

Le gradient à la surface de la sphère de rayon r est donc

$$-\frac{\partial C}{\partial r} = -\left(\frac{\partial C_1}{\partial r} + \frac{\partial C_2}{\partial r} \right)$$

$$-\frac{\partial C}{\partial r} = \frac{1}{\sqrt{k\pi t}} \left[C_{\text{sat}} e^{-\frac{(r - \rho_0)^2}{4kt}} - C_0 e^{-\frac{(R_0 - r)^2}{4kt}} \right].$$

Les termes Σ pouvant être négligés.
Ce qui donne à la surface de la bulle

$$\left(-\frac{\partial C}{\partial r} \right)_{r=\rho_0} = \frac{1}{\sqrt{k\pi t}} \left[C_{\text{sat}} - C_0 e^{-\frac{(R_0 - \rho_0)^2}{4kt}} \right].$$

On retrouve bien les conclusions du chapitre I

pour $C_0 = 0$; pour $R_0 = \infty$.

Cette formule générale permet de résoudre immédiatement le cas où la bulle du chapitre I baigne dans un solvant à la concentration C_0 . Dans ce cas $R_0 = \rho_0$ et

$$\left(-\frac{\partial C}{\partial r} \right)_{r=\rho_0} = \frac{1}{\sqrt{k\pi t}} [C_{\text{sat}} - C_0].$$

On voit, en particulier, que pour $C_0 = C_{\text{sat}}$ la bulle est en équilibre avec le liquide puisque le gradient est nul à sa surface,

Nous nous sommes inspiré pour conduire ces calculs des méthodes proposées par François Trèves [1] en théorie de la chaleur.

Proposons-nous maintenant de rechercher le temps de résolution d'une bulle isolée, immobile par rapport au liquide. Il va sans dire qu'il s'agit d'une expérience idéale strictement irréalisable. Notre simple objet est de montrer que l'hypothèse [2] selon laquelle après une phase de contraction adiabatique la bulle continuerait de se contracter à pression interne constante (les gaz repassant en solution) est fort hasardeuse.

Temps de résolution de la bulle soumise à la pression P au sein du liquide à la concentration C_0 en gaz. — Le gradient à la surface de la bulle a pour valeur

$$-\frac{\partial C}{\partial \rho} = \frac{C_{\text{sat}} - C_0}{\sqrt{k\pi t}}$$

où $C_{\text{sat}} = \alpha \Pi$ (loi de Henry) en désignant par Π la pression à l'intérieur de la bulle, c'est-à-dire

$$\Pi = P + \frac{2\sigma}{\rho}$$

en désignant par σ la tension superficielle du liquide

Donc

$$-\frac{\partial C}{\partial \rho} = \left[\alpha \left(P + \frac{2\sigma}{\rho} \right) - C_0 \right] \frac{1}{\sqrt{k\pi t}}.$$

Or d'après la relation de Fick

$$dm = -kS \frac{\partial C}{\partial \rho} dt$$

SUR LE SPECTRE DE FREINAGE INTERNE ET LES RAIES D'AUTO-IONISATION DES NUCLIDES ^{90}Y ET ^{32}P DANS LA RÉGION DES BASSES ÉNERGIES

Par GÉRARD-ANDRÉ RENARD,

Laboratoire de Physique et Chimie Nucléaires, Collège de France.

1. Introduction. — L'émission β est accompagnée de plusieurs phénomènes secondaires : parmi ceux-ci le phénomène de freinage interne et celui d'autoionisation donnent lieu à l'émission de photons et d'électrons.

Dans le cas du freinage interne, les photons forment un spectre continu d'énergie maximum égale à celle du spectre β . Dans le cas de l'autoionisation, à la suite d'un spectre continu d'électrons arrachés au cortège, on observe des photons caractéristiques du réarrangement atomique et des électrons Auger.

Depuis la mise en évidence par Aston [1] en 1927 d'un rayonnement γ lié à l'émission β , diverses expériences utilisant les techniques de la chambre d'ionisation et du compteur de Geiger-Müller ont cherché à séparer les rayonnements de freinage externe et interne ainsi qu'à définir la forme et l'intensité du spectre de ce dernier. L'article de C. S. Wu [2] en 1941 comporte une importante bibliographie de cette période.

La théorie du phénomène a été donnée simultanément par Bloch [3] et Knipp et Uhlenbeck [4] pour les transitions permises puis par Wang-Chang et Falkoff [5] pour les transitions interdites.

La mise au point de la technique des compteurs à scintillations a permis de reprendre les études expérimentales avec une meilleure précision. Divers auteurs [6-13] ont généralement trouvé un accord satisfaisant avec la théorie, quant à la forme et à l'intensité du spectre. Plus récemment [14-16] des divergences ont été signalées entre la forme, l'intensité expérimentale et les prévisions théoriques. L'étude de l'autoionisation, dont les calculs théoriques sont dus à Migdal [17] et à Levinger [18], n'a donné lieu qu'à peu de travaux expérimentaux : certains [19] ont mis en évidence par la méthode des coïncidences le spectre d'électrons arrachés à l'atome émetteur, la plupart des travaux [13-20] mesurent les photons caractéristiques de réarrangement atomique.

Je m'étais proposé l'étude de la forme du spectre de freinage interne aux très basses énergies de quelques keV à quelques dizaines de keV. Pour cela, j'ai utilisé la technique du compteur proportionnel.

La forme du spectre est très sensible à l'efficacité du compteur ; la mesure absolue de l'intensité du spectre demande une mesure précise de l'intensité

absolue β de la source. Dans mes publications précédentes [21-24] l'efficacité du compteur était calculée ; dans cet article, je donne une méthode de mesure de l'efficacité du compteur proportionnel. La mesure de l'intensité absolue β qui impliquait une mesure d'angle solide a été rendue plus directe. Tenant compte de ces améliorations, j'ai étudié la forme et l'intensité du spectre de freinage interne et des pics K et L d'autoionisation de ^{90}Y ; en outre, j'ai repris parmi les mesures antérieures relatives au ^{32}P , certaines expériences dont je donne les résultats modifiés.

2. Dispositif expérimental. — Le dispositif représenté figure 1 est sensiblement le même que celui

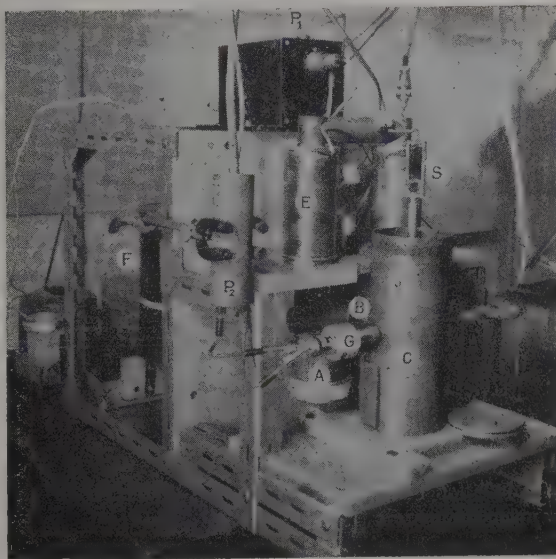


FIG. 1. — Dispositif expérimental. A : compteur proportionnel. B : canaliseur. C : chambre de la source. S : porte source coulissant verticalement. E : électroaimant. G : compteur G-M de contrôle. P₂ : préampli du compteur G-M. P₁ : préampli du compteur proportionnel. F : four de purification.

décrit dans les publications antérieures [21]. La source est placée dans une chambre vidée, le rayonnement canalisé pénètre dans le compteur à travers

une fenêtre mince. Le rayonnement β est dévié par un électro-aimant dont les pôles sont placés de part et d'autre du canaliseur en plexiglass ; le schéma de principe est représenté figure 2. Le compteur cylin-

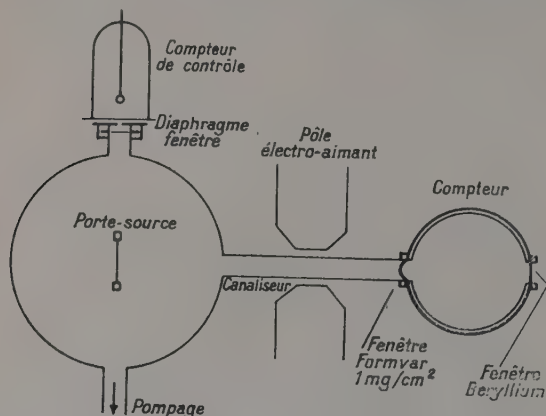


FIG. 2. — Schéma de principe du dispositif expérimental.

drique, d'un diamètre de 60 mm, a un fil en molybdène de 0,08 mm et comporte deux fenêtres diamétralement opposées d'un diamètre utile de 8 mm ; l'une est fermée par une feuille de Be de 17 mg/cm², l'autre par une feuille de formvar d'environ 1 mg/cm² de masse superficielle. Le gaz de remplissage est purifié en circulant d'une manière continue sur du Ca chauffé. Le compteur a, dans ces conditions, une excellente stabilité. La source voit le compteur sous un angle solide de quelques 10⁻⁵. Un faible champ magnétique suffit à éliminer la composante électronique émise et le spectre ne montre aucune variation pour un champ magnétique variant de 600 gauss à 4 000 gauss. Les impulsions sont amplifiées dans un appareillage classique et analysées par un sélecteur à 50 canaux.

3. Préparation des sources. — La source de ⁹⁰Y est préparée à partir d'une source de ⁹⁰Sr fixée une fois pour toutes sur une résine échangeuse de cations. Nous avons construit l'appareil avec Bonnin qui a mis au point la méthode [25] et effectué les extractions permettant d'obtenir des sources de grande pureté

$$\left(\frac{\text{activité } ^{90}\text{Sr}}{\text{activité } ^{90}\text{Y}} \leq 2,6 \cdot 10^{-3} \right)$$

et de grande activité spécifique $\sim 0,3$ mg de matière par millicurie.

Les sources d'activité 1 à 2 mc sont déposées sur des supports de LC 600 de ~ 50 $\mu\text{g}/\text{cm}^2$; leur diamètre est inférieur à 4 mm.

4. Mesure de l'intensité β de la source. — Dans les mesures précédentes, l'intensité du rayonnement β de la source était mesurée à la chambre

d'ionisation étalonnée par Savel, la précision était de l'ordre de 10 % mais, pour comparer à l'intensité du rayonnement de freinage pénétrant dans le compteur, la valeur de l'intensité était multipliée par l'angle solide $\Omega/4\pi$, déterminé géométriquement, sous lequel le compteur voit la source. À l'erreur sur la mesure à la chambre d'ionisation s'ajoutait l'erreur sur l'angle solide, erreur difficilement évaluable.

Dans ces expériences, j'ai mesuré directement l'intensité β à la sortie du canaliseur, en annulant le champ magnétique. Le nombre de particules au début des mesures saturant le compteur, on suit la décroissance du produit avec un compteur Geiger-Müller placé à 90° du canaliseur et ayant un angle solide assez petit pour avoir des pertes de comptage négligeables ; lorsque l'activité est suffisamment réduite, elle est mesurée à la sortie du canaliseur, soit par le compteur proportionnel lui-même, soit en le remplaçant par un compteur Geiger-Müller. La fenêtre du compteur proportionnel restant fixée à l'extrémité du canaliseur, il a été tenu compte des transmissions des fenêtres de compteurs.

Si l'on compare avec la mesure à la chambre d'ionisation, en n'admettant aucune erreur de la chambre d'ionisation, on trouve un angle solide effectif de $3,1 \cdot 10^{-5}$ au lieu de l'angle solide géométrique de $3,55 \cdot 10^{-5}$. Il faut noter que la comparaison de l'intensité β et de l'intensité γ à la sortie du même canaliseur, ne tient pas compte des réflexions différentes de ces deux rayonnements. Toutefois, la mesure directe semble préférable. Plusieurs canaliseurs en plexiglass de longueurs différentes ont été utilisés.

5. Mesure de l'efficacité du compteur proportionnel. — À la sortie du canaliseur, le rayonnement traverse la fenêtre avant de pénétrer dans le compteur. La feuille de formvar de ~ 1 mg/cm² constituant la fenêtre est soumise à la pression du gaz contenu dans le compteur et se gonfle vers le canaliseur et la chambre qui sont sous vide. Le rayonnement traverse ainsi un espace mort où règne un champ électrique insuffisant pour diriger vers le fil du compteur les ions créés ; ensuite le rayonnement pénètre dans le volume utile du compteur.

Dans les expériences précédentes, j'avais calculé l'absorption de la fenêtre, négligé l'espace mort, et calculé l'efficacité dans le compteur en considérant l'absorption de la masse superficielle de gaz située entre les deux fenêtres. Dans ces expériences, j'ai mesuré l'efficacité du dispositif à l'aide de rayons X en fonction de la pression du compteur. Un faisceau de rayons X est envoyé sur une cible mise à la place de la source ; les rayons caractéristiques émis à 90° du faisceau incident sont dirigés vers le compteur, traversent la fenêtre, puis l'espace mort dont l'absorption varie avec la pression, et péné-

trent dans le volume utile du compteur. Le rendement global R du compteur peut être mis sous la forme :

$$R = T \times e^{-\mu/\rho m'} [1 - e^{-\mu/\rho m}]$$

T est la transmission de la fenêtre,

μ/ρ : le coefficient d'absorption dans le gaz,

m : la masse superficielle du volume utile,

m' : la masse superficielle de l'espace mort,

avec

$$m = \rho l p / p_0$$

$$m' = \rho l' p / p_0$$

ρ est la densité du gaz de remplissage à la pression atmosphérique p_0 ,

p : la pression du gaz ; l et l' : les longueurs effectives traversées par le rayonnement dans le

Comme l'on a approximativement

$$m'/m = l'/l \cong 1/10$$

le rendement en fonction de la pression du compteur doit d'abord croître [terme $(1 - e^{-\mu/\rho m})$], puis passer par un maximum et décroître lorsque l'absorption par l'espace mort devient prépondérante [terme $e^{-\mu/\rho m'}$]. Pour des photons suffisamment énergiques, donc de μ/ρ faible et des pressions inférieures à la pression atmosphérique, on n'observe que la partie montante de la courbe ; si au contraire l'énergie est faible, c'est la partie descendante de la courbe que l'on observera et il sera difficile, sinon impossible, de faire fonctionner le compteur à des pressions suffisamment basses pour observer la partie croissante de la courbe.

Les courbes expérimentales de rendement pour divers photons caractéristiques sont données figure 3 dans le cas d'un remplissage de xénon. Les corps suivants ont été utilisés : Al, 1,48 keV ; Ca, 3,7 keV ; Cu, 8,05 keV ; Ag, 22,2 keV ; La, 33,5 keV ; Pr, 36 keV ; le lanthane et le praséodyme encadrent la discontinuité K du xénon. De ces courbes, on déduit les valeurs soit de m , soit de m' ou les deux valeurs dans le cas du Cu. Les valeurs de m ou de m' sont égales, aux erreurs expérimentales près et la valeur m'/m constante ; dans le cas du X_0 on obtient $m'/m = 0,10 \pm 0,03$. Les valeurs de m correspondent à une longueur effective de 8 cm alors que la distance séparant les

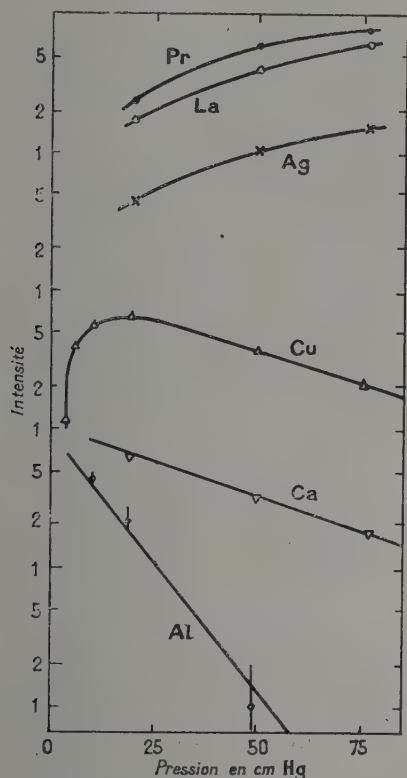


FIG. 3. — Rendement relatif du compteur en fonction de la pression pour des rayons X caractéristiques (Al : 1,48 keV. Ca : 3,7 keV. Cu : 8,05 keV. Ag : 22,2 keV. La : 33,5 keV. Pr : 36 keV). Gaz de remplissage : xénon. Les ordonnées sont en unités arbitraires.

volume utile et l'espace mort. La transmission T de la fenêtre reste constante pour une feuille donnée.

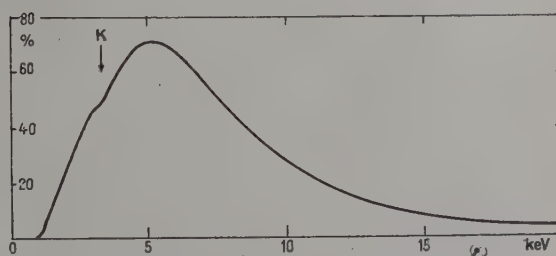


FIG. 4. — Rendement du dispositif en fonction de l'énergie pour un remplissage de 40 cm d'argon et une fenêtre de 1,2 mg/cm² de formvar.

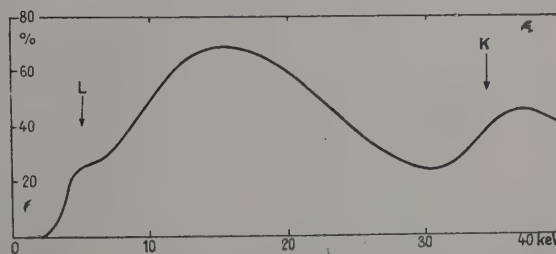


FIG. 5. — Rendement du dispositif en fonction de l'énergie, pour un remplissage de 72 cm de xénon et une fenêtre de 1 mg/cm² de formvar.

deux fenêtres n'est que de 6 cm. Cette divergence est vraisemblablement due entre autres causes à un élargissement du faisceau dans le volume utile. Les mesures ne sont pas assez précises pour déceler des longueurs effectives différentes selon l'énergie ou la pression. Les valeurs de m' correspondent à une longueur de 8 mm ce qui — autant qu'on puisse le mesurer — correspond à l'espace mort géométrique. Dans le cas de l'argon on a $m'/m = 0,11 \pm 0,04$. La transmission de la fenêtre a été calculée en utilisant les valeurs de Nordfors [26]. C'est avec ces valeurs que j'ai calculé les courbes de rendement du compteur. Deux exemples de courbes d'efficacité en fonction de l'énergie sont données figure 4 et 5. Au passage des discontinuités K et L , j'ai tenu compte de la largeur finie des raies d'étalonnage.

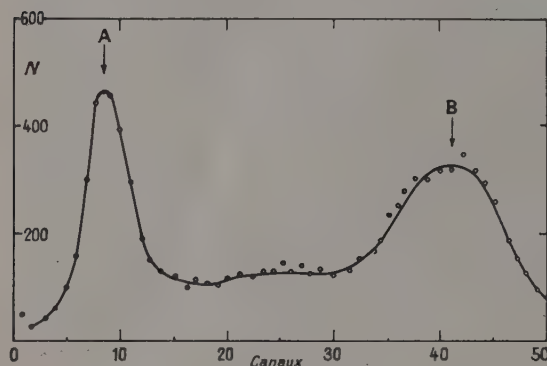


FIG. 6. — Spectre expérimental brut obtenu avec le compteur laiton montrant le pic L d'autoionisation de ^{90}Y (A) et le pic parasite dû au cuivre (B).

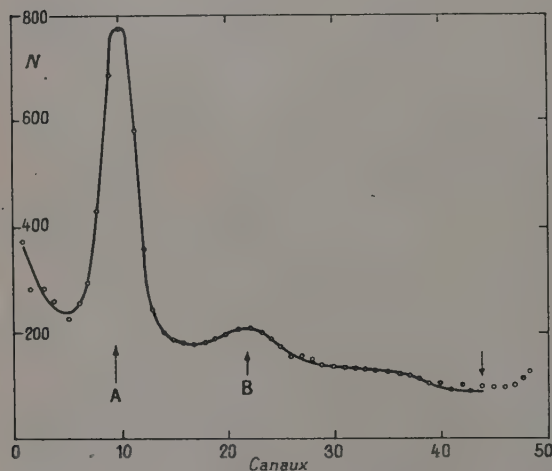


FIG. 7. — Spectre expérimental brut obtenu avec le compteur laiton montrant le pic parasite dû au Cu (A) et le pic K d'autoionisation de ^{90}Y (B).

6. Spectre de freinage interne et pics d'autoionisation de ^{90}Y . — Plusieurs séries d'expériences ont été faites avec un dispositif en laiton (compteur et chambre de la source, et support de la fenêtre), et le même dispositif chemisé antérieurement en Al (compteur et chambre chemisée de 1 mm d'Al, support de fenêtre en Al).

Les expériences faites avec le dispositif en laiton montrent un pic parasite dû au Cu à 8 keV ; les figures 6 et 7 représentent deux exemples des spectres expérimentaux bruts obtenus ; il est à remarquer que le pic L (2 keV) d'autoionisation ne

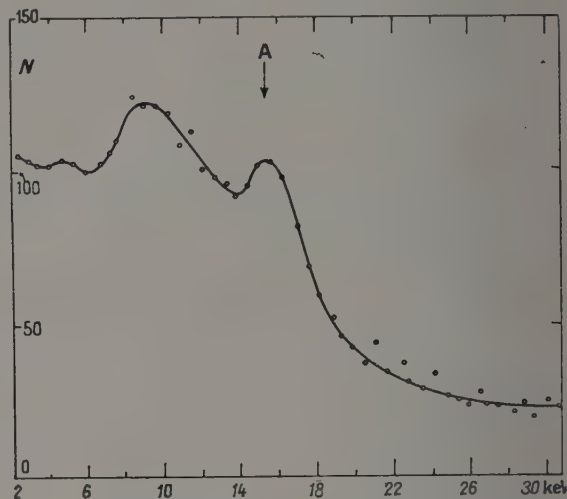


FIG. 8. — Spectre expérimental brut obtenu avec le dispositif chemisé d'aluminium. Le pic parasite du Cu est très atténué.

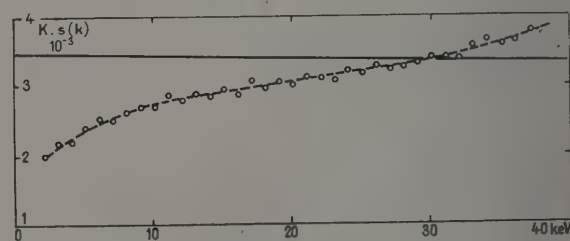


FIG. 9. — Spectre de freinage interne de ^{90}Y . $s(k)$ est la probabilité d'émission d'un photon d'énergie K . Le produit $ks(k)$ est porté en ordonnée. La courbe théorique est représentée en trait plein.

risque pas d'être noyé dans un pic parasite dû à l'aluminium (1,48 keV). Les expériences faites avec le dispositif chemisé d'Al permettent d'explorer la région de 8 keV avec plus de certitude ; la figure 8

montre un exemple de spectre expérimental brut obtenu. Il n'a pas été tenu compte de la région du pic parasite de l'aluminium (1,48 keV).

A partir de 4 sources et de 16 remplissages différents, les moyennes des points expérimentaux de plusieurs centaines d'heures de mesures ont été portées sur la figure 9, sous la forme du produit $k.s(k)$, k représentant l'énergie du photon émis et $s(k)$ la probabilité d'émission. La courbe pointillée représente la valeur théorique. Les pics d'autoionisation ont été soustraits graphiquement. J'ai mesuré le rapport de l'intensité de chaque pic à l'intensité du spectre pour la même énergie ; les valeurs obtenues sont assez dispersées selon les remplissages, la valeur moyenne étant 1,78 pour le pic K et 2,18 pour le pic L , ce qui donne les valeurs rapportées dans le tableau I.

7. Modifications de résultats antérieurs concernant ^{32}P . — La méthode de mesure de l'efficacité du compteur qui vient d'être décrite m'a permis de reconsidérer les résultats antérieurs obtenus

avec ^{32}P . L'angle solide effectif déterminé dans les expériences sur ^{90}Y a été utilisé. Sur la figure 10 la courbe théorique de la valeur de $ks(k)$ est portée (1)

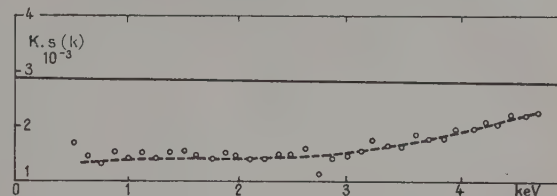


FIG. 10. — Spectre de freinage interne de ^{32}P . $s(k)$ est la probabilité d'émission d'un photon d'énergie k . Le produit $ks(k)$ est porté en ordonnée. La courbe théorique est représentée en trait plein.

ainsi que les points expérimentaux. Le rapport de l'intensité du pic K à l'intensité du spectre pour la même énergie est de 4,27 ce qui permet d'obtenir la valeur de l'autoionisation qui est reportée dans le tableau I.

TABLEAU I

| NUCLIDE | W_β max. | E_{photons} | $\frac{N \text{ photons}}{N_\beta}$ | ω^* | $P_{\text{experim.}}^{**}$ | $P_{\text{théorique}}^{***}$ |
|-----------------|----------------|---|--|---------------|--|---|
| ^{90}Y | 2,2 MeV | $K = 15,7 \text{ keV}$ $L = 2 \text{ keV}$ | $3,29 \cdot 10^{-4}$ $2,18 \cdot 10^{-4}$ | 0,69 0,365 | $4,75 \cdot 10^{-4}$ $60 \cdot 10^{-4}$ | $5,9 \cdot 10^{-4}$ $50 \cdot 10^{-4}$ |
| ^{32}P | 1,7 MeV | $K = 2 \text{ keV}$ | $2,6 \cdot 10^{-4}$ | 0,0555 | $47 \cdot 10^{-4}$ | $37 \cdot 10^{-4}$ |

* ω est le facteur de fluorescence [27].

** P est la probabilité d'autoionisation de la couche K .

*** Les valeurs théoriques sont celles de Levinger [18].

8. Conclusions. — On remarque dans les résultats deux caractéristiques : les courbes sont croissantes, ce qui est à rapprocher des résultats suédois [14, 15] et de ceux de H. Langevin [16] ; d'autre part, il y a un désaccord avec les courbes théoriques.

La montée des courbes dépend de l'efficacité ; il est certain que si la méthode d'étalonnage par les rayons X donne des résultats plus sûrs, il n'en reste pas moins que, pour ces énergies, la courbe d'efficacité est très sensible aux valeurs m et m' trouvées ; de plus, une faible erreur se répercute d'une manière continue en fonction de l'énergie et peut devenir très importante vers les très basses énergies ; enfin la transmission de la fenêtre est très incertaine.

D'autre part, l'emploi du même angle solide effectif pour des rayons β et des photons introduit une erreur supplémentaire. La méthode du compteur proportionnel, avec un dispositif très canalisé, s'adapte donc difficilement à l'étude d'un tel problème. Il reste une mesure expérimentale directe sûre, c'est la mesure du rapport de l'intensité du

pic d'autoionisation à l'intensité de la composante du spectre de même énergie.

En utilisant ce rapport, les mesures d'efficacité et de l'angle solide, on obtient un accord assez bon théorie-expérience de l'autoionisation et un désaccord net pour le freinage interne.

Si la théorie du freinage interne est valable et mes mesures d'efficacité et d'angle solide erronées, on obtiendra des valeurs expérimentales d'autoionisation nettement incompatibles avec la théorie. Il reste l'hypothèse que mes corrections ne sont pas exactes et que ni le freinage interne, ni l'autoionisation ne soient en accord avec la théorie.

Je remercie M. le P^r Joliot des conseils qu'il m'a donnés au cours de ce long travail.

Manuscrit reçu le 5 novembre 1957.

(1) La courbe théorique reportée antérieurement est entachée d'une erreur de calcul et doit être multipliée par un facteur 1,5.

BIBLIOGRAPHIE

- [1] ASTON (G. H.), *Proc. Camb. Phil. Soc.*, 1927, **23**, 935.
- [2] WU (C. S.), *Phys. Rev.*, 1941, **59**, 481.
- [3] BLOCH (F.), *Phys. Rev.*, 1936, **50**, 272.
- [4] KNIPP (J. K.) et UHLENBECK (G. E.), *Physica*, 1936, **3**, 425.
- [5] WANG CHANG (C. S.) et FALKOFF (D. L.), *Phys. Rev.*, 1949, **76**, 365.
- [6] MADANSKY (L.) et RASETTI (F.), *Phys. Rev.*, 1951, **83**, 187.
- [7] NOVEY (T. B.), *Phys. Rev.*, 1951, **84**, 145.
- [8] MAKIEJ (B.), *Acta Physica Polonica*, 1953, **12**, 32.
- [9] NOVEY (T. B.), *Phys. Rev.*, 1953, **89**, 672.
- [10] BOLGIANO (P.), MADANSKY (L.) et RASETTI (F.), *Phys. Rev.*, 1953, **89**, 679.
- [11] MICHALOWICZ (A.), *Ann. Physique*, 1957, **13**, 116.
- [12] GOODRICH (M.) et PAYNE (W. B.), *Phys. Rev.*, 1954, **93**, 405.
- [13] BØHM (F.) et WU (C. S.), *Phys. Rev.*, 1954, **93**, 518.
- [14] LIDEN (K.) et STARFELT (N.), *Phys. Rev.*, 1955, **97**, 419.
- [15] STARFELT (N.) et SVANTESSON (N. L.), *Phys. Rev.*, 1955, **97**, 708.
- [16] LANGEVIN-JOLIO (H.), *Ann. Physique*, 1957, **13**, 16.
- [17] MIGDAL (A.), *J. Phys. Exp. et Théor.*, U. R. S. S., 1941, **11**, 207.
- [18] LEVINGER (J. S.), *Phys. Rev.*, 1953, **90**, 11.
- [19] CHARPAK (G.), *Thèse*, Paris.
- [20] GRAY, *Phys. Rev.*, 1939, **55**, 586.
- [21] RENARD (G.-A.), *J. Physique Rad.*, 1953, **14**, 361.
- [22] RENARD (G.-A.), *C. R. Acad. Sc.*, Paris, 1954, **238**, 1991.
- [23] RENARD (G.-A.), *C. R. Acad. Sc.*, Paris, 1954, **238**, 1072.
- [24] RENARD (G.-A.), *J. Physique Rad.*, 1955, **16**, 575.
- [25] BONNIN (A.), *Bull. Soc. Chim. France*, 1956, 1563.
- [26] NORDFORS (B.), *Ark. Phys.*, 1957, **11**, 587.
- [27] BURHOP (E. H. S.), *The Auger Effect*, Cambridge monographs on physics, 1952.

REVUE DES LIVRES

PEPPERHOFF (W.), **Rayonnement thermique**. (Temperaturstrahlung.) 1 vol., 15,5 × 22 cm, 281 pages, Steinkopff, Darmstadt, 1956, D. M. 37,50.

Il s'agit d'un ouvrage extrêmement détaillé de physique expérimentale et classique : L'étude du rayonnement thermique et optique. Après un exposé des lois du rayonnement (Kirchhoff, Planck, Wien, Stefan) on passe à la description des propriétés du rayonnement des gaz, à l'optique des métaux, des solides non métalliques et des systèmes dispersés. Puis aux mesures du rayonnement, à la pyrométrie optique, et au transport de chaleur par rayonnement. Sans critiquer le fond de l'ouvrage, nous pensons qu'une présentation moins dense et uniforme faciliterait la lecture et la mémoire des faits décrits.

J. WINTER.

MASSIGNON (D.), **Mécanique statistique des fluides. Fluctuations et propriétés locales**. (1 vol. 25 × 16, xiv + 263 pages. Dunod, Paris, 1957, 3 900 F).

Ce petit livre de 250 pages contient un exposé très moderne de l'hydrodynamique et de la thermodynamique dans le cadre de la mécanique statistique et une étude approfondie des fluctuations et des propriétés locales des fluides classiques et quantiques.

L'auteur y développe des méthodes qu'il a proposées en 1949 et que d'autres ont repris depuis (Kirkwood et son école, entre autres) et qui lui permettent d'aborder un grand nombre de problèmes qu'on ne savait pas traiter jusqu'ici.

En hydrodynamique statistique, par exemple, l'introduction de grandeurs semi-fines, tenant compte du caractère ponctuel des observations locales, rend possible l'étude des dispersions et corrélations des fluctuations du courant de masse, du courant d'impulsion, des densités et courants d'énergie cinétique et potentielle, etc...

Le tenseur de covariance des fluctuations du courant de masse caractérise la turbulence des fluides compressibles, comme le tenseur de von Karman celle des fluides compressibles. De même, la covariance locale des fluctuations de la « densité de facteur de structure » conduit à une expression des lois de la diffusion cohérente d'une onde électromagnétique par un fluide, qui est valable des rayons X aux ondes hertziennes. Enfin, l'étude de la covariance temporelle de la force d'interaction exercée sur une molécule par les autres molécules donne une interprétation statistique de la constante de Langevin du mouvement Brownien.

En thermodynamique statistique, l'auteur définit l'état local du fluide dans un volume partiel et montre que, si le fluide est dans un état canonique d'équilibre et si les dimensions du volume partiel sont grandes devant la portée des interactions et petites devant celles de l'enceinte contenant le fluide, cet état local est un état grand-canonique de Gibbs, même en présence d'un champ extérieur. D'où une théorie de la condensation dans un champ extérieur, qui généralise celle de Yang et Lee.

Le passage des fluides classiques aux fluides quantiques se fait aisément, en particulier par la méthode de l'espace des phases de Wigner.

Ce livre contient bien d'autres résultats nouveaux, qu'il n'est pas possible de signaler ici. Il devrait suggérer des expériences nouvelles, par exemple pour l'étude de la répartition des fluctuations des propriétés locales d'un fluide, en particulier au voisinage du point critique.

Il est à recommander, non seulement à ceux qui s'intéressent à la mécanique statistique, aux théories du corps solides, des diélectriques... mais aussi aux étudiants et futurs chercheurs des « Troisièmes cycles » de Physique et de Chimie-Physique.

E. ARNOUS.

INTENSITÉ DES RAIES RAMAN DES LIAISONS C-H EN FONCTION DE LA CONJUGAISON

Par MONIQUE HARRAND et CLAUDE BAZIN,

Laboratoire des Recherches Physiques, Faculté des Sciences, Paris.

Il est bien connu que l'on n'obtient pas avec la même facilité le spectre Raman de n'importe quelle substance et que les temps de pose peuvent varier du simple au centuple. Dans le cas des poudres cristallines, il faut utiliser des montages spéciaux pour que la diffusion Raman ne soit pas noyée dans la lumière parasite réfléchie par les facettes des grains ; dans ce cas le monochromateur ou les filtres utilisés ont pour résultat d'affaiblir considérablement la lumière incidente. Par contre, avec l'acide cinnamique un montage ordinaire suffit : la poudre (très soigneusement purifiée pour éliminer toute trace de fluorescence) même mise dans une cuve ordinaire pour liquide et placée devant un spectrographe ouvert seulement à F/6 donne très facilement un spectre Raman dont les deux raies les plus intenses ($1\,597$ et $1\,638\text{ cm}^{-1}$) sont visibles à l'œil nu. Mais alors que ces raies et celles de fréquence inférieure à $1\,600\text{ cm}^{-1}$ sont photographiées dans des temps très courts, il faut poser beaucoup plus longtemps pour obtenir les raies Raman dans la région de $3\,000\text{ cm}^{-1}$. Au contraire pour le benzène, la raie à $3\,063\text{ cm}^{-1}$ est très intense et son intensité est de l'ordre de grandeur de celle de la raie à 992 cm^{-1} , la plus intense du spectre.

Nous avons donc entrepris l'étude de l'intensité des raies dues aux vibrations de valence des liaisons C—H en fonction de la conjugaison, sur des molécules saturées et non saturées, conjuguées ou non conjuguées.

Dans des travaux antérieurs [1], [2], l'un de nous avait montré comment l'intensité des raies de fréquence inférieure à $1\,800\text{ cm}^{-1}$ dépendait de la conjugaison des liaisons multiples présentes dans la molécule : l'exaltation observée est la somme de deux phénomènes, l'un relatif à l'ensemble du spectre et l'autre aux raies caractéristiques des radicaux non saturés. Il s'agit ici de savoir dans quelle catégorie rentrent les raies de C—H à $3\,000\text{ cm}^{-1}$.

Les substances étudiées sont les liquides suivants :

| | |
|------------------------|--|
| Molécules cycliques | $\left\{ \begin{array}{l} \text{Saturées : cyclohexane (C}_6\text{H}_{12}\text{),} \\ \text{dioxane (C}_4\text{H}_8\text{O}_2\text{).} \\ \text{Non saturée : Benzène (C}_6\text{H}_6\text{).} \end{array} \right.$ |
| Aldéhydes aliphatiques | $\left\{ \begin{array}{l} \text{Saturé : aldéhyde butyrique} \\ \text{(CH}_3\text{—CH}_2\text{—CH}_2\text{—CHO).} \\ \text{Éthylénique conjugué : ald. cro-} \\ \text{tonique} \\ \text{(CH}_3\text{—CH=CH—CHO).} \end{array} \right.$ |

| | |
|-----------------------|--|
| Aldéhydes aromatiques | (Non conjugué : ald. phénylpro- pylique |
| | (C ₆ H ₅ —CH ₂ —CH ₂ —CHO). |
| | (Conjugué : aldéhyde cinnamique (C ₆ H ₅ —CH=CH—CHO). |

et une combinaison conjuguée à l'état de poudre cristalline : l'acide cinnamique trans formé en majeure partie de la forme α



Dispositif expérimental. — Nous avons utilisé un montage transversal classique à éclairage bilatéral. L'excitation a été faite par la radiation violette $\lambda = 4\,047\text{ Å}$ du mercure, pour obtenir les raies à $3\,000\text{ cm}^{-1}$ dans une région de bonne dispersion spectrale. La radiation $\lambda = 4\,358\text{ Å}$ très intense est arrêtée par un filtre concentré à l'iode (10 % dans CCl₄) et les radiations ultraviolettes par l'aldéhyde salicylique de façon à éliminer la fluorescence qu'elles pourraient produire. Nous avons employé un spectrographe à trois prismes, d'ouverture F/2,3, dont la dispersion est la suivante :

| |
|--------------------|
| 23 Å/mm à 4 200 Å, |
| 32 Å/mm à 4 500 Å. |

Dans le cas de l'acide cinnamique, la poudre est placée dans une cuve creuse à intérieur conique (fig. 1).

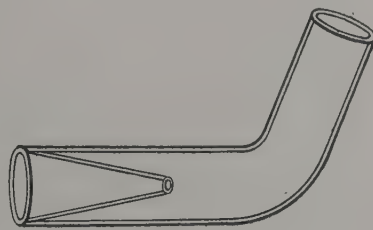


FIG. 1.

Les aldéhydes ont été distillés deux fois avant emploi, la deuxième fois directement dans le tube Raman, pour enlever des restes d'impureté et éliminer la fluorescence. Pour les aldéhydes aromatiques, les distillations ont été faites sous une pression de 20 mm de mercure. L'aldéhyde cinnamique n'ayant pu, malgré divers traitements chimiques et physiques, être obtenu incolore, son

étude a été faite par excitation de la radiation 4 358 Å ainsi naturellement que celle de l'aldéhyde phénylpropylique auquel on le compare.

Pour mesurer les intensités, nous avons utilisé le prisme de petit angle (déjà décrit) à faces semi-argentées recouvertes pour leur protection par de la cryolithe. L'étalonnage est fait en une pose de durée sensiblement égale à celle des poses Raman, sur la raie du mercure à 4 358 Å qui se trouve au centre des régions étudiées. Les intensités données sont les moyennes de plusieurs mesures.

Nous n'avons pas étudié la variation de sensibilité de la plaque photographique en fonction des

longueurs d'onde. Il n'est donc pas possible de faire des comparaisons hétérochromes absolues, bien que la sensibilité de la plaque Superfulgur utilisée soit peu variable dans le domaine spectral situé entre 4 150 Å et 4 620 Å. Cependant le rapport des intensités données par la plaque photographique pour deux raies de régions spectrales différentes, peut être comparé à celui des raies homologues prises dans un spectre d'une autre substance.

Résultats. — Les intensités des raies sont données dans le tableau I entre parenthèses.

Les substances sont réparties en trois groupes à

TABLEAU I

| | |
|---------------------------|--|
| Cyclohexane | 800 (13), 1 028 (11), 1 266 (11), 1 445 (13), 2 854 (50), 2 925 (56), 2 942 (50). |
| Dioxane | 836 (16), 1 014 (11), 1 221 (6), 1 305 (11), 1 443 (12), 2 860 (26), 2 888 (14), 2 962-2 971 (39). |
| Benzène | 606 (12), 992 (100), 1 177 (23), 1 585 (15), 1 606 (12), 3 046 (10), 3 063 (80). |
| Acide cinnamique | 1 000 (285), 1 027 (36), 1 179 (264), 1 212 (273), 1 266 (135), 1 294 (297), 1 443 (57), 1 496 (69), 1 598 (1 080), 1 638 (1 440), 3 035 (36), 3 066 (72). |
| Aldéhyde butyrique | 784 (3,5), 893 (2,5), 1 042 (5), 1 117 (4), 1 393 (9), 1 455 (10), 1 724 (10), 2 734 (11), 2 828 (9), 2 882-2 913 (34,5), 2 942 (33), 2 973. |
| Aldéhyde crotonique | 466 (9), 1 155 (15), 1 311 (12), 1 385 (8), 1 400 (12), 1 449 (10), 1 557 (5), 1 649 (52), 1 695 (75), 2 921 (33), 2 951 (15), 2 983 (12), 3 004 (9), 3 032 (10). |
| Aldéhyde phénylpropylique | 628 (15), 758 (5), 807 (5), 907 (4), 1 011 (48), 1 040 (16), 1 163 (9), 1 189 (9), 1 212 (16), 1 257 (4), 1 343 (5), 1 396 (8), 1 453 (6), 1 591 (9), 1 611 (30), 1 633 (11), 1 685 (5), 1 728 (7), 2 723 (4), 2 767 (3), 2 820 (5), 2 890-2 930 (14), 2 977 (5), 2 997 (5), 3 050-3 060 (31). |
| Aldéhyde cinnamique | 611 (59), 847 (28), 1 005 (107), 1 130 (188), 1 164 (42), 1 183 (115), 1 255 (240), 1 336 (60), 1 397 (57), 1 454 (26), 1 499 (42), 1 528 (22), 1 544 (34), 1 576 (116), 1 600 (440), 1 628 (700), 1 679 (270), 3 065 (31). |

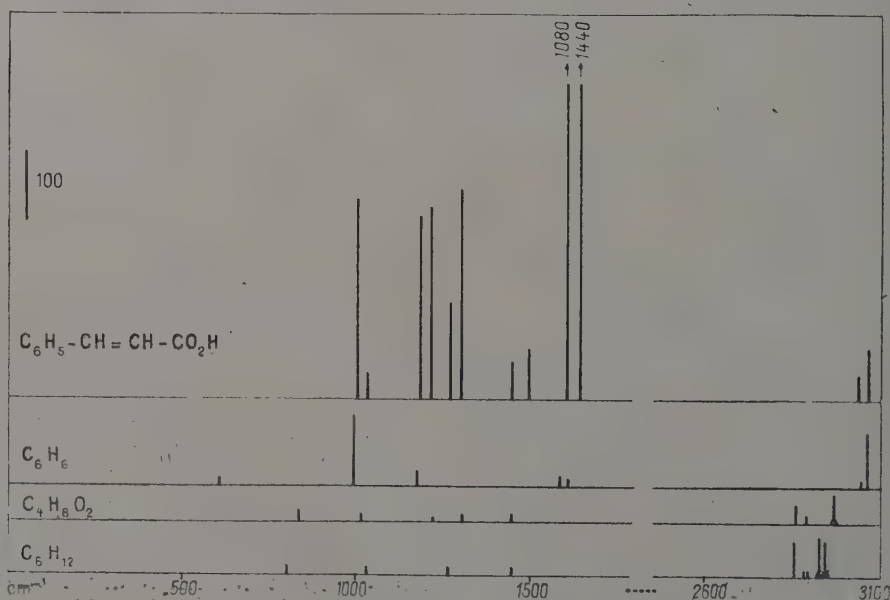


Fig. 2. — Intensités absolues des spectres Raman.

l'intérieur desquels les intensités Raman peuvent être comparées car les éclaircissements incidents ont été ramenés à une même valeur.

Le premier groupe comprend le cyclohexane, le dioxane, le benzène et l'acide cinnamique. L'intensité de la diffusion Raman de l'acide cinnamique a été comparée à celle du benzène au moyen de solutions de concentration connue dans le dioxane. Le deuxième groupe comprend les aldéhydes aliphatiques et le troisième les aldéhydes aromatiques.

Les résultats sont rassemblés dans les figures 2 et 3 où les raies Raman sont représentées par des traits de longueur proportionnelle à leur intensité.

L'examen des résultats montre que dans les spectres du cyclohexane et du dioxane (*fig. 2*), les raies Raman les plus intenses sont celles dont les fréquences avoisinent $3\,000\text{ cm}^{-1}$, et qui sont dues aux vibrations de valence des liaisons C—H. Elles sont respectivement environ 4 ou 2 fois plus intenses que la raie du cycle à 800 cm^{-1} qui est la plus

intense dans le domaine $0-1\,800\text{ cm}^{-1}$. Au contraire dans le spectre du benzène, la raie la plus intense est celle du cycle à 992 cm^{-1} et la raie à $3\,063\text{ cm}^{-1}$ ne vient qu'en second. Ces deux raies correspondent à des vibrations de même symétrie. L'autre raie de C—H à $3\,046\text{ cm}^{-1}$ est plus faible mais elle a à peu près l'intensité de la raie 606 cm^{-1} dont elle a la symétrie.

Dans le spectre de l'aldéhyde butyrique (*fig. 3*), les raies de C—H vers $3\,000\text{ cm}^{-1}$ sont encore les plus intenses, plus intenses que la raie à $1\,724\text{ cm}^{-1}$ du radical CO ; mais dans l'aldéhyde crotonique, il y a un renversement des intensités. Les raies des doubles liaisons (C=C et C=O) sont les plus intenses ; les raies de C—H à $3\,000\text{ cm}^{-1}$ sont d'intensité moyenne.

Comme pour le benzène, l'intensité de la raie de C—H à $3\,062\text{ cm}^{-1}$ de l'aldéhyde phénylpropylique est de l'ordre de grandeur de celle des raies les plus fortes dans le domaine $0-1\,800\text{ cm}^{-1}$ mais

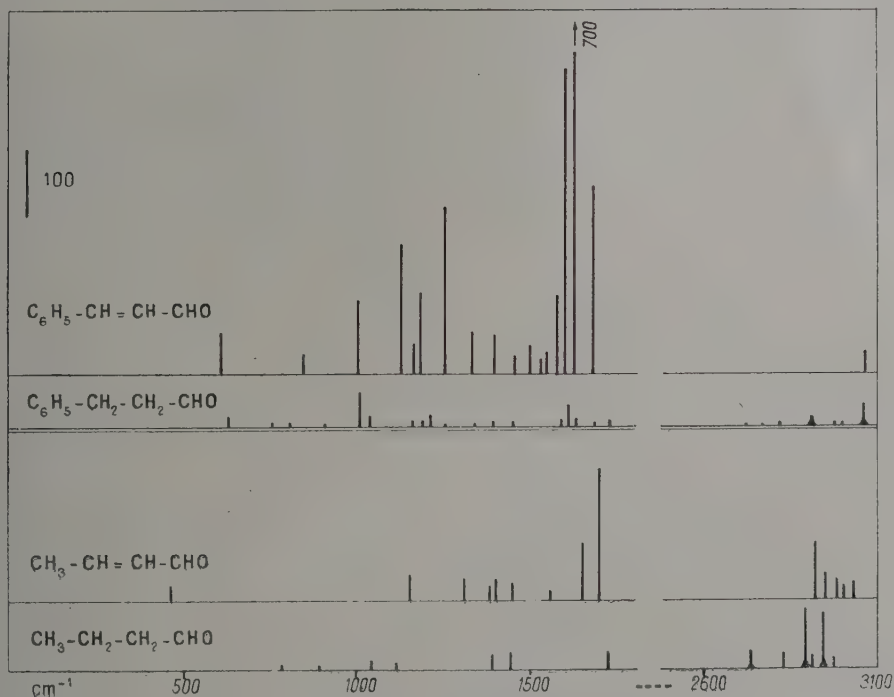


FIG. 3. — Intensités absolues des spectres Raman.

un peu plus faible (*fig. 3*). Pour l'aldéhyde cinnamique tout le spectre entre 0 et $1\,800\text{ cm}^{-1}$ se trouve très exalté et en particulier les raies des groupes non saturés (C_6H_5 , C=C et C=O) mais par contre la raie de C—H à $3\,065\text{ cm}^{-1}$ est extrêmement faible. Il en est de même pour l'acide cinnamique qui possède le même système conjugué (*fig. 2*).

Nous remarquons donc que les raies correspondant aux vibrations de valence des liaisons C—H sont les plus intenses dans les spectres des corps saturés (cyclohexane, dioxane) ou n'ayant qu'une seule double liaison (aldéhyde butyrique). Les raies de C—H sont plus intenses dans le cyclohexane que dans le dioxane mais le premier possède 12 liaisons C—H contre 8 dans le dioxane.

Si le nombre des liaisons multiples augmente, il y a un affaiblissement relatif des raies à $3\,000\text{ cm}^{-1}$ (benzène, aldéhyde crotonique, aldéhyde phénylpropylique). Cet affaiblissement est très important non seulement si le nombre des liaisons multiples est grand mais surtout si la conjugaison est grande : le fait d'ajouter une double liaison à l'aldéhyde phénylpropylique change énormément les intensités relatives des raies. Dans l'aldéhyde cinnamique l'intensité de la raie à $3\,065\text{ cm}^{-1}$ est parmi les plus faibles. La variation d'intensité observée entre le benzène et l'acide cinnamique pour les raies de C—H ne peut être due à la différence du nombre des liaisons C—H.

Dans ces variations respectives d'intensité y a-t-il affaiblissement des raies à $3\,000\text{ cm}^{-1}$ ou exaltation du reste du spectre ? La comparaison des intensités absolues nous permet de répondre. Sur les figures nous voyons que pour un même éclaircissement incident les intensités des raies de C—H vers $3\,000\text{ cm}^{-1}$ dans chacun des trois groupes sont du même ordre de grandeur : l'exaltation produite par la conjugaison ne se fait sentir que dans le domaine de fréquences $0.1\text{--}800\text{ cm}^{-1}$. L'intensité des spectres augmente quand on passe du cyclohexane ou du dioxane au benzène et surtout à l'acide cinnamique et pourtant les intensités des raies à $3\,000\text{ cm}^{-1}$ sont à peu près les mêmes. De même quand on passe de l'aldéhyde butyrique à l'aldéhyde crotonique ou de l'aldéhyde phénylpropylique à l'aldéhyde cinnamique.

Conclusion. — La conjugaison des liaisons multiples n'affecte donc que les raies de fréquence inférieure à $1\,800\text{ cm}^{-1}$. Elle ne modifie pas l'intensité des raies de C—H dues aux vibrations de valence, alors qu'elle exalte les raies du domaine $0.1\text{--}800\text{ cm}^{-1}$ et tout particulièrement les raies caractéristiques des liaisons non saturées.

On peut tenter de donner une explication qualitative à ce phénomène en considérant les propriétés des électrons π .

L'intensité des raies Raman dépend du tenseur dérivé des polarisabilités ; elle s'obtient à partir de la réfractivité moyenne et de l'anisotropie, invariants relatifs au tenseur dérivé. La polarisabilité d'une molécule peut être décomposée en deux parties : l'une provenant des électrons σ localisés autour de la simple liaison qu'ils forment, l'autre due aux électrons π délocalisés. Nous avons montré [1] que la participation des électrons π est très importante surtout s'il y a conjugaison. Le calcul des polarisabilités principales a été effectué au moyen de la méthode approximative de Hirschfelder. Nous rappelons les résultats trouvés pour

les liaisons σ et π entre deux atomes de carbone, et pour les orbitales π d'une molécule à doubles liaisons conjuguées du type « cis butadiène ». Les polarisabilités principales sont les suivantes (en unités atomiques a_0^3) :

| | | |
|--|---------------------|---------------------------------------|
| liaison σ de C — C... | $\alpha_x = 73$ | $\alpha_y = \alpha_z = 3$ |
| liaison π de C = C... | $\alpha_x = 97$ | $\alpha_y = 2$ $\alpha_z = 19$ |
| orbitale π symétrique (2 électrons) | $\alpha_{1x} = 240$ | $\alpha_{1y} = 17$ $\alpha_{1z} = 18$ |
| orbitale π antisymétrique (2 électrons) | $\alpha_{2x} = 262$ | $\alpha_{2y} = 16$ $\alpha_{2z} = 20$ |

Il en résulte que la polarisabilité moyenne et l'anisotropie sont très augmentées par la conjugaison. Si l'on considère une molécule du type « cis butadiène » où pour simplifier les calculs les liaisons C—H ont été remplacées par des liaisons C—C, on obtient pour la polarisabilité moyenne et l'anisotropie, les valeurs :

$$\alpha = 426 \quad b^2 = 462\,000.$$

Ces valeurs deviennent :

$$\alpha' = 314 \quad \text{et} \quad b'^2 = 146\,000,$$

si l'on suppose qu'il n'y a pas de conjugaison entre les deux doubles liaisons. Or dans la valeur de la polarisabilité moyennée, les six liaisons extérieures ne comptent que pour 156 sur 426. Cet écart sera d'autant plus grand que la conjugaison s'étendra sur un nombre plus grand de doubles liaisons.

Dans une molécule comportant des groupes non saturés, la polarisabilité est donc principalement produite par les électrons π et cela d'autant plus que la conjugaison est plus grande. On peut donc penser qu'une vibration qui n'affectera pas les atomes porteurs d'électrons π modifiera peu l'ellipsoïde des polarisabilités, donc que la valeur de la dérivée sera faible : c'est le cas d'une vibration de valence entre C et H où, à cause de la différence des masses, c'est l'atome d'hydrogène qui vibre pratiquement seul. Au contraire, dans les vibrations de valence des doubles liaisons, par exemple, les atomes porteurs d'électrons π se déplacent d'une façon importante : l'ellipsoïde des polarisabilités se déforme beaucoup au cours de la vibration et l'on peut penser que les invariants du tenseur dérivé (réfractivité moyenne et anisotropie) ont des valeurs importantes. Ces vibrations donneraient ainsi lieu à des raies Raman de forte intensité. La distinction des deux domaines de fréquence provient du fait que si au cours d'une vibration l'atome d'hydrogène se déplace seul, la fréquence a une valeur supérieure à $2\,700\text{ cm}^{-1}$.

Manuscrit reçu le 3 décembre 1957.

BIBLIOGRAPHIE

- [1] HARRAND (M.), *Ann. Phys.*, 1953, **8**, 126-168.
[2] HARRAND (M.), *J. Physique Rad.*, 1954, **15**, 328-330.

HARRAND (M.) et MARTIN (H.), *Bull. Soc. Chim. Fr.* 1956, 1383-1392.

EMPLOI DU POSITON POUR L'ÉTUDE DE LA STRUCTURE ÉLECTRONIQUE DES MÉTAUX ⁽¹⁾

Par E. DANIEL,

Physique des Solides, Paris.

I. Introduction. — Un positon introduit dans un métal s'y annihile, au bout d'un temps très court, avec un électron en émettant deux photons γ [1]. Cette annihilation devrait constituer un moyen d'explorer la structure électronique du métal, car elle fournit deux renseignements :

a) la densité électronique totale au positon, que l'on obtient en mesurant le temps de vie τ du positon : ce temps de vie est en effet, inversement proportionnel à la densité électronique ;

b) la répartition des électrons en quantités de mouvement, d'après les corrélations angulaires des rayons γ . Ceux-ci emportent la quantité de mouvement totale \vec{k} de l'électron et du positon qui

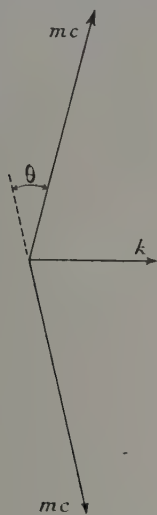


FIG. 1. — Corrélations angulaires des rayons γ .

les électrons de valence du métal, car les noyaux le repoussent fortement ;

2° sa quantité de mouvement est pratiquement nulle, donc les corrélations angulaires des rayons γ doivent se relier directement aux quantités de mouvement des électrons de valence du métal.

Ce sont les rayons γ qui transmettent à l'observateur les renseignements sur l'état du métal au moment de l'annihilation ; du fait de leur grande énergie, ils ne sont pratiquement pas affectés par leur trajet dans l'échantillon et la transmission est fidèle. Mais les observations expérimentales doivent être interprétées, et c'est la principale difficulté, en tenant compte de ce que l'instrument d'exploration, le positon, perturbe la structure électronique étudiée.

II. Interprétation des temps de vie mesurés.

Les expériences de Bell et Graham [3], par exemple, donnent pour tous les métaux à peu près le même temps de vie : $1,5 \cdot 10^{-10}$ sec. Ainsi, pour le sodium, l'aluminium et le cuivre respectivement les valeurs mesurées sont :

$1,5 \pm 0,6 \cdot 10^{-10}$ sec, $1,5 \pm 0,3 \cdot 10^{-10}$ sec et $1,2 \pm 0,5 \cdot 10^{-10}$ sec. En calculant le temps de vie d'après la densité moyenne des électrons de valence dans le métal, on obtient pour les métaux cités ci-dessus les valeurs respectives suivantes : $51 \cdot 10^{-10}$ sec, $7,5 \cdot 10^{-10}$ sec, et $16 \cdot 10^{-10}$ sec, très supérieures aux valeurs expérimentales et très différentes entre elles. Le fait que les temps de vie mesurés soient plus faibles indique que la densité locale, au positon, des électrons de valence est beaucoup plus forte que leur densité moyenne dans le métal. En effet le champ coulombien du positon polarise le gaz d'électrons métalliques. Le positon attire dans son voisinage une charge électronique qui lui fait écran à distance et voit ainsi une densité électronique beaucoup plus forte que la densité moyenne des électrons de valence. Nous avons calculé numériquement cet effet pour le cuivre avec un potentiel d'interaction électron-positon de la forme $-(1/r)e^{-ar}$ où le paramètre d'écran a est ajusté de façon que l'écran soit parfait à grande distance [4]. En supposant constante la fonction d'onde du positon dans le métal et en adoptant des masses réduites moitiées pour le système électron-positon, nous avons obtenu le temps de vie de $0,7 \cdot 10^{-10}$ sec, à la limite de l'accord avec la valeur expérimentale citée plus haut. Avec un modèle plus grossier, nous avons trouvé $2 \cdot 10^{-10}$ sec

s'annihilent (fig. 1). Ils seront donc détectés dans des directions faisant un petit angle : $\theta = \frac{k}{mc}$, la quantité de mouvement de chacun des photons γ étant mc .

Dans les expériences, le positon pénètre dans le métal avec une grande énergie, mais il y est violemment freiné et thermalisé dans un temps beaucoup plus court que son temps de vie [2]. Ceci a deux conséquences importantes :

1° le positon ne peut guère s'annihiler qu'avec

⁽¹⁾ Communication à la Journée annuelle de la Société française de Physique du 26 octobre 1957.

pour le sodium, $0,8 \cdot 10^{-10}$ sec pour l'aluminium et $1,1 \cdot 10^{-10}$ sec pour le cuivre. Toutes ces valeurs sont en accord raisonnable avec les valeurs expérimentales citées plus haut.

Nous avons d'autre part cherché à tenir compte du fait que la fonction d'onde du positon n'est pas constante dans le potentiel périodique du réseau. Nous avons calculé cette fonction d'onde par une méthode du type Wigner-Seitz avec le potentiel de Hartree pour le cuivre (fig. 2). Nous avons trouvé que le positon devait avoir une énergie de zéro de l'ordre de 5 eV, une masse effective voisine de l'unité, mais que cette fonction d'onde ne modifie pas beaucoup le temps de vie que nous avons calculé en la supposant constante. Cela tient au fait que, dans le développement de Fourier de cette fonction, le terme constant est très voisin de celui qu'on obtient en supposant le positon uniformément réparti.

III. Analyse en quantités de mouvement. — En ce qui concerne l'analyse en quantités de mouvement, les résultats pour le cuivre sont résumés par la figure 3 où l'on a porté en abscisses les quantités de mouvement des électrons jusqu'au niveau de Fermi k_F du métal et en ordonnées la densité électronique au positon et par unité de moments rapportée à ce qu'elle est pour un gaz d'électrons libres. La courbe (1) indique ce que donnerait un gaz d'électrons libres non perturbés ; la courbe (2) d'ordonnée à l'origine 130, ce que nous avons calculé pour une interaction coulombienne avec écran : on note une accumulation des électrons lents au positon ; enfin, la courbe (3) montre ce que nous avons obtenu en corrigeant le calcul précédent pour l'effet Auger sur le trou positif laissé dans la bande de valence par l'électron qui s'est annihilé. Les états correspondant à l'aire comprise entre les courbes (2) et (3) doivent se retrouver dans un pic très intense à l'origine, car l'effet Auger n'influe pas sur le temps de vie, qui ne dépend que de l'état initial du système.

Les résultats expérimentaux semblent en accord avec la partie droite de la courbe (3), mais leur imprécision pour les faibles valeurs de k rend actuellement toute comparaison impossible dans cette région. Les courbes expérimentales comportent en outre une queue pour $k > k_F$, dont l'analyse en série de Fourier de la fonction d'onde du positon ne suffit pas à rendre compte. Cette queue semble essentiellement due, dans le cuivre, aux électrons des couches $3d$, relativement volumineuses, celles-ci conservent une densité appréciable dans des régions où la probabilité de présence du positon est importante.

IV. Conclusion. — Il semble que la perturbation introduite avec le positon soit trop forte pour fournir beaucoup de précision sur la structure

électronique des métaux. Le fait même que les résultats expérimentaux ne dépendent pratiquement pas du métal tend à prouver que le phéno-

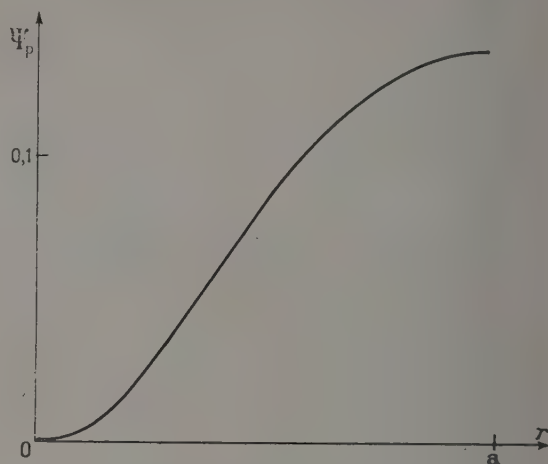


FIG. 2. — Fonction d'onde de l'état fondamental du positon dans l'approximation de Wigner-Seitz.

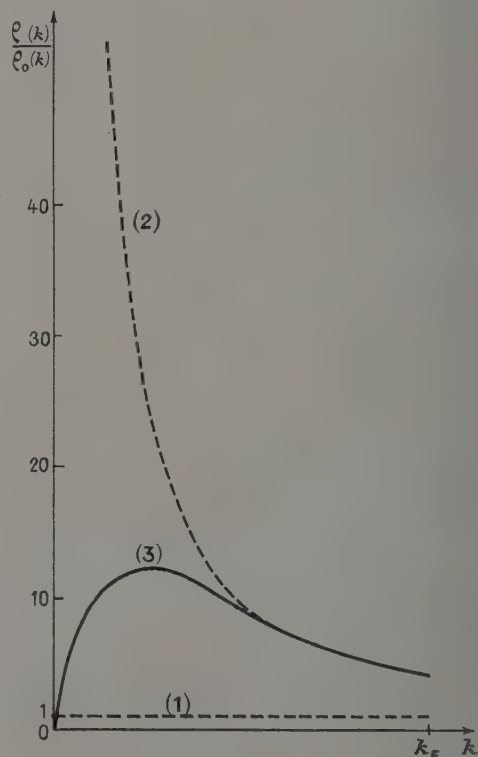


FIG. 3. — Analyse en quantités de mouvement de la densité électronique du positon :
(1) pour un gaz d'électrons libres non perturbé ;
(2) compte tenu de l'effet d'écran ;
(3) après correction pour l'effet Auger.

mène d'écran masque tout le reste. Par contre, nous avons là un excellent modèle pour l'étude de l'effet d'écran lui-même, étude que l'on peut penser étendre, par exemple, à l'analyse des spectres de

rayons X des solides. Des problèmes analogues se posent en résonance magnétique nucléaire, pour l'effet Knight des alliages.

Manuscrit reçu le 15 novembre 1957.

BIBLIOGRAPHIE

- [1] FERRELL (R. A.), *Rev. Mod. Phys.*, 1956, **28**, 308.
 [2] LEE WHITING (G. E.), *Phys. Rev.*, 1955, **97**, 1557.
 [3] BELL (R. E.) et GRAHAM (R. L.), *Phys. Rev.*, 1953, **90**,

644.
 [4] DANIEL (E.) et FRIEDEL (J.), *J. Phys. Chem. Solids* (sous presse).

LETTRE A LA RÉDACTION

RÉACTION $^{27}\text{Al} (p, \gamma) ^{28}\text{Si}$

Par P. MARIN, J. MOVCHET et J. POUPAUD,
 Laboratoire de Physique de l'E. N. S.

La réaction $^{27}\text{Al}(p, \gamma)^{28}\text{Si}$ qui a été étudiée jusqu'à 2,3 MeV, indique de nombreuses résonances de la section efficace. Ces résonances espacées seulement de quelques dizaines de KeV fournissent une série de points de repère pour l'étalonnage en tension des générateurs électrostatiques. Le domaine d'énergie jusqu'à 1,4 MeV a été exploré très soigneusement par Boström et al. [1]. Les résonances observées ont toutes des largeurs < 1 KeV. La région comprise entre 1,4 et 2,3 MeV a été explorée par Schoemaker et al. [2]. Dans cette région, les résonances indiquées sont beaucoup plus larges. Cependant l'épaisseur de la cible utilisée (6 KeV pour des protons de 3 MeV) laissait subsister des doutes sur la largeur effective de ces résonances et sur leur position. C'est pourquoi nous avons mesuré de nouveau les résonances de la section efficace de cette réaction, en essayant de nous placer dans de meilleures conditions.

Conditions de l'expérience. — L'accélérateur est du type Van de Graaff (H. V. E. C.) « Énergie maxima 2 MeV ». La tension est stabilisée par variation du

courant de corona à mieux que 0,1 %. Le courant magnétisant de l'électro-aimant de déviation du faisceau, traverse une résistance étalon et la d. d. p. produite aux bornes était mesurée à chaque instant par une méthode d'opposition. Les fluctuations du courant étaient inférieures à $0,5 \cdot 10^{-4}$ et la valeur du courant pouvait être ajustée à 10^{-4} près, soit une variation de 400 eV à 2 MeV.

Les cibles utilisées étaient formées par dépôt d'aluminium sur tantale, obtenu par vaporisation sous vide (ces cibles ont été fabriquées par la Service de préparation des cibles du C. E. A.). La pureté de l'aluminium ayant servi à l'évaporation était de 99,9 %. Nous avons utilisé des cibles d'épaisseur $10 \mu\text{g}/\text{cm}^2$, $20 \mu\text{g}/\text{cm}^2$ et $30 \mu\text{g}/\text{cm}^2$ respectivement dans des intervalles d'énergie, 1,38-1,82 MeV; 1,80-2,07 MeV; 2,04-2,12 MeV. Ces épaisseurs correspondent respectivement à une perte d'énergie de 1,2; 2,5; 3,4 keV pour l'énergie moyenne de chaque bande.

Le détecteur était un cristal NaI(Tl), diamètre 4 cm, hauteur 5 cm, suivi d'un photomultiplicateur Du Mont 6292. Les impulsions comptées correspondaient à une énergie supérieure ou égale à 1 MeV.

Résultats. — La courbe 1 montre les résultats obtenus ainsi que ceux de Schoemaker [1]. Nos résultats indiquent des largeurs de résonances bien infé-

rieures à celles qu'il a mesurées. Cependant l'épaisseur des cibles utilisées entre pour une grande part dans les largeurs observées. Comme nous ne disposions pas de moyens d'étalonner la tension d'accélération en valeur absolue, nous avons utilisé comme points de repère les résonances à 1 393, 1 806 et 2 051 KeV qui semblent avoir été mesurées avec une assez bonne précision par Schoemaker. Les valeurs des énergies des autres résonances ont été déduites par interpolation.

TABLEAU I

| 1 | 2 | 3 |
|-----------|---------------------------------------|----------------|
| 1 393 keV | (p- γ), (p-p) | 1 393 keV |
| 1 445 | | (p- α) |
| 1 461 | (p-p) | 1 461 |
| 1 508 | (p-p) | 1 507 |
| 1 523 | (p- γ), (p-p) | 1 524 |
| | | 1 570 |
| 1 583 | (p-p), (p- α) | 1 583 |
| 1 593 | (p- γ) | 1 592 |
| | | 1 652 |
| 1 670 | (p- γ), (p-p) | 1 667 |
| 1 688 | (p- γ) | 1 685 |
| 1 708 | (p-p) | 1 710 |
| 1 729 | (p- γ), (p-p), (p- α) | 1 728 |
| 1 753 | (p- γ), (p-p) | 1 751 |
| 1 806 | (p- γ), (p-p) | 1 806 |
| 1 910 | (p- γ), (p-p) | 1 914 |
| 1 973 | (p- γ), (p-p) | 1 971 |
| 2 039 | (p- γ), (p-p), (p- α) | 2 040 |
| 2 051 | (p- γ), (p-p) | 2 051 |
| 2 112 | (p- γ), (p-p) | 2 108 |

Résonance de la section efficace $^{27}\text{Al} + p$. — (1) Énergies des résonances (p- γ), (p-p) et (p- α), mesurées par Schoemaker, (2) types de désintégrations observés par Schoemaker, (3) énergies des résonances $^{27}\text{Al}(p-\gamma)^{28}\text{Si}$ que nous avons mesurées.

Dans le tableau I, la colonne 1 indique les énergies des résonances mesurées par Schoemaker, la colonne 2 les types de désintégrations qu'il a observées, la colonne 3 les énergies des résonances que nous avons mesurées. L'examen du tableau indique que 6 nouvelles résonances p- γ ont été mesurées, parmi lesquelles 4 coïncident avec des résonances p-p ou p- α mesurées par Schoemaker. (Aucune de ces résonances ne peut être attribuée à des réactions p- γ avec des impuretés des éléments carbone, azote, oxygène ou fluor.)

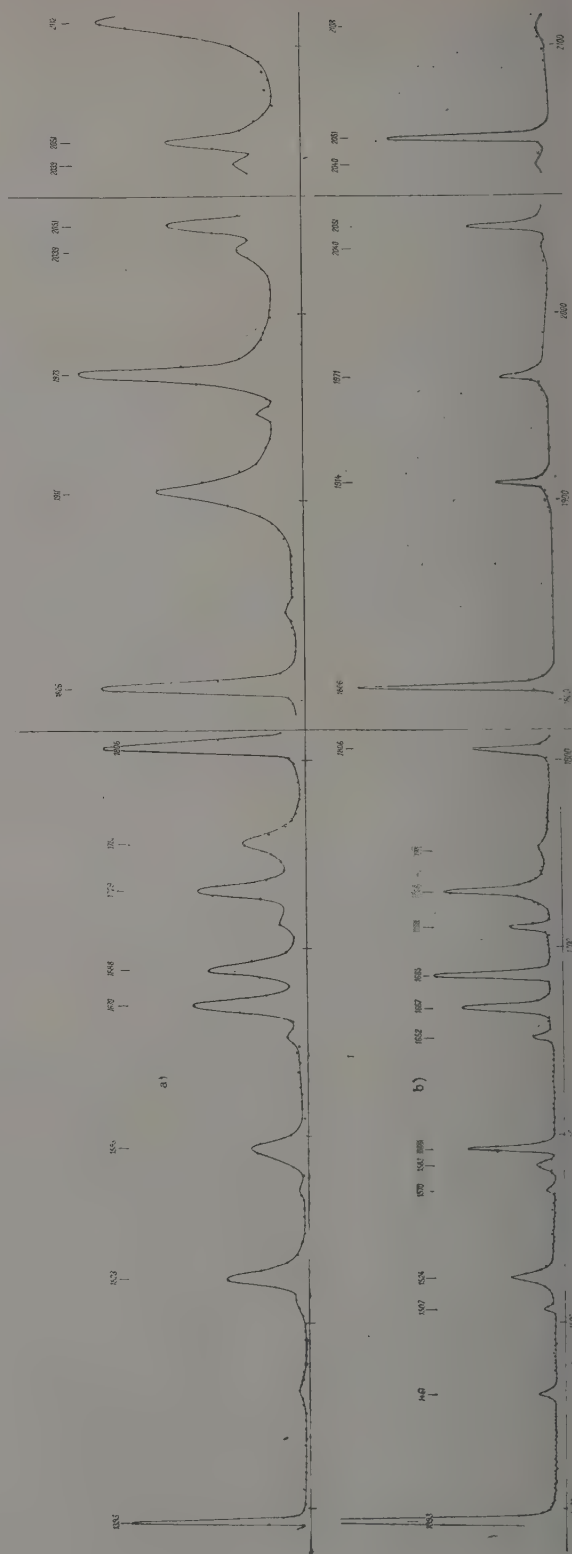
Lettre reçue le 29 novembre 1957.

BIBLIOGRAPHIE

- [1] BROSTRÖM, HUUS and KOCH, *Nature*, 1947, **160**, 498.
- [2] SCHÖEMAKER, FAULKNER, BOURICIUS, KAUFMANN and MOORNING, *Phys. Rev.*, 1951, **83**, 1011.

FIG. 1

a. Résultats de Schœmaker et al.
b. Nos mesures.



RÉSUMÉS DES ARTICLES

Propagation des neutrons dans un cristal parfait de dimensions finies, par André HERPIN, Centre d'Études Nucléaires de Saclay (*J. Physique Rad.*, 1957, 18, 649). — Cet article expose la théorie dynamique de la propagation des neutrons dans un cristal parfait. Dans le cas des rayons X, une telle théorie part des lois de l'électromagnétisme; dans le cas présent, le point de départ est l'interaction neutrons-noyau considérée comme ponctuelle. On en déduit les indices des différentes ondes qui peuvent se propager lorsque l'on se retrouve au voisinage d'une réflexion de Bragg. Nous avons également envisagé l'influence de l'agitation thermique.

Interactions des protons de 1 GeV avec les noyaux lourds et légers. I. Emploi d'émulsions photographiques diluées. Sections efficaces d'interaction. Modes de réaction, par G. PHILBERT, Laboratoire de Physique et Chimie Nucléaires Collège de France, Paris (*J. Physique Rad.*, 1957, 18, 656). — Une méthode statistique différentielle utilisant des émulsions nucléaires de compositions variées (émulsions Ilford G₅ normales et diluées) a été appliquée à l'étude des interactions des protons de 0,95 GeV avec les noyaux complexes Ag, Br et C, N, O.

Les propriétés essentielles des émulsions diluées, en particulier celles relatives à l'ionisation provoquée par des particules chargées, sont précisées. Une détermination des sections efficaces d'absorption des protons de 0,95 GeV par les noyaux légers (C, N, O) d'une part, lourds (Ag, Br) d'autre part confirme les résultats obtenus par les méthodes de transmission. Les sections efficaces de diffusion élastique et la répartition angulaire des protons diffusés sont en accord avec les valeurs prédites par la théorie de la diffraction.

La méthode statistique différentielle a permis également d'obtenir les sections efficaces partielles pour les divers modes de réaction (définis par le nombre de particules chargées émises) avec les noyaux lourds et avec les noyaux légers. Les résultats sont comparés avec ceux obtenus par le critère de la barrière de potentiel. La probabilité d'émission d'une particule α d'énergie inférieure à 9 MeV, dans les réactions des protons de 0,95-GeV avec les noyaux légers, ne dépend pas sensiblement du mode de réaction.

Des données expérimentales il ressort également que dans environ 75 % des cas la réaction avec un noyau léger aboutit à une désintégration totale de celui-ci en particules de masse inférieure ou égale à 4.

Enfin quelques indications sont données sur l'existence de liaisons simples de type proton-nucléon lié à un noyau léger.

Prévisions de la température de Curie pour différents types de réseaux, par G. FOURNET, École Supérieure de Physique et Chimie (*J. Physique Rad.*, 1957, 18, 663). — Nous montrons comment il est possible de déterminer la température de Curie pour différents types de réseaux à partir de la théorie des phénomènes coopératifs de Yvon. Les valeurs que nous avons déterminées semblent être les meilleures valeurs approchées qui aient été obtenues.

Interprétation des images dites « en lames de parquet » observées sur les images électroniques de cristaux d'oxyde molybdique, par Émile PERNOUX (*J. Physique Rad.*, 1957, 18, 672). — Les images électroniques dites « franges en lames de parquet » que nous avons observées avec des cristaux d'oxyde molybdique et décrites en détail dans notre thèse ont fait l'objet de nombreux travaux et controverses. Après avoir rappelé l'ensemble du problème, nous apportons ici de nouveaux documents qui conduisent à réaffirmer et à préciser notre précédente interprétation [2].

Diffusion des gaz au voisinage d'une bulle de cavitation, par P. SUQUET, Laboratoire de Physique de la Faculté de Médecine (*J. Physique Rad.*, 1957, 18, 676). — On étudie la diffusion des gaz vers la phase liquide au cours de la période de contraction d'une bulle de cavitation ultrasonore. L'hypothèse à la base de ce travail est, qu'en première approximation, la période du mouvement vibratoire est suffisamment courte pour que le centre géométrique de la bulle puisse être considéré comme fixe par rapport à un système d'axes lié au récipient.

Sur le spectre de freinage interne et les raies d'auto-ionisation des nuclides ^{90}Y et ^{32}P dans la région des basses énergies, par Gérard-André RENARD, Laboratoire de Physique et Chimie Nucléaires, Collège de France (*J. Physique Rad.*, 1957, 18, 681). — On a étudié, au compteur proportionnel, la nature et l'intensité de la radiation de freinage interne de ^{90}Y (de 2 à 40 keV environ) et l'intensité des radiations K et L qui suivent l'auto-ionisation. On décrit une méthode d'étalonnage de l'efficacité du compteur au moyen de rayons X. Les nouvelles valeurs de l'efficacité sont appliquées aux résultats obtenus précédemment avec ^{32}P . Il y a un désaccord entre la forme et l'intensité du spectre et la théorie, tandis que les résultats obtenus pour l'auto-ionisation s'accordent assez bien avec les calculs de Levinger. Mais, pour ces énergies, la méthode est assez incertaine.

Intensité des raies Raman des liaisons C-H en fonction de la conjugaison, par Mlles M. HARRAND et C. BAZIN, Laboratoire des Recherches Physiques, Faculté des Sciences Paris (*J. Physique Rad.*, 1957, 18, 687). — On a mesuré et comparé les intensités des raies Raman pour diverses substances avec ou sans liaisons non-saturées. Les molécules possédant des liaisons multiples, surtout si celles-ci sont conjuguées, fournissent des raies Raman intenses dans le domaine 0-1 800 cm^{-1} . Au contraire les raies des liaisons C-H vers 3 000 cm^{-1} , qui sont les plus intenses dans les spectres des molécules saturées, sont relativement très faibles dans les spectres des molécules à doubles liaisons conjuguées. On a tenté d'expliquer les faits au moyen des électrons π .

Emploi du positon pour l'étude de la structure électronique des métaux, par E. DANIEL, Physique des Solides, Paris (*J. Physique Rad.*, 1957, 18, 691). — L'étude des rayons γ émis par annihilation du positon peut fournir, en principe, des indications sur la structure électronique des métaux. Une étude théorique montre que la très forte interaction des électrons et du positon rend difficile l'analyse des résultats expérimentaux.

ABSTRACTS OF THE PAPERS

An interpretation of "feather-like patterns" observed on electronic pictures of MoO_3 crystals, by E. PERNOUX, Laboratoire d'Optique Électronique et de Physique du Métal, Lyon (*J. Physique Rad.*, 1957, 18, 672). — Many papers and controversies have been published on the "feather-like patterns" that we observed on molybdenum tri-oxide crystals and that we described in detail in our thesis. After summing up the essential of this problem, we will give some new informations, leading us to reaffirm and state precisely our first interpretation.

Diffusion of gases in the vicinity of a bubble of "cavitation", by P. SUQUET, Laboratoire de Physique de la Faculté de Médecine (*J. Physique Rad.*, 1957, 18, 676). — The diffusion of gases towards the liquid phase is observed during the period of contraction of an ultrasonic bubble. In a first approximation, the basic assumption is that the period of the vibratory motion is sufficiently short in order that geometric center of bubble may be considered as immovable with respect to an axial system related to the container.

Internal bremsstrahlung and autoionisation lines of ^{90}Y and ^{32}P in low energy range, by Gérard-André RENARD, Laboratoire de Physique et Chimie Nucléaires, Collège de France (*J. Physique Rad.*, 1957, 18, 681). — Measurements, by proportional counting, of shape and intensity of the internal Bremsstrahlung of ^{90}Y (from ~ 2 to ~ 40 keV), and intensity of K and L rays following autoionisation are reported. A method of calibration of the efficiency of the counter by X-rays is described. The new values of efficiency are applied to preceding results obtained with ^{32}P . There is a discrepancy between shape and intensity of the spectrum and theory, while data concerning autoionisation agree fairly well with Levinger's calculations. But for these energies the method is rather uncertain.

Raman lines intensity of C-H bonds as a function of conjugation, by Misses M. HARRAND and C. BAZIN, Laboratoire des Recherches Physiques, Faculté des Sciences, Paris (*J. Physique Rad.*, 1957, 18, 687). — The authors have measured and compared the intensities of Raman lines for several compounds with and without unsaturated bonds. Molecules having multiple bonds, especially if they are conjugated, give intense Raman lines in the range $0.1\text{--}800\text{ cm}^{-1}$. On the contrary the lines of C-H bonds about $3\,000\text{ cm}^{-1}$, which are the most intense in the Raman spectrum of saturated molecules, are relatively very weak in the spectrum of molecules having conjugated double bonds. An attempt is made to explain the facts by means of π electrons.

On the use of the positron for studying the electronic structure of metals, by E. DANIEL (*J. Physique Rad.*, 1957, 18, 691). — Information about the electronic structure of metals may be obtained in principle from the γ -rays emitted by positron annihilation. A theoretical study shows that the very strong electron-positron interaction makes it difficult to analyse the experimental results.

Neutron propagation in perfect crystals of finite sizes, by A. HERPIN, Centre d'études Nucléaires de Saclay (*J. Phys. Rad.*, 1957, 18, 649). — In this paper the dynamical theory of neutron propagation in a perfect crystal is given. For X Rays this theory departs from electromagnetic laws, but here, for neutrons, the starting point is the neutron-nucleus interaction, considered as a point. Refraction indices are deduced for all waves which are allowed to propagate close to a Bragg reflexion. The influence of thermal motion has been taken into account.

Interaction between 1 GeV protons and heavy and light nuclei, by G. PHILBERT, Laboratoire de Physique et Chimie Nucléaire, Collège de France (*J. Physique Rad.*, 1957, 18, 656). — Using nuclear emulsions of different composition (type Ilford G_5 normal and G_5 diluted) a differential statistical method has been applied to the study of the interaction of protons of 0.95 GeV with complex nuclei Ag, Br and C, N, O.

The characteristic properties of diluted emulsions, in particular those concerning the ionisation caused by charged particles, have been specified. The determination of the cross-sections of absorption for protons of 0.95 GeV by light nuclei (C, N, O) and heavy nuclei (Ag, Br) confirms the results obtained by the methods of transmission. The values obtained for the cross-section of elastic scattering and the angular distribution of scattered protons are in agreement with the values predicted by the theory of diffraction.

Further, by means of the differential statistical method, the partial cross-section for the different types of reaction (defined by the number of charged particles emitted) with heavy and light nuclei has also been found. The results are compared with those obtained by the criterion of the potential barrier. The probability for an α particle of energy below 9 MeV to be emitted in the reaction of protons of 0.95 MeV with light nuclei does not depend noticeably on the type of reaction.

From the experimental data it may also be seen that in 75 % of the cases the reaction with a light nucleus produces a complete disintegration of the latter into particles of mass equal or smaller than 4.

Finally some indications are given on the existence of single collisions of type proton-nucleon bound with light nuclei.

Curie temperature prediction for several lattice species, by G. FOURNET, École Supérieure de Physique et Chimie (*J. Physique Rad.*, 1957, 18, 663). — We point out how it is possible to find the Curie temperature for several lattice species from the cooperative phenomena theory of Yvon. The values that we found seem to be the best approximate values that have been obtained.

SOCIÉTÉ FRANÇAISE DE PHYSIQUE

Reconnue comme Établissement d'utilité publique par décret du 15 janvier 1881.

44, RUE DE RENNES, PARIS (VI^e)

COMPTES RENDUS DES SÉANCES DE LA SOCIÉTÉ FRANÇAISE DE PHYSIQUE

SÉANCES DES 4 ET 5 MAI 1956

(ORGANISÉES EN COMMUN
AVEC LA FACULTÉ DES SCIENCES DE PARIS)

L'étude des spectres atomiques complexes ;

par M. le Dr P. F. A. KLINKENBERG,

Secrétaire de la Commission Mixte de Spectroscopie
(Unions Internationales de Physique et d'Astronomie),
Laboratoire Zeeman, Amsterdam.

SÉANCE DU 18 MAI 1956

Présidence de M. E. BAUER.

M. le PRÉSIDENT présente les demandes d'admission suivantes sur lesquelles il est immédiatement statué. En conséquence sont admis comme Membres titulaires de la Société française de Physique :

MM. ARNAL (Robert), Docteur ès Sciences, Chargé de Recherches au Centre National de la Recherche Scientifique, 15, rue Daubenton, Paris (5^e), présenté par MM. Grivet et Bertein.

BLOCH (Claude, Marc, Maurice), Ingénieur au Commissariat à l'Énergie Atomique, 56, Cité de la Plaine, Clamart (Seine), présenté par MM. Messiah et Herpin.

BOULEGUE (Georges), Ancien Élève de l'École Polytechnique, Licencié ès Sciences, Ingénieur, 9, rue de Varize, Paris (16^e), présenté par MM. Magnan et Chanson.

CABANNES (François), Docteur ès Sciences, Chargé de Recherches au Centre National de la Recherche Scientifique, Laboratoire des Échanges Thermiques de Bellevue, 147, avenue J.-B.-Léon, Clamart (Seine), présenté par MM. Ribaud et Lucas.

CABOZ (Régis), Licencié ès Sciences, Professeur de Physique et Chimie, Collège d'Agadir (Maroc), présenté par MM. Rouard et Bousquet.

CASTAING (Raymond), Ancien Élève de l'École Normale Supérieure, Agrégé, Docteur ès Sciences physiques, Maître de Conférences, 20, rue Saint-Léon, Toulouse (Haute-Garonne), présenté par MM. A. Guinier et Grivet.

GENNES (Pierre G.), Ancien élève de l'École Normale Supérieure, Ingénieur au Centre d'Études Nucléaires de Saclay, 1, rue du Mail, Paris (2^e), présenté par MM. Herpin et Messiah.

LONCHAMP (Jean-Pierre), Maître de Conférences, 1, rue Raulin, Lyon (7^e), présenté par MM. Thibaud et Moussa.

MEYER (Philippe), Docteur ès Sciences de l'Université de Paris, M. A. de l'Université de Harvard (U. S. A.), 5, quai aux Fleurs, Paris (4^e), présenté par M. M. Lévy et M^{me} Benoist.

OMNES (Roland), Agrégé de Physique, Ingénieur au Centre d'Études Nucléaires de Saclay, Boîte postale n° 2, Gif-sur-Yvette (Seine-et-Oise), présenté par MM. Messiah et Herpin.

QUIDORT (Jacques), Agent technique au Commissariat à l'Énergie Atomique, 42, avenue des Gobelins, Paris (13^e), présenté par M. Ballini et M^{me} Papineau.

SAINT-JAMES (Daniel), Ingénieur E. S. P. C. I., Centre d'Études Nucléaires de Saclay, 141, Cité de la Plaine, Petit-Clamart (Seine), présenté par MM. Herpin et Messiah.

SARAZIN (Armand), Ingénieur E. N. S. E. M., Docteur ès Sciences physiques, Villa Harouimi, rue B. Crêt d'Hydra, Birmandreïs, Alger, présenté par MM. Blanc-Lapierre et Perrot.

SEIDEN (Joseph), Docteur ès Sciences physiques, Chargé de Recherches au Centre National de la Recherche Scientifique, 4, avenue Porte-Ménilmontant, Paris (20^e), présenté par MM. Grivet et Lurçat.

SIMON (Paul, René), Licencié ès Sciences, Stagiaire de Recherches au Centre National de la Recherche Scientifique, 39, rue Demouilles, Toulouse (Haute-Garonne), présenté par MM. Fert et Bayet.

TACUSSEL (Jacques), Ingénieur E. S. C. I. L., Licencié ès Sciences, 14, rue du Docteur-Mouisset, Lyon, présenté par MM. Déjardin et Janin.

TOITOT (Michel), Ingénieur, 2, rue Saint-Laurent, Grenoble (Isère), présenté par MM. Néel et J.-J. Barbier.

Les Communications suivantes ont été présentées :

1. — Application des neutrons à la physique du solide ;

par M. A. HERPIN,

Centre d'Études Nucléaires de Saclay.

Les neutrons lents possèdent une longueur d'onde de l'ordre des distances interatomiques, donc sont susceptibles, comme les rayons X, de permettre la détermination des structures spatiales des édifices molé-

culaires et, en particulier, des solides. De plus leur énergie, de quelques centièmes d'électronvolt correspond à l'écartement des premiers niveaux d'énergie d'un solide, d'où la possibilité de les utiliser à la recherche de ces niveaux, l'énergie transférée du solide aux neutrons étant de l'ordre de l'énergie de ces derniers. On peut donc réaliser, avec des neutrons lents, des expériences apportant simultanément les mêmes renseignements que les rayons X et l'infrarouge. En particulier les neutrons sont capables de

fournir le spectre des corrélations spatiotemporelles qui sont particulièrement importantes au voisinage des points de transition du second ordre ou, dans un liquide, au voisinage du point critique. Par ailleurs, les neutrons sont doués d'un moment magnétique qui leur permet d'interagir avec les porteurs contenus dans une substance magnétique. Nous avons rassemblé, dans le tableau suivant, les différentes applications des neutrons en physique du solide.

| DIFFUSION ÉLASTIQUE | | DIFFUSION INÉLASTIQUE | |
|---|---|---|--|
| Structure de la matière | | Mouvements atomiques | |
| ordonnée | désordonnée | cohérents | incohérents |
| <p><i>neutrocristallographie</i></p> <p>↓</p> <p>ordre dans les alliages</p> <p>↓</p> <p>localisation des atomes légers</p> <p>↓</p> <p>différenciation des atomes isoélectriques</p> | <p>étude des liquides et des verres</p> <p>↓</p> <p>facteurs de forme atomique = 1</p> <p>↓</p> <p>corrélations spatiales</p> | <p>agitation thermique</p> <p>↓</p> <p>spectre de vibration</p> <p>dispersion des ondes d'agitation thermique</p> | <p>diffusion par les fluides</p> <p>opalescence critique</p> <p>↓</p> <p>points critiques et transformations de 2^e ordre</p> <p>↓</p> <p>corrélations spatiotemporelles</p> |
| <p>Diffusion nucléaire</p> | | | |
| <p>ferromagnétiques antiferromagnétiques ferrimagnétiques</p> <p>↓</p> <p>localisation et identification des porteurs</p> | <p>diffusion paramagnétique</p> <p>↓</p> <p>structure des couches magnétiques</p> | <p>magnétisme à basse température</p> <p>↓</p> <p>spectre des ondes de spin</p> | <p>opalescence ferromagnétique</p> <p>↓</p> <p>fluctuation au voisinage du point de Curie</p> |
| Diffusion magnétique | | | |

2. — Spectromètre à neutrons pour l'analyse cristalline ;

par MM. C. BRETON, P. HUBERT et P. MÉRIEL.

L'appareil est monté devant un canal de la pile de Saclay. La section du canal est $2 \times 8 \text{ cm}^2$ et il en émerge un faisceau de neutrons polycinétique dont le maximum d'intensité se situe vers 0,025 eV. Le flux dans le faisceau est de 7.10^8 neutrons par seconde pour une puissance de 2 000 kW.

A la sortie du canal se trouve (fig. 1) le goniomètre portant le cristal monochromateur (LiF, Cu, Pb). Celui-ci est taillé suivant un plan (111) qui réfléchit sélectivement une longueur d'onde λ sous un angle θ tel que

$$\lambda = 2d \sin \theta,$$

$\theta = 12^\circ 30'$ par construction ; on change le cristal pour changer la longueur d'onde.

Le monochromateur est entouré d'un blindage (B_2O_3 , paraffine) qui permet l'arrêt du faisceau direct et la diminution du bruit de fond. Le blindage est percé d'un canal incliné à 25° sur le faisceau direct.

A la sortie du canal, on a un faisceau mono-

chromatique possédant les caractéristiques suivantes :

| Mono-chromateur | λ (au max.) | Propriétés |
|-----------------|---------------------|--|
| LiF (111) | 1,04 Å | Importante diminution du second ordre. Pouvoir réflecteur assez faible : 200 c/m sur raie 200 NaCl. |
| Cu (111) | 0,92 Å | Second ordre 1,4 %. Pouvoir réflecteur : 350 c/m sur raie 200 NaCl. |
| Pb (111) | 1,25 Å | Second ordre 3 %. Pouvoir réflecteur : 620 c/m sur raie 200 NaCl. |

Un second goniomètre porte l'échantillon soit monocristallin, soit en poudre. Les neutrons diffractés sont reçus dans un compteur à BF_3 suivi d'une chaîne électronique (préamplificateur, amplificateur, discriminateur, intégrateur et enregistreur).

Le compteur blindé est supporté par un chariot mobile autour d'un axe vertical confondu avec celui du goniomètre porte-échantillon. Un moteur synchrone entraîne le goniomètre dont la position angulaire est

repérée avec précision par une couronne graduée et un vernier. Le chariot tourne automatiquement de l'angle double, à l'aide d'un asservissement constitué par une cellule photoélectrique différentielle [1] recevant l'image d'une fente fine, après réflexion sur un miroir plan vertical solidaire du goniomètre. La cellule envoie des signaux d'avance ou de retard dans un dispositif commandant le moteur d'entraînement.

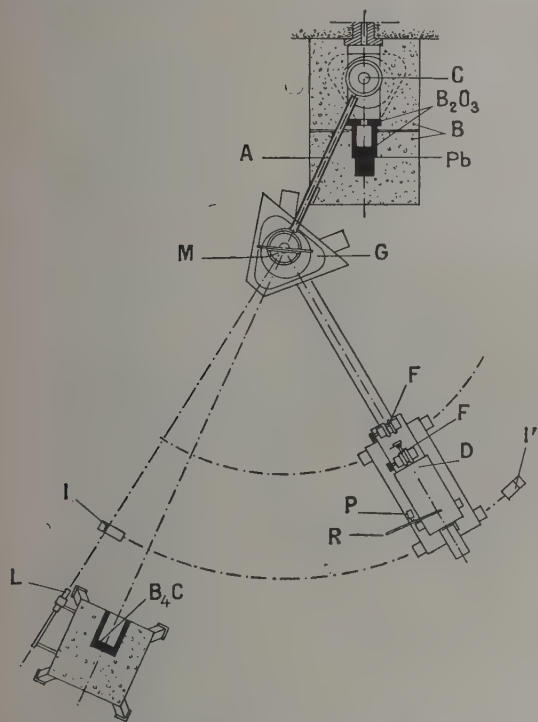


FIG. 1. — C, cristal monochromateur (LiF, Cu ou Pb) ; B, blindage de paraffine boratée ; A, coulisse de cadmium gainée d'acier ; G, goniomètre porte-échantillon ; M, miroir plan ; F, fentes en B_4C ; D, détecteur ; P, cellule photoélectrique ; R, règle graduée ; I, inverseur de début de course ; I', inverseur de fin de course ; L, lunette de projection.

En réglant la largeur de l'image et la sensibilité des relais, on peut obtenir une précision de $1'$.

La valeur du balayage angulaire peut être réglée par des centres inverseurs. En position parallèle, on peut balayer 60° .

Quatre vitesses sont possibles pour le goniomètre : 1° en 1 h, 2° en 1 h, 4° en 1 h, 8° en 1 h.

Sur l'enregistrement, le repérage des angles se fait par des tops espacés de $30''$. Ils sont obtenus à partir d'une cellule photoélectrique envoyant un signal quand une fente d'un disque permet son éclairage. Le disque est calé sur un arbre faisant un tour par degré de rotation du goniomètre. Il possède deux fentes. Au début d'un enregistrement, on note l'angle d'un top et l'échelle se trouve graduée.

Le premier réglage consiste à aligner la coulisse, les axes des goniomètres et le compteur à BF_3 , puis à

mettre ces éléments au même niveau. Ce réglage se fait au cathétomètre.

Le monochromateur est d'abord réglé géométriquement à l'équerre, puis on améliore sa position en cherchant un optimum de la raie réfléchie.

Le maximum de cette dernière est le zéro de l'appareil. Il est repéré angulairement sur le goniomètre quand le spot est sur la plage neutre de la cellule photoélectrique.

Un moniteur constitué par une chambre à fission donne un taux de comptage variant comme la puissance de la pile. Il est enregistré et permet de faire des corrections éventuelles.

L'amélioration du pouvoir séparateur a pu être obtenue en plaçant des fentes anti-divergentes multiples entre l'échantillon et le compteur. Pratiquement, on observe une bonne amélioration pour des coulisses à trois fentes, mais on n'a pas intérêt à trop augmenter le nombre de fentes.

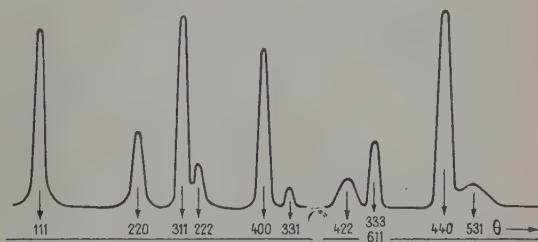


FIG. 2.

Poudre étudiée : magnétite de Madagascar (fig. 2).

Alliage fer-chrome : on pensait avoir affaire à un échantillon ordonné, mais on n'observe pas les raies correspondantes.

Mn_2As : apparition de raies au refroidissement.

Liquides : CCl_4 , $TiCl_4$.

[1] THULIN (A.), Sur la mesure du déplacement d'un spot lumineux, *C. R. Acad. Sc.*, 1954, **238**, 1210.

3. — Applications de la diffusion inélastique des neutrons à quelques problèmes de physique du solide ;

par M^{lle} M. GALULA et M. B. JACROT,
Centre d'Études Nucléaires de Saclay.

Un programme d'ensemble a été entrepris à Saclay pour l'utilisation de la diffusion inélastique des neutrons suivant les idées exposées dans la Communication de M. Herpin.

Des travaux préliminaires [1] ont permis la mise au point de la technique. Un faisceau de neutrons très lents ($\lambda \simeq 5 \text{ \AA}$), sélectionnés mécaniquement, est diffusé et l'énergie des neutrons après diffusion est étudiée par mesure de leur vitesse.

Nous ne parlerons ici que de deux travaux, l'un relatif au spectre de vibration du vanadium, l'autre à la diffusion par la magnétite.

a) *Spectre des vibrations du vanadium.* — Le vanadium diffuse les neutrons de façon purement inco-

hérente. Placzek et van Hove [2] ont montré que le spectre des neutrons diffusés permet la mesure du spectre $g(\omega)$ des fréquences de vibration du vanadium. La correspondance est immédiate si l'on ne considère que la diffusion avec échange d'un seul phonon.

Une telle analyse a été effectuée, donnant les résultats de la figure 1. On constate malheureusement que

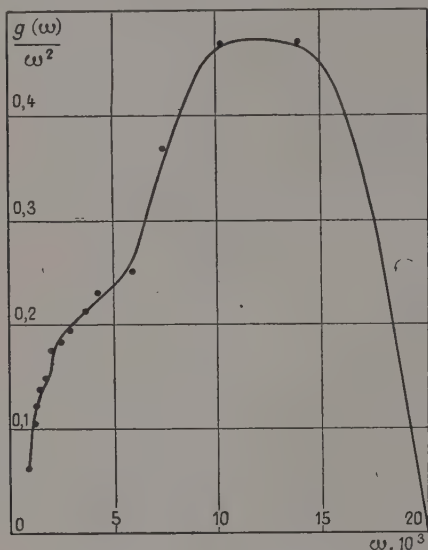


FIG. 1. — Spectre des fréquences du vanadium déduit de la diffusion des neutrons à 90°.

le spectre s'étend environ deux fois plus loin que la coupure de Debye. Ce résultat est expliqué par Herpin et Saint-James qui ont montré que les processus à plusieurs phonons donnent une forte section efficace pour des gains d'énergie allant jusqu'au double de la température de Debye. L'analyse simpliste qui ne considère que les processus à un seul phonon est donc incorrecte. Seuls les résultats pour les basses fréquences ont une signification. Des mesures assez semblables ont été faites par Brockhouse [3] avec des conclusions voisines.

b) *Diffusion par la magnétite.* — Le spectre des neutrons diffusés à 90° par Fe_3O_4 polycristallin a, pour les forts gains d'énergie des neutrons, une intensité qui croît avec la température.

L'intensité des neutrons ayant gagné une énergie ΔE varie en général linéairement avec la température. Mais au point de Curie apparaît un accroissement de la diffusion pour les gains d'énergie autour de $3 \cdot 10^{-2}$ eV. La figure 2 représente l'intensité de cet accroissement en fonction du gain d'énergie.

L'origine de ce phénomène n'est pas claire. Il s'agit sans doute de diffusion magnéto-vibrationnelle, quoique, dans ce dernier cas, on attende un spectre analogue au spectre des phonons, ce qui ne semble pas être le cas.

Ces deux expériences ne représentent qu'une partie du travail à Saclay dans ce domaine. Signalons aussi la

diffusion par un monocristal de cuivre et la diffusion par le fer.

Des travaux de diffusion inélastique sont également en cours à Brookhaven et à Chalk-River.

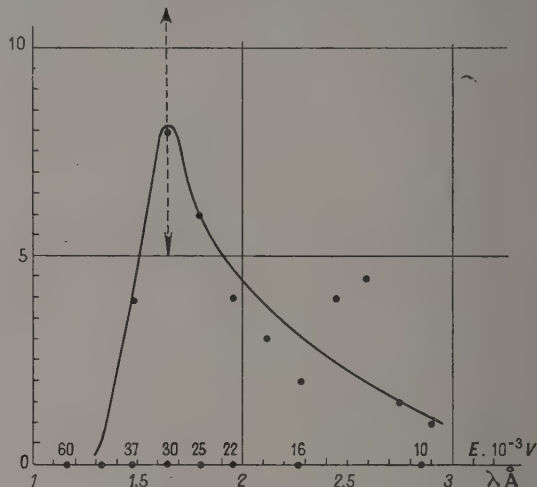


FIG. 2. — Diffusion par la magnétite au point de Curie. En ordonnée, intensité en unités arbitraires.

[1] JACROT (B.), *C. R. Acad. Sc.*, 1955, **240**, 745.

[2] PLACZEK (G.) et VAN HOVE (L.), *Phys. Rev.*, 1954, **93**, 1207.

[3] Communication privée.

SECTION D'OPTIQUE

SÉANCE DU 11 MAI 1956

1. — Facteur de polarisation du résidu sous-marin lumière du jour [1], [2] ;

par M. A. IVANOFF,

École Supérieure de Physique et de Chimie Industrielles,
Muséum National d'Histoire Naturelle.

Le facteur de polarisation fut déterminé en mesurant par voie photographique le contraste des franges fournies par un polariscopes de Savart. Par suite de la nécessité de repérer les directions de visée par rapport à celle du soleil, l'appareil de mesure, muni d'une boussole et de deux niveaux à bulle croisés, fut manié en scaphandre autonome. Les mesures furent effectuées à 20 m de profondeur (afin d'atténuer l'intervention possible de la polarisation du ciel), au mois de septembre 1955, aux environs de midi, dans la rade de Villefranche-sur-mer, par ciel peu ou pas nuageux, temps calme, limpidité des eaux normale pour nos côtes méditerranéennes et pour la belle saison. Le tableau ci-après (où l'on appelle facteur de polarisation le rapport de l'intensité de la lumière polarisée à

| Direction de visée | Facteur de polarisation | Orientation du champ électrique prédominant |
|--|-------------------------|---|
| — | — | — |
| A la verticale vers le haut | 0,06 et 0,12 | |
| A 45° vers le haut | 0,16 | |
| A l'horizontale face au soleil | 0,15, 0,16 et 0,18 | normal au plan vertical passant par la direction de visée |
| A l'horizontale dos au soleil | 0,26 et 0,32 | d° |
| A 45° vers le bas et face au soleil | 0,32 | d° |
| A l'horizontale, dans une direction normale à celle du soleil... | 0,34 | |

l'intensité totale) traduit les premiers résultats obtenus. L'erreur relative est vraisemblablement inférieure à 25 %.

Ces premiers résultats montrent que le facteur de polarisation du résidu sous-marin de lumière du jour peut être assez important, tout au moins dans les eaux limpides. L'effet de la polarisation du ciel, celui de la diffusion moléculaire et celui de la réfraction à la surface de la mer étant probablement faibles, il semblerait que c'est la diffusion par les particules en suspension qui soit la principale cause du phénomène.

- [1] IVANOFF (A.), Au sujet du facteur de polarisation de la lumière solaire dans la mer, *C. R. Acad. Sc.*, 1955, 241, 1809.
- [2] IVANOFF (A.), Facteur de polarisation du résidu sous-marin de lumière du jour, *Ann. Géophys.* 1956, 12, 45.

2. — Compte rendu du Congrès de la Commission Internationale d'Optique à Boston et du Congrès de l'Optical Society of America à Philadelphie ;

par MM. A. ARNULF, A. MARÉCHAL, M. FRANÇON, P. GIACOMO et F. ABELÈS.

I. COMPTE RENDU DE M. A. ARNULF. — La Commission Internationale d'Optique tient ses assises tous les trois ans, en un lieu différent. Elle a été invitée en 1956 à se réunir à Cambridge (U. S. A.) dans les locaux du Massachusetts Institute of Technology.

Les cinq sujets suivants avaient été mis à l'ordre du jour du congrès : optique nucléaire, couches minces, optique météorologique, optique physique théorique, microscopie et appareils de mesure utilisant le contraste de phase et les interférences.

Les séances ne comportaient pas de communications, comme il est d'usage habituellement, mais uniquement des conférences suivies de discussions faites par des spécialistes des divers sujets.

Sept participants français avaient été invités ; ils ont assisté ensuite à la réunion de printemps de l'Optical Society of America, puis se sont dispersés pour des visites à divers laboratoires ou usines.

Voici, très brièvement résumé, l'essentiel de ce que j'ai vu en optique météorologique et optique physiologique.

La session d'optique météorologique de la C. I. O. était présidée par W. E. K. Middleton et comportait trois conférences.

Z. Sekera a parlé de « La diffusion de la lumière dans l'atmosphère et la polarisation de la lumière du ciel ».

Il s'agissait du calcul de la diffusion, par une atmosphère satisfaisant à la loi de Rayleigh, en utilisant la méthode de Chandrasekhar, qui permet de faire intervenir tous les ordres de la diffusion. Le contrôle expérimental a comporté un grand nombre de mesures et les écarts avec les valeurs théoriques sont en cours d'explication ; il faut pour cela faire intervenir dans le calcul un certain degré de turbidité de l'atmosphère.

S. Q. Duntley a exposé les premiers résultats d'une étude, effectuée avec des moyens très puissants, sur la transmission atmosphérique à des altitudes élevées ; il a pu mettre en évidence de véritables bandes brumeuses, extrêmement ténues, à des altitudes dépassant 6 000 m.

A. Arnulf, J. Bricart, E. Curé et C. Véret ont présenté les premiers résultats d'un travail sur la transmission par les brumes et les brouillards, dans le domaine spectral de 0,35 à 10 μ , qui feront l'objet d'une prochaine communication à la Société française de Physique.

Les réunions de l'Optical Society of America ont montré une fois de plus l'intérêt qu'on porte aux U. S. A. aux travaux sur l'œil et la vision. Il y a eu six conférences et dix communications sur l'optique physiologique, trois conférences et treize communications sur la colorimétrie.

Les conférences ont porté sur divers sujets à l'ordre du jour tels que :

Effet sur la perception de l'immobilisation des images sur la rétine, par R. W. Ditchburn ;

Réponse de l'œil aux variations spatiales de la luminance, par G. Toraldo di Francia ;

Étude des unités réceptrices de la rétine, par J. M. Otero ;

Mécanisme de la vision des cônes consistant, en fait, en une étude physicochimique des substances sensibles des cônes, par G. Wald ;

Mesures spectrophotométriques directes, sur l'œil vivant, des modifications des substances photosensibles de la rétine sous l'influence de la lumière, par R. Rushton.

On m'avait demandé de présenter une étude de l'effet produit sur l'acuité visuelle par de petites variations de puissance des verres de lunetterie.

W. D. Wright a parlé des relations entre les mesures et l'aspect des couleurs, MacAdam, d'une part, Judd et Kenneth, d'autre part, des données colorimétriques.

Il ne m'est pas possible de donner même les titres des communications qui furent fort intéressantes et qui ont porté sur l'acuité, l'adaptation, l'imagerie oculaire, la localisation des objets dans l'espace, plusieurs études des phénomènes rétinienens par les enregistrements électriques, etc.

Je terminerai en donnant quelques indications sur un court séjour à l'École d'Optométrie de l'Université de l'État d'Ohio, à Columbus, qui m'a permis de voir travailler ensemble, avec une grande efficacité, pour des tâches d'enseignement et de recherches, des personnes de formation et de disciplines très différentes. Sous la direction du Dr Fry, directeur de cette école, travaillent des physiciens, des optométristes, des médecins, des ingénieurs, des biologistes. En même temps que la formation des optométristes (qui dure cinq ans) ils entreprennent des recherches sur des sujets très variés, tels que les relations entre la convergence et l'accommodation, la myopie nocturne, les réponses électriques de la rétine, etc. En outre, un laboratoire expérimental étudie toutes les questions de vision qui peuvent se présenter dans l'art de l'ingénieur et dans les diverses activités humaines. Le fonctionnement de ces laboratoires est extrêmement actif et porte actuellement surtout sur plusieurs recherches d'intérêt industriel.

II. COMPTE RENDU DE M. A. MARÉCHAL. — Des précisions ont été données sur les deux questions suivantes :

a) *Développement des techniques de calcul automatique des instruments.* Dans plusieurs centres de calcul (Boston, Washington, American Optical Company, etc.) on dispose maintenant de machines très rapides et munies de nombreux organes de mémoire. Ceci rend possible le calcul quasi automatique des instruments ; la machine calcule pour chaque combinaison proposée une « fonction de mérite » qui synthétise les performances probables, déduites du résultat du tracé de rayons convenablement choisis. Des discussions ont eu lieu sur le choix d'une fonction de mérite, qui tienne compte non seulement des performances optiques, mais aussi de la facilité de construction, du prix estimé, etc. Le rôle du calculateur se réduit à la recherche d'un maximum (ou minimum) d'une fonction par rapport aux divers paramètres de construction.

b) *Réalisations dans le domaine infrarouge.*

1° *Camera évaporographique (Eva) de Baird.* Quelques précisions sont fournies sur la constitution de la camera, la fabrication des membranes, le noircissement et la sensibilité obtenue. Cet instrument est caractérisé par un temps de réponse encore relativement long (5 à 10 s).

2° *Interféromètre pour infrarouge lointain.* On décrit un appareil interférentiel constitué par des lamelles d'égale épaisseur groupées en deux blocs (lamelles paires et lamelles impaires) ; lorsqu'on déplace l'un des blocs par rapport à l'autre on fait varier la différence de marche entre les vibrations réfléchies sur les lamelles paires et impaires. On reçoit le rayonnement sur une cellule de Golay et on enregistre. Une radiation monochromatique fournit un enregistrement sinusoïdal et l'analyse harmonique de l'enregistrement fournit la répartition spectrale du flux lumineux.

III. COMPTE RENDU DE M. M. FRANÇON. — M. Dyson a présenté un interféromètre pour microscope. C'est un système stigmatique qui se place entre la préparation et l'objectif. Il a présenté une méthode par réplique

permettant d'observer par interférométrie des surfaces grossières.

M. Menzel a présenté des tests pour contraste de phase.

M. Ingelstam a présenté un oculaire interférentiel analogue au mien mais avec dédoublement total. Il a adjoint au système un dispositif ingénieux pour faire des mesures (compensateur isotrope).

M. van Heel a utilisé le polariscope de Savart pour faire des mesures de couches minces par interférences en lumière polarisée.

IV. COMPTE RENDU DE M. P. GIACOMO. — Une journée du Congrès de Cambridge était consacrée aux couches minces, avec une dizaine de communications, dont trois présentées par des Français. Les discussions et visites de laboratoires, universitaires ou industriels, nous ont montré que ce sujet suscite un intérêt soutenu suivi de réalisations pratiques.

Les calculs à la machine (I B M) y apportent une importante contribution. Citons la méthode de calcul développée à l'American Optical Company : partant d'un ensemble arbitraire de couches, d'indice donné, on calcule par itération l'épaisseur optimum à donner à chaque couche pour obtenir une propriété donnée. Utilisée pour minimiser le pouvoir réflecteur d'un antireflet complexe, pour une longueur d'onde ou dans un intervalle de longueurs d'onde donné, cette méthode montre que l'approximation élémentaire « à deux rayons » fournit déjà des résultats très corrects.

Une communication, malheureusement très brève, de P. H. Berning suggérerait une méthode générale de calcul pour les empilements de couches quelconques, absorbantes ou non. Elle est basée sur le calcul par récurrence de $T/(1 - R)$ (T et R , transmission et pouvoir réflecteur de l'ensemble) mis sous forme d'un produit $\prod_n (P_n/P_{n-1})$. Cette méthode l'a conduit au calcul et à la réalisation de filtres à couche médiane d'argent, doués de propriétés intéressantes (bande large avec un contraste élevé).

Les applications des couches minces semblent en extension : antireflets simples ou multiples, avec une mention spéciale pour leur application dans l'infrarouge (filtres et lentilles en germanium, où l'antireflet apporte un gain de luminosité de l'ordre de 30 %), filtres interférentiels, protection des miroirs par SiO_2 , miroirs « froids » ne réfléchissant pas l'infrarouge, miroirs pour l'ultraviolet.

Ces applications sont liées à l'utilisation de substances telles que Ge, Te, NaCl, KBr, CeO_2 , BiO, PbCl_2 , chiolithe, qui ont fait l'objet de diverses discussions ; pour l'ultraviolet rappelons l'utilisation de RbI (protégé par la paraffine) et aussi les résultats de G. Hass avec de l'aluminium évaporé très rapidement (jusqu'à 91,5 % de pouvoir réflecteur à 2 200 Å et 73 % à 1 600 Å).

Le procédé d'évaporation par chauffage indirect par rayonnement est fréquemment employé, sous des formes diverses.

Nous avons entendu plusieurs communications sur les méthodes de mesure d'épaisseur par contraste de phase ; celles-ci permettent des précisions très élevées, allant jusqu'à 10 Å (A. C. S. van Heel, E. Ingelstam).

Deux impressions générales, qui sortent un peu du

cadre des couches minces, nous semblent valoir la peine d'être notées : d'une part, le développement de la fabrication des réseaux et de leur utilisation dans les spectrophotomètres, d'autre part, la courtoisie de l'accueil qui nous a été réservé, aussi bien par les organisateurs du Congrès, à Boston, que par les différents laboratoires où nous avons été reçus.

V. COMPTE RENDU DE M. F. ABELÈS. — Au Congrès de la Commission Internationale d'Optique, F. Abelès a présenté un rapport sur les résultats récents obtenus dans l'étude des couches minces absorbantes. Quelques interventions supplémentaires sont à signaler :

a) B. S. Blaisse (Delft, Pays-Bas) a présenté les propriétés de réversibilité des couches minces absorbantes basées sur les principes de la thermodynamique (généralisation des résultats anciens de Lord Rayleigh et de Sommerfeld) ;

b) P. H. Berning (Bausch & Lomb, Rochester, N. Y.) a présenté un ingénieux mode de calcul des systèmes contenant des couches absorbantes entourées de couches transparentes des deux côtés.

A la réunion de l'Optical Society of America, à Philadelphie, plusieurs communications relatives aux couches minces absorbantes ont été présentées. On en trouvera le résumé dans le *Journal of the Optical Society of America*.

Ce qui nous a le plus frappé, c'est le grand usage qui est fait outre-Atlantique des machines à calculer électroniques pour calculer les systèmes de couches minces.

SÉANCE DU 7 DÉCEMBRE 1956

(*) 1. — La future définition du mètre par une longueur d'onde. État de la question. Radiations envisagées ;

par M. J. TERRIEN,

Bureau International des Poids et Mesures.

La distance entre les traits de la règle prototype en platine iridié du Pavillon de Breteuil, qui définit la longueur de 1 m, peut être observée avec une précision de 0,1 μ . On saurait aujourd'hui, par une amélioration de la qualité des traits et par une méthode d'observation photoélectrique, atteindre une précision environ 10 fois meilleure. Aucun signe de variation avec le temps n'a jusqu'ici contredit la stabilité de cet alliage constatée par les essais de 1872. En particulier, huit mesures, échelonnées de 1892 à 1940, de la longueur d'onde de la raie rouge du cadmium, sont concordantes à $\pm 3 \cdot 10^{-7}$ sans tendance systématique. Il était donc justifié de ne pas se hâter pour tenter de donner à la définition de l'unité de longueur, en la basant sur une longueur d'onde lumineuse, plus de précision et de stabilité, et « un caractère incontestable d'universalité et d'indestructibilité ».

L'apparition de sources de lumière monochromatique sans structure hyperfine à éléments mononucléides a amené la conviction que, parmi les radiations qu'elles produisent, la longueur d'onde de certaines serait un bon étalon de longueur. La conclusion du Comité

Consultatif pour la Définition du Mètre en 1953 peut se résumer par cette citation :

« ... Le mètre devrait être défini, lorsque le moment sera venu, par la longueur d'onde d'une radiation lumineuse se propageant dans le vide, le radiateur et l'observateur étant en repos relatif. Cette radiation serait spécifiée par deux termes spectraux d'un atome dont le spectre soit dépourvu de structure hyperfine, et qui ne soit soumis à aucune influence perturbatrice. »

La Conférence Générale des Poids et Mesures, qui seule a le pouvoir de changer l'étalon de longueur, a décidé en 1954 de maintenir le *statu quo* et demandé à être renseignée d'urgence sur les qualités expérimentalement observables des radiations envisagées.

On connaissait la largeur théorique due à l'effet Doppler-Fizeau d'agitation thermique, dans le cas des lampes à ^{114}Cd à 270-290 °C, des lampes à ^{198}Hg à 0-20 °C et des lampes à ^{86}Kr à — 210 °C (63 °K). On savait aussi que les lampes à Cd ou Hg doivent contenir de l'argon qui change la longueur d'onde. Le Bureau International a entrepris de mesurer, avec un étalon Perot-Fabry, le profil spectral de plusieurs radiations de ces lampes, pour diverses conditions d'excitation, en vue de découvrir les influences perturbatrices. De plus, il a fait quelques mesures de la visibilité des interférences à l'interféromètre de Michelson, en fonction de la différence de marche, et aussi, à différence de marche constante, en fonction des variations des conditions d'excitation de la lampe, et observé des déplacements des franges.

Les premiers résultats montrent, dans les conditions les plus favorables, pour quelques radiations, un profil identique au profil Doppler théorique, sauf aux pieds, où l'on trouve un petit excès de lumière, peut-être par diffusion ; leur largeur est toujours plus grande d'au moins 30 pour cent que la largeur théorique.

Des perturbations importantes sont visibles dans la plupart des cas. Les raies 5 461 et 4 358 Å du mercure se renversent et leur profil, à 40 °C, devient dissymétrique. Les deux raies 5 769 et 5 791 Å ne se renversent pas, mais paraissent un peu plus larges que la raie 5 461 Å à 0 °C. Les raies 5 570 et 5 871 Å du krypton sont élargies et dissymétriques, au moins en partie par autoabsorption, dans l'observation en bout. Plusieurs des raies infrarouges examinées sont renversées, souvent même dans l'observation en travers, sauf 9 856 Å. Dans le visible, les raies 5 650 et 6 056 Å du krypton paraissent les moins sensibles aux perturbations et sont les plus fines.

Ces études du Bureau International sont susceptibles d'orienter la décision future ; elles sont un exemple du rôle nouveau qu'il devra jouer dans le domaine des mesures de longueur, si la Conférence Générale, en 1960, enlève au mètre prototype en platine, dont le Bureau International a la garde, sa fonction d'étalon primaire.

2. — Évolution thermique de l'indice de réfraction des verres ;

par M. L. PROD'HOMME.

I. *Introduction.* — Les mesures relatives à l'action de la température sur l'indice de réfraction, directement évalué à toute température, permettent de

définir un coefficient de température de l'indice qui caractérise la variation de l'indice dans un intervalle donné de température. Disons tout de suite que les résultats dépendent en très grande partie de la vitesse de chauffe, puisqu'ils font intervenir aussi bien l'équilibre thermique que l'équilibre structural de la matière.

Les premières mesures de ce coefficient remontent à 1892 quand Pulfrich [1] observa une douzaine de verres entre 0 et 100 °C. Plus tard Reed [2] compléta ces résultats en chauffant les verres jusqu'aux températures de leur transformation. Des tables ont été publiées par la suite en vue de mesures précises effectuées au réfractomètre. Dans l'ensemble, ce coefficient $dn/d\theta$ a été trouvé faible : sa valeur se trouve comprise entre -3 et $+14.10^{-6}/^{\circ}\text{C}$ selon la nature des verres ; mais cette étude ne concernait que des verres industriels complexes sans chercher à mettre en évidence l'influence de tel ou tel oxyde.

L'étude systématique que nous avons faite porte sur des verres de compositions très diverses et dans la mesure du possible, sur des verres simples, pour essayer de déceler l'action séparée de la température sur la structure propre aux différents oxydes.

II. Méthode expérimentale. — Selon la nature des échantillons, nous avons utilisé trois dispositifs différents pour suivre la variation de l'indice d'un échantillon placé dans un four :

1° Lorsque l'on a affaire à un verre optique courant, on obtient une bonne précision en utilisant la méthode du prisme par lequel on divise un faisceau parallèle en deux parties, dont chacune se disperse en fournissant deux spectres plus ou moins distants l'un de l'autre. La variation de la distance qui sépare deux raies symétriques correspond par une loi assez simple à la variation de l'indice de l'échantillon pour la longueur d'onde envisagée [3]. Mais cette méthode, qui utilise la réfraction et la réflexion sur deux faces, exige une excellente qualité optique des verres, c'est-à-dire une bonne homogénéité et un bon polissage.

2° Pour l'étude des verres expérimentaux, dont l'homogénéité chimique peut laisser à désirer, la méthode précédente cesse d'être applicable, même si l'on peut conserver un bon poli des faces. Nous utilisons dans ce cas des prismes d'angle petit ($< 10^{\circ}$) en les observant à leur minimum de déviation. La lumière, sous forme d'un faisceau étroit, traverse alors une très petite quantité de matière et l'image de la fente ne s'en trouve pas trop altérée.

3° Enfin, si l'on désire mesurer l'indice au delà du domaine de transformation, alors que le verre commence à se ramollir, on emploie un système analogue à celui du prisme d'Amici : on s'arrange pour avoir une déviation pratiquement nulle avec l'indice de l'échantillon observé à la température ambiante. Pour cela, on prépare un échantillon à la forme d'un prisme de 60° et l'on calcule l'angle des prismes de silice qui entourent le verre de façon qu'un rayon lumineux parallèle à la base traverse le système des trois prismes sans subir de déviation.

Les échantillons disposés à l'intérieur du four étaient chauffés de façon très uniforme, à la vitesse de 4° par minute et le volume des échantillons ne dépassait pas 2 cm^3 . Ajoutons que nous utilisions toujours des verres recuits.

III. Résultats des recherches. — A) **VERRES OPTIQUES.** — En ce qui concerne les verres optiques, notre étude a porté sur une gamme de compositions très variées, allant des borosilicates aux flints extra-denses. Nous retrouvons, en général, les valeurs publiées jusqu'alors, sauf dans le domaine de température qui intéresse précisément les opticiens, c'est-à-dire au voisinage de la température ambiante, où nous obtenons des valeurs sensiblement supérieures aux nombres généralement adoptés. Nos résultats ont été confirmés dans un cas où nous avons pu suivre l'indice à basse température jusqu'à -150°C : la courbe ne présente pas de minimum à 0° comme le laissaient prévoir les résultats antérieurs. Il est probable que les auteurs précédemment cités ont été trompés par le retard à l'équilibre thermique qui se manifeste au début de l'évolution sur un échantillon de dimensions trop importantes.

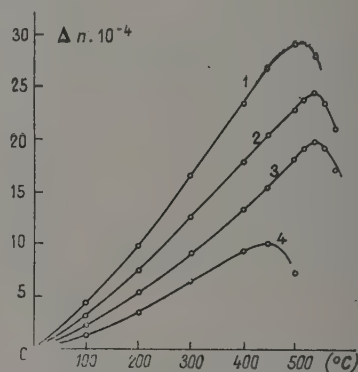


FIG. 1. — Variations de $\Delta n = f(\theta)$ pour des verres crowns : 1, zinc crown ; 2, baryum crown ; 3, borosilicate crown ; 4, crown sodocalcique.

La figure 1 montre ces courbes dans le cas des crowns. L'allure générale de ces courbes $\Delta n = f(\theta)$ qui correspondent à des verres de silicates, se présente toujours d'une manière identique : la variation apparaît depuis la température ambiante jusqu'au voisinage du domaine de transformation, comme une courbe très légèrement concave vers le haut du graphique. Cette incurvation semble dépendre de la vitesse de chauffe et de l'hystérésis thermique de l'échantillon. Ajoutons aussi qu'il est nécessaire que le verre soit suffisamment recuit pour que l'équilibre structural n'évolue plus pendant la chauffe.

Dans tous les cas, la courbe $\Delta n = f(\theta)$ montre au début un accroissement progressif du coefficient $dn/d\theta$ suivi d'une diminution très rapide au moment de la transformation. La valeur de ce coefficient s'échelonne en moyenne entre 2.10^{-6} pour un crown ordinaire à 12.10^{-6} pour un flint extra-dense.

B) **VERRES D'OXYDES SIMPLES.** — a) *Silice vitreuse.* — De nombreux auteurs ont déjà étudié la silice fondue à ce point de vue et tous les opticiens savent que la silice présente un coefficient thermique de l'indice très élevé par rapport aux verres ordinaires. On admet la valeur $dn/d\theta = 13,8.10^{-6}/^{\circ}\text{C}$ pour la raie 5461 Å du mercure.

b) *Anhydride borique.* — En ce qui concerne l'anhydride borique l'évolution thermique étudiée jusque vers 600 °C a montré que l'indice, au lieu de croître quand la température s'élève, comme dans le cas de la silice et des silicates, décroît uniformément jusqu'au

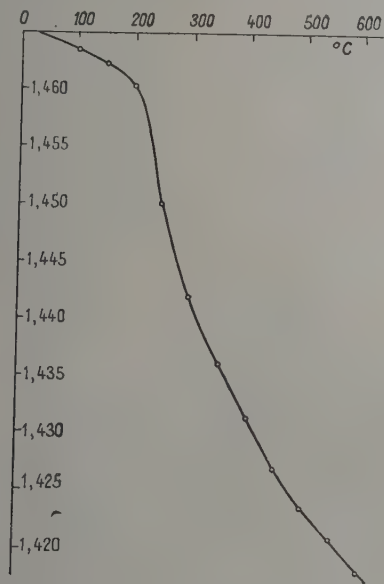


FIG. 2. — Variation thermique de l'indice de réfraction de B_2O_3 .

domaine de transformation, où il amorce une chute très rapide, pour revenir ensuite à une valeur moins élevée. On note au début $dn/d\theta = 20.10^{-6}/^{\circ}C$ (fig. 2). Une variation négative moins accentuée a été observée pour des verres de borates.

c) *Verre à base d'anhydride phosphorique.* — Devant la difficulté de réaliser un échantillon de verre de P_2O_5 pur, nous avons préparé un verre à partir d'anhydride phosphorique mélangé à du phosphate monosodique ; avec ce verre, on a observé aussi une diminution régulière de l'indice correspondant à $dn/d\theta = -16.10^{-6}/^{\circ}C$. La courbe représentée sur la figure 3 est tout à fait analogue à celle donnée par l'anhydride borique ; signalons aussi le même aspect du phénomène observé avec un verre de phosphate complexe.

d) *Verre d'oxyde de germanium.* — La variation thermique de l'indice de réfraction du verre d'oxyde de germanium préparé au laboratoire, a révélé une évolution positive très rapide, plus importante encore que dans le cas de la silice vitreuse. La variation est de l'ordre de $+20.10^{-6}/^{\circ}C$. Nous l'avons mesurée jusqu'à 600 °C.

e) *Oxyde de plomb vitreux.* — Il eut été intéressant de connaître exactement les propriétés de l'oxyde de plomb vitreux pur ; malheureusement, il est extrêmement difficile d'obtenir ce verre à l'état pur en raison de l'attaque des creusets par l'oxyde de plomb. Nous avons donc opéré sur un échantillon provenant d'une fonte exécutée au laboratoire qui doit corres-

pondre à environ 85 % d'oxyde de plomb et à 15 % d'impuretés diverses empruntées au creuset. Or, nous trouvons pour ce verre une variation positive de

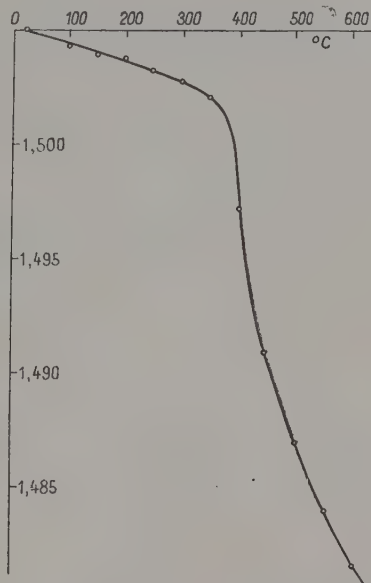


FIG. 3. — Variation thermique de l'indice de réfraction d'un phosphate vitreux.

l'indice $dn/d\theta = +21.10^{-6}/^{\circ}C$. Cette valeur est donc encore supérieure à celle donnée par un flint extra-dense qui atteignait $17.10^{-6}/^{\circ}C$. Il y a donc lieu de prévoir une valeur encore plus élevée pour l'oxyde de plomb pur vitreux.

f) *Verre d'oxyde d'antimoine.* — L'oxyde d'antimoine pur peut former un verre, mais il est assez difficile d'en obtenir une quantité appréciable, car il faut traverser très rapidement la zone de dévitrification qui se situe précisément à la température ambiante. Néanmoins nous avons pu observer un accroissement de l'indice depuis 20° jusqu'à 150 °C à raison de $13.10^{-6}/^{\circ}C$, suivi d'un maximum large et la chute habituelle au cours de la transformation.

g) *Verre d'oxyde de thallium.* — Une goutte de ce verre a pu être fondue à partir de l'oxyde brun Tl_2O_3 . Son indice pour la raie jaune du mercure était 2,280. Un prisme de 10° sur lequel nous avons effectué cette mesure au goniomètre nous a servi à suivre l'évolution de l'indice à chaud jusqu'à environ 250 °C où il atteignait la valeur 2,284, soit $dn/d\theta = 17.10^{-6}/^{\circ}C$. Il n'a pas été possible de suivre l'évolution au delà en raison de l'énorme absorption du verre qui présente déjà à la température ambiante une vive coloration rouge.

IV. *Discussion des résultats.* — L'ensemble de ces résultats est groupé sur le diagramme de la figure 4. On y voit que les variations peuvent être aussi bien positives que négatives.

Elles sont positives pour tous les verres de silicates :

faibles pour les crowns, ces variations deviennent considérables pour les flints très denses. Les verres simples d'oxydes de silicium, de germanium et de plomb se situent à la partie supérieure de l'éventail formé par ce faisceau de courbes : ce sont les oxydes constitués par les éléments du groupe IV de la classification périodique. On remarque, dans ce groupe,

composition d'une fonte dont l'indice de réfraction serait pratiquement indépendant de la température.

- [1] PULFRICH (C.), *Ann. physik. Chem.*, 1892, **45**, 609.
- [2] REED (J. O.), *Ann. physik. Chem.*, 1898, **65**, 707.
- [3] WINTER (M^{me} A.), *Verres et Réfractaires*, 1948, **2**, 214.

SECTION DE PHYSIQUE CORPUSCULAIRE

CONGRÈS DE PHYSIQUE NUCLÉAIRE

Ce Congrès, organisé par la Section de Physique corpusculaire dont le Secrétaire est M. A. BERTHELOT, a eu lieu à Paris les 15, 16 et 17 mars 1956. Le compte rendu détaillé en a été publié dans le numéro de juillet 1956 du *Journal de Physique*, pages 505 à 603.

SÉANCE DU 27 JUIN 1956

Cette réunion a été consacrée à une série d'exposés faits par quelques-uns des membres d'un groupe de vingt physiciens, appartenant aux laboratoires de Physique Nucléaire de la région parisienne, qui venait d'effectuer une visite des laboratoires soviétiques de Physique Nucléaire des régions de Moscou, Léninegrad et Kiev.

Aucune séance de Physique générale n'étant plus prévue pour l'année 1955-1956, M. le PRÉSIDENT a présenté les demandes d'admission suivantes sur lesquelles il a été immédiatement statué. En conséquence, ont été admis comme Membres titulaires de la Société française de Physique :

- MM. BUVET (René), Ingénieur E. S. P. C. I., Licencié ès Sciences, Sous-Chef de Travaux à l'E. S. P. C. I., 14, avenue Cousin-de-Méricourt, Cachan (Seine), présenté par MM. Badoz et Uebersfeld.
- CRUSSARD (Jean), Docteur ès Sciences, Ingénieur en Chef des Ponts et Chaussées, 6, place du Panthéon, Paris (5^e), présenté par MM. Leprince-Ringuet et Chanson.
- FÉLICI (Noël), Professeur à la Faculté des Sciences de Grenoble, Institut Fourier, place du Doyen Gosse, Grenoble (Isère), présenté par MM. Néel et Maréchal.
- M^{lle} NORDAU (Claudy-Gabrielle), Chroniqueur scientifique, 3, rue Massenet, Paris (16^e), présentée par MM. Schatzman et Kastler.

SECTION SUD-OUEST

(Bordeaux)

COLLOQUE NATIONAL SUR L'OPTIQUE MOLÉCULAIRE ET LA PHYSICOCHIMIE STRUCTURALE

Ce Colloque a été organisé à Bordeaux par la Section Sud-Ouest, en collaboration avec la Faculté des Sciences de Bordeaux, du 7 au 11 mai 1956. Les

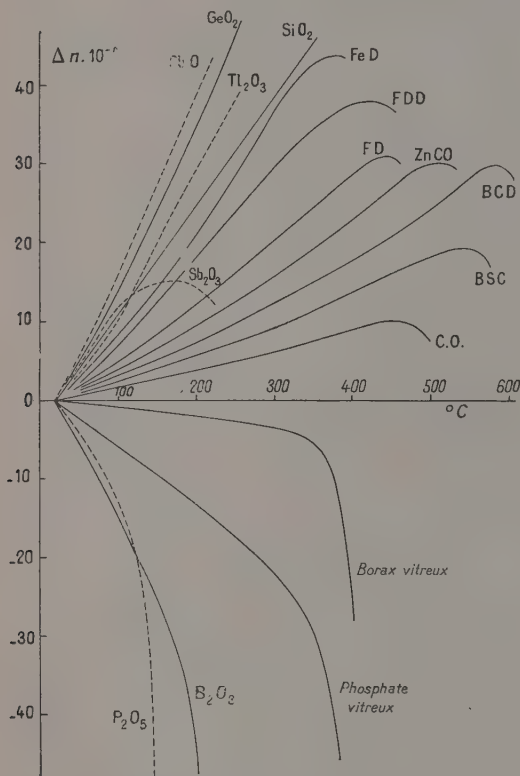


FIG. 4. — Evolution thermique de l'indice de réfraction des verres.

que $dn/d\theta$ augmente quand le formateur du réseau vitreux possède une masse atomique plus grande : $Si < Ge < Pb$. Ainsi le coefficient de température est-il encore positif pour les oxydes de thallium et d'antimoine qui sont des éléments lourds appartenant aux groupes III et V, alors que les éléments légers de ces deux groupes, comme le bore et le phosphore, forment des verres dont la variation de l'indice avec la température est très fortement négative.

Le coefficient thermique de l'indice est sûrement lié à la structure du réseau vitreux et plus particulièrement à la nature de son formateur mais, pour dégager correctement l'action séparée des divers éléments, il faudrait comparer, non pas l'évolution thermique de l'indice, mais l'évolution thermique de la réfraction moléculaire, qui tient compte de la dilatation ; ce travail est actuellement en cours, mais déjà l'étude de l'indice de réfraction montre que l'influence de la température est souvent plus importante qu'il n'était admis jusqu'ici et elle laisse prévoir qu'il est possible de réaliser la

Communications se sont rapportées aux sujets suivants :

Optique moléculaire : absorption ultraviolette et infrarouge, diffusion moléculaire de la lumière (effet Rayleigh et effet Raman), luminescence moléculaire ;

Physicochimie structurale : magnétisme rayons X.

En outre, une séance de la Section Sud-Ouest a permis de grouper un certain nombre d'exposés qui ne rentraient pas strictement dans les rubriques ci-dessus.

Toutes ces Communications ont été publiées dans les *Cahiers de Physique* nos 71 à 76 (juillet-décembre 1956), puis réunies en une brochure de 96 pages (39 textes, 64 auteurs) que les participants pourront se procurer en s'adressant à M. A. ROUSSET, Professeur à la Faculté des Sciences de Bordeaux, Secrétaire du Colloque.

SÉANCE DU 31 MAI 1956

(*) 1. — Anisotropie diélectrique du papier dans la bande des 3 cm. Influence de l'humidité ;

par MM. R. SERVANT et J. GOUGEON.

Un bloc de papier, formé de feuilles empilées, doit a priori constituer un milieu diélectrique anisotrope. Mais, seule l'expérience peut fixer sur l'ordre de grandeur de son anisotropie.

C'est cette expérience que nous avons entreprise, dans la bande des 3 cm, où nous disposions d'un banc de mesures [1] approprié.

Les résultats sont frappants. Nous les avons déjà signalés [2] en ce qui concerne les papiers dans leurs conditions normales d'emploi. Nous y reviendrons ici, en les complétant en ce qui concerne les phénomènes observés lors de leur dessiccation.

MÉTHODE DE MESURE EMPLOYÉE. — Nous avons utilisé la méthode, dite de « l'échantillon fendu », qui consiste, grâce à une rainure ménagée dans l'échantillon étudié, à relever directement dans le diélectrique

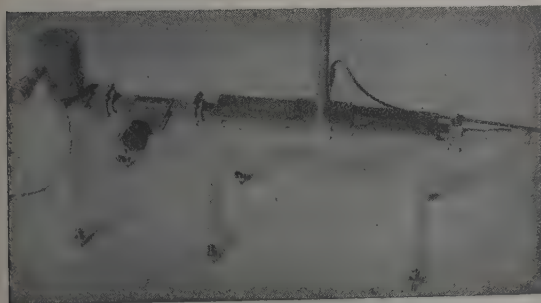


FIG. 1.

lui-même les ondes stationnaires résultant de l'interférence d'une onde incidente et de l'onde réfléchie par

un piston métallique en avant duquel on place l'échantillon.

Le banc de mesures (fig. 1), formé d'éléments de guides rectangulaires, propageant le mode TE₀₁ comprend un klystron 723 AB, un atténuateur, un mesureur d'ondes stationnaires et un piston terminal réglable. Les blocs de papier (de 4 × 2, 3 × 12 cm, comportant une fine rainure pour le passage de la sonde du MOS) sont placés dans le mesureur d'ondes stationnaires, en avant et contre le piston réflecteur. Ces blocs sont soit à feuilles verticales parallèles au champ électrique, soit à feuilles horizontales perpendiculaires à ce champ. Les courbes relevées sont du type de la figure 2, obtenues avec du papier Kraft. Chacune d'elles peut servir à mesurer (pour l'orientation considérée) la constante diélectrique complexe ou, en employant le langage de l'optique, la réfraction et l'absorption.

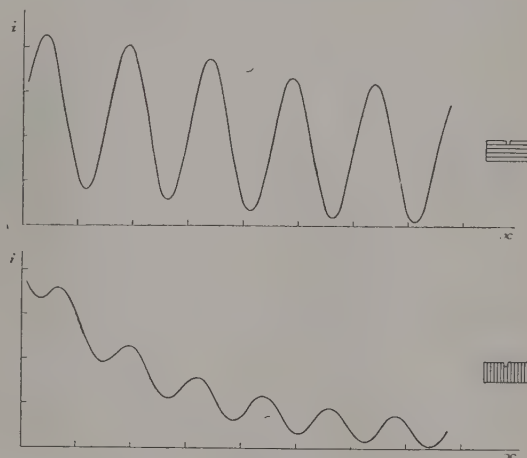


FIG. 2.

On peut d'abord déterminer l'indice de réfraction ν_g et le coefficient d'absorption μ_g en propagation guidée. L'indice ν_g s'obtient en calculant le quotient λ_e/λ_g de la longueur d'onde d'émission libre dans l'air (ici 3,24 cm) par la longueur d'onde relevée dans le guide rempli de diélectrique (double de l'interfrange). Quant à μ_g , il s'obtient en passant des courbes d'intensité de la figure 2 aux courbes d'amplitude (en \sqrt{I} à cause de la réponse quadratique du détecteur), puis aux courbes moyennes, enfin aux droites transformées logarithmiques (à base e) de ces courbes, droites dont le coefficient angulaire est $\mu_g/2$.

On peut ensuite remonter aux caractéristiques ν et μ d'espace libre ou mieux aux indices de réfraction ν et d'extinction κ intervenant dans l'expression de l'indice complexe $n = \nu - i\kappa$. On trouve, par la considération de l'équation générale de propagation ($\Delta E_z = \frac{\epsilon}{c^2} \frac{\partial^2 E_z}{\partial t^2}$) que, dans le cas où κ^2 est négligeable devant ν^2 (ce qui est licite ici), on a

$$\nu = \sqrt{\nu_g^2 + p}, \quad \kappa = \frac{\lambda}{4\pi} \frac{\nu_g}{\nu} \mu_g.$$

où p désigne, selon l'usage, la quantité $(\lambda/2a)^2$, a étant la largeur du guide.

RÉSULTATS SUR LES PAPIERS DANS LES CONDITIONS NORMALES D'EMPLOI. — En réalité, les variétés de papier sont extrêmement nombreuses et il faudrait distinguer origine, traitement, charge, collage, feutrage, densité, etc. Du moins, ont-elles en commun le fait que la matière première essentielle est la même (fibres de cellulose couchées dans le plan des feuilles) et qu'elles sont toujours chargées d'humidité [3].

Nous avons constaté qu'elles présentent toutes, à des degrés divers, une grande anisotropie de réfraction et d'absorption : les indices ν_{\parallel} et ν_{\perp} sont très différents, ainsi que les indices d'extinction κ_{\parallel} et κ_{\perp} . (Par contre, pour les catégories de papier envisagées, nous n'avons pas trouvé de différences sensibles entre le « sens machine » et le « sens transverse ».)

Pour le papier Kraft cité plus haut, on trouve

$$\begin{aligned} \nu_{\parallel} &= 1,52, & \kappa_{\parallel} &= 8,5 \cdot 10^{-2}, \\ \nu_{\perp} &= 1,28 & \kappa_{\perp} &= 3 \cdot 10^{-2}. \end{aligned}$$

Le dichroïsme est considérable, puisque l'absorption est près de 3 fois plus forte que dans le sens \parallel que dans le sens \perp . Quant à la réfraction, elle est aussi beaucoup plus forte dans le sens \parallel que dans le sens \perp , de sorte que la biréfringence est importante. Elle vaut ici $\Delta n = \nu_{\parallel} - \nu_{\perp} = 0,24$; elle est donc, toutes proportions gardées, comparativement plus importante que celle du spath en optique.

Si, maintenant, on examine les différentes catégories de papier, on arrive à cette constatation importante que dichroïsme et biréfringence sont très variables d'une catégorie à l'autre, le feutrage, la densité... intervenant particulièrement. Ainsi, quand on passe des papiers Kraft aux papiers machine, puis aux filtres et aux buvards, l'ordre de grandeur des biréfringences mesurées décroît d'environ 0,25 à 0,08.

INFLUENCE D'UNE DESSICCATION. — Il nous a paru intéressant, bien qu'encore une fois les papiers, dans les conditions usuelles, soient toujours chargés d'humidité, de procéder à une dessiccation, soit en faisant progressivement le vide en présence d'anhydride phosphorique, soit en les portant à l'étuve.

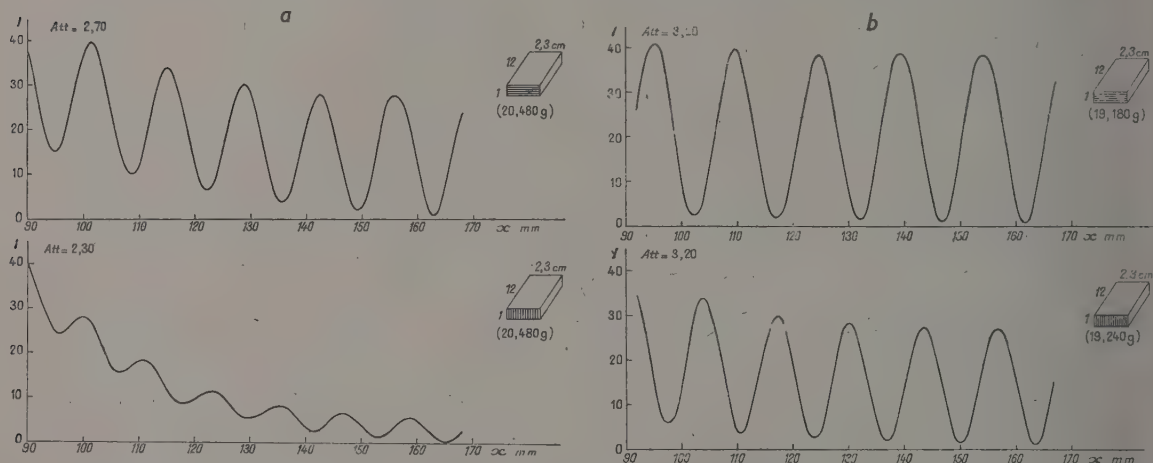


FIG. 3. — a) Papier machine ; b) papier machine sec.

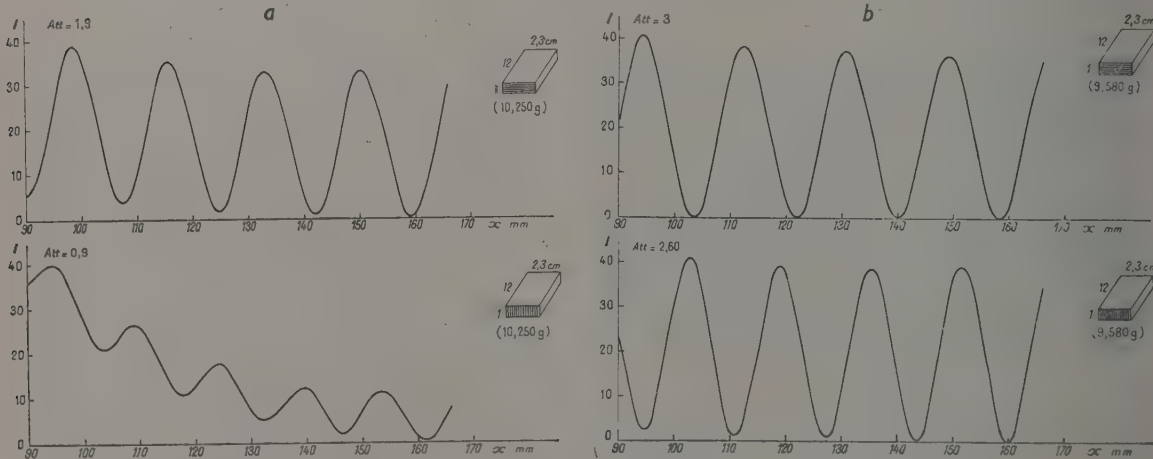


FIG. 4. — a) Papier filtre ; b) papier filtre sec.

On constate alors (fig. 3 et 4) que les indices diminuent, à cause du départ d'eau, mais une biréfringence liée à l'orientation des cristallites de cellulose dans les fibres subsiste. Par contre, l'absorption est pratiquement supprimée. Cette absorption vient donc de l'eau. Si une partie de celle-ci est certainement de l'eau liée (hydrates définis à l'intérieur des cristallites, travaux de Champetier) ou orientée en surface, la plus grande partie doit être de l'eau libre, car, d'après les conclusions de R. Freymann et de ses collaborateurs [4], seule cette eau est absorbante à 10 000 MHz.

Si d'ailleurs on laisse les blocs de papier à l'air, ils s'imprègnent de vapeur d'eau et leur absorption augmente à nouveau. Elle s'accompagne, bien entendu, de dichroïsme et c'est sans doute là le fait le plus remarquable, puisqu'on réalise l'équivalent d'une tourmaline « réglable » dont on pourrait à volonté intensifier les absorptions ordinaire et extraordinaire.

Une dessiccation favorise l'étude du papier, puisqu'elle le rend transparent aux hyperfréquences. La biréfringence ultra-hertzienne après dessiccation Δn_0 est une donnée spécifique simple. Pour les papiers correspondant aux figures 3 et 4, on a

$$\Delta n_0 \text{ papier machine} = 0,12, \quad \Delta n_0 \text{ papier filtre} = 0,09$$

Une étude des variations des réfractions et des biréfringences spécifiques est en cours. Les résultats, relatifs à l'influence du taux d'humidité, semblent analogues à ceux obtenus dans l'étude optique des fibres cellulosiques transparentes [5].

CONCLUSION. — Les blocs, formés de feuilles de papier empilées, présentent une anisotropie diélectrique remarquable. L'étude de cette anisotropie aux hyperfréquences paraît présenter à la fois un grand intérêt théorique et pratique.

- [1] SERVANT (R.), *J. Physique Rad.*, 1955, **16**, 99 S.
- [2] SERVANT (R.) et GOUGEON (J.), *C. R. Acad. Sc.*, 1956, **242**, 2318.
- [3] ESCOURROU (R.), *Le Papier*, Paris, 1941.
- [4] FREYMAN (R.), *J. Chim. Phys.*, 1953, **50**, C 37.
- [5] HERMANS (P. H.), Contribution à l'étude physique des fibres cellulosiques, trad. M. Chêne, Paris, 1952.

2. — Suppression du spectre secondaire d'un objectif à deux verres ;

par M. J. RÖSCH.

L'un des points d'infériorité des *réfracteurs* sur les *réflecteurs* dans l'observation astronomique (à côté de grands avantages) est l'existence d'une aberration chromatique secondaire qui, pour de grands instruments, oblige à ne travailler que dans un domaine spectral étroit. Des combinaisons ont été proposées (lunettes de Hamilton et de Schupmann, reprises plus récemment par J. G. Baker) pour achromatiser rigoureusement un objectif simple ou un objectif à deux verres. Si l'on cherche une solution générale de ce dernier cas (applicable donc aux réfracteurs existants), on trouve qu'on peut supprimer le spectre secondaire (rigoureusement si l'on dispose des mêmes verres, avec de très faibles résidus en cas contraire) au moyen d'un

doublet divergent associé à un miroir sphérique concave. On peut faire en sorte que le système n'introduise pas de chromatisme de grandissement et qu'il soit corrigé de l'aberration de sphéricité et de la coma, et on dispose encore de deux paramètres. On peut donc choisir un doublet *collé* et dont la face avant ait la courbure à donner au miroir (il suffit alors de la rendre réfléchissante) ; le rapport diamètre du correcteur / diamètre de l'objectif est alors imposé à une valeur relativement grande (0,57), ce qui rend la solution difficilement applicable à un grand instrument. Il est donc préférable de se donner le rapport avec une valeur plus pratique et de renoncer à l'une des autres conditions ; on peut choisir soit un doublet *collé* et un miroir indépendant, soit, ce qui s'avère plus intéressant à tous points de vue, un doublet non *collé* dont la face avant soit réfléchissante. En particulier, un rapport voisin de 0,23 donne un flint équiconvexe, ce qui facilite la réalisation.

SÉANCE DU 25 OCTOBRE 1956

(*) Sur l'existence de la luminescence lunaire. Résultats obtenus ;

par M. J. DUBOIS,
Observatoire de Bordeaux.

I. L'idée d'une luminescence des roches constituant la surface de la Lune a été énoncée par Link pour expliquer les importantes variations lumineuses observées au cours de la phase pénombre d'une éclipse de Lune.

II. Deux méthodes de travail ont été proposées par ce même auteur pour l'étude de ce phénomène.

1^o Étude de l'accroissement de luminance dans certaines régions du spectre, au cours de la phase pénombre d'une éclipse de Lune. C'est la méthode utilisée par M. Cimino et ses collaborateurs à l'Observatoire de Rome.

2^o Étude de la variation de la profondeur des raies. Cette méthode est délicate, en raison des petites variations à mesurer. Elle a par contre l'avantage d'être utilisable chaque fois que la Lune est visible dans un ciel pur. Nous donnons ci-dessous les résultats obtenus par l'emploi de cette méthode.

III. PRINCIPE DE LA MÉTHODE DE LA PROFONDEUR DES RAIES. — On compare des spectres assez dispersés de la Lune à des spectres solaires obtenus avec le même appareil, les mêmes plaques et la même durée de pose.

Le Soleil étant trop brillant, on doit utiliser la lumière diffusée par un bloc de magnésie éclairé par le Soleil.

Pour avoir des spectres solaires de différentes densités, on a utilisé divers systèmes permettant de faire varier d'une quantité voulue l'intensité de la lumière entrant dans le spectrographe. On a employé avec succès : diaphragmes, lame à échelons ou secteur tournant.

Les clichés d'étalonnage et ceux de la Lune sont développés dans le même bain et agités pendant le

développement. Ils sont ensuite passés au micro-photomètre enregistreur.

A l'aide des enregistrements, on mesure le rapport instrumental de profondeur d'une raie, soit R = intensité du fond (ou corps) de la raie/intensité du fond continu du spectre interpolé pour le centre de la raie.

R est d'abord déterminé pour les spectres solaires ; puis on calcule la moyenne des R ainsi trouvés, d'où la valeur ϵ du plus grand écart par rapport à la moyenne.

On calcule le même rapport pour les spectres de la Lune, soit R' .

Si le spectre de la Lune est simplement celui de la lumière solaire diffusée par la surface de notre satellite, $R' \simeq R$ ou du moins les écarts ne dépassent pas ϵ .

S'il existe une luminescence émise par les roches de la surface lunaire, R' est supérieur à R .

Pour certaines régions de la Lune et pour un certain nombre de longueurs d'onde, on constate que $R' > R + \epsilon$.

La raie du spectre lunaire est dans ce cas moins profonde. On pose

$$\Delta R = R' - (R + \epsilon). \quad (1)$$

Si on appelle ρ le rapport de l'intensité de la luminescence lunaire à celle de la lumière diffusée par la surface de la Lune, pour une longueur d'onde donnée, on peut écrire

$$\rho = \frac{\Delta R}{1 - (R + \Delta R)}. \quad (2)$$

Donc, si on connaît ΔR , on peut calculer l'intensité de la luminescence lunaire.

Nous précisons :

1° que nous avons vérifié par des expériences de laboratoire la validité de la formule (2) en imitant le phénomène dont la Lune est susceptible d'être le siège. La substance luminescente (halophosphate SAFPE 15-

849) était irradiée soit par la lumière solaire seulement, soit par la radiation 2 537 Å d'une lampe à vapeur de mercure basse pression seule, soit par ces deux sources à la fois. On obtenait ainsi des spectres séparés de la lumière solaire, de la bande de fluorescence, en plus du spectre composite. L'intensité de la luminescence était calculée de deux façons distinctes, d'où possibilité de contrôle de la méthode exposée ;

2° que la précision de la méthode est d'autant meilleure que la dispersion du spectrographe est grande ;

3° que la luminescence est le phénomène qui, dans les conditions de nos observations, est raisonnablement le seul susceptible de diminuer la profondeur des raies, en donnant des résultats interprétables.

IV. RÉSULTATS. — Les mesures effectuées sur plus de 200 spectres de différentes régions de la Lune et obtenus dans des conditions différentes (spectrographes, plaques, observateurs), ont donné les résultats suivants :

1° Sur 86 régions lunaires observées, 47 ont présenté une luminescence certaine. La répartition en fonction de la couleur est la suivante :

| |
|---------------------------------|
| 24 régions en rouge (6 560 Å), |
| 26 régions en jaune (5 893 Å), |
| 4 régions en vert (5 200 Å), |
| 21 régions en bleu (4 861 Å), |
| 10 régions en violet (4 300 Å). |

Une même région lunaire peut être luminescente en plusieurs couleurs.

2° Valeurs moyennes du rapport ρ pour 5 longueurs d'onde et quelques plages lunaires (moyenne calculée sur trois observations au moins).

| Plage lunaire observée | Rouge 6 560 | Jaune 5 893 | Vert 5 200 | Bleu 4 861 | Violet 4 300 |
|---|----------------|----------------|---------------|---------------|-----------------|
| Limbe Sud-Ouest, lat. 45 ^d Sud | — | 0,14 | 0,20 | 0,04 | — |
| Région entre Mers de la Sérénité et des Pluies (lat. 30 ^d Nord, long. 8 ^d Ouest) | — | 0,05 | — | — | 0,06 |
| Centre du Sinus Medii | 0,12 | — | — | 0,10 | — |
| Mer de la Tranquillité (lat. 0 ^d , long. 28 ^d Ouest) | ? | 0,14 | — | — | — |
| Mer de la Fécondité (lat. 0 ^d , long. 50 ^d Ouest) | 0,08 | 0,10 | — | ? | — |
| Fond du Cirque Régiomontanus | 0,25 | 0,13 | — | 0,05 | — |
| Mer des Crises | — | 0,15 | 0,20 | 0,08 | — |
| Mer du Froid (région Ouest) | — | 0,06 | 0,07 | ? | 0,04 |
| Région lat. 12 ^d Sud, long. 60 ^d Ouest | 0,07 | 0,10 | — | — | 0,03 |
| Mer des Nuages | 0,12 | 0,07 | — | 0,14 | — |
| Océan des Tempêtes (régions Centre et Sud-Est) ... | 0,20 | — | — | — | 0,10 |

3° Les mers lunaires présentent plus fréquemment de la luminescence que les régions continentales. Peut-être ce résultat est-il dû à la faible valeur de l'albedo des mers lunaires.

Des expériences de laboratoire nous ont en effet montré que la luminescence d'une substance diluée dans une autre qui ne l'est pas est d'autant plus facile à mettre en évidence que l'albedo du diluant est plus faible.

4° La luminescence lunaire paraît très variable dans le temps. Pour des régions telles que la Mer de la

Fécondité ou le Sinus Medii nous possédons 7 ou 8 observations. Les intensités mesurées varient de 1 à 8 pour chacune de ces deux plages et à peu près de la même manière en fonction de la longueur d'onde. Il est curieux de noter qu'en février-mars 1956 la luminescence a été trouvée très faible en toutes couleurs. On peut se demander si ce phénomène est lié au froid intense et anormal qui a affecté plus de la moitié de la Terre et si la luminescence de la Lune ne permettrait pas une étude des variations du rayonnement solaire de courte longueur d'onde.

5° *Détermination de quelques bandes de luminescence.*
A l'aide des spectres à grande dispersion, on a pu calculer ρ pour de nombreuses longueurs d'onde. Cette quantité a été corrigée pour tenir compte de la variation d'intensité du rayonnement solaire avec la longueur d'onde, ainsi que de la variation de luminance de la plage lunaire étudiée en fonction de la même variable.

La figure 1 donne l'allure des bandes observées.

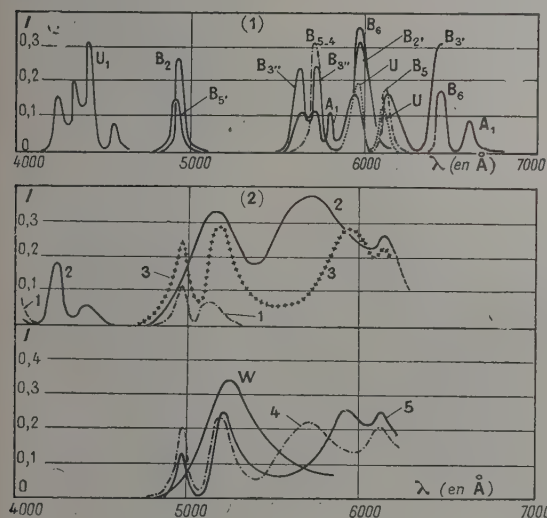


FIG. 1. — Bandes de luminescence observées sur la Lune (A, Arcetri ; B, Bordeaux ; U, Utrecht). Nom des régions lunaires (les chiffres en indices correspondent à diverses régions lunaires) :

- (1) : B₂ et B_{2'}, régions sombres entre les Mers des Nuages et des Humeurs ;
B_{3'} et B_{3''}, régions brillantes entre les Mers des Vapeurs et des Nuages ;
B₄, Sinus Medii, Mer des Vapeurs ;
B₅, région brillante entre les Mers des Vapeurs et de la Sérénité ;
B₆, centre de la Mer de la Sérénité ;
A₁, Océan des Tempêtes.
(2) et (3) : 1, région voisine du limbe à l'ouest de la Mer des Crises ;
2, centre de la Mer des Crises ;
3, partie ouest de la Mer du Froid ;
4, cirque d'Aristote ;
5, centre du Marais des Nébulosités ;
W, willémitte synthétique.

6° *Interprétation des bandes.*

Premier cas. — Il y a une luminescence verte.

Les courbes expérimentales d'émission lunaire se rapprochent très sérieusement de celles de minéraux connus tels que les willémities. D'ailleurs, selon M. Servigne, les courbes 2, 3, 4 pourraient être reproduites en laboratoire.

Le maximum dans le jaune pourrait être attribué à un plus grand nombre de substances que celui situé dans le vert : par exemple silicates de cadmium, de béryllium ou phénacites.

Remarquer que la luminance des plages lunaires

luminescentes en vert varie peu avec la longueur d'onde (fig. 2, courbe 2).

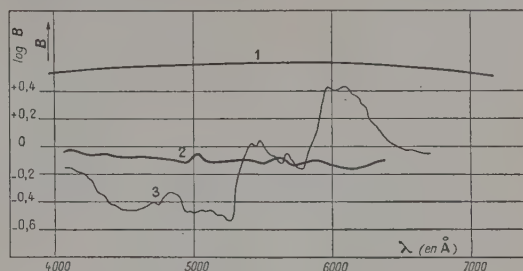


FIG. 2. — 1, corps noir à 6 000 °K ; 2, Lune : courbe moyenne pour les régions luminescentes en vert ; 3, Lune : courbe moyenne pour les régions non luminescentes en vert.

Deuxième cas. — Il n'y a pas de luminescence verte.

Le phénomène est cependant assez intense dans le jaune et le rouge, faible dans le bleu et le violet. Les bandes sont étroites et difficiles à identifier, sauf si on admet qu'elles sont la résultante d'une bande large découpée par des phénomènes d'absorption. Des expériences de laboratoire ont prouvé que cette interprétation était au moins possible.

La luminance de ces régions varie avec la longueur d'onde d'une façon notable : considérer l'absorption intense dans le vert (fig. 2, courbe 3).

V. DISCUSSION. — Nous aurions voulu obtenir des spectres à grande dispersion de densité comprise entre 1 et 2, pour avoir la précision optimum.

Pour diverses raisons indépendantes de notre volonté nous n'avons pu réaliser intégralement notre programme et la précision de nos mesures sur spectres à haute dispersion en a souffert.

Les spectres à moyenne dispersion sont correctement posés, mais la précision souffre de la faible variation du rapport R obtenu dans ces conditions, même si la luminescence est intense.

La précision sur ρ est comprise entre 4 et 15 %, suivant la valeur de la dispersion du spectrographe utilisé, au lieu de 1 % souhaité.

Malgré cet inconvénient, le grand nombre de nos résultats et leur concordance parfaite, comme leur indépendance vis-à-vis des spectrographes et plaques utilisés, ou des observateurs qui ont pris les clichés, donne une certitude appréciable.

Il est donc permis d'annoncer que la luminescence lunaire existe réellement. L'identification de certaines bandes observées avec celles de minéraux connus tels que les willémities montre qu'il ne peut s'agir d'erreurs d'observation ou de mesure.

La luminescence lunaire pourrait avoir des applications pratiques : identification des roches lunaires, étude de l'ultraviolet solaire arrêté par l'atmosphère terrestre, par exemple.

SÉANCE DU 6 DÉCEMBRE 1956

Le mandat de M. GAY arrivant à expiration, ce dernier se retire et, après délibération, le bureau de la

section Sud-Ouest de la Société française de Physique est composé comme suit pour l'année 1956-1957 :

Secrétaire : M. J. CLASTRE, Chef de Travaux ;

Secrétaire adjoint : M. A. MASSOULIER, Chef de Travaux.

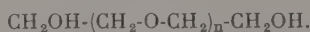
Les Communications suivantes ont été présentées :

(*) 1. — La diffusion moléculaire de la lumière par les solutions de polyoxyéthylènes-glycols ;

par M^{lle} M.-T. FOREL, M^{me} P. LONGIN
et M. A. ROUSSET,

Laboratoire de Physique Générale,
Faculté des Sciences, Bordeaux.

Les polyoxyéthylènes-glycols (POEG) sont des macromolécules qui résultent de la condensation de l'oxyde d'éthylène $\text{CH}_2\text{-CH}_2$ sur un glycol ; ils correspondent à la formule globale



On sait préparer des POEG de masse moléculaire bien déterminée mais relativement faible. Au contraire, les produits fournis par l'industrie sont constitués par des mélanges de masses moléculaires différentes.

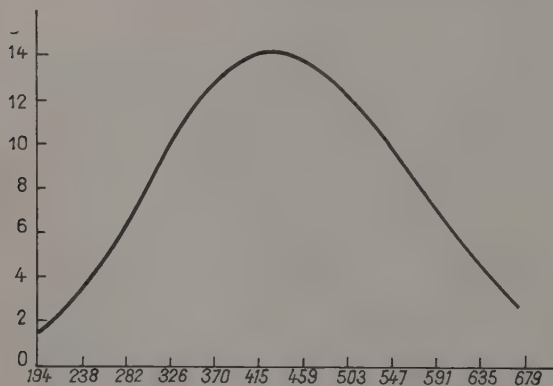


FIG. 1. — En abscisse, poids moléculaire ;
en ordonnée, pourcentage en poids.

Voici par exemple (fig. 1) la courbe donnant le pourcentage en poids de chaque espèce moléculaire dans l'échantillon POEG 400 Carbowax ⁽¹⁾.

La masse moléculaire moyenne en nombre M_N , définie par

$$M_N = \Sigma c_i : \Sigma \left(\frac{c_i}{M_i} \right) = \Sigma (m_i M_i) : \Sigma m_i,$$

c_i étant la concentration en g par cl et m_i la concentration molaire du polymère de masse moléculaire M_i , obtenue par dosage chimique des OH terminaux [1]

⁽¹⁾ Nous remercions les firmes Carbide and Carbon Chemicals (New York) et Naphtachimie (Paris) qui nous ont offert gracieusement des échantillons de leurs produits.

ne diffère pas de plus de 5 % des valeurs moyennes, arrondies à 100, indiquées par le fabricant.

Avec de tels mélanges, on doit prévoir une valeur supérieure pour la masse moléculaire moyenne en poids M_w , définie par

$$M_w = \Sigma (c_i M_i) : \Sigma c_i = \Sigma (m_i \cdot M_i^2) : \Sigma (m_i M_i),$$

et qui est précisément celle que l'on tire des mesures de diffusion moléculaire de la lumière par les solutions étendues.

Rappelons simplement ici que dans le domaine de concentration où l'on admet que la pression osmotique reste une fonction quadratique de la concentration c , la théorie conduit à la relation

$$R - R_0 = H \frac{c}{\frac{1}{M} + 2Bc},$$

R et R_0 étant les constantes de Lord Rayleigh de la solution de concentration c et du solvant pur, H et B des constantes pour un solvant et un soluté déterminés, et M la masse moléculaire du soluté, de sorte que si l'on porte en abscisse la concentration et en ordonnée $cH/(R - R_0)$, les points expérimentaux doivent se placer sur une même droite dont l'ordonnée à l'origine est égale à l'inverse de la masse moléculaire, la pente étant égale au double du coefficient B . Avec un bon solvant, B est grand et positif ; avec un mauvais solvant, B se rapproche de la valeur nulle.

Comme nous disposons d'une gamme très étendue de POEG de masses moléculaires variables entre 200 et 6 000, nous en avons déterminé les masses moléculaires en solution par diffusion Rayleigh dans le double but :

1° de trancher entre les valeurs proposées pour la constante de Lord Rayleigh de liquides étalons (éther, benzène) ;

2° de chercher pour ce type de macromolécules une limite inférieure des masses moléculaires qu'on pouvait mesurer avec précision sur notre appareil.

Les mesures d'intensité ont été faites visuellement sur l'appareil construit par M. Lochet [2] en utilisant la raie verte du mercure. On a utilisé comme solvant l'eau (6 000, 4 000, 1 500), l'alcool méthylique (4 000, 1 500, 1 000, 800, 600) et enfin une solution aqueuse 0,6 M de $(\text{NH}_4)_2\text{SO}_4$ (4 000). La valeur de $(\mu - \mu_0)/c$ ne diffère sensiblement pas d'un POEG à l'autre, elle diminue de 0,140 pour l'alcool méthylique jusqu'à 0,135 pour l'eau et 0,10 pour la solution de $(\text{NH}_4)_2\text{SO}_4$ mais cette dernière solution est un « mauvais solvant » pour le POEG 4 000 dont elle peut provoquer la coacervation à froid.

I. A partir de la valeur de G. de Vaucouleurs [3], $4,02 \times 10^{-6} \text{ cm}^{-1}$ ($\lambda = 546 \text{ m}\mu$) pour la constante de Lord Rayleigh de l'éther, nous avons obtenu, par extrapolation jusqu'à $c = 0$ des courbes $cH/(R - R_0) = f(c)$ (fig. 2), des valeurs de M_w très inférieures à celles indiquées par le fabricant. Au contraire, la valeur de 6×10^{-6} , qu'on peut déduire de la valeur $16,3 \times 10^{-6}$ mesurée sur le benzène par Carr et Zimm [4] conduit à des valeurs M_w presque égales ou supérieures à celles données par le fabricant (voir tableau I).

En l'absence de renseignements sur la dispersion des poids moléculaires, des coïncidences de M_w et de M_N ne suffisent pas pour confirmer la valeur de Carr et Zimm, mais la valeur de G. de Vaucouleurs qui conduit à des valeurs M_w systématiquement inférieures à M_N ne peut être retenue.

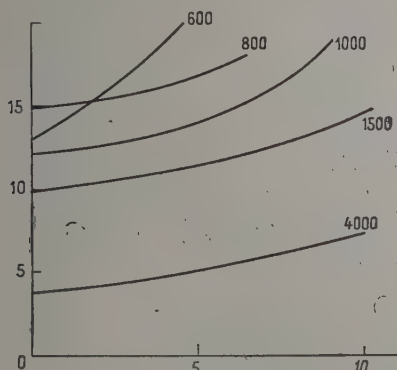


FIG. 2. — POEG solvant CH_3OH .
En abscisse, $c.10^2$; en ordonnée, $10^4.cH/(R - R_0)$.

TABLEAU I

| POEG | 6 000 | 4 000 | 1 500 | 1 000 | 800 |
|------------------------------|----------------------------------|----------------|----------------|-------|-----|
| Eau | $\{ M_w 5 000$ $\{ M_w 7 500$ | 2 450 3 675 | 1 130 1 695 | — | — |
| Alcool | $\{ M_w$ | 2 275 | 1 020 | 825 | 665 |
| méthylque | $\{ M_w$ | 4 160 | 1 530 | 1 240 | 997 |
| $(\text{NH}_4)_2\text{SO}_4$ | $\{ M_w$ | 2 325 | — | — | — |
| (0,6 M) | $\{ M_w$ | 3 490 | — | — | — |

II. Avec les POEG de masse moléculaire inférieure à 800 et qui sont des liquides entièrement miscibles avec l'alcool méthylque, la différence $R - R_0$ varie lentement avec c et sa mesure précise en valeur relative nécessite des solutions de molarités beaucoup plus fortes que celles utilisées avec les POEG de masses moléculaires élevées. La partie rectiligne des courbes $cH/(R - R_0)$ ne peut s'obtenir qu'au voisinage immédiat de $c = 0$, c'est-à-dire pour des valeurs de c où la mesure de $R - R_0$ n'est plus précise.

D'autre part, le coefficient angulaire à l'origine est très élevé à cause de la grande affinité solvant-soluté. Ainsi les résultats obtenus sur des solutions de POEG 600 dans l'alcool méthylque, reportés sur la figure 2, n'ont pu être retenus. L'un de nous avait déjà indiqué que l'emploi de solutions de saccharose dans l'eau ne permettait pas de remonter à une valeur précise de la constante de Lord Rayleigh d'un liquide étalon [5].

III. A partir de mesures sur des échantillons industriels de POEG de la firme allemande « Anorgana Gendorf », MM. P. Rempp et H. Benoit sont arrivés aux mêmes conclusions en ce qui concerne la constante de G. de Vaucouleurs. Leurs mesures sur des POEG mono-dispersés de faible masse moléculaire confirment la valeur de Carr et Zimm. Ces résultats qui doivent

paraître incessamment au *Journal of Polymer Science* nous ont été aimablement communiqués par leurs auteurs.

- [1] SEZERAT (A.), *Annales Pharmaceutiques Françaises*, 1955, **13**, 516.
- [2] LOCHET (R.), *Ann. Physique*, 1953, **8**, 14.
- [3] VAUCOULEURS (G. DE), *Ann. Physique*, 1951, **6**, 213.
- [4] CARR (C. I.) et ZIMM (B. H.), *J. Chem. Physics*, 1950, **18**, 1616.
- [5] ROUSSET (A.) et LOCHET (R.), *J. Polym. Sc.*, 1953, **10**, 319.

(*) 2. — Influence de la température sur le courant final qui parcourt un liquide isolant, soumis à une différence de potentiel continue, et sur la répartition des potentiels en ces conditions ;

par MM. R. GUIZONNIER et G. MONSONEGO.

Quand on applique une différence de potentiel continue entre deux électrodes métalliques plongeant dans un liquide isolant, le courant diminue progressivement, jusqu'à ce qu'il ait atteint une valeur finale i_F . L'étude de l'influence de la température, sur les valeurs initiales i_0 dans le cas d'électrodes métalliques ordinaires (1), sur les valeurs initiales et les valeurs finales dans le cas d'électrodes vernies (2) a montré que l'on pouvait écrire en ces conditions, seulement en ce qui concerne les liquides à hétérocharges (3),

$$i = A \exp(-W/kT), \quad (1)$$

T étant la température absolue, k la constante de Boltzmann, A une constante dépendant du liquide utilisé et W atteignant, dans le cas des valeurs initiales, avec électrodes ordinaires 0,41 eV, dans le cas des valeurs initiales et finales, avec électrodes recouvertes de vernis 0,45 eV.

Il restait à poursuivre, dans le cas d'électrodes métalliques ordinaires, l'étude de l'influence de la température sur les valeurs finales i_F ; tel est l'objet du présent mémoire.

Les expériences ont été réalisées, entre 15 et 70°, avec de l'huile pour transformateurs T. 40, du tétrachlorure de carbone, de l'huile de paraffine. Le liquide, en vase clos, maintenu constamment à une même température absolue T , était soumis à une différence de potentiel continue, pendant un temps suffisant pouvant

(1) GUIZONNIER (R.), Étude en courant continu de la conductibilité du tétrachlorure de carbone, du benzène, du sulfure de carbone, d'isolants solides fondus et de la répartition des potentiels en ces liquides (*Rev. Gén. Élec.*, 1956, **65**, 359 à 367).

(2) GUIZONNIER (R.), Conductibilité, en courant continu, d'isolants liquides, dans le cas d'électrodes recouvertes d'une faible couche d'isolant solide (à paraître dans le *Journal de Physique appliquée*).

(3) Les liquides à hétérocharges sont ceux en lesquels, sous l'influence d'une différence de potentiel continue, il se forme, auprès de chaque électrode, des charges de signe contraire à celui de cette électrode. Dans le cas des liquides à homocharges, sous l'influence de la différence de potentiel, il se forme progressivement dans le liquide à partir de l'électrode qui n'est pas au sol, des charges du signe de cette électrode.

atteindre une trentaine d'heures, afin, qu'en chaque cas, la valeur finale du courant soit atteinte.

Liquides à hétérocharges. — Les droites 1 et 2 de la figure 1 concernent respectivement l'huile T. 40 et le

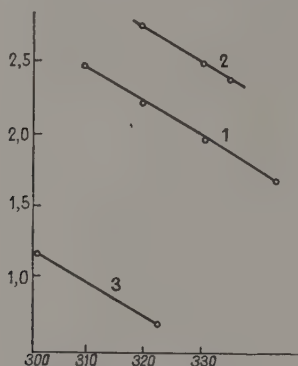


FIG. 1. — Droite 1, huile T. 40 ; droite 2, tétrachlorure de carbone ; droite 3, huile de paraffine. En abscisse, $10^5/T$; en ordonnée, $\log(i_F \times 10^{11})$.

tétrachlorure de carbone ; on retrouve la loi de forme (1) ; de la pente des droites, on déduit encore $W = 0,45 \text{ eV}$.

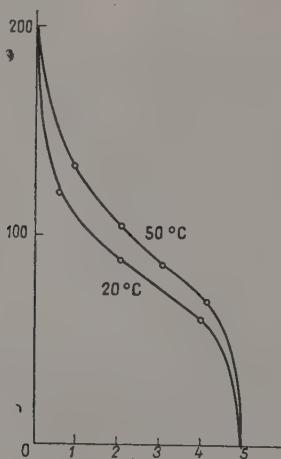


FIG. 2. — Huile T. 40 : En abscisse, d (en mm) ; en ordonnée, V (en V).

La figure 2 montre la répartition des potentiels, dans le cas de l'huile T. 40, à 20 °C et à 50 °C ; quand la température s'élève, les charges spatiales sont moins denses auprès des électrodes : on tend vers la loi d'Ohm. Dans le cas du tétrachlorure de carbone, quand la température est de l'ordre de 50°, pendant le temps très long nécessaire pour atteindre i_F et mesurer les potentiels en divers points, le tétrachlorure attaque le plexiglas qui soutient la prise de potentiel, et le déforme de telle façon qu'il n'est pas possible d'effectuer des mesures.

Liquide en lequel, à température ordinaire, se produisent des homocharges. — L'huile de paraffine conduit à une courbe $i_F = f(T)$ qui, comme la courbe $i_0 = g(T)$ pour le même liquide, a un minimum vers 30 à 40 °C. Si l'on utilise les données concernant les portions de courbe au delà du minimum, on obtient la droite 3 de la figure 1, tracée seulement avec deux points (correspondant respectivement à 37 et 70 °C), car la portion de courbe ainsi utilisée est restreinte. On retrouve donc alors la loi (1) concernant les hétérocharges, avec la même valeur W . Effectivement, comme

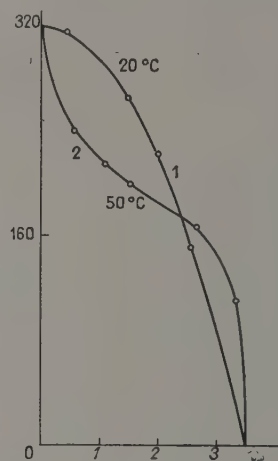


FIG. 3. — Huile de paraffine. En abscisse, d (en mm) ; en ordonnée, V (en V).

l'indique la courbe 2 de la figure 3, à une température supérieure à celle qui convient au minimum de i_F , la répartition des potentiels, dans l'huile de paraffine, s'effectue bien comme dans les liquides à hétérocharges, tandis qu'à température ordinaire (courbe 1 de la même figure), cette huile, comme cela a déjà été indiqué ⁽⁴⁾, fournit des homocharges.

Conclusion. — Si les liquides isolants sont dans des conditions telles qu'ils sont liquides à hétérocharges, la formule $i = A \exp(-W/kT)$, où A dépend du liquide utilisé et W a une valeur voisine de 0,45 eV ⁽⁵⁾, leur est applicable quelle que soit la nature des électrodes, qu'il s'agisse du courant initial ou du courant

⁽⁴⁾ GUIZONNIER (R.), Étude des charges spatiales dans les huiles isolantes soumises à une différence de potentiel continue (Rev. Gén. Élec., 1954, 63, 489).

⁽⁵⁾ Nous pensons que 0,41 eV, valeur obtenue à partir des valeurs initiales du courant comme nous l'avons rappelé au début de ce mémoire, est une valeur trop faible et que la valeur exacte de W est plus proche de 0,45 eV. En effet, 0,41 eV est une valeur moyenne calculée à partir de valeurs initiales du courant, parmi lesquelles se trouvent des résultats d'expériences effectuées sur des solides fondus, donc à température relativement élevée. Or, à mesure qu'on opère à des températures de plus en plus élevées, la décroissance du courant à partir de sa valeur initiale se fait en général de plus en plus rapidement ; aussi la valeur mesurée, en ces conditions, retenue comme valeur initiale, est certainement trop faible, d'où il résulte une valeur légèrement insuffisante pour W .

final. Les particules qui transportent le courant sont donc celles qui sont capables de franchir une barrière de potentiel de 0,45 eV. Ce nombre, convenant à tous les isolants liquides, doit correspondre à un élément commun de conductibilité contenu dans ces isolants. Comme l'humidité a une grande influence sur la conductibilité, on peut penser à des particules d'eau.

**3. — Influence de la température
sur la répartition des potentiels,
dans les liquides isolants,
soumis à une différence de potentiel constante ;**

par M. R. GUIZONNIER.

Cette Communication sera publiée ultérieurement.

SECTION MÉDITERRANÉE
(Marseille)

SÉANCE DU 9 JUIN 1956

Méthodes optiques de résonance magnétique ;

par M. A. KASTLER.

SÉANCE DU 29 JUIN 1956

**1. — Déterminations photoélectriques
des énergies d'activation
dans une photopile au sélénium ;**

par M. G. BLET.

SOMMAIRE. — La mesure photoélectrique des énergies d'activation d'un semi-conducteur peut se faire de plusieurs manières dont nous avons retenu deux, à savoir :

- a) étude de la courbe de sensibilité spectrale ;
- b) méthode de Lange-Richardson.

I. THÉORIES. — A. On suppose que la courbe de sensibilité spectrale a une décroissance exponentielle du côté des grandes longueurs d'onde, ce qui est très sensiblement exact. À partir de cette loi, il est possible de calculer la répartition des électrons aux différents niveaux inférieurs au fond de la bande de conduction. De là on peut déduire le nombre d'électrons libres excités thermiquement à partir de ces niveaux jusqu'au fond de la bande de conduction.

L'expression obtenue est de la forme

$$n(\text{total}) = A \exp(-E_0/2kT).$$

Cette forme représente ce qui se passe dans un milieu où existe un seul niveau défini E_0 au-dessous du fond de la bande de conduction. Nous avons affaire dans le cas présent à une infinité de niveaux constituant une bande. Nous définissons donc le niveau de seuil par la valeur E_0 obtenue dans l'équation ci-dessus. Or,

d'après les hypothèses faites, E_0 est l'énergie correspondant à la longueur d'onde pour laquelle la sensibilité spectrale de la photopile est tombée à la moitié de sa valeur maximum. Nous avons là une méthode très simple de déterminer l'énergie d'activation du photorécepteur.

B. Richardson a indiqué en 1912 que le courant photoélectrique fourni par une surface photoémissive recevant le rayonnement total du corps noir est relié à la température de celui-ci par la relation

$$I = BT^2 \exp(-h\nu_0/kT),$$

où ν_0 représente la fréquence du seuil photoélectrique. En 1938, Lange a eu l'idée d'appliquer cette relation à l'émission photoélectrique interne d'un semi-conducteur.

Remarquons que cette relation se traduit graphiquement par une ligne droite si l'on porte en abscisse $1/T$ et en ordonnée $\text{Log}(I/T^2)$. La pente de cette droite permet de calculer ν_0 . Nous avons adapté cette formule pour un usage simple à la règle à calcul par la transformation suivante :

$$\text{Log} \frac{I}{T^2} = \text{Log } B - \frac{h\nu_0}{kT}$$

devient

$$2 \times 2,302 \log \frac{\sqrt{I}}{T} = \text{Log } B - \frac{h\nu_0}{k \cdot 10^4} \frac{10^4}{T}.$$

Soit p la pente dans un diagramme en $\log(\sqrt{I}/T)$ et $10^4/T$. On en déduit, à partir des valeurs classiques de h et k ,

$$\lambda_0 = -\frac{0,312}{p} \quad (\text{en } \mu)$$

ou

$$E_0 = -4p \text{ (en eV),} \quad \text{à moins de 1 \% près.}$$

C. D'autres relations théoriques permettent de relier l'énergie d'activation à d'autres grandeurs caractéristiques comme l'indice de réfraction ou la constante diélectrique.

Les niveaux d'énergie d'un électron au sein d'un semi-conducteur de constante diélectrique ϵ sont diminués par ϵ^2 relativement aux niveaux du même électron dans un atome isolé. On en déduit que l'énergie nécessaire pour exciter un électron sera réduite dans la même proportion, donc le produit $E_0 \epsilon^2$ doit être approximativement constant.

De plus, on sait que la constante diélectrique est égale au carré de l'indice de réfraction pour les grandes longueurs d'onde, d'où

$$E_0 n^4 = K.$$

On en déduit

$$\frac{dE}{dT} = -\frac{2E}{\epsilon} \frac{d\epsilon}{dT}.$$

II. RÉSULTATS EXPÉRIMENTAUX. — A. Le tracé des courbes de sensibilité spectrale se fait aisément en plongeant la photopile dans un cryostat à azote liquide permettant de descendre jusqu'au point triple de l'azote soit 67 °K. Il faut évidemment stabiliser la température à 1 ou 2° près (sauf à 273, 80 et 67 °K

où l'on a des points fixes). Nous avons opéré à 273, 225, 175, 125, 80 et 67 °K.

De plus il importe de prendre certaines précautions en ce qui concerne la photopile ; celle-ci doit être réactivée et stabilisée, c'est-à-dire que, une fois refroidie à la température désirée, elle doit être éclairée par une radiation de longueur d'onde voisine de 0,75 μ jusqu'à ce que sa sensibilité ne varie plus. A ce moment il est possible de déterminer avec soin la courbe de sensibilité spectrale (fig. 1).

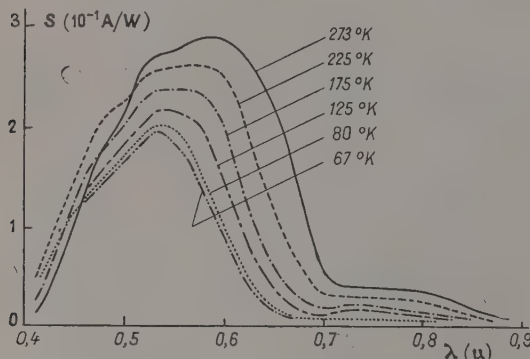


FIG. 1. — Cellule réactivée ; sensibilité spectrale.

Les valeurs de λ_0 et E_0 ainsi déterminées pour les deux maxima sont rassemblées dans le tableau I.

TABLEAU I

| T (°K) | 273 | 225 | 175 | 125 | 80 | 67 |
|-------------|-------|-------|-------|-------|-------|-------|
| λ_0 | 0,670 | 0,653 | 0,633 | 0,614 | 0,605 | 0,605 |
| E_0 | 1,85 | 1,90 | 1,96 | 2,02 | 2,05 | 2,06 |
| λ_0 | 0,838 | 0,805 | 0,775 | | | |
| E_0 | 1,48 | 1,54 | 1,58 | | | |

Pour les températures basses les déterminations du second maximum sont trop incertaines pour que l'on puisse en tirer des valeurs numériques.

B. La méthode de Lange-Richardson ne nécessite pas de monochromateur mais, pour utiliser la totalité du rayonnement émis par le corps noir, il faut employer une optique à miroirs. Le corps noir est un filament de tungstène pour lequel on effectue la mesure de la température au pyromètre et on corrige ensuite la valeur lue pour avoir la température de couleur.

Les points expérimentaux se situent sur une courbe décomposable en deux segments de droite correspondant aux deux maxima de sensibilité. Ces tronçons se coupent dans la région $T_0 = 1\,790$ °K (fig. 2).

En effet, pour les températures peu élevées du corps noir, celui-ci n'émet pratiquement que du rouge, nous aurons donc les tronçons de droite relatifs au maximum voisin de 0,75 μ . Aux températures élevées, la participation du maximum vers 0,57 μ devient prépondérante. La zone de transition doit se situer approximativement pour une température telle que les énergies rayonnées à 0,57 μ et 0,75 μ soient dans le rapport inverse des sensibilités de la cellule pour ces deux longueurs d'onde. Ce rapport est voisin de 7,5. L'appli-

cation de la formule de Wien (valable dans ce domaine) donne $T_0 = 1\,760$ °K. L'accord est donc très satisfaisant.

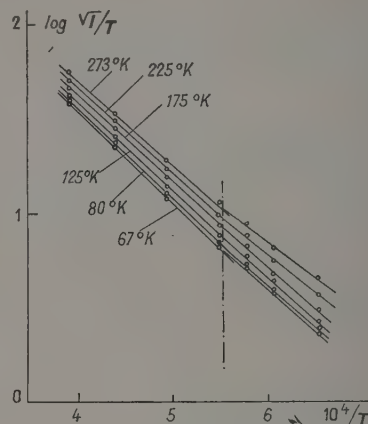


FIG. 2. — Lignes photoélectriques de Lange-Richardson.

Les résultats pour λ_0 et E_0 sont groupés dans le tableau II.

TABLEAU II

| T (°K) | 273 | 225 | 175 | 125 | 80 | 67 |
|-------------|-------|-------|-------|-------|-------|-------|
| λ_0 | 0,674 | 0,669 | 0,645 | 0,632 | 0,622 | 0,622 |
| E_0 | 1,84 | 1,88 | 1,92 | 1,96 | 1,99 | 1,99 |
| λ_0 | 0,832 | 0,810 | 0,794 | 0,780 | 0,760 | 0,760 |
| E_0 | 1,49 | 1,53 | 1,56 | 1,59 | 1,63 | 1,63 |

C. Des deux tableaux précédents on peut déduire les dérivées dE_0/dT .

Les variations de E_0 avec T sont très sensiblement

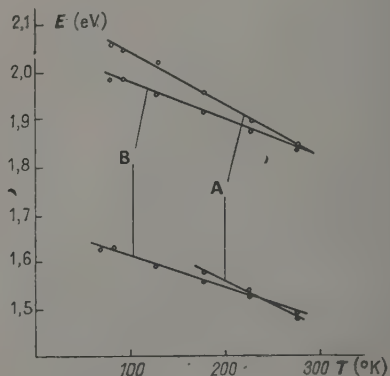


FIG. 3. — Variation de l'énergie d'activation avec la température : A, courbes de sensibilité ; B, Lange-Richardson.

linéaires (fig. 3) et donnent comme valeur pour chaque maximum

| dE_0/dT (eV/°C) | Méthode A | Méthode B |
|-------------------|-------------------------|------------------------|
| Max. à 0,57 μ | — 10,3.10 ⁻⁴ | — 7,91.0 ⁻⁴ |
| Max. à 0,75 μ | — 10,0.10 ⁻⁴ | — 6,81.0 ⁻⁴ |

Les valeurs de E_0 trouvées à 273 °K donnent pour la constante K les valeurs suivantes, en prenant pour indice dans l'infrarouge $n = 2,46$,

$$K = E_0 n^4 = 68 \text{ et } 55$$

pour chaque maximum respectivement.

III. CONCLUSIONS. — Les résultats ci-dessus prouvent que les deux méthodes mettent en évidence les deux maxima de sensibilité et donnent des valeurs très comparables pour les énergies d'activation à diverses températures.

Les constantes $K = 68$ et 55 sont d'un ordre de grandeur compatible avec les valeurs rassemblées par Moss pour 18 semi-conducteurs.

Les valeurs élevées de dE_0/dT , valeurs cohérentes vu la délicatesse des mesures, sont à rapprocher de la valeur — 8,8.10⁻⁴ trouvée par Monch pour le sélénium amorphe alors que l'on admet la valeur de — 5.10⁻⁴ pour le sélénium métallique.

Elles sont également à rapprocher de la valeur — 13.10⁻⁴ que l'on peut déduire de la variation de la constante diélectrique avec la température d'après Tamman.

BLET (G.), *C. R. Acad. Sc.*, 1956, **242**, 95.

LONGE (B.), *Photoelements*, New-York, 1938.

MONCH (G.), *Phys. Zeits.*, 1939, **40**, 487.

MOSS (T. S.), *Photoconductivity in the elements*, Butterworths sci. Publ., London, 1952.

RICHARDSON (O. W.), *Phil. Mag.*, 1912, **23**, 615 ; 1913, **24**, 570.

TAMMAN (G.), *Zeits. anorg. Chem.*, 1931, **197**, 1.

2. — Rôle des molécules d'acides gras dans la formation des germes de condensation ;

par M. A. BRIN et M^{me} A. BRIN,
Laboratoire de Physique Industrielle,
Faculté des Sciences de Marseille.

Sur des corps non mouillables comme la paraffine, la condensation de la vapeur d'eau ne se fait qu'en un très petit nombre de points qui constituent des germes de condensation (fig. 1). Au moyen d'un dispositif déjà

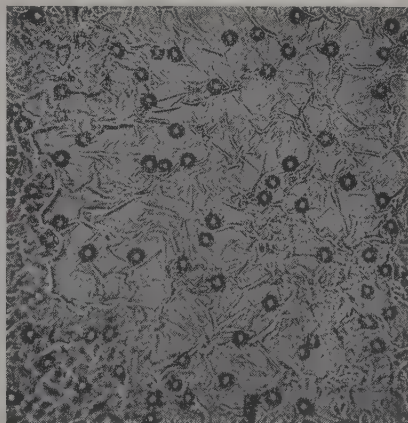


Fig. 1. — Paraffine solide.

décrit par l'un de nous [1], [2], nous avons étudié le rôle des molécules d'acides gras dans la formation des germes de condensation.

TABLEAU I

| Acide stéarique, paraffine | | | | | | | | | | | | | Moyenne |
|--|------|------|------|------|------|-----|------|-----|------|-----|------|-----|-------------------------------|
| $\theta_1 = 24,7^\circ$ $\Delta\theta = 3,7^\circ$ | | | | | | | | | | | | | |
| Acide stéarique pur | 21 | 93 | 16 | 10,6 | | | | | | | | | 13,7 1 000/mm ² |
| Mél. ac. stéarique-paraffine solide 1/10 ac. stéarique. | 14 | 3,44 | 6 | 8,8 | 14 | 9,5 | 3,4 | 5,2 | 10,9 | 8,7 | | | 8,4 630/mm ² |
| Mél. ac. stéarique-paraffine solide 1/100 ac. | 13,9 | 5 | 10,2 | 7,1 | 11,1 | 1,3 | 13,2 | 5,5 | 6,4 | 6,9 | 13,6 | 8,8 | 12,5 645/mm ² |
| Mél. ac. stéarique-paraffine solide 1/1 000 ac. | 16,4 | 5,4 | 5,3 | 4 | 8,9 | 3,1 | 5,7 | 7,6 | 4,8 | 4 | | | 5,1 380/mm ² |

Le corps étudié est placé en couche mince sur un couvre-objet de microscope qui est fixé au plafond de la chambre de condensation (fig. 2). Un courant d'eau maintient le corps à une température θ_2 . La chambre de condensation est constituée par un becher rempli d'eau maintenue à la température θ_1 jusqu'à 1 cm du bord. La surface est observée au moyen d'un microscope à travers le corps, le couvre-objet et le courant d'eau supérieur, l'objectif du microscope étant immergé dans l'eau. Dans les expériences réalisées, θ_1 est égal à 25 °C et la différence $\theta_1 - \theta_2$ à 3,7 °C. Dans ces

conditions, sur la paraffine solide la densité de germes de condensation est de 300 par mm².

Si l'on considère des corps solides (paraffine à point de fusion relativement élevé, acide stéarique), la présence dans un corps neutre (paraffine) de molécules d'acide stéarique augmente le nombre de points de condensation (tableau I), mais cette augmentation est relativement faible (fig. 3 et 4). Cependant sur l'acide stéarique, les gouttelettes d'eau déposées n'ont plus une forme régulière et ont tendance à s'étaler. Cette faible augmentation du nombre de germes de conden-

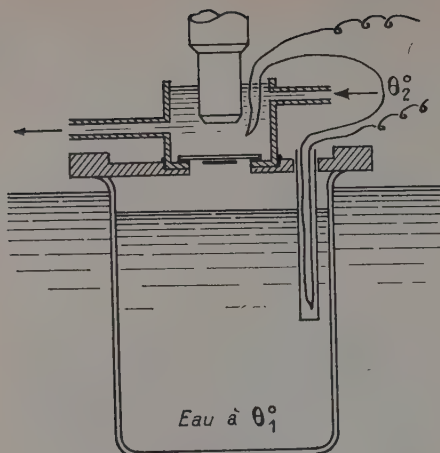


FIG. 2.

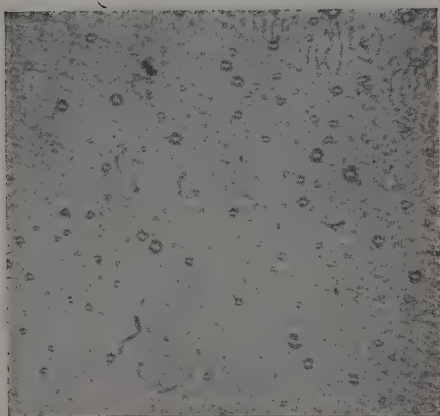


FIG. 3. — Acide stéarique.

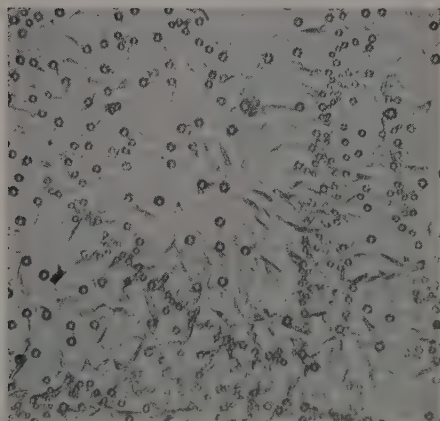


FIG. 4. — Mélange non homogène de paraffine solide et d'acide stéarique.

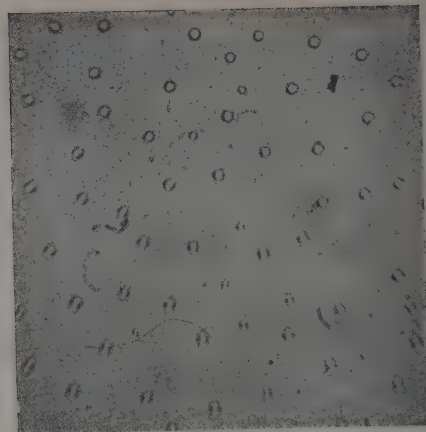


FIG. 5. — Huile de paraffine.

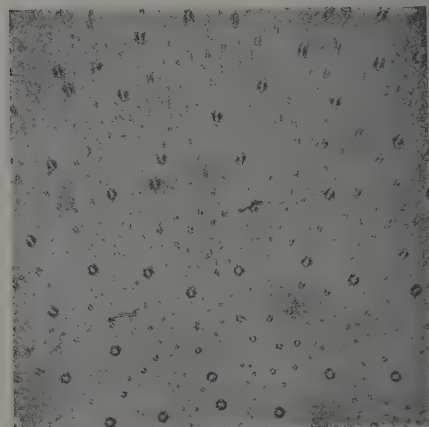


FIG. 6. — Solution d'acide oléique dans l'huile de paraffine, $c = 5,2 \cdot 10^{-4}$.

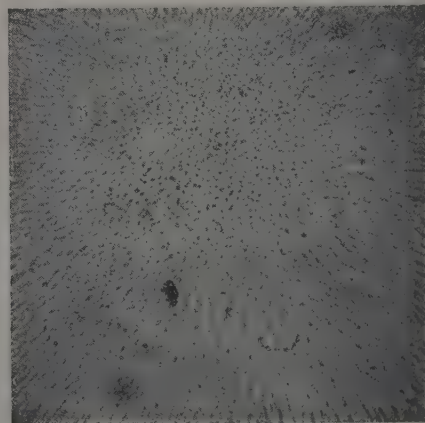


FIG. 7. — Solution d'acide oléique dans l'huile de paraffine, $c = 2 \cdot 10^{-3}$.

avec

$$\sigma_n = \frac{-\omega^2 (2l_p)^4}{4(E_p I_p) l_p^4} M, \quad \sigma = \sigma_0,$$

$$-\alpha^2 = \left(\frac{2l_p}{\pi}\right)^4 \frac{k - \omega^2 \mu}{E_p I_p}, \quad \xi = \frac{\pi x}{2l_p}$$

et $B = 0$ par suite de la condition aux limites $f'_0 = 0$ (origine des abscisses choisie au milieu de la poutre par raison de symétrie).

Les deux conditions aux limites

$$f''\left(\frac{\pi}{2}\right) = \frac{\mathcal{N}}{E_p I_p} \frac{4l_p^2}{\pi^2} \quad \text{et} \quad f'''_{\pi/2} = 0 \quad (5)$$

liées aux équations (4), nous permettent de tirer un paramètre (σ_n , A_n , \mathcal{N}) en fonction des deux autres (σ , \mathcal{N}); σ_2 et σ_1 ne nous intéressent pas car elles correspondent à des charges fictives (cf. *J. Physique Rad.*, 1955, 16, 107 S); par suite, a_n , $f(x)$, $f'(\pi/2)$ peuvent être donnés en fonction de \mathcal{N} et de σ . C'est ainsi qu'on trouve

$$f'_v\left(\frac{\pi}{2}\right) = \frac{\mathcal{N}}{E_p I_p} \frac{2l_p}{\pi \sqrt{\alpha}} \frac{1}{\cos \frac{\sqrt{\alpha}\pi}{2} \operatorname{sh} \frac{\sqrt{\alpha}\pi}{2} + \operatorname{ch} \frac{\sqrt{\alpha}\pi}{2} \sin \frac{\sqrt{\alpha}\pi}{2}} \times$$

$$\left\{ \frac{\left(\operatorname{sh} \frac{\sqrt{\alpha}\pi}{2} - \sin \frac{\sqrt{\alpha}\pi}{2}\right)^2}{\left(\operatorname{ch} \frac{\sqrt{\alpha}\pi}{2} \sin \frac{\sqrt{\alpha}\pi}{2} + \operatorname{sh} \frac{\sqrt{\alpha}\pi}{2} \cos \frac{\sqrt{\alpha}\pi}{2}\right) \frac{\alpha \sqrt{\alpha}}{\pi \sigma} - \left(\operatorname{ch} \frac{\sqrt{\alpha}\pi}{2} \cos \frac{\sqrt{\alpha}\pi}{2} + 1\right)} - 2 \operatorname{sh} \frac{\sqrt{\alpha}\pi}{2} \sin \frac{\sqrt{\alpha}\pi}{2} \right\}. \quad (6)$$

Pour le cas de la béquille qui n'est pas chargée, l'équation différentielle ne comporte pas de termes périodiques, le déterminant aux valeurs propres est le déterminant classique donné par les conditions aux limites : $f''(l_b) = 0$, $f''(0) = \mathcal{N}/EI$, $f'''(0) = 0$ et $f'''(l_b) = 0$. C'est ainsi que le calcul nous donne

$$f'_b(0) = \frac{2\mathcal{N}l_b}{E_b I_b \pi \sqrt{\beta}} \frac{\operatorname{ch} \frac{\sqrt{\beta}\pi}{2} \sin \frac{\sqrt{\beta}\pi}{2} + \operatorname{sh} \frac{\sqrt{\beta}\pi}{2} \cos \frac{\sqrt{\beta}\pi}{2}}{1 - \operatorname{ch} \frac{\sqrt{\beta}\pi}{2} \cos \frac{\sqrt{\beta}\pi}{2}}$$

avec

$$-\beta^2 = \left(\frac{2l_b}{\pi}\right)^4 \frac{k - \omega^2 \mu}{E_b I_b}. \quad (7)$$

L'équation aux valeurs propres sera donnée en écrivant l'égalité des pentes de la poutre et des béquilles au point de raccordement (l'angle droit reste droit au cours de la déformation) :

$$\left\{ \frac{2 \operatorname{sh} p \sin p + \frac{(\sin p - \operatorname{sh} p)^2}{mp^3} (\operatorname{ch} p \sin p + \operatorname{sh} p \cos p)}{\operatorname{ch} p \cos p + 1 + \frac{kl_b^4}{E_p I_p} (p^4 + \frac{kl_b^4}{E_p I_p})} \right\} \frac{1}{\operatorname{sh} p \cos p + \sin p \operatorname{ch} p} = \frac{(E_p I_p)^{3/4} \operatorname{ch} q \sin q + \operatorname{sh} q \cos q}{(E_b I_b)^{3/4} (1 - \operatorname{ch} q \cos q)}, \quad (8)$$

$$q = p \frac{l_b}{l_p} \sqrt[4]{\frac{E_p I_p}{E_b I_b}},$$

$$p = \frac{\sqrt{\alpha}\pi}{2},$$

$$q = \frac{\sqrt{\beta}\pi}{2},$$

$$N = \frac{1}{2\pi} \sqrt{\frac{k}{\mu} + \frac{E_p I_p}{\mu l_p^4} p^4},$$

$$m = 2 \mu l_p = \text{masse totale de la poutre.}$$

Cas particulier. — Si la béquille disparaît (soit que l_b tende vers zéro, soit que $E_b I_b$ tende vers zéro, c'est-à-dire que q tende vers zéro), le second membre de l'équation (8) croît indéfiniment et on retrouve l'équation aux valeurs propres de la poutre libre (9) :

$$\frac{-mp^3}{M(p^4 + \frac{kl_b^4}{E_p I_p})} = \frac{\operatorname{ch} p \cos p + 1}{\operatorname{ch} p \sin p + \operatorname{sh} p \cos p}; \quad (9)$$

si en outre M tend vers zéro l'équation revient à

$$\operatorname{ch} p \sin p + \operatorname{sh} p \cos p = 0.$$

La résolution de l'équation (8) se fait graphiquement. Les valeurs propres sont données par l'abscisse des points d'intersection des deux séries de courbes $H(p)$ et $G(q)$. Nous avons tracé sur la figure 2 ces fonctions pour $q = 2p$, $q = p$, $q = 0,5p$; en interpolant pour $q = 0,75p$ et $0,25p$ nous nous trouvons alors dans les conditions expérimentales où les béquilles avaient successivement pour longueur 20, 15, 10, 5 cm et la poutre 40 cm.

De l'examen de ces courbes, il résulte qu'à chaque fréquence propre de la poutre seule correspondent deux fréquences propres après couplage avec les béquilles : en effet, pour la poutre, les valeurs propres étaient données par l'abscisse des points d'intersection

de courbes semblables à $G(q)$ et une courbe représentant la charge concentrée contenue entièrement dans le demi-plan supérieur ; ici $H(p)$ donne des solutions également dans le demi-plan inférieur dans l'intervalle d'abscisses considéré. Comme dans le cas de la poutre, les fréquences propres se déplacent vers les graves lorsque M augmente. Enfin, il est à noter que plusieurs fréquences subsistent quel que soit le rapport de longueur poutre-béquille ($q = 2p$ et $q = p$ pour $p = 3$; $q = p$ et $q = 0,5p$ pour $p = 6$). Ces

courbes ont été tracées pour $M = 0$ et $M = 10$ g, conformément à l'expérience réalisée sur un portique en duralumin reposant (poutre et béquilles) sur des matelas de caoutchouc-mousse. Les caractéristiques du duralumin et du caoutchouc ont été déterminées préalablement par des méthodes acoustiques.

Le tableau ci-dessous indique les résultats expérimentaux ainsi que les résultats prévus par la précédente théorie :

| p thé. | $q = p$ | | p thé. | $q = 0,75 p$ | | p thé. | $q = 0,5 p$ | | p thé. | $q = 0,25 p$ | |
|-------------|-------------|-------------|-------------|--------------|-------------|-------------|-------------|-------------|-------------|--------------|-------------|
| | N cal. | N exp. | | N cal. | N exp. | | N cal. | N exp. | | N cal. | N exp. |
| 1,4 | 92 | 92 | 1,8 | 110 | 100 | 1,9 | 120 | 112 | 1,8 | 110 | 98 |
| 2,5 | 185 | 173 | 2,9 | 235 | 220 | 3,4 | 320 | 316 | 4,7 | 600 | 557 |
| 4,55 | 570 | 525 | 5,1 | 720 | 692 | 5,7 | 900 | 900 | 6,6 | 1 200 | 1 177 |
| 5,7 | 900 | 890 | 6,7 | 1 200 | 1 130 | 9,8 | 2 600 | 2 550 | 9 | 2 250 | 2 450 |
| 7,6 | 1 600 | 1 900 | | | | | | | | | |
| 9 | 2 240 | 2 250 | | | | | | | | | |
| 10,5 | 3 000 | 3 000 | | | | | | | | | |

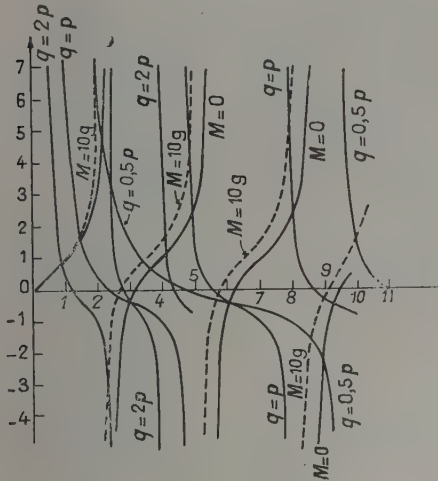


FIG. 2. — Équation aux valeurs propres :

$$\frac{2 \operatorname{sh} p \sin p}{\operatorname{ch} p \sin p + \operatorname{sh} p \cos p} = X \frac{\operatorname{ch} q \sin q + \operatorname{sh} q \cos q}{1 - \operatorname{ch} q \cos q},$$

$$X = \left[\frac{EI_p}{EI_b} \right]^{3/4}, \quad q = \frac{I_b}{I_p} \left[\frac{EI_p}{EI_b} \right]^{1/4} p.$$

En abscisse, p ; en ordonnées, $H(p)$ et $G(q)$.

Bien que la concordance des résultats soit assez satisfaisante, les fréquences expérimentales sont parfois plus graves que les fréquences calculées ; cela nous amène à croire que les conditions de contrainte expérimentales sont moins sévères que celles prévues dans les hypothèses du calcul. En effet, lorsque l'on applique une contrainte à un système vibrant, le spectre des fréquences propres est déplacé vers les aigües.

4. — Étude mathématique des systèmes non linéaires du premier ordre ;

par M. L. SIDERIADES,

Centre National de la Recherche Scientifique, Marseille.

SOMMAIRE. — On définit une matrice de transformation aux valeurs propres permettant de généraliser les résultats de Poincaré pour les systèmes du premier ordre en analyse topologique. On étudie différentes classes de points singuliers et on énonce divers théorèmes régissant leur comportement au cours de transformations de nature physique. On introduit une nouvelle notion de spectre associé à un système.

I. THÉORIE DES VALEURS PROPRES APPLIQUÉE AUX POINTS SINGULIERS. — Considérons un système dynamique dont les équations sont

$$\frac{dx}{dt} = X(x, y), \quad \frac{dy}{dt} = Y(x, y),$$

X, Y étant des fonctions analytiques de leurs arguments.

On appellera courbes de base les courbes dynamiques $\dot{X} = \dot{Y} = 0$. Ce sont les isoclines de base du faisceau $Y - \lambda X = 0$.

À tout point $P(x, y)$ du plan, attachons une matrice α définie par

$$\alpha = \begin{bmatrix} X'_x & X'_y \\ Y'_x & Y'_y \end{bmatrix}.$$

Sous certaines conditions évidentes de définition et de continuité, la matrice α définit une transformation. Si le vecteur u auquel elle s'applique reste parallèle à lui-même à une contraction ou à une dilatation près, ce vecteur sera un vecteur propre de α , sa direction une direction propre de α et le coefficient de contraction ou de dilatation une valeur propre de α , soit μ . La transformation ainsi définie s'écrit

$$\alpha \vec{u} = \mu \vec{u}$$

et, comme $\vec{u} \neq 0$, le déterminant du système linéaire et homogène

$$\begin{cases} (X'_x - \mu) u_1 + X'_y u_2 = 0, \\ Y'_x u_1 + (Y'_y - \mu) u_2 = 0, \end{cases}$$

est nul.

L'équation aux valeurs propres ou équation caractéristique de la matrice α est

$$\mu^2 - (X'_x + Y'_y) \mu + (X'_x Y'_y - X'_y Y'_x) = 0$$

et les directions propres correspondantes ont pour valeur

$$\frac{u_2}{u_1} = \frac{-X'_x + Y'_y \pm \sqrt{\Delta}}{2X'_y}$$

avec $\Delta = (X'_x + Y'_y)^2 - 4(X'_x Y'_y - X'_y Y'_x)$.

La transformation α ainsi définie est particulièrement intéressante quand il s'agit d'un point commun aux deux courbes de base, qui est point singulier pour les courbes intégrales car alors les directions propres ont une signification géométrique bien déterminée. Considérons en effet une isocline quelconque. Sa pente en un tel point singulier égale à $\left(\frac{\lambda X'_x - Y'_x}{Y'_y - \lambda X'_y}\right)_S$ est en général différente de λ . L'égalité conduit à l'équation aux directions propres

$$X'_y \lambda^2 + (X'_x - Y'_y) \lambda - Y'_x = 0.$$

On arrive donc au résultat géométrique suivant :

Les directions propres résultant de l'équation caractéristique sont en un point singulier les tangentes communes à l'isocline et à l'intégrale qui passent par ce point.

La matrice α , attachée à un point singulier, fait apparaître deux couples de grandeurs fondamentales : les *valeurs propres* qui sont des coefficients de contraction ou de dilatation attachés au point singulier lui-même ;

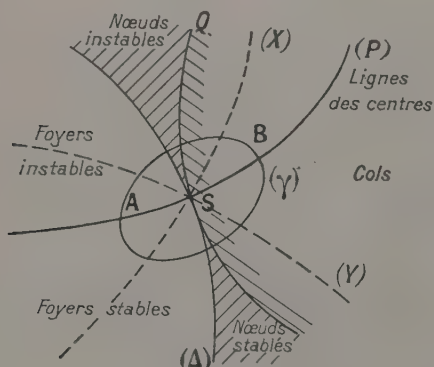


FIG. 1.

les *directions propres* qui sont les directions suivant lesquelles s'exercent ces contractions ou ces dilatations.

Étant évidemment dépendantes, elles obéissent à la même condition de réalité, déterminée par le signe de Δ . De leur étude, dépendent les régions où se placent à priori les points singuliers dans le plan (fig. 1).

$$\Delta \equiv P^2 - 4Q \quad \text{avec} \quad \begin{cases} P = X'_x + Y'_y, \\ Q = X'_x Y'_y - X'_y Y'_x. \end{cases}$$

Si S est un point commun à (P) et (Q), la courbe (Δ) passant par S est tangente à (Q). En effet

$$-\left(\frac{\Delta'_x}{\Delta'_y}\right)_S = \left(\frac{-2PP'_x + 4Q'_x}{2PP'_y - 4Q'_y}\right)_S = -\left(\frac{Q'_x}{Q'_y}\right)_S.$$

Considérons la région $\Delta < 0$.

(P) est le lieu des points singuliers à trace nulle. La somme des valeurs propres étant nulle, les dilatations et les contractions s'équilibrent dans toute direction propre autour du point singulier. Cet équilibre omnidirectionnel se traduit graphiquement par des courbes fermées entourant le point qui est un *centre*. Ces courbes correspondent à des solutions périodiques du système. Leur caractère cyclique est dû à l'isotropie des directions propres, le caractère fermé étant dû à l'équilibre des valeurs propres. La signification physique est un auto-entretien (absence d'échange d'énergie avec le milieu extérieur).

De part et d'autre de la ligne des centres, il y a rupture de l'équilibre pour les valeurs propres, mais conservation du caractère d'isotropie : les courbes intégrales s'enroulent ou se déroulent autour du point singulier qui est un *foyer*.

De l'autre côté du point S, dans la région $Q < 0$, on trouve cette fois en tout point singulier deux directions propres réelles suivant lesquelles s'exercent les attractions et les répulsions (car leur produit est négatif) ; ces directions sont celles des tangentes à deux intégrales passant réellement par ce point qui est un *col*. Ces intégrales particulières (ou singulières) apparaissent comme des séparatrices, car toute intégrale infiniment voisine ne passe pas par le point singulier.

Enfin, dans la région résiduelle, valeurs et directions propres étant réelles, le produit est positif ; le point singulier est à caractère unique : c'est un *nœud* par lequel passent toutes les courbes intégrales.

En résumé, le découpage à priori du plan fait apparaître, pour les points singuliers, des cols pour

$$X'_x Y'_y - X'_y Y'_x < 0,$$

des foyers pour

$$(X'_x + Y'_y)^2 - 4(X'_x Y'_y - X'_y Y'_x) < 0,$$

des nœuds dans la région résiduelle, exceptionnellement des centres pour $X'_x + Y'_y = 0$. Si on se déplace, sur une ligne fermée (γ) entourant S, d'un centre-foyer A à un centre-col B, on peut obtenir une configuration des intégrales au voisinage immédiat du point singulier et étudier leur déformation. On obtient 8 catégories de points singuliers qui se divisent en 3 classes (fig. 2) :

A) *Points singuliers à caractères simple* : foyer, nœud, col.

B) *Points singuliers à caractère double* : centre-foyer, nœud-foyer, nœud-col, centre-col.

C) *Points singuliers à caractère multiple*. Ils constituent un passage à la limite. Le contour (γ) est réduit au point S. Le point singulier présente au moins trois

caractères. Cette catégorie de points comprend les points singuliers essentiels.

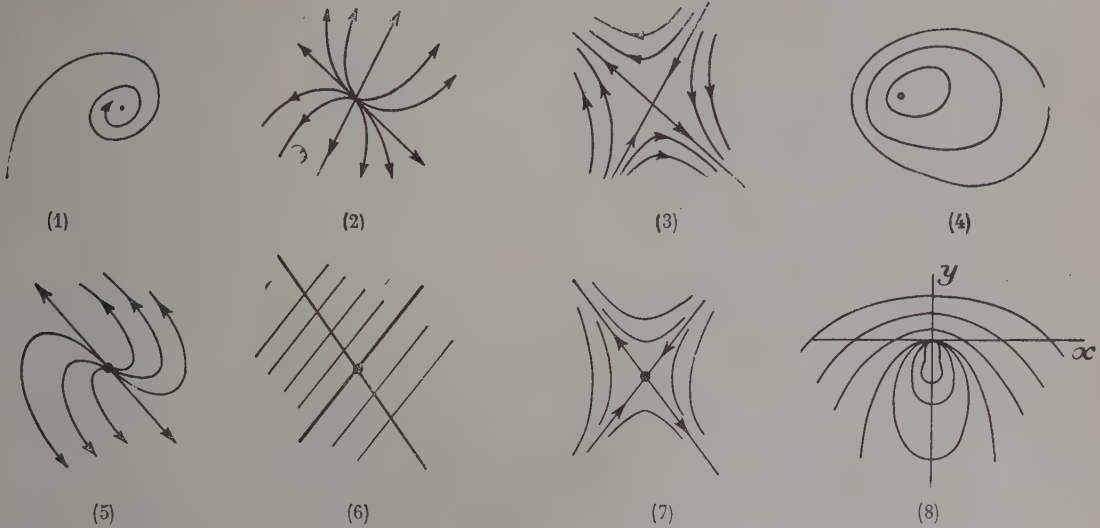


FIG. 2.

(1) Foyer, (2) nœud, (3) col, (4) centre-foyer, (5) nœud-foyer, (6) nœud-col, (7) centre-col, (8) nœud-centre-foyer.

Par exemple, le cas (8) de la figure 2 représente un nœud-centre-foyer ($x = y = 0$) du système

$$\begin{cases} X = 1 - y \operatorname{Log} |x|, \\ Y = x(x^2 + 2y - a^2). \end{cases}$$

Exemple numérique. — Prenons un exemple complet comprenant des points singuliers à caractères simple, double et multiple. Soit à résoudre

$$\frac{dx}{1 - y \operatorname{Log} |x|} = \frac{dy}{x(x^2 + 2y - a^2)}.$$

L'origine est un point singulier essentiel. Déterminons a^2 de façon que deux des points singuliers se trouvent sur la ligne des centres. La méthode de Newton appliquée à la résolution de

$$1 - 2x^2 \operatorname{Log} |x| = 0$$

fournit à 10^{-5} près les valeurs

$$x_0 = 1,327\ 86, \quad y_0 = 3,526\ 38$$

et pour

$$a = 2,969\ 15, \quad a^2 = 8,815\ 9.$$

De cette façon, ces deux points sont des centres-cols. Les deux autres points singuliers sont des foyers. Les courbes Δ , P , Q sont les suivantes :

$$\Delta \equiv (y - 2x^2)^2 - 4x^2[(3x^2 + 2y - a^2) \operatorname{Log} |x| - 2y],$$

$$(P) \equiv y - 2x^2,$$

$$(Q) \equiv (3x^2 + 2y - a^2) \operatorname{Log} |x| - 2y.$$

Le découpage a priori du plan pour les points singuliers est indiqué sur la figure 3.

Les points A, B sont des centres-cols. On trouve pour

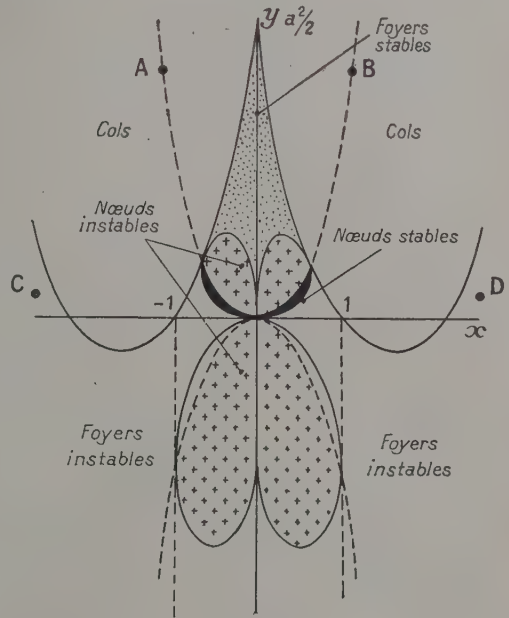


FIG. 3.

les directions propres en ces points les racines de l'équation

$$\lambda^2 \operatorname{Log} |x| + \lambda \left(2x + \frac{y}{x} \right) + 3x^2 + 2y - 8,816 = 0,$$

soit 17,8 et -0,7.

Les points C, D sont des foyers instables.

L'origine enfin, se trouve à la séparatrice commune des nœuds stables-instables, foyers instables, centres.

Le tracé des courbes intégrales (fig. 4 et 5) montre que l'origine possède effectivement les caractères d'un nœud pour $y < 0$, d'un centre-foyer pour $y > 0$.

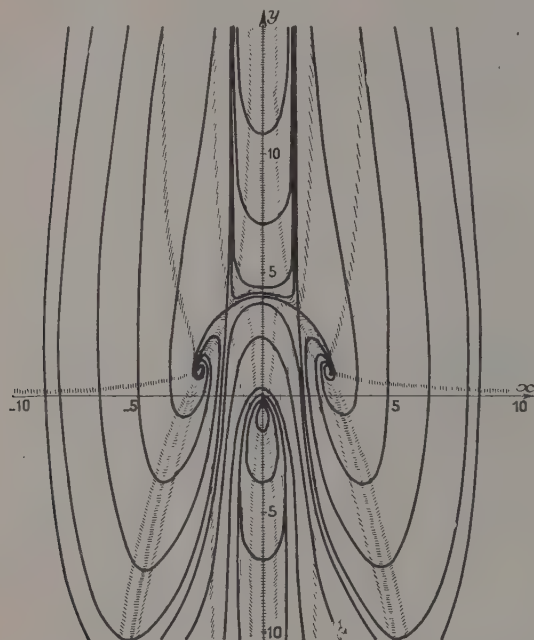


FIG. 4. — Résolution graphique de l'équation

$$\frac{dx}{1 - y \operatorname{Log} |x|} - \frac{dy}{x(x^2 + 2y - a^2)}.$$

Remarques. — a) La méthode matricielle préconisée avec le découpage à priori du plan pour les points singuliers permet une étude directe des singularités par un aspect graphique et évite des développements limités (du genre Taylor) en de pareils points. Les points singuliers à caractère multiple (où les développements en série ne s'appliquent pas ou difficilement) sont traités de la même façon que les points simples. Le langage est ici plus général, les considérations locales en un point (cas des développements en série) sont étendues à tout le plan d'un seul coup. Nous avons vu sur un exemple que le découpage autour du point singulier multiple permet de statuer sur la nature complète du point et, par voie de conséquence, sur les intégrales au voisinage immédiat de ce point.

b) Une analogie frappante entre la disposition des courbes intégrales et l'allure des lignes de courant en hydrodynamique, des lignes de déformation en élasticité, etc. permet d'envisager un système de *torseurs* attachés en chaque point singulier.

En un foyer, on a un torseur unique.

Un col résulte du passage à la limite de quatre torseurs de signes différents disposés sur les courbes de base suivant un contour fermé (limite = γ infini).

Un nœud résulte identiquement de quatre torseurs de même signe. Le rôle de l'obstacle, joué par les inté-

grales singulières dans le cas d'un col, se réduit pour un nœud à un point unique à caractère de puits ou de source avec accumulation ou génération d'énergie.

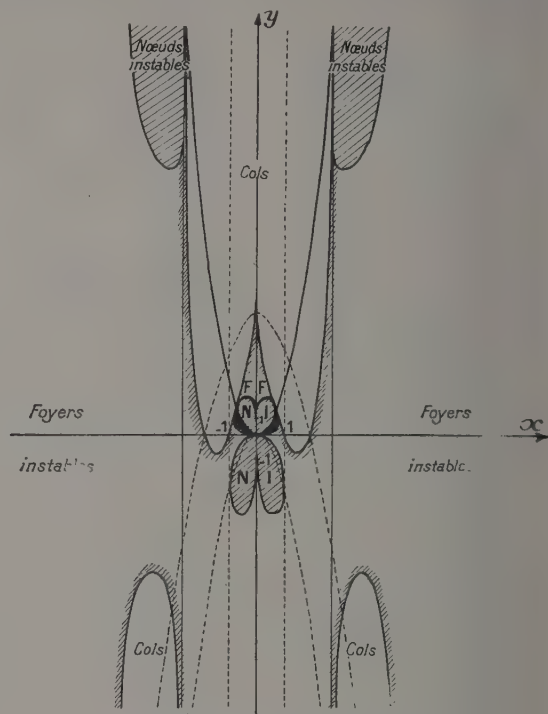


FIG. 5. — Découpage du plan pour les points singuliers de l'équation

$$\frac{dx}{1 - y \operatorname{Log} |x|} = \frac{dy}{x(x^2 + 2y - a^2)} \quad (a = 2,969\ 15).$$

II. COMPORTEMENT DES POINTS SINGULIERS AU COURS DE TRANSFORMATIONS. — Considérons un système non linéaire du premier ordre de la forme

$$\begin{cases} -D \dot{x} + B \dot{y} + \bar{X} = 0, \\ C \dot{x} - A \dot{y} + \bar{Y} = 0, \end{cases}$$

où $A, B, C, D, \bar{X}, \bar{Y}$ sont des fonctions analytiques de x, y .

Ce système est équivalent au suivant :

$$\frac{dx}{\bar{X}} = \frac{dy}{\bar{Y}} = \frac{dt}{T},$$

avec

$$X = A\bar{X} + B\bar{Y}, \quad Y = C\bar{X} + D\bar{Y}, \quad T = AD - BC,$$

soit, sous forme matricielle

$$[u] = [T] [u] \quad [u] = \begin{bmatrix} X \\ Y \end{bmatrix}, \quad [u] = \begin{bmatrix} \bar{X} \\ \bar{Y} \end{bmatrix}, \quad [T] = \begin{bmatrix} A & B \\ C & D \end{bmatrix}.$$

On appellera système statique le système $[u] = 0$, système dynamique le système $[u] = 0$. Les conditions nécessaires et suffisantes pour que le produit de deux matrices soit nul se traduisent ici par

$$a) \quad \bar{X} = \bar{Y} = 0 \quad \text{entraîne} \quad X = Y = 0.$$

la parabole $4\pi - \sigma^2 = 0$ est la séparatrice des nœuds et des foyers ; $\sigma > 0$ équivaut à une dilatation du système en un point singulier et par suite, à une instabilité du système en ce point.

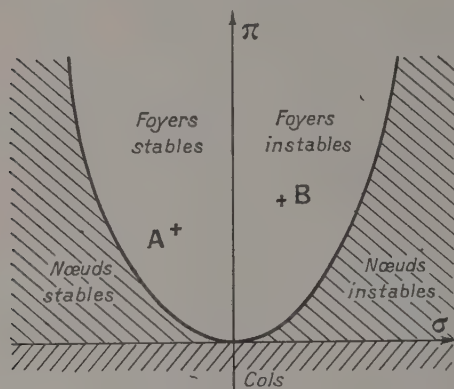


FIG. 6.

Puisque ce plan quadratique est universel, on peut définir le *spectre* d'un système par la disposition des points singuliers dans ce plan. Ainsi, un point tel que A dans la zone des foyers stables constitue une position d'équilibre et, par suite, caractérise un système du genre *bascule* ; par contre, un point tel que B dans la zone des foyers instables caractérise un *oscillateur*.

Considérons par exemple les oscillations d'une triode. Elles sont régies par un système non linéaire dans le plan de phases ($x = v$, $y = dv/dt$). Le spectre d'un tel système est constitué par un point singulier unique M de coordonnées

$$\sigma = -(a + bM), \quad \pi = \omega_0^2 \text{ (fig. 7),}$$

où a et b sont des constantes positives, M est l'inductance mutuelle et ω_0 la pulsation propre du bouillon.

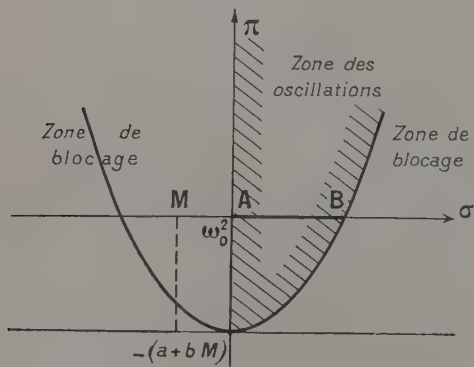


FIG. 7.

Seule la région des foyers instables (zone des oscillations) donne lieu à des oscillations stables. Pour une fréquence propre donnée, cette zone se traduit par une bande AB qui fixe la variation du couplage.

Le point A fournit la valeur critique M_{c1} pour laquelle naissent (d'une façon discontinue) les oscillations, $M_{c1} = -a/b$.

Le point B fournit la valeur critique M_{c2} pour laquelle s'éteignent les oscillations (d'une façon également discontinue), $M_{c2} = -(2\omega_0 + a) b$.

On a donné maintes explications, depuis van der Pol, de ce phénomène « d'étouffement ». Mais aucun calcul n'a pu fournir jusqu'ici la détermination exacte de ce deuxième type de couplage critique.

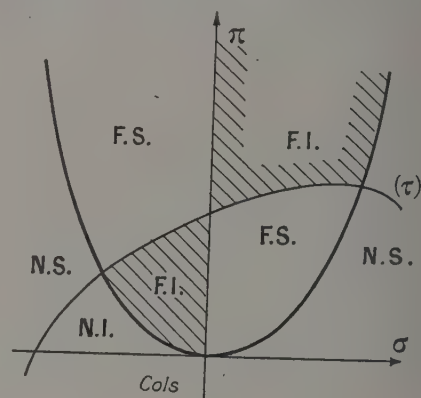


FIG. 8.

La transformation introduite par $[T]$ se traduit dans le plan quadratique (fig. 8) par l'existence d'une courbe (τ) transformée de (T) , qui sépare le plan en deux régions :

- une région positive sans changement de signe pour la stabilité,
- une région négative avec changement de signe pour la stabilité.

Tout point singulier sur (τ) caractérise une discontinuité dans l'évolution du système, revêtant l'aspect d'un véritable choc.

- [1] VOGEL (T.), Sur certaines oscillations à déferlement, *Ann. Télécomm.*, 1951, 6, 182.
- [2] VOGEL (T.), Les méthodes topologiques de discussion des problèmes aux oscillations non linéaires, *Ann. Télécomm.*, 1951, 6, 1.

SECTION SUD-EST (Grenoble)

SÉANCE DU 27 JANVIER 1956

1. — Une nouvelle catégorie de ferrimagnétiques : les grenats ;

par MM. E. F. BERTAUT et F. FORRAT,
Laboratoire d'Électrostatique et de Physique du Métal,
Institut Fourier, Grenoble.

Guiot-Guillain et Forestier [1] ont signalé d'intéressantes propriétés magnétiques et, en particulier, l'existence d'une aimantation spontanée dans les ferrites des

limites des faibles déplacements, le système est instable, c'est-à-dire que le déplacement du centre, s'il n'est pas initialement zéro, grandit avec le temps.

L'intervention d'une force statique verticale, dans le cas d'un arbre horizontal, ne rend pas au système sa stabilité.

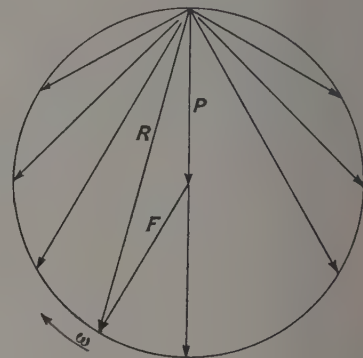
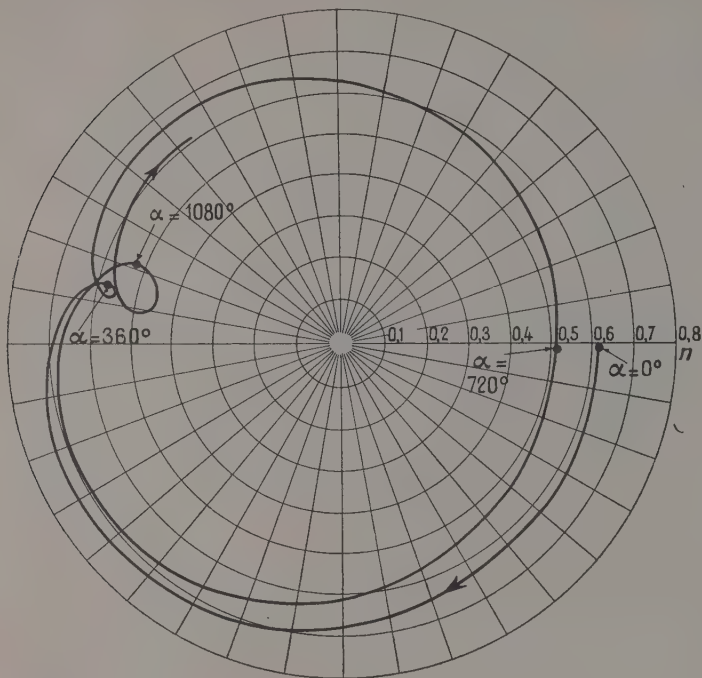


Fig. 2. — $k = F/P = 1$; $X = 0.06$; départ $\alpha = 0^\circ$, $\psi = 90^\circ$, $n = 0.6116$.

L'instabilité de la trajectoire du centre de l'arbre pour de faibles déplacements, jointe à la propriété que nous avons mise en évidence, à savoir que les trajectoires stables existant pour des déplacements plus importants sont accomplies à une fréquence égale à la moitié de la vitesse de rotation expliquent la naissance du phénomène du fouettement d'huile (oil whip) et sa fréquence.

[1] PORITSKY (H.), Contribution to the theory of oil whip, *Trans. A. S. M. E.*, 1953, 75, 1153.

SEANCE DU 23 NOVEMBRE 1956

Sur la force pondéromotrice ;

par M. S. R. DE GROOT,
Professeur à l'Université de Leyde.

Le problème de la force pondéromotrice dans un diélectrique (c'est-à-dire la force exercée par le champ électromagnétique sur un milieu polarisable) n'a été étudié jusqu'à présent que d'un point de vue macroscopique.

Selon Kelvin, cette force, par unité de volume, peut se mettre sous la forme

$$F(\mathbf{E}) = (\mathbf{P} \cdot \nabla) \mathbf{E},$$

où \mathbf{P} est la polarisation et \mathbf{E} le champ électrique.

Kelvin a obtenu cette expression en assimilant la force pondéromotrice à la force exercée sur un dipôle ponctuel de moment \mathbf{P} .

D'un autre côté, Helmholtz, partant de considérations énergétiques, a proposé l'expression

$$F(\mathbf{E}) = -\frac{1}{2} \mathbf{E}^2 \nabla k + \frac{1}{2} \nabla \{ \rho (\partial k / \partial \rho) \mathbf{E}^2 \},$$

où k est la susceptibilité électrique et ρ la densité.

Récemment, Mazur et de Groot [1] ont calculé par la mécanique statistique, des expressions pour la pression et la force pondéromotrice dans un diélectrique. Ces grandeurs sont exprimées comme des moyennes de quantités microscopiques. Il apparaît que, suite à l'existence d'interactions microscopiques à longue portée, la pression et la force pondéromotrice peuvent être définies de différentes façons. Toutes les définitions gardent un sens physique clair.

La forme de la force pondéromotrice de Kelvin peut être obtenue en séparant, par une méthode appropriée, les contributions de forces à longue portée de celles à courte portée dans l'expression pour la force microscopique moyenne.

Le calcul statistique montre que la forme de Kelvin est d'une validité plus générale que celle de Helmholtz qui ne peut être déduite qu'à l'équilibre statistique et moyennant une définition différente de la pression.

[1] MAZUR (P.) et DE GROOT (S. R.), *Physica*, 1956, 22, 657.

SOCIÉTÉ FRANÇAISE DE PHYSIQUE

Reconnue comme Établissement d'utilité publique par décret du 15 janvier 1881.

44, RUE DE RENNES, PARIS (VI^e)

COMPTES RENDUS DES SÉANCES DE LA SOCIÉTÉ FRANÇAISE DE PHYSIQUE

SÉANCE DU 12 OCTOBRE 1956

Propriétés thermoélectriques et thermiques des semi-conducteurs ;

par M. A. JOFFE,

Professeur à l'Université de Leningrad,
Membre de l'Académie des Sciences de l'U. R. S. S.

Le texte de cette Communication a été publié au
Journal de Physique, avril 1957, p. 209.

SÉANCE DU 23 NOVEMBRE 1956

M. le PRÉSIDENT présente les demandes d'admission suivantes sur lesquelles il est immédiatement statué. En conséquence sont admis comme Membres titulaires de la Société française de Physique :

MM. BEAUFILS (René), Assistant à la Faculté des Sciences de Toulouse, 23, avenue Debot-Ponsan, Toulouse (Haute-Garonne), présenté par MM. Castaing et Fert.

BERLIN (Marius), Ingénieur diplômé de la Faculté des Sciences de Toulouse, 54, rue du Docteur-Blanche, Paris (16^e), présenté par MM. A. Maréchal et Epelboin.

CORGE (Charles), Ingénieur, Service de Physique nucléaire du Centre d'Études Nucléaires de Saclay, 69, avenue du Général Leclerc, Paris (14^e), présenté par MM. Netter et E. Cotton.

DELHAYE (Michel), Diplômé d'Études supérieures, Stagiaire de Recherches du Centre National de la Recherche Scientifique, Chimie Minérale, 103, rue Barthélémy-Delessaul, Lille (Nord), présenté par MM. Roig et Rousset.

DELOUPY (Claude), Agrégé des Sciences physiques, Assistant, Faculté des Sciences de Montpellier (Hérault), présenté par MM. Kastler et A. Maréchal.

EXTERMANN (Richard), Directeur de l'Institut de Physique de l'Université de Genève, Institut de Physique, Genève (Suisse), présenté par MM. Kastler et Lucas.

M^{mes} GRANIER (Janine), Docteur ès Sciences, 139, boulevard Brune, Paris (14^e), présentée par MM. Vodar et Schwetsoff.

JOHANNIN (Andrée), Docteur ès Sciences, Attachée de Recherches, 27, rue Henri-Savignac, Bellevue (Seine-et-Oise), présentée par MM. Vodar et Romand.

MM. JULIEN (Jean), Ingénieur, Service nucléaire du Centre d'Études Nucléaires de Saclay, (Seine-et-Oise), présenté par MM. Netter et E. Cotton.

LAFONT (Robert), Chef de Travaux, 31, rue de l'Université, Montpellier (Hérault), présenté par M. Bouhet et M^{lle} Vergnoux.

M^{me} LUMBROSO (Nicole), Ingénieur I. C. T., Docteur ès Sciences physiques, Assistante à la Faculté des Sciences, 17, boulevard Saint-Michel, Paris (5^e), présentée par M^{me} Herman et M. Dupeyrat.

MM. MONTEL (Marc), Assistant au Laboratoire de Chimie physique, Ingénieur de l'Institut d'Optique, 14, rue R. Giraudineau, Vincennes (Seine), présenté par M^{lle} Cauchois et M. A. Maréchal.

PETIT (Georges Yves), Attaché de Recherches au Centre National de la Recherche Scientifique, 2, avenue Émile-Bergerat, Paris (16^e), présenté par MM. Teillac et C. Victor.

PHILIBERT (Jean), Docteur ès Sciences, Ingénieur à l'Institut de Recherches de la Sidérurgie, 185, rue du Président-Roosevelt à Saint-Germain-en-Laye, 1, place Louis-XIV, Saint-Germain-en-Laye (Seine-et-Oise), présenté par MM. Crussard et A. Maréchal.

POMEY (Gilles), Ingénieur des Arts et Manufactures (E. C. P.), Ingénieur-Docteur, Ingénieur au Département Physique de l'Institut de Recherches de la Sidérurgie, 8, rue Gounod, Paris (17^e), présenté par MM. Crussard et Pomey.

TOWNES (Charles H.), Professor of Physics, Physics Department, Columbia University, New York, N. Y. (U. S. A.), présenté par MM. Kastler et A. Maréchal.

WEILL (Gilbert), Ingénieur Chimiste, Licencié ès Sciences, Attaché de Recherches, 20, rue Erckmann-Chatrion, Strasbourg (Bas-Rhin), présenté par MM. Sadron et H. Benoît.

Les Communications suivantes ont été présentées :

1. — Les phénomènes de pré-précipitation dans les solutions solides sursaturées ⁽¹⁾ ;

par M. A. GUINIER.

On sait qu'à l'état solide un métal B (ou plusieurs métaux) peut se dissoudre dans un métal de base A en formant une solution solide : les atomes A et B sont répartis, sans ordre, en général, aux nœuds d'un réseau cristallin unique. A une température donnée, il existe une limite de solubilité comme pour une solution liquide. Cette teneur limite de B dans A augmente avec la température. Par une trempe rapide, on peut obtenir à la température ordinaire une solution sursaturée homogène : l'état d'équilibre réel est un mélange d'une solution solide pauvre en B et un *précipité* riche en B. Le retour à l'équilibre peut être très lent et progressif parce que, à l'état solide, les mouvements de diffusion des atomes sont difficiles à basse température.

On a ainsi la possibilité d'étudier à loisir les structures intermédiaires. Cela a été fait maintenant sur une série d'alliages (surtout à base d'aluminium) : les mécanismes de transformation varient largement d'un système à l'autre. Il ressort cependant quelques faits d'une portée générale qui font l'objet de cet exposé.

Le précipité d'équilibre ne se forme pas directement. Parfois on trouve une autre forme de précipité moins stable et de structure cristalline plus proche de celle de la solution solide originelle ou matrice. Avant la précipitation proprement dite, il existe un stade de pré-précipitation. Les atomes étrangers tendent à se rassembler car ils se trouvent en excès dans la solution solide, mais ils ne prennent pas une structure cristalline bien individualisée ; ils forment des « zones », les atomes restant aux nœuds du cristal de la matrice ou s'en éloignant peu. Cette « zone » n'a pas de limites bien précises, elle est si étroitement cohérente avec la matrice qu'elle ne constitue pas une phase distincte. Elle ne peut subsister que si elle est très petite (de l'ordre de 100 Å), ce qui montre qu'elle n'est stable qu'à cause de l'influence de la matrice environnante.

Les phénomènes de diffusion anormale des rayons X mettent en évidence ces zones, parce que ce sont des régions d'imperfection cohérentes avec la matrice. Il est possible de tirer des études aux rayons X des mesures de la dimension des zones et de leur constitution. On donne des exemples (Al-Cu, Al-Ag, Al-Mg-Si, Cu-Be, Cu-Ni-Fe, Ni-Al, etc.).

Plusieurs faits, outre les données des rayons X, prouvent les différences profondes entre une zone et un précipité à réseau bien caractérisé :

1^o les zones ont un effet important sur les propriétés mécaniques et électriques de l'alliage, bien différent de l'effet des précipités ;

2^o la formation des zones est possible quand celle du précipité ne l'est pas. En effet, la zone provoque un abaissement de l'énergie libre bien plus faible que le précipité, mais la *germination* de la zone est bien plus

facile. Cela est dû à la très faible énergie de la couche de transition entre zone et matrice. Les zones se forment donc à basse température, tandis que les précipités ne s'observent que si la température est suffisante pour que la probabilité de formation du germe soit notable ou encore quand des déformations locales du réseau permettent la germination (influence de l'écrouissage sur la précipitation).

2. — Compte rendu du Colloque tenu à Ottawa concernant le mouvement des électrons dans les solides et les métaux, et d'autres Colloques récents en physique des solides ;

par MM. P. AIGRAIN,
de l'École Normale Supérieure.

et J. FRIEDEL,
de l'École Nationale Supérieure des Mines.

SÉANCE DU 18 DÉCEMBRE 1956

M. le PRÉSIDENT présente les demandes d'admission suivantes sur lesquelles il est immédiatement statué. En conséquence sont admis comme Membres titulaires de la Société française de Physique :

- M. GRILLOT (Edmond), Maître de Conférences à la Faculté des Sciences de Rennes, Maître de Recherches au Centre National de la Recherche Scientifique, 5, rue Rollin, Paris (5^e), présenté par MM. M. Curie et A. Maréchal.
- M^{lle} PÉREY (Marguerite), Docteur ès Sciences physiques, Professeur à l'Université de Strasbourg, Directeur du Laboratoire de Chimie nucléaire, 4, rue Goethe, Strasbourg (Bas-Rhin), présentée par MM. Foex et Lacroute.
- M. MARGUIN (Georges), Docteur ès Sciences physiques, Attaché de Recherches au Centre National de la Recherche Scientifique, Institut de Physique atomique, 1, rue Raulin, Lyon (7^e), présenté par MM. Moussa et Lafoucrière.

La Communication suivante a été présentée :

La physique des surfaces de jonction des semi-conducteurs ;

par M. le Dr W. H. BRATTAIN,
Prix Nobel de Physique 1956.

On décrit d'abord les mesures qui peuvent être faites à la surface d'un semi-conducteur et l'on donne une interprétation basée sur l'étude d'une surface de jonction idéale entre les parties p, n d'un cristal unique, ainsi que l'analyse des résultats obtenus pour le germanium.

⁽¹⁾ Un article détaillé a été publié dans *Journal of Metals*, 1956, p. 673.

résolus ; il est souhaitable que la Société française de Physique ait une structure et des conditions de fonctionnement moins centralisées, que, par exemple, la désignation d'un futur président exprime les vœux non pas d'une fraction des membres présents du collège parisien, mais ceux de l'ensemble des membres du pays. Cet élargissement des conditions d'expression et d'activité est conforme aux changements apportés dans la vie quotidienne du fait qu'en un petit nombre d'heures, il est facile d'aller d'un point à un autre de la métropole.

Vous avez d'ailleurs, par le choix de M. NÉEL, comme président pour 1957, montré dans quel sens les réformes doivent s'effectuer.

Avant de transmettre les pouvoirs au nouveau Président, je voudrais dire les raisons de confiance que nous pouvons avoir en mon collègue et ami M. NÉEL ; non seulement notre président est un physicien de très grande classe qui perpétue la tradition de l'école française du magnétisme et maintient le prestige acquis par les travaux de Pierre CURIE, Paul LANGEVIN, Pierre WEISS, mais son œuvre à Grenoble a révélé ses qualités exceptionnelles d'organisateur et d'administrateur.

Nous devons lui savoir gré d'avoir accepté cette charge nouvelle pour le plus grand bien de la Société.

Son effort sera facilité par le dévouement absolu des secrétaires MM. MARÉCHAL, BERTHELOT, FRANÇON, celui de notre trésorier M. YVON, et de notre agent général M. POULARD. A tous, j'exprime ici nos sentiments de gratitude.

M. le PRÉSIDENT présente les demandes d'admission suivantes sur lesquelles il est immédiatement statué. En conséquence, sont admis comme Membres titulaires de la Société française de Physique :

ASSOCIATION DES OUVRIERS EN INSTRUMENTS DE PRÉCISION, Département Mesures, 8 à 14, rue Charles-Fourier, Paris (13^e), présentée par MM. Lucas et A. Maréchal.

M^{lle} DELWAILLE (Marie-Louise), Docteure Sciences, Professeur à la Faculté des Sciences de Lille, 103, rue Barthélémy-Delespaul, Lille (Nord), présentée par MM. J. Cabannes et Roig.

MM. NOZIÈRES (Philippe), Professeur, Agrégé de Physique de l'Université, 3, rue Davioud, Paris (16^e), présenté par MM. Aigrain et Garetta.

WELSH (Harry L.), M. A., Ph. D., F. R. S. C. Professor of Physics University of Toronto, 6, rue du Lunain, Paris (14^e), présenté par MM. Vodar et A. Maréchal.

WINTER (Stanislas, David), Ingénieur E. S. E. (section Radio), Licencié ès Sciences, Chef de Service au Commissariat à l'Énergie Atomique, 32 bis, rue du Cotentin, Paris (15^e), présenté par MM. Abragam et Berthelot.

Est admis comme Membre junior :

M. KOVER (François), Ingénieur E. N. S. C. P., Attaché de Recherches au Centre National de la Recherche Scientifique, 9, rue du Général-Niox, Paris (16^e), présenté par MM. Aigrain et Rodot.

M. le PRÉSIDENT donne quelques explications relatives au vote pour le renouvellement partiel du Bureau. Il informe les membres présents qu'au cours d'un entretien, M. F. PERRIN lui a exprimé, ainsi qu'à M. NÉEL, sa satisfaction d'avoir été proposé par le Conseil pour être élu aux fonctions de Vice-Président pour 1957, mais qu'en raison de ses nombreuses occupations, il ne lui était pas possible, à son grand regret, d'accepter cette nouvelle charge.

M. le PRÉSIDENT donne connaissance d'une lettre de M. JACQUINOT relative à la proposition faite par le Conseil pour l'inscription de son nom sur la liste d'élection pour les fonctions de Vice-Président pour 1957.

Il est ensuite procédé au vote pour le renouvellement partiel du Bureau et du Conseil. Le résultat des votes sera proclamé en séance ordinaire après dépouillement par les scrutateurs : MM. LENNUIER, BROSSEL, FRANÇON et POULARD.

II. — SÉANCE ORDINAIRE.

Présidence de M. L. NÉEL.

M. L. NÉEL, en succédant à M. LUCAS, prononce l'allocution suivante :

MES CHERS COLLÈGUES,

Mon excellent ami, M. le Professeur LUCAS, vient de vous présenter votre nouveau président dans des termes qui me rendent confus et je m'en excuse auprès de vous. Et voici que dans cette salle, où voici plus de trente ans notre très regretté maître Aimé Cotton suscitait des vocations de physicien parmi un auditoire attentif auquel j'appartenais, je me retrouve votre porte-parole.

Permettez-moi le plaisir innocent de m'en réjouir un instant et de dire aussi tout ce que je dois à des professeurs éminents qui illustrèrent cette présidence et, pour ne citer que ceux arrachés trop tôt à la science française par un destin tragique, à Henri ABRAHAM et à Eugène BLOCH.

Vous avez élu un provincial, cela n'arrive pas bien souvent, il semblerait même que je sois le premier, mais je crois qu'il convient simplement de rapprocher la rareté de l'événement des difficultés d'organisation et de fonctionnement de laboratoires actifs en province. Ces difficultés sont bien connues et il ne me viendrait certes pas à l'idée d'en parler si je ne pensais que la Société française de Physique n'était susceptible d'apporter sinon une solution du moins quelques palliatifs à cette situation.

Nous souffrons d'une excessive centralisation administrative, économique et scientifique qui retarde les décisions, allonge les moindres démarches, l'exécution des travaux et l'échange des informations. Le système des grandes écoles, l'attrait de la capitale arrachent d'une manière irréversible les meilleurs éléments dont nous pourrions disposer, d'autant plus que c'est presque exclusivement dans la région parisienne que les dernières décades ont vu éclore les grands laboratoires des services nationalisés, des grandes sociétés et des unions professionnelles.

ture physicochimique des couches superficielles du métal, ce qui est intéressant au point de vue métallographique.

Il faut faire ici une remarque importante. Au début de l'observation d'un échantillon, même « propre », nettoyé par pulvérisation cathodique par exemple, l'image est très peu contrastée. L'échantillon, qui a donné la figure 3, donne alors une image que montre la



FIG. 3.

Ce phénomène est certainement à l'origine de beaucoup d'erreurs dans les expériences concernant les états de surface : mesure de coefficient d'émission, de travail de sortie, etc. L'observation d'une image constitue à ce sujet un contrôle très précieux.

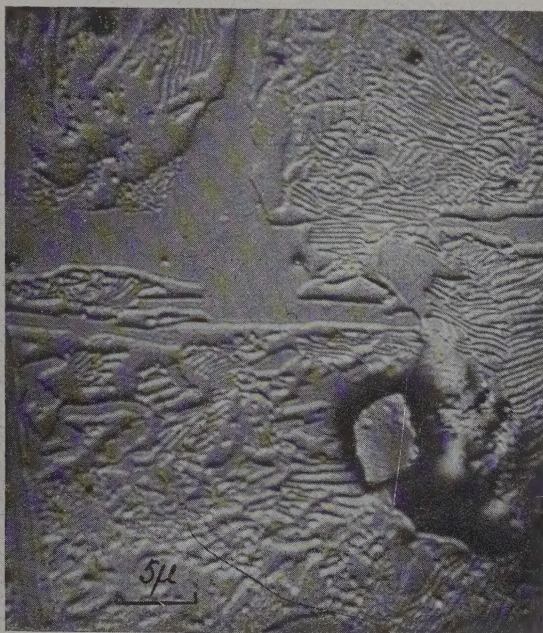


FIG. 4.

figure 4. Nous devons admettre qu'une « couche de contamination » recouvre la surface du métal et que c'est l'émission secondaire de cette couche, uniforme et continue, qui détermine l'image. D'où le manque de contraste. Après quelques instants de fonctionnement, cette couche est arrachée par le bombardement de l'échantillon et l'aspect devient celui de la figure 3.

- [1] Voir, par exemple, SEPTIER (A.), *J. Physique Rad.*, 1954, **15**, 573.
- [2] FERT (C.) et SIMON (R.), *C. R. Acad. Sc.*, 1956, **243**, 1300. FERT (C.) et SIMON (R.), *C. R. Acad. Sc.*, 1956, **244**, 1177.
- [3] PRADAL (F.) et SIMON (R.), *C. R. Acad. Sc.* (sous presse).
- [4] JONES (D.), *Les techniques récentes en microscopie électronique et corpusculaire*, éd. C. N. R. S., 1955.

ERRATA

aux Comptes rendus insérés dans le *Journal de Physique*,
n° 6, juin 1957.

Page 21 S, lignes 2 et 3 de la colonne de gauche,
au lieu de 0^{-4} , lire 10^{-4} .

Page 23 S, formule (1), remplacer t par f .

Page 30 S, ligne 6 de la colonne de droite,
lire $M_{c2} = -(2\omega_0 + a)/b$.

